



**IMPLEMENTAÇÃO DO AES
NA PLATAFORMA CUDA**

MARCEL AUGUSTUS BARBOSA CARVALHO

**DISSERTAÇÃO DE MESTRADO EM ENGENHARIA
ELÉTRICA
DEPARTAMENTO DE ENGENHARIA ELÉTRICA**

**FACULDADE DE TECNOLOGIA
UNIVERSIDADE DE BRASÍLIA**

**UNIVERSIDADE DE BRASÍLIA
FACULDADE DE TECNOLOGIA
DEPARTAMENTO DE ENGENHARIA ELÉTRICA**

IMPLEMENTAÇÃO DO AES NA PLATAFORMA CUDA

MARCEL AUGUSTUS BARBOSA CARVALHO

ORIENTADOR: ANDERSON CLAYTON ALVES NASCIMENTO

DISSERTAÇÃO DE MESTRADO EM ENGENHARIA ELÉTRICA

PUBLICAÇÃO: PPGENE.DM - 490 A/12

BRASÍLIA/DF: SETEMBRO - 2012.

UNIVERSIDADE DE BRASÍLIA
FACULDADE DE TECNOLOGIA
DEPARTAMENTO DE ENGENHARIA ELÉTRICA

IMPLEMENTAÇÃO DO AES NA PLATAFORMA CUDA

MARCEL AUGUSTUS BARBOSA CARVALHO

DISSERTAÇÃO DE MESTRADO SUBMETIDA AO DEPARTAMENTO DE ENGENHARIA ELÉTRICA DA FACULDADE DE TECNOLOGIA DA UNIVERSIDADE DE BRASÍLIA, COMO PARTE DOS REQUISITOS NECESSÁRIOS PARA A OBTENÇÃO DO GRAU DE MESTRE EM ENGENHARIA ELÉTRICA.

APROVADA POR:

Prof. Dr. Anderson Clayton Alves Nascimento (ENE-UnB)
(Orientador)

Prof. Dr. Rafael Timóteo de Sousa Jr. (ENE-UnB)
(Examinador Interno)

Prof. Dr. Diego de Freitas Aranha (CIC-UnB)
(Examinador Externo)

BRASÍLIA/DF, 17 DE SETEMBRO DE 2012.

FICHA CATALOGRÁFICA

CARVALHO, MARCEL AUGUSTUS BARBOSA

Implementação do AES na Plataforma CUDA.

[Distrito Federal] 2012.

xvii, 144p., 297 mm (ENE/FT/UnB, Mestre, Engenharia Elétrica, 2012).

Dissertação de Mestrado - Universidade de Brasília.

Faculdade de Tecnologia.

Departamento de Engenharia Elétrica.

1. Criptografia

2. AES

3. GPGPU

4. CUDA

I. ENE/FT/UnB

II. Título (série)

REFERÊNCIA BIBLIOGRÁFICA

CARVALHO, M. A. B. (2012). Implementação do AES na plataforma CUDA. Dissertação de Mestrado em Engenharia Elétrica, Publicação PPGENE.DM - 490 A/12, Departamento de Engenharia Elétrica, Universidade de Brasília, Brasília, DF, 144p.

CESSÃO DE DIREITOS

NOME DO AUTOR: Marcel Augustus Barbosa Carvalho.

TÍTULO DA DISSERTAÇÃO DE MESTRADO: Implementação do AES na plataforma CUDA

GRAU / ANO: Mestre / 2012

É concedida à Universidade de Brasília permissão para reproduzir cópias desta dissertação de mestrado e para emprestar ou vender tais cópias somente para propósitos acadêmicos e científicos. O autor reserva outros direitos de publicação e nenhuma parte desta dissertação de mestrado pode ser reproduzida sem a autorização por escrito do autor.

Marcel Augustus Barbosa Carvalho
Universidade de Brasília - Faculdade de Tecnologia
Departamento de Engenharia Elétrica
70910-900 Brasília-DF Brasil.

AGRADECIMENTOS

Agradeço à Professora Doutora Alba Cristina Magalhães Alves de Melo por gentilmente ceder as instalações do Laboratório de Sistemas Integrados e Concorrentes (LAICO) do Departamento de Ciência da Computação da Universidade de Brasília, para a mensuração dos resultados descritos nesta dissertação em hardwares de ponta.

Agradeço também ao Chefe do Centro de Desenvolvimento de Sistemas do Exército Brasileiro, General de Brigada Bráulio de Paula Machado, pelo total apoio e forte incentivo para a finalização deste trabalho.

MARCEL AUGUSTUS BARBOSA CARVALHO

Dedicatória

Dedico este trabalho a minha amada esposa Jaqueline Lima e minhas lindas filhas Camille Pietra e Nicole Jolie que tanto me apoiaram nesse árduo caminho mesmo em detrimento da minha constante ausência do convívio familiar.

MARCEL AUGUSTUS BARBOSA CARVALHO

RESUMO

IMPLEMENTAÇÃO DO AES NA PLATAFORMA CUDA

Autor: Marcel Augustus Barbosa Carvalho

Orientador: Anderson Clayton Alves Nascimento

Programa de Pós-graduação em Engenharia Elétrica

Brasília, setembro de 2012

Compute Unified Device Architecture (CUDA) é uma plataforma de computação paralela de propósito geral que tira proveito das unidades de processamento gráfico (GPU) NVIDIA para resolver problemas computacionais que possam ser paralelizáveis.

No campo da criptografia já foram realizados esforços no uso de GPUs com algoritmos criptográficos simétricos e assimétricos e mais recentemente com as funções de *hash*. Este trabalho realiza uma revisão das implementações anteriores do AES sobre GPUs e implementa o algoritmo AES para cifração e decifração com chaves de 128, 192 e 256 *bits* no modo ECB com *padding*, com variações no uso dos recursos disponíveis nas GPUs CUDA.

Como resultado final chegou-se a implementação em CUDA cuja configuração de recursos levou a ganhos no tempo total de cifração/decifração de até 32,7 vezes comparados à versão em CPU usada como referência.

ABSTRACT

IMPLEMENTATION OF AES ON THE CUDA PLATAFORM

Author: Marcel Augustus Barbosa Carvalho

Supervisor: Anderson Clayton Alves Nascimento

Programa de Pós-graduação em Engenharia Elétrica

Brasília, september of 2012

Compute Unified Device Architecture (CUDA) is a platform for general purpose parallel computing that takes advantage of NVIDIA Graphic Processing Units (GPU) to solve parallelizable computational problems.

In the field of the cryptography efforts have been made in the use of GPUs with asymmetric and symmetric cryptographic algorithms more recently with hash functions. This paper conducts a review of previous implementations of AES on GPU and implements the AES algorithm for encryption and decryption with keys of 128, 192 and 256 bits in ECB mode with padding, with variations in the use of available resources in CUDA GPUs.

As a final result, a CUDA implementation was obtained with a resource configuration providing gains in total time of encryption / decryption of up to 32,7 times compared to the used CPU version.

SUMÁRIO

1	INTRODUÇÃO	1
1.1	CONTEXTUALIZAÇÃO	1
1.2	DEFINIÇÃO DO PROBLEMA	2
1.3	OBJETIVOS DO PROJETO.....	2
1.4	APRESENTAÇÃO DO MANUSCRITO.....	2
2	CUDA - <i>Compute Unified Device Architecture</i>	3
2.1	INTRODUÇÃO	3
2.2	HISTÓRICO	3
2.3	CPU x GPU	5
2.4	MODELO DE PROGRAMAÇÃO.....	6
2.4.1	<i>Kernels</i> E HIERARQUIA DE <i>Threads</i>	7
2.4.2	HIERARQUIA DE MEMÓRIA.....	8
2.4.3	TRANSFERÊNCIA DE DADOS ENTRE GPU E CPU.....	9
2.4.4	BARREIRA DE SINCRONIZAÇÃO.....	9
2.5	CUDA C.....	10
2.5.1	PILHA DE <i>software</i>	10
2.5.2	COMPILAÇÃO	10
2.5.3	QUALIFICADORES DE FUNÇÕES.....	11
2.5.4	VARIÁVEIS <i>Built-in</i>	11
2.5.5	CHAMADA DO KERNEL	12
2.5.6	QUALIFICADORES DE VARIÁVEIS	12
2.5.7	SINCRONIZAÇÃO DE <i>Threads</i>	12
3	AES - <i>Advanced Encryption Standard</i>	13
3.1	INTRODUÇÃO	13
3.2	DESCRIÇÃO DA CIFRA	13
3.2.1	TRANSFORMAÇÃO ADDROUNDKEY	15
3.2.2	TRANSFORMAÇÃO SUBBYTES.....	15
3.2.3	TRANSFORMAÇÃO SHIFTROWS	16
3.2.4	TRANSFORMAÇÃO MIXCOLUMNS.....	16
3.2.5	TRANSFORMAÇÃO INVERSA DA ADDROUNDKEY	16
3.2.6	TRANSFORMAÇÃO INVSUBBYTES.....	16
3.2.7	TRANSFORMAÇÃO INVSHIFTROWS	17

3.2.8	TRANSFORMAÇÃO INV MIX COLUMNS.....	17
3.2.9	EXPANSÃO DA CHAVE.....	17
3.3	MODOS DE OPERAÇÃO.....	18
3.3.1	<i>Padding</i>	19
3.4	<i>Table Look-up</i>	19
3.5	<i>Bit-Slicing</i>	20
3.6	AES-NI.....	21
3.7	AES E CUDA.....	22
3.7.1	MANAVSKI (2007).....	22
3.7.2	HARRISON E WALDRON (2008).....	24
3.7.3	BIAGIO ET AL. (2009).....	25
3.7.4	JANG ET AL. (2011).....	27
4	DESENVOLVIMENTO.....	28
4.1	INTRODUÇÃO.....	28
4.2	UTILITÁRIOS.....	29
4.2.1	AES_KEY.....	29
4.2.2	AES_ENC.....	30
4.2.3	AES_DEC.....	30
4.2.4	AES_ENC_FILE.....	30
4.2.5	AES_DEC_FILE.....	31
4.3	PLATAFORMA.....	32
4.4	IMPLEMENTAÇÃO PARA CPU.....	33
4.5	IMPLEMENTAÇÃO PARA GPU CUDA.....	33
4.5.1	CUDA_AES_NN_GLOBAL_ROLL.....	34
4.5.2	CUDA_AES_NN_GLOBAL_UNROLL.....	34
4.5.3	CUDA_AES_1B_NT_CONST_CONST.....	34
4.5.4	CUDA_AES_NB_NT_CONST_CONST.....	35
4.5.5	CUDA_AES_1B_NT_CONST_TEXTURE.....	35
4.5.6	CUDA_AES_NB_NT_CONST_TEXTURE.....	35
4.5.7	CUDA_AES_1B_NT_SHARED_CONST.....	35
4.5.8	CUDA_AES_NB_NT_SHARED_CONST.....	36
4.5.9	CUDA_AES_1B_NT_SHARED_TEXTURE.....	36
4.5.10	CUDA_AES_NB_NT_SHARED_TEXTURE.....	36
5	RESULTADOS EXPERIMENTAIS.....	37
5.1	INTRODUÇÃO.....	37
5.2	AValiação <i>roll</i> ou <i>unroll</i>	37
5.3	AValiação 1 bloco ou N blocos.....	39
5.4	AValiação das implementações de N blocos.....	42
5.5	AValiação das implementações de memória <i>pinned</i>	45
5.6	AValiação das implementações assíncronas.....	48

5.7	AVALIAÇÃO FINAL.....	50
5.8	COMPARAÇÃO COM TRABALHOS ANTERIORES.....	56
6	CONCLUSÕES	57
	REFERÊNCIAS BIBLIOGRÁFICAS	59
	ANEXOS.....	62
I	PLATAFORMA DE TESTES	63
I.1	MÁQUINA 1	63
I.1.1	<i>Software</i>	63
I.1.2	<i>Hardware</i>	63
I.2	MÁQUINA 2	64
I.2.1	<i>Software</i>	64
I.2.2	<i>Hardware</i>	64
II	LISTAGENS	67
II.1	UTIL	67
II.2	CUDA_UTIL	77
II.3	REFERENCE.....	91
II.4	REFERENCE_UNROLL.....	93
II.5	CUDA_AES_NN_GLOBAL_ROLL	97
II.6	CUDA_AES_NN_GLOBAL_UNROLL	103
II.7	CUDA_AES_1B_NT_CONST_CONST	105
II.8	CUDA_AES_NB_NT_CONST_CONST	109
II.9	CUDA_AES_1B_NT_CONST_TEXTURE.....	114
II.10	CUDA_AES_NB_NT_CONST_TEXTURE	118
II.11	CUDA_AES_1B_NT_SHARED_CONST	123
II.12	CUDA_AES_NB_NT_SHARED_CONST	127
II.13	CUDA_AES_1B_NT_SHARED_TEXTURE.....	133
II.14	CUDA_AES_NB_NT_SHARED_TEXTURE.....	138

LISTA DE FIGURAS

2.1	Fermi - Visão Geral da Arquitetura. (NVIDIA, 2011c).....	4
2.2	Fermi - Streaming Multiprocessor (SM)(NVIDIA, 2011c).....	5
2.3	CPU x GPU (NVIDIA, 2012a).....	6
2.4	Escalabilidade Automática (NVIDIA, 2012a).....	7
2.5	<i>Grid</i> formado por blocos de <i>threads</i> (NVIDIA, 2012a).....	8
2.6	Pilha de <i>Software</i> CUDA (NVIDIA, 2008).....	10
3.1	Tabela S-BOX: valores de substituição para o <i>byte</i> <i>xy</i> (no formato hexadecimal) (NIST, 2001a).....	16
3.2	Tabela Inversa da S-BOX: valores de substituição para o <i>byte</i> <i>xy</i> (no formato hexadecimal)(NIST, 2001a).....	17
3.3	AES cifração <i>Table Look-up</i> (DAEMEN; RIJMEN, 1999).....	19
3.4	AES decifração <i>Table Look-up</i> (DAEMEN; RIJMEN, 1999).....	20
3.5	Rodada da cifração do AES usando <i>Table Look-up</i> (DAEMEN; RIJMEN, 1999).....	20
3.6	Resultados de Harrison e Waldron (2008) com desempenho em Mbit/s (adaptado) ...	25
3.7	Resultados de Biagio et al. (2009) com desempenho em Mbit/s (adaptado).....	26
4.1	Utilitário <code>aes_key</code>	29
4.2	Utilitário <code>aes_enc</code>	30
4.3	Utilitário <code>aes_dec</code>	30
4.4	Utilitário <code>aes_enc_file</code>	31
4.5	Utilitário CUDA <code>aes_enc_file</code>	31
4.6	Utilitário <code>aes_dec_file</code>	32
4.7	Utilitário CUDA <code>aes_dec_file</code>	33
5.1	Tempos de execução em milissegundos no experimento do Tópico 5.3 para a máquina do Tópico I.1.....	40
5.2	Tempos de execução em milissegundos por implementação no experimento do Tópico 5.3 para a máquina do Tópico I.1.....	41
5.3	Tempos de execução em milissegundos no experimento do Tópico 5.3 para a máquina do Tópico I.2.....	41
5.4	Tempos de execução em milissegundos por implementação no experimento do Tópico 5.3 para a máquina do Tópico I.2.....	42
5.5	Tempos de execução em milissegundos no experimento do Tópico 5.4 para a máquina do Tópico I.1.....	43

5.6	Tempos de execução em milissegundos no experimento do Tópico 5.4 para a máquina do Tópico I.2.....	44
5.7	Tempos de execução em milissegundos no experimento do Tópico 5.4 para implementações com tabelas na memória compartilhada para a máquina do Tópico I.1.....	44
5.8	Tempos de execução em milissegundos no experimento do Tópico 5.4 para implementações com tabelas na memória compartilhada para a máquina do Tópico I.2.....	45
5.9	Tempos de execução em milissegundos do experimento do Tópico 5.5 para a máquina do Tópico I.1.....	46
5.10	Tempos de execução em milissegundos do experimento do Tópico 5.5 para a máquina do Tópico I.2.....	47
5.11	Tempos totais de execução em milissegundos do experimento do Tópico 5.5 para a máquina do Tópico I.1.....	47
5.12	Tempos totais de execução em milissegundos do experimento do Tópico 5.5 para a máquina do Tópico I.2.....	48
5.13	Tempos totais de execução em milissegundos do experimento do Tópico 5.6 para a máquina do Tópico I.1.....	49
5.14	Tempos totais de execução em milissegundos do experimento do Tópico 5.6 para a máquina do Tópico I.2.....	49
I.1	Propriedades da placa gráfica 1.....	65
I.2	Propriedades da placa gráfica 2.....	66

LISTA DE TABELAS

2.1	Tipos de memórias	9
3.1	AES: Combinações de chave, bloco e rodadas.....	14
3.2	Resultados de Kasper e Schwabe (2009) para cifração AES-CTR (128 bits) de pacotes de 4096 <i>bytes</i>	21
3.3	Resultados de INTEL (2010a) para cifração/decifração AES de um bloco de 1024 <i>bytes</i>	23
3.4	Resultados de INTEL (2010a) para cifração AES-128 usando OpenSSL versão 0.9.8h sem AES-NI.....	23
3.5	Resultados de Manavski (2007)	24
3.6	Resultados de Manavski (2007) com desempenho em Gbit/s	24
3.7	Resultados de Biagio et al. (2009) com o melhor desempenho em Mbit/s.....	27
5.1	Descrição das implementações utilizadas no experimento do Tópico 5.2.....	38
5.2	Tempos de execução em milissegundos no experimento do Tópico 5.2 na máquina do Tópico I.1.....	38
5.3	Tempos de execução em milissegundos no experimento do Tópico 5.2 na máquina do Tópico I.2.....	39
5.4	Descrição das implementações utilizadas no experimento do Tópico 5.3.....	40
5.5	Descrição das implementações utilizadas no experimento do Tópico 5.4.....	43
5.6	Descrição das implementações <i>pageable</i> e <i>pinned</i> utilizadas no experimento do Tópico 5.5.....	46
5.7	Resultados do experimento do Tópico 5.7 da GPU para AES 128 <i>bits</i> na máquina do Tópico I.1.....	50
5.8	Resultados do experimento do Tópico 5.7 da GPU para AES 192 <i>bits</i> na máquina do Tópico I.1.....	51
5.9	Resultados do experimento do Tópico 5.7 da GPU para AES 256 <i>bits</i> na máquina do Tópico I.1.....	51
5.10	Resultados do experimento do Tópico 5.7 da CPU e comparação com a GPU para AES 128 <i>bits</i> na máquina do Tópico I.1.....	52
5.11	Resultados do experimento do Tópico 5.7 da CPU e comparação com a GPU para AES 192 <i>bits</i> na máquina do Tópico I.1.....	52
5.12	Resultados do experimento do Tópico 5.7 da CPU e comparação com a GPU para AES 256 <i>bits</i> na máquina do Tópico I.1.....	53

5.13 Resultados do experimento do Tópico 5.7 para AES 128 <i>bits</i> na máquina do Tópico I.2.....	53
5.14 Resultados do experimento do Tópico 5.7 para AES 192 <i>bits</i> na máquina do Tópico I.2.....	54
5.15 Resultados do experimento do Tópico 5.7 para AES 256 <i>bits</i> na máquina do Tópico I.2.....	54
5.16 Resultados do experimento do Tópico 5.7 da CPU e comparação com a GPU para AES 128 <i>bits</i> na máquina do Tópico I.2.....	55
5.17 Resultados do experimento do Tópico 5.7 da CPU e comparação com a GPU para AES 192 <i>bits</i> na máquina do Tópico I.2.....	55
5.18 Resultados do experimento do Tópico 5.7 da CPU e comparação com a GPU para AES 256 <i>bits</i> na máquina do Tópico I.2.....	56
5.19 Comparação com trabalhos anteriores para AES 128 <i>bits</i>	56

LISTA DE CÓDIGOS FONTES

3.1	Pseudocódigo para cifração do AES (NIST, 2001a)	14
3.2	Pseudocódigo para decifração do AES (NIST, 2001a)	14
3.3	Pseudocódigo equivalente para decifração do AES (NIST, 2001a).....	15
3.4	Pseudocódigo para expansão de chave de cifração do AES (NIST, 2001a)	18
3.5	Pseudocódigo para expansão da chave da decifração(equivalente) AES (NIST, 2001a)	18
II.1	util/aes_key.c	67
II.2	util/aes_enc.c	68
II.3	util/aes_dec.c	69
II.4	util/aes_enc_file.c	71
II.5	util/aes_dec_file.c	74
II.6	cuda_util/getDeviceProperties.cu.....	77
II.7	cuda_util/cuda_util.cu.....	77
II.8	cuda_util/aes_key.cu	79
II.9	cuda_util/aes_enc.cu	80
II.10	cuda_util/aes_dec.cu	82
II.11	cuda_util/aes_enc_file.cu	83
II.12	cuda_util/aes_dec_file.cu	87
II.13	reference/aes.c	91
II.14	reference_unroll/aes.c	93
II.15	cuda_aes_nn_global_roll/aes.cu.....	97
II.16	cuda_aes_nn_global_unroll/aes.cu	103
II.17	cuda_aes_1b_nt_const_const/aes.cu	105
II.18	cuda_aes_nb_nt_const_const/aes.cu	109
II.19	cuda_aes_1b_nt_const_texture/aes.cu.....	114
II.20	cuda_aes_nb_nt_const_texture/aes.cu.....	118
II.21	cuda_aes_1b_nt_shared_const/aes.cu.....	123
II.22	cuda_aes_nb_nt_shared_const/aes.cu.....	127
II.23	cuda_aes_1b_nt_shared_texture/aes.cu	133
II.24	cuda_aes_nb_nt_shared_texture/aes.cu	138

LISTA DE SÍMBOLOS, NOMENCLATURAS E ABREVIACÕES

ABNT	Associação Brasileira de Normas Técnicas
AES	<i>Advanced Encryption Standard</i>
AES-128	<i>Advanced Encryption Standard</i> com chave de 128 <i>bits</i>
AES-192	<i>Advanced Encryption Standard</i> com chave de 192 <i>bits</i>
AES-256	<i>Advanced Encryption Standard</i> com chave de 256 <i>bits</i>
AES-NI	<i>Intel Advanced Encryption Standard New Instructions</i>
ALU	<i>Arithmetic and Logic Unit</i>
API	<i>Application Program Interface</i>
CBC	<i>Cipher Block Chaining</i>
CDT	<i>C/C++ Development Tooling</i>
CFB	<i>Cipher Feedback</i>
CTR	<i>Counter</i>
CUDA	<i>Compute Unified Device Architecture</i>
CPU	<i>Central Processing Unit</i>
DDR3	<i>Double Data Rate Type Three</i>
DES	<i>Data Encryption Standard</i>
DRAM	<i>Dynamic Random-Access Memory</i>
ECB	<i>Electronic Code Book</i>
FIPS	<i>Federal Information Processing Standards</i>
Gbps	<i>Gigabit</i> por segundo (10^9 <i>bits</i> por segundo)
Gibps	<i>Gibibit</i> por segundo (2^{30} <i>bits</i> por segundo)
GB	<i>Gigabyte</i> (10^9 <i>bytes</i>)
GiB	<i>Gibibyte</i> (2^{30} <i>bytes</i>)
GHz	<i>GigaHertz</i> (10^9 repetições por segundo)
GCC	<i>GNU Compiler Collection</i>
GF	Corpo de Galois
GPU	<i>Graphic Processinc Unit</i>
GPGPU	<i>General-purpose Computations on GPU</i>
IDE	<i>Integrated Development Environment</i>
ISA	<i>Instruction Set Architecture</i>
JIT	Compilador <i>Just-In-Time</i>
KB	<i>KiloByte</i> (1000 <i>bytes</i>)
KiB	<i>KibiByte</i> (1024 <i>bytes</i>)
LTS	<i>Long Term Support</i>

ms	milissegundo
MB	<i>MegaByte</i> (1000*1000 <i>bytes</i>)
MiB	<i>MebiByte</i> (1024*1024 <i>bytes</i>)
Mbps	<i>Megabit</i> por segundo(10^6 <i>bits</i> por segundo)
Mibps	<i>Mebibit</i> por segundo(2^{20} <i>bits</i> por segundo)
N_b	tamanho do bloco de entrada do AES em palavras de 32 <i>bits</i>
N_k	tamanho da chave do AES em palavras de 32 <i>bits</i>
N_r	número de rodadas (<i>rounds</i>) do AES
NIST	<i>National Institute of Standards and Technology</i>
OFB	<i>Output Feedback</i>
OpenGL	<i>Open Graphics Library</i>
OpenSSL	<i>Open Secure Sockets Layer</i>
PCI	<i>Peripheral Component Interconnect Express</i>
PTX	<i>Parallel Thread eXecution</i>
PUBS	<i>Publications</i>
S-Box	Caixa de substituição do AES
SHA-3	<i>Secure Hash Algorithm</i> versão 3
SIMD	<i>Single Instruction Stream - Multiple Data Stream</i>
SIMT	<i>Single Instruction Stream - Multiple Threads</i>
SM	<i>Streaming Multiprocessor</i>
SSL	<i>Secure Sockets Layer</i>
TLS	<i>Transport Layer Security</i>
TI	Tecnologia da Informação
U.S	<i>United States</i>
UnB	Universidade de Brasília
XOR	Operação booleana Ou-Exclusivo

Capítulo 1

Introdução

Este capítulo apresenta a motivação deste trabalho, elenca os objetivos a serem alcançados e por fim, mostra a estruturação do manuscrito.

1.1 Contextualização

Graphics Processing Units (GPUs) são coprocessadores que tradicionalmente realizam a renderização de informações bidimensionais e tridimensionais para exibição para o usuário. O crescimento da indústria de jogos e o aumento da demanda por gráficos mais realistas e com renderização em tempo real forçou as GPUs a proverem unidades de processamento paralelas mais rápidas. Este esforço levou ao surgimento de dispositivos que sobrepujaram as CPUs em aplicações específicas, como no caso dos jogos, com a relação custo-benefício aceitável devido a produção em escala destes dispositivos.

Não demorou até a comunidade científica e os programadores perceberem que este poder computacional poderia ser utilizado para outras funções além das originais de computação gráfica. Em [Harris \(2003\)](#) foi introduzido o termo *General-purpose Computations on GPUs* (GPGPU) para se referir a estas aplicações não gráficas que usavam o poder computacional das GPUs. Naquele momento, programar GPGPU significava expressar seus algoritmos em termos de operações sobre dados gráficos, *pixels* e vetores. Este paradigma mudou quando dois importantes fabricantes de GPUs, NVIDIA e AMD, alteraram a arquitetura de *hardware* dos seus dispositivos gráficos para uma plataforma de computação *multi-core*, com a introdução das *unified processing units* nas placas gráficas. As GPU puderam então suportar um conjunto de instruções de propósito genérico, promovendo o surgimento de linguagens de programação, ferramentas e *frameworks* para usufruir desse potencial computacional.

Os benefícios do uso de GPUs são vários, mas pode-se destacar sua fácil integração em plataformas distintas como *desktops*, *notebooks*, servidores e até mesmo dispositivos móveis, sem quaisquer alterações fundamentais no *hardware*. GPUs estão disponíveis no mercado em uma vasta gama de níveis de desempenho, pode-se escolher uma de acordo com suas necessidades. Quando não estão sendo utilizadas para jogos ou na renderização de interfaces gráficas elegantes ficam ociosas, fazendo sentido usá-las como coprocessadores de operações custosas.

No campo da criptografia já foram realizados esforços no uso de GPUs com algoritmos criptográficos simétricos e assimétricos e mais recentemente com as funções de *hash*. Este trabalho realiza uma revisão das implementações anteriores do AES sobre GPUs e implementa o algoritmo AES para cifração e decifração com chaves de 128, 192 e 256 *bits* no modo ECB com *padding*, com variações no uso dos recursos disponíveis nas GPUs CUDA.

1.2 Definição do problema

Usar o poder computacional provido pelas GPUs CUDA no uso do algoritmo simétrico AES, atentando para as diferenças arquiteturais entre GPU CUDA e CPU e buscando identificar a combinação de recursos e funcionalidades disponíveis nas placas CUDA para obter o melhor desempenho do AES.

1.3 Objetivos do projeto

Realizar um estudo da arquitetura CUDA da NVIDIA, focando nos recursos e funcionalidades que possam ser explorados na implementação do algoritmo AES. Revisitar os trabalhos anteriores sobre o uso do algoritmo simétrico AES sobre dispositivos CUDA. Realizar a implementação do AES sobre esta arquitetura, elencando possibilidades de ganho de desempenho em comparação com uma implementação em CPU.

1.4 Apresentação do manuscrito

No Capítulo 2, é feita uma descrição da arquitetura CUDA, focando nos seus recursos e funcionalidades. No Capítulo 3, é apresentada uma revisão sobre o AES e alguns trabalhos anteriores que fizeram uso do AES em GPUs. Em seguida, o Capítulo 4 descreve a metodologia empregada no desenvolvimento do projeto e a implementação do AES. Resultados experimentais são discutidos no Capítulo 5, e por fim as conclusões no Capítulo 6.

Capítulo 2

CUDA - *Compute Unified Device Architecture*

Este capítulo tem a função de apresentar a arquitetura CUDA, modelo de memória, modelo de execução e seus paradigmas de implementação

2.1 Introdução

Compute Unified Device Architecture (CUDA) é uma plataforma de computação paralela de propósito geral que tira proveito das unidades de processamento gráfico (GPU) NVIDIA para resolver problemas computacionais que possam ser paralelizáveis. Possui um conjunto de instruções chamado CUDA ISA (*Instruction Set Architecture*) e o mecanismo de computação paralela na GPU. Para programar segundo a arquitetura CUDA, os desenvolvedores utilizam C com um conjunto de extensões, o chamado *CUDA Toolkit*, que pode ser então executado em um processador compatível com CUDA. Outras linguagens também são admitidas, como C++ e FORTRAN. Em versões antigas do *CUDA Toolkit*, era possível desenvolver mesmo sem ter o *hardware* necessário, usando um emulador, mas a partir da versão 3.0, essa funcionalidade não é mais suportada.

2.2 Histórico

As primeiras GPUs foram projetadas como aceleradores gráficos, suportando somente *pipelines* com funções fixas específicas¹. Fazer uso das GPU para outros propósitos além das gráficas, demandava o uso de linguagens de programação gráficas como a OpenGL². Os desenvolvedores tinham que mapear cálculos científicos a problemas que poderiam ser representados por triângulos e polígonos.

Em [Buck et al. \(2004\)](#) foi apresentado um sistema de computação de propósito geral em

¹Etapas pelas quais um dado gráfico é processado por uma GPU, tais como, operações com vértices, montagem de primitivas, rasterização, operação com fragmentos e composição.

²OpenGL (*Open Graphics Library*) é uma API livre utilizada na computação gráfica, para desenvolvimento de aplicativos gráficos, ambientes 3D, jogos, entre outros. ([WIKIPÉDIA, 2012b](#))

hardwares gráficos programáveis, chamado Brook. Este sistema estendia a linguagem C para incluir construções de paralelismo de dados, permitindo o uso das GPUs como coprocessadores de fluxo³. Neste trabalho foi proposto um compilador e um *runtime* que abstraía e virtualizava muitos aspectos dos dispositivos gráficos.

A NVIDIA sabia que um *hardware* extremamente rápido tinha que ser combinado a ferramentas intuitivas de *software* e *hardware*, e por isso convidou Ian Buck para juntar-se à empresa e começar a desenvolver uma solução para executar o C na GPU de forma fluida. Juntando o *software* e o *hardware*, a NVIDIA apresentou o CUDA em 2006, a primeira solução do mundo para computação de propósito geral em GPUs (NVIDIA, 2012c).

Atualmente todas as GPUs da NVIDIA suportam CUDA. CUDA não é uma arquitetura computacional no sentido de um conjunto de instruções e um conjunto de registradores específicos. Binários compilados para uma GPU CUDA não necessariamente executarão em todas as GPUs. A NVIDIA definiu o termo “*compute capability*” para descrever as funcionalidades suportadas por um *hardware* CUDA. A primeira GPU CUDA, GeForce 8800, possui a *compute capability* 1.0, e em 2011 a NVIDIA lançou GPUs com a *compute capability* 2.x, também conhecidas como arquitetura “Fermi”, veja Figura 2.1. Mais detalhes sobre as funcionalidades correspondentes a cada *compute capability* encontram-se em NVIDIA (2012a, Apêndice F, pág. 135).

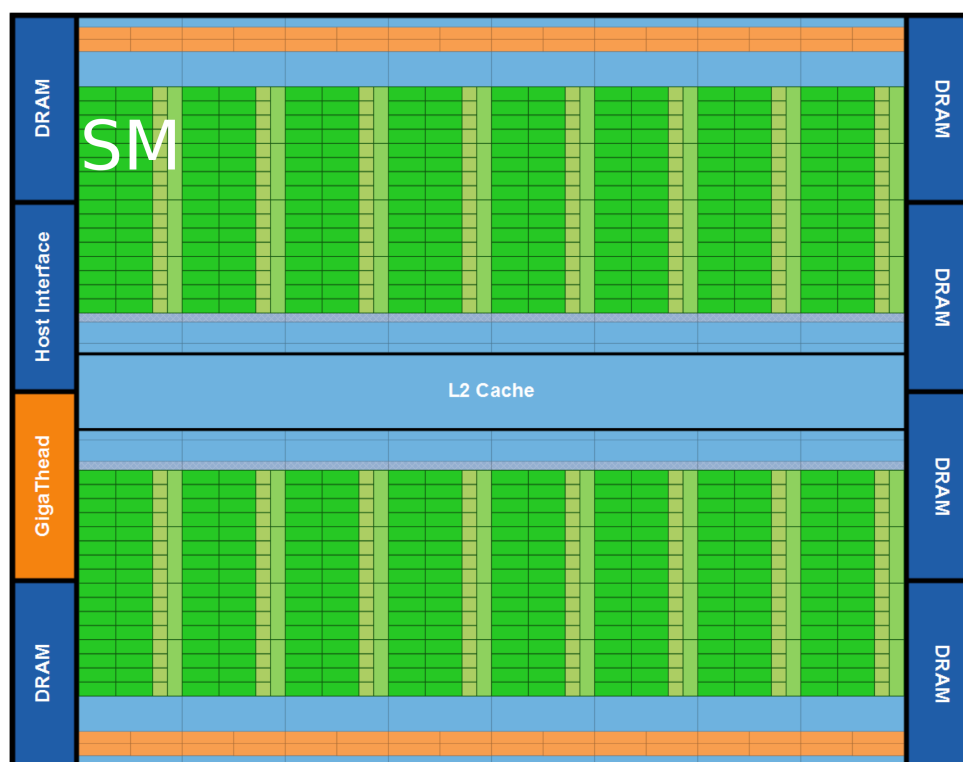


Figura 2.1: Fermi - Visão Geral da Arquitetura. (NVIDIA, 2011c)

Uma GPU CUDA consiste de múltiplos *streaming multiprocessor* (SMs), no caso da arquitetura

³Unidade de processamento que sobre um conjunto de dados (fluxo) aplica um série de operações (funções de *kernel*). Esta relacionado ao paradigma de programação “*single instruction, multiple data*” (SIMD).

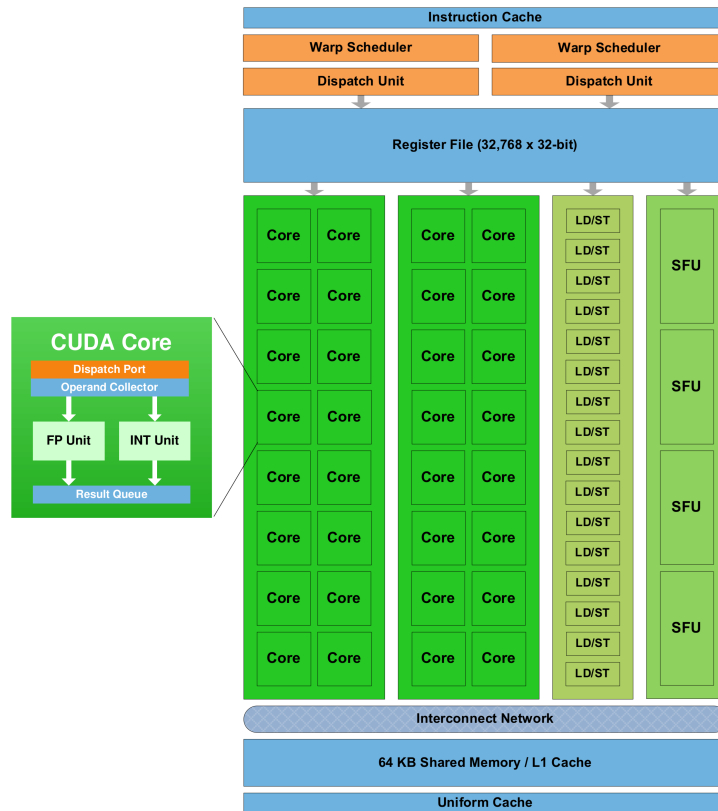


Figura 2.2: Fermi - Streaming Multiprocessor (SM) (NVIDIA, 2011c)

Fermi são 16 SMs, conforme exemplificado na Figura 2.1. Cada SM contém vários núcleos (*core*) CUDA, 8 *cores* por SM nas placas com *compute capability* 1.x, 32 *cores* por SM nas placas com *compute capability* 2.0 e 48 *cores* por SM nas placas com *compute capability* 2.1, cada *core* é o responsável por executar os cálculos aritméticos. Na Figura 2.2 está exemplificado um SM na arquitetura Fermi, contendo 32 CUDA *cores*.

2.3 CPU x GPU

De forma simplista as GPUs são projetadas com mais transistores dedicados ao processamento de dados, as chamadas unidades lógicas aritméticas (ALU), do que para *caching* e controle de fluxo, visando executar vários fluxos de instruções o mais rápido possível, enquanto CPUs gastam seus transistores com a finalidade de aumentar a velocidade de execução de um fluxo de instruções.

CPUs suportam uma ou duas *threads* por *core*, enquanto GPUs CUDA suportam até 1024 *threads* por *streaming multiprocessor*. O custo de troca (*switch*) de uma *thread* na CPU é de algumas centenas de ciclos, enquanto as GPUs não tem custo nas trocas de *threads*, na realidade as *threads* são trocadas a cada ciclo de relógio.

As GPUs usam o conceito de “*Single Instruction Stream - Multiple Data Stream*” (SIMD) para explorar o poder computacional destes ALUs, executando um único fluxo de instruções em múltiplos fluxos de dados independentes (FLYNN, 1966). Em GPUs CUDA ocorre um variação

na abordagem SIMD, um conjunto de *threads* executa o mesmo fluxo de instruções em diferentes conjuntos de dados, NVIDIA chama essa abordagem de “*Single Instruction Stream - Multiple Threads*” (SIMT) (NVIDIA, 2012a, pág.61).

Essa comparação arquitetural simplificada pode ser exemplificada pela Figura 2.3.

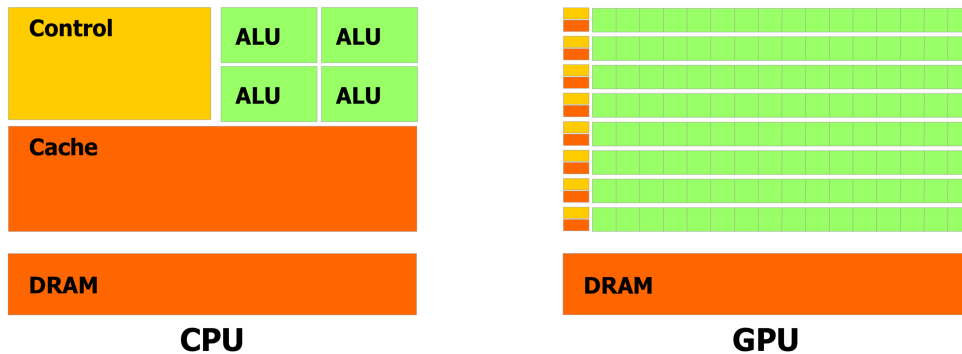


Figura 2.3: CPU x GPU (NVIDIA, 2012a)

Mais especificamente, a GPU é especialmente adequada para resolver os problemas que podem ser expressos como o mesmo programa sendo executado em muitos elementos de dados em paralelo, programas com uma alta intensidade de cálculos aritméticos comparados com as operações de acesso à memória. Como o mesmo programa é executado para cada elemento de dados, há uma menor necessidade de controle de fluxo sofisticado, e como é executado em muitos elementos de dados e tem intensidade aritmética elevada, a latência de acesso de memória pode ser ocultada com o uso cálculos intensos em vez de grandes *caches* de dados como ocorre nas CPUs.

2.4 Modelo de programação

O modelo de programação paralela CUDA baseia-se em três abstrações: uma hierarquia de grupos de *threads*, hierarquia de memórias compartilhadas, e barreiras de sincronização. Essas abstrações são disponibilizadas ao programador como um conjunto mínimo de extensões da linguagem de programação.

Essas abstrações guiam o programador a dividir o problema em grandes sub-problemas que podem ser resolvidos de forma independente em paralelo por blocos de *threads*, e cada sub-problema em pedaços menores que podem ser resolvidos de forma cooperativa em paralelo por todos as *threads* dentro do bloco.

Essa decomposição preserva a finalidade inicial do programa permitindo que *threads* cooperem na resolução dos sub-problemas, e ao mesmo tempo habilitando automaticamente a escalabilidade do problema. Cada bloco de *threads* pode ser designado para ser executado em qualquer multiprocessador disponível dentro de uma GPU, e em qualquer ordem, concorrentemente ou sequencialmente.

Este modelo de programação escalável permite que um programa CUDA seja executado em

uma variedade de *hardwares* CUDA, desde placas de alto-desempenho até placas mais baratas, simplesmente deixando com o *runtime* CUDA a responsabilidade de determinar o total de multi-processadores fisicamente disponíveis em um *hardware*. Como pode ser exemplificado na Figura 2.4.

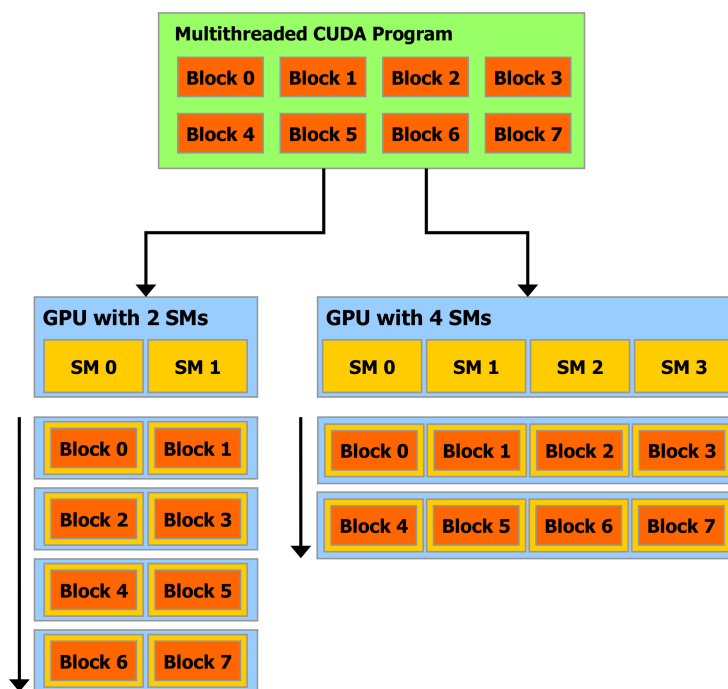


Figura 2.4: Escalabilidade Automática (NVIDIA, 2012a)

2.4.1 *Kernels* e Hierarquia de *Threads*

No modelo de programação CUDA o conjunto de instruções que serão executados devem ser distinguidos e agrupados por funções. Existem funções que são executadas na CPU, ou *host*, funções que são executadas na GPU, ou *device*. A função que o *host* chama para dar início a uma execução no *device* é chamada de *kernel*. A distinção entre as funções é feita por qualificadores explicados no Tópico 2.5.3.

Um *kernel* é mapeado por um conjunto de *threads*, que são agrupadas em blocos (*blocks*), e estes blocos são agrupados em um *grid*. Essa configuração contendo o número de blocos em cada *grid* e o número de *threads* em cada bloco é passada na chamada do *kernel*, conforme explicado no Tópico 2.5.5. *Threads* pertencentes a um bloco rodam em um mesmo SM, mas uma SM pode rodar múltiplos blocos concorrentemente. Internamente ao *device*, os blocos são divididos em grupos de 32 *threads*, chamados *warps*⁴, as *threads* pertencentes a um *warp* são executadas em sincronia.

As dimensões do *grid* e dos blocos podem ser unidimensionais, bidimensionais ou tridimensionais, no exemplo da Figura 2.5 está definido um *grid* bidimensional, formado por blocos também bidimensionais. Dentro de cada *thread* estão disponíveis variáveis *built-in* que designam unica-

⁴Este termo vem da tecelagem, considerado pela NVIDIA a primeira tecnologia *multi-thread*.

mente a qual bloco ela pertence e o seu próprio identificador, além das dimensões dos blocos e *grids*, conforme explicado no Tópico 2.5.4.

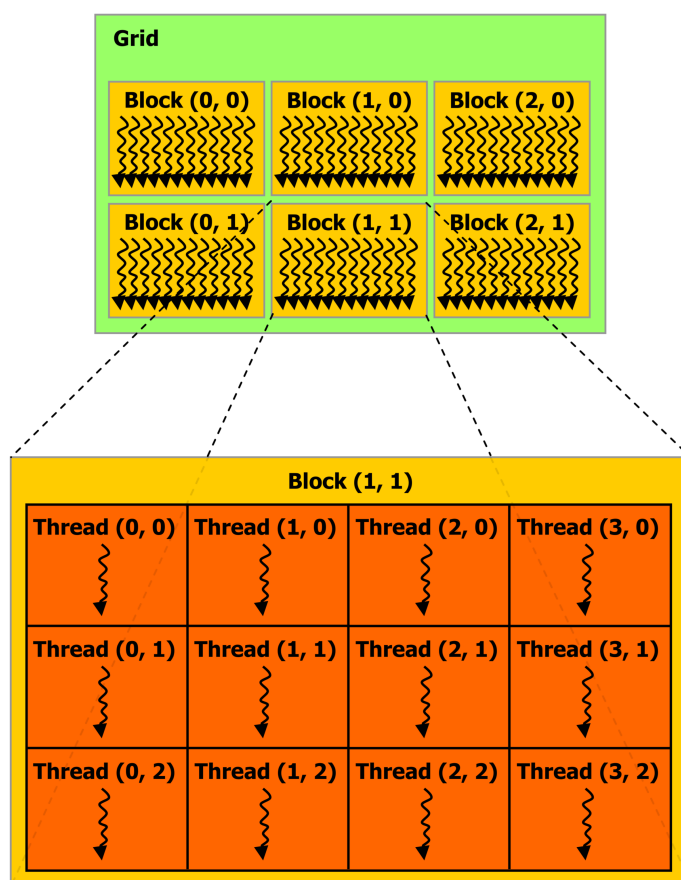


Figura 2.5: *Grid* formado por blocos de *threads* (NVIDIA, 2012a)

2.4.2 Hierarquia de Memória

Otimizar o desempenho de aplicações CUDA geralmente envolve otimizações no acesso de dados, que inclui o uso apropriado dos diferentes tipos de memória. Cada tipo de memória dentro de uma GPU possui uma forma distinta de leitura e escrita, tempo de vida, escopo e tempo de acesso. A Tabela 2.1 apresenta os diferentes tipos de memória presentes em um *device* CUDA.

Os bancos de registradores possuem o melhor tempo de acesso porém quanto mais *threads* são executadas menos registradores ficam disponíveis para as *threads*. Encontrar o número ótimo de *threads* rodando concorrentemente em um SM é um passo crucial para atingir-se um bom desempenho.

Cada SM possui vários KB de memória compartilhada (*shared*) de acesso rápido, acessível por todas as *threads* em um SM. Esta memória serve para troca de dados entre *threads* de um bloco com latência de acesso tão baixa quanto a dos registradores, mas a vazão (*throughput*) depende do padrão de acesso. A memória compartilhada é organizada em 16 bancos de memória, se duas *threads* pertencentes a um mesmo *half-warp* (16 *threads*) leem ou armazenam em diferentes

Tabela 2.1: Tipos de memórias

Memória	<i>on/off chip</i>	Acesso	Escopo	Tempo de Vida
Registrador	<i>on</i>	leitura/escrita	<i>thread</i>	<i>thread</i>
Local	<i>off</i>	leitura/escrita	<i>thread</i>	<i>thread</i>
Compartilhada	<i>on</i>	leitura/escrita	bloco	bloco
Global	<i>off</i>	leitura/escrita	<i>grids + host</i>	alocação do <i>host</i>
Constante	<i>off</i>	leitura	<i>grids + host</i>	alocação do <i>host</i>
Textura	<i>off</i>	leitura	<i>grids + host</i>	alocação do <i>host</i>

endereços dentro do mesmo banco de memória na mesma instrução, então essas requisições são serializadas. Este evento é chamado de conflito de banco (*bank conflicts*).

2.4.3 Transferência de dados entre GPU e CPU

Ambos *host* e *device* possuem suas próprias DRAM⁵. Todo o gerenciamento de memória realizado por um aplicativo (global, constantes e texturas), passa pelo *runtime* do CUDA, incluindo alocação, desalocação, e transferência de dados entre as memórias do *host* e do *device*.

Comunicação entre CPU e GPU é realizada pela transferência de dados entre a memória do *host* e a memória do *device* ou mapeando uma memória *page-locked* (também chamada de *pinned*) no espaço de endereços da GPU. Transferência de dados assíncrona entre memória *page-locked* do *host* e a memória do *device* pode ser sobreposta (*overlap*) com execuções na CPU, e em dispositivos CUDA desde a *compute capability* 1.1 essas transferências podem ser sobrepostas com execuções na GPU.

2.4.4 Barreira de Sincronização

Se uma *thread* necessita visualizar o valor de uma variável *shared* que foi escrita por outra *thread*, pode ocorrer uma inconsistência, pois a *thread* com a leitura pode acontecer antes da *thread* de escrita. Para evitar esse problema é necessário usar uma barreira de sincronização antes da leitura da variável, desta forma, quando a execução do programa encontrar essa barreira de sincronização ele aguardará a chegada de todas as *threads* do bloco que estão em execução neste ponto para poder prosseguir com a execução do programa, e conseqüentemente com a leitura da variável.

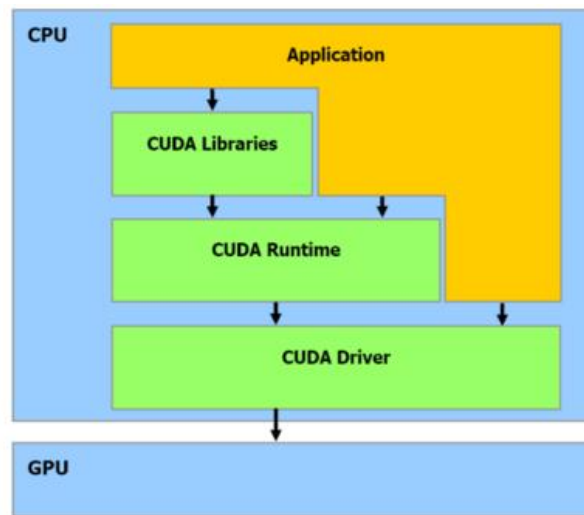


Figura 2.6: Pilha de *Software* CUDA (NVIDIA, 2008)

2.5 CUDA C

2.5.1 Pilha de *software*

A pilha de *software* CUDA (Figura 2.6) é composta por:

- Bibliotecas CUDA: conjunto de bibliotecas de uso genérico como CUBLAS (implementação da *Basic Linear Algebra Subprograms*), CUFFT (implementação da Transformada Rápida de Fourier), etc;
- *Runtime* CUDA: API de alto-nível que facilita a gerência de código para o *device* provendo inicialização implícita, gerência de contexto e gerência de módulos;
- *Driver* CUDA: API de baixo-nível, requer mais codificação, é mais complexa de programar e depurar, mas prove um nível melhor de controle e é independente de linguagem pois trata somente com binários CUDA.

O programador deve decidir qual API utilizar pois são mutuamente excludentes (NVIDIA, 2008).

2.5.2 Compilação

Primeiramente, o compilador separa as partes do programa que rodam no *host* das partes que rodam no *device*. As partes que rodam no *host* são compiladas com os compiladores C ou C++ para a respectiva arquitetura do *host*. As partes que rodam no *device* são traduzidas para uma linguagem intermediária chamada *Parallel Thread eXecution*(PTX). Esse código PTX é compatível entre as revisões menores de uma determinada *compute capability*. O *driver* da GPU contém um

⁵*Dynamic random-access memory*

compilador *JIT*⁶ para essa linguagem intermediária. Códigos que precisam rodar em *hardwares* com diferentes *compute capability* precisam gerar diferentes versões desse código PTX, a compilação final para o código binário será executada pelo respectivo *driver*. Esta última compilação pode também ser realizada *offline*, para produzir binários para uma arquitetura específica da GPU.

2.5.3 Qualificadores de funções

Especificam onde uma função é executada e de onde pode ser chamada (NVIDIA, 2012a, pág. 81):

- `__device__` : declara funções que são executadas no *device*, e só podem ser chamadas a partir do *device*;
- `__global__` : declara funções *kernel*, são executadas no *device*, e só podem ser chamadas a partir do *host*. Devem apresentar retorno do tipo *void*. Deve ser especificada a sua configuração de execução, conforme Tópico 2.5.5;
- `__host__` : declara funções que são executadas no *host*, e só podem ser chamadas a partir do *host*.

Caso a função seja declarada sem nenhum qualificador, ela será considerada do tipo `__host__` por padrão. Nos casos, em que a função deve ser compilada para o *device* e para o *host* os qualificadores `__host__` e `__device__` são usados combinados. Já os qualificadores `__global__` e `__host__` não podem ser usados juntos.

2.5.4 Variáveis *Built-in*

Servem para especificar o *grid*, a dimensão dos blocos e os índices das *threads*. Sendo válidas apenas dentro das funções que são executadas pelo *device*(GPU) (NVIDIA, 2012a, pág. 86). Essas variáveis são:

- *gridDim*: Variável do tipo *dim3* e corresponde a dimensão do *grid*;
- *blockIdx*: Variável do tipo *uint3* e corresponde ao índice do bloco no *grid*;
- *blockDim*: Variável do tipo *dim3* e corresponde a dimensão do bloco;
- *threadIdx*: Variável do tipo *uint3* e corresponde ao índice da *thread* no bloco;
- *warpSize*: Variável do tipo básico *int* e contém o tamanho do *warp* em *threads*.

O tipo *uint3* é utilizado para designar um vetor contendo três elementos do tipo básico *int*, cada um dos elementos é acessado pela notação *var.x*, *var.y* e *var.z*. O tipo *dim3* corresponde

⁶Compilador *just-in-time* é um tradutor que converte, em tempo de execução, instruções de um formato para outro, por exemplo, no caso da linguagem Java, de *bytecode* para código de máquina.(WIKIPÉDIA, 2012a)

a um vetor de inteiros do tipo *uint3* especializado para a definição de dimensões, os elementos não especificados no vetor são inicializados com o valor 1. Ambos os tipos estão disponíveis na biblioteca de *runtime* do CUDA. Para nenhuma das variáveis *built-in* é possível realizar atribuição de valores.

2.5.5 Chamada do Kernel

As funções declaradas com o qualificador `__global__` representam o *kernel* e na sua chamada devem ser definidos alguns parâmetros para a execução da função (NVIDIA, 2012a, pág. 111). Essa configuração é expressa da seguinte forma $\lll Dg, Db, NS, S \ggg$, onde :

- *Dg*: variável do tipo *dim3* e especifica a dimensão e o tamanho do *grid*;
- *Db*: variável do tipo *dim3* e especifica a dimensão e o tamanho de cada bloco;
- *NS*: variável do tipo *size_t* e especifica o tamanho, em *bytes*, do espaço que será alocado dinamicamente na memória compartilhada por bloco, esse argumento é opcional e seu valor padrão é 0;
- *S*: variável do tipo *cudaStream_t* e especifica o *stream* associado ao *kernel*, esse argumento é opcional e seu valor padrão é 0.

2.5.6 Qualificadores de Variáveis

Especificam a localização na memória de uma variável. Os seguintes qualificadores de variáveis estão disponíveis (NVIDIA, 2012a, pág. 82):

- `__device__` : declara variáveis que devem residir no *device* e na memória global;
- `__constant__` : declara variáveis que devem residir no espaço de memória de constante;
- `__shared__` : declara variáveis que devem residir no espaço de memória de compartilhado.

2.5.7 Sincronização de *Threads*

A sincronização de *threads* explícita é realizada pelo comando `__syncthreads()`, esta é uma operação que pode impactar no desempenho, pois força o SM a ficar ocioso aguardando as outras *threads* chegarem ao ponto de sincronização.

Como um *warp* executa uma instrução simples por vez e *threads* dentro de um *warp* são implicitamente sincronizadas, isto pode ser usado para omitir as instrução `__syncthreads()` visando melhorar o desempenho (NVIDIA, 2012a, pág. 77).

Capítulo 3

AES - *Advanced Encryption Standard*

Neste capítulo é apresentado algoritmo criptográfico AES e alguns aspectos de sua implementação em software.

3.1 Introdução

Em Criptografia, o *Advanced Encryption Standard* (AES, ou Padrão de Criptografia Avançada), também conhecido por Rijndael¹, é uma cifra de bloco adotada como padrão de criptografia pelo governo dos Estados Unidos. O AES foi anunciado pelo NIST (Instituto Nacional de Padrões e Tecnologia dos EUA) como U.S. FIPS PUB (FIPS 197) em 26 de Novembro de 2001, depois de 5 anos de um processo de padronização (NIST, 2001a). Tornou-se um padrão efetivo em 26 de Maio de 2002. É amplamente utilizado em todo o ecossistema de *hardware* e *software* para proteger o tráfego de rede, dados pessoais, e infraestrutura corporativa de TI.

3.2 Descrição da Cifra

Todos os *bytes* no algoritmo AES são interpretados como elementos de um corpo finito. Esses elementos são adicionados ou multiplicados seguindo as definições matemáticas descritas em NIST (2001a, pág. 10-13). Os seguintes operadores são definidos, \oplus para adição e \bullet para multiplicação.

O AES opera sobre um arranjo bidimensional de *bytes* com 4x4 posições, denominado de estado (*state*).

O tamanho do bloco de entrada, bloco de saída e do estado é de 128 *bits*. Este tamanho é representado por $N_b = 4$, que reflete o número de palavras de 32 *bits* que o compõe, ou o número de colunas da visão bidimensional do estado.

O tamanho da chave de cifração/decifração é de 128, 192 ou 256 *bits*. Este tamanho é representado por $N_k = 4, 6, \text{ ou } 8$, que reflete o número de palavras de 32 *bits* que o compõe. É comum denominar o AES dependentemente do tamanho de sua chave, surgindo os nomes AES-128, AES-192 e AES-256.

¹Nome formado da fusão dos nomes de seus criadores Vincent Rijmen e Joan Daemen

O número de rodadas (*rounds*) a ser executado sobre um estado é dependente do tamanho da chave (Tabela 3.1). Este número é representado por $N_r = 10, 12$ ou 14 .

Tabela 3.1: AES: Combinações de chave, bloco e rodadas

	Tamanho da Chave (N_k)	Tamanho do Bloco (N_b)	Número de rodadas (N_r)
AES-128	4	4	10
AES-192	6	4	12
AES-256	8	4	14

O processo de cifração, descrito no Algoritmo 3.1, faz uso da chave de cifração expandida, conforme o Algoritmo 3.4, e de 4 transformações que são aplicadas sobre o estado, conforme Tópicos 3.2.1, 3.2.2, 3.2.3 e 3.2.4. Em NIST (2001a) esse processo é denominado “*Cipher*”.

O processo de decifração, descrito no Algoritmo 3.2, faz uso da mesma chave de cifração expandida gerada pelo Algoritmo 3.4 e das transformações inversas da cifração que são aplicadas sobre o estado, conforme Tópicos 3.2.5, 3.2.6, 3.2.7 e 3.2.8. Em NIST (2001a) esse processo é denominado “*Inverse Cipher*”.

Um processo equivalente para a decifração é fornecido em NIST (2001a). Este processo (Algoritmo 3.3) oferece uma estrutura mais eficiente do que o processo descrito no Algoritmo 3.2, porém exige uma alteração na chave de cifração expandida, aplicando os Algoritmos 3.4 e 3.5 em sequência para gerar as chaves de rodada que serão usadas neste algoritmo. Em NIST (2001a) esse processo é denominado “*Equivalent Inverse Cipher*”.

Código fonte 3.1: Pseudocódigo para cifração do AES (NIST, 2001a)

```

Cipher(byte in[4*Nb], byte out[4*Nb], word w[Nb*(Nr+1)])
begin
  byte state[4,Nb]

  state = in

  AddRoundKey(state, w[0, Nb - 1])

  for round = 1 step 1 to Nr - 1
    SubBytes(state)
    ShiftRows(state)
    MixColumns(state)
    AddRoundKey(state, w[round*Nb, (round + 1)*Nb - 1])
  end for

  SubBytes(state)
  ShiftRows(state)
  AddRoundKey(state, w[Nr*Nb, (Nr + 1)*Nb - 1])

  out = state
end

```

Código fonte 3.2: Pseudocódigo para decifração do AES (NIST, 2001a)

```

InvCipher(byte in[4*Nb], byte out[4*Nb], word w[Nb*(Nr+1)])

```



```

begin
  byte state[4,Nb]

  state = in

  AddRoundKey(state, w[Nr*Nb, (Nr+1)*Nb-1])

  for round = Nr-1 step -1 downto 1
    InvShiftRows(state)
    InvSubBytes(state)
    AddRoundKey(state, w[round*Nb, (round+1)*Nb-1])
    InvMixColumns(state)
  end for

  InvShiftRows(state)
  InvSubBytes(state)
  AddRoundKey(state, w[0, Nb-1])

  out = state
end

```

Código fonte 3.3: Pseudocódigo equivalente para decifração do AES ([NIST, 2001a](#))

```

EqInvCipher(byte in[4*Nb], byte out[4*Nb], word dw[Nb*(Nr+1)])
begin
  byte state[4,Nb]
  state = in
  AddRoundKey(state, dw[Nr*Nb, (Nr+1)*Nb-1])

  for round = Nr-1 step -1 downto 1
    InvSubBytes(state)
    InvShiftRows(state)
    InvMixColumns(state)
    AddRoundKey(state, dw[round*Nb, (round+1)*Nb-1])
  end for

  InvSubBytes(state)
  InvShiftRows(state)
  AddRoundKey(state, dw[0, Nb-1])

  out = state
end

```

3.2.1 Transformação AddRoundKey

Nesta transformação o estado é combinado com a chave de rodada, usando uma operação XOR *byte a byte*.

3.2.2 Transformação SubBytes

Nesta transformação cada *byte* do estado é substituído por outro de acordo com uma tabela de referência, denominada S-Box (Figura 3.1). A tabela S-Box é inversível e é construída calculando o inverso multiplicativo em $GF(2^8)$ para cada um dos *bytes*, sendo que “00” é mapeado em si mesmo, e então aplicando uma transformação afim em $GF(2)$, descrita em [NIST \(2001a\)](#).

		y															
		0	1	2	3	4	5	6	7	8	9	a	b	c	d	e	f
x	0	63	7c	77	7b	f2	6b	6f	c5	30	01	67	2b	fe	d7	ab	76
	1	ca	82	c9	7d	fa	59	47	f0	ad	d4	a2	af	9c	a4	72	c0
	2	b7	fd	93	26	36	3f	f7	cc	34	a5	e5	f1	71	d8	31	15
	3	04	c7	23	c3	18	96	05	9a	07	12	80	e2	eb	27	b2	75
	4	09	83	2c	1a	1b	6e	5a	a0	52	3b	d6	b3	29	e3	2f	84
	5	53	d1	00	ed	20	fc	b1	5b	6a	cb	be	39	4a	4c	58	cf
	6	d0	ef	aa	fb	43	4d	33	85	45	f9	02	7f	50	3c	9f	a8
	7	51	a3	40	8f	92	9d	38	f5	bc	b6	da	21	10	ff	f3	d2
	8	cd	0c	13	ec	5f	97	44	17	c4	a7	7e	3d	64	5d	19	73
	9	60	81	4f	dc	22	2a	90	88	46	ee	b8	14	de	5e	0b	db
	a	e0	32	3a	0a	49	06	24	5c	c2	d3	ac	62	91	95	e4	79
	b	e7	c8	37	6d	8d	d5	4e	a9	6c	56	f4	ea	65	7a	ae	08
	c	ba	78	25	2e	1c	a6	b4	c6	e8	dd	74	1f	4b	bd	8b	8a
	d	70	3e	b5	66	48	03	f6	0e	61	35	57	b9	86	c1	1d	9e
	e	e1	f8	98	11	69	d9	8e	94	9b	1e	87	e9	ce	55	28	df
	f	8c	a1	89	0d	bf	e6	42	68	41	99	2d	0f	b0	54	bb	16

Figura 3.1: Tabela S-BOX: valores de substituição para o *byte* xy (no formato hexadecimal) (NIST, 2001a)

3.2.3 Transformação ShiftRows

Nesta transformação são alteradas as linhas do estado, deslocando os *bytes* em cada linha de um determinado número de posições. A primeira linha fica inalterada. Cada *byte* da segunda linha é rotacionado à esquerda de uma posição. Similarmente, a terceira e quarta linhas são rotacionadas à esquerda de duas e de três posições respectivamente.

3.2.4 Transformação MixColumns

Nesta transformação cada coluna do estado é combinada usando uma transformação linear inversível. Cada coluna é tratada como um polinômio em $GF(2^8)$ e é então multiplicado em módulo $x^4 + 1$ pelo polinômio fixo $a(x) = \{03\}x^3 + \{01\}x^2 + \{01\}x + \{02\}$, sendo os coeficientes de $a(x)$ *bytes* no formato hexadecimal no corpo finito $GF(2^8)$.

3.2.5 Transformação Inversa da AddRoundKey

A transformação inversa da AddRoundKey é ela mesma, pois trata-se de uma simples operação XOR *byte* a *byte*.

3.2.6 Transformação invSubBytes

Nesta transformação cada *byte* do estado é substituído por outro de acordo com uma tabela inversa da tabela referência S-Box (Figura 3.2). Esta tabela é obtida pela inversa da transformação afim em $GF(2)$ descrita em NIST (2001a) seguida pelo cálculo do inverso multiplicativo em $GF(2^8)$.

		y															
		0	1	2	3	4	5	6	7	8	9	a	b	c	d	e	f
x	0	52	09	6a	d5	30	36	a5	38	bf	40	a3	9e	81	f3	d7	fb
	1	7c	e3	39	82	9b	2f	ff	87	34	8e	43	44	c4	de	e9	cb
	2	54	7b	94	32	a6	c2	23	3d	ee	4c	95	0b	42	fa	c3	4e
	3	08	2e	a1	66	28	d9	24	b2	76	5b	a2	49	6d	8b	d1	25
	4	72	f8	f6	64	86	68	98	16	d4	a4	5c	cc	5d	65	b6	92
	5	6c	70	48	50	fd	ed	b9	da	5e	15	46	57	a7	8d	9d	84
	6	90	d8	ab	00	8c	bc	d3	0a	f7	e4	58	05	b8	b3	45	06
	7	d0	2c	1e	8f	ca	3f	0f	02	c1	af	bd	03	01	13	8a	6b
	8	3a	91	11	41	4f	67	dc	ea	97	f2	cf	ce	f0	b4	e6	73
	9	96	ac	74	22	e7	ad	35	85	e2	f9	37	e8	1c	75	df	6e
	a	47	f1	1a	71	1d	29	c5	89	6f	b7	62	0e	aa	18	be	1b
	b	fc	56	3e	4b	c6	d2	79	20	9a	db	c0	fe	78	cd	5a	f4
	c	1f	dd	a8	33	88	07	c7	31	b1	12	10	59	27	80	ec	5f
	d	60	51	7f	a9	19	b5	4a	0d	2d	e5	7a	9f	93	c9	9c	ef
	e	a0	e0	3b	4d	ae	2a	f5	b0	c8	eb	bb	3c	83	53	99	61
	f	17	2b	04	7e	ba	77	d6	26	e1	69	14	63	55	21	0c	7d

Figura 3.2: Tabela Inversa da S-BOX: valores de substituição para o *byte* xy (no formato hexadecimal)(NIST, 2001a)

3.2.7 Transformação `invShiftRows`

Nesta transformação são alteradas as linhas do estado, deslocando os *bytes* em cada linha de um determinado número de posições. A primeira linha fica inalterada. Cada *byte* da segunda linha é rotacionado à direita de uma posição. Similarmente, a terceira e quarta linhas são rotacionadas à direita de duas e de três posições respectivamente.

3.2.8 Transformação `invMixColumns`

Nesta transformação cada coluna do estado é combinada usando uma transformação linear inversível. Cada coluna é tratada como um polinômio em $GF(2^8)$ e é então multiplicado em módulo $x^4 + 1$ pelo polinômio fixo $a^{-1}(x) = \{0b\}x^3 + \{0d\}x^2 + \{09\}x + \{0e\}$, sendo os coeficientes de $a^{-1}(x)$ *bytes* no formato hexadecimal no corpo finito $GF(2^8)$.

3.2.9 Expansão da Chave

A chave de cifração é expandida usando-se o Algoritmo 3.4, neste processo são gerados um total de $N_b * (N_r + 1)$ palavras de 32 *bits*.

A função `SubWord()` recebe 4 *bytes* e aplica a tabela S-BOX (Figura 3.1) em cada um dos *bytes* para gerar sua saída.

A função `RotWord()` recebe uma palavra de 4 *bytes* e a rotaciona à esquerda para gerar sua saída.

O vetor constante de rodada, $Rcon[i]$, contém os valores $[\{02\}^{i-1}, \{00\}, \{00\}, \{00\}]$, onde as operações de multiplicação ocorrem no corpo $GF(2^8)$ módulo o polinômio $m(x) = x^8 + x^4 + x^3 + x + 1$, e o índice i inicia-se em 1.

Código fonte 3.4: Pseudocódigo para expansão de chave de cifração do AES (NIST, 2001a)

```

KeyExpansion (byte key[4*Nk], word w[Nb*(Nr+1)], Nk)
begin
  word temp

  i=0

  while (i < Nk)
    w[i] = word(key[4*i], key[4*i+1], key[4*i+2], key[4*i+3])
    i = i+1
  end while

  i = Nk

  while (i < Nb * (Nr+1))
    temp = w[i-1]
    if (i mod Nk = 0)
      temp = SubWord(RotWord(temp)) xor Rcon[i/Nk]
    else if (Nk > 6 and i mod Nk = 4)
      temp = SubWord(temp)
    end if
    w[i] = w[i-Nk] xor temp
    i=i+1
  end while
end

```

A chave de decifração usada no Algoritmo 3.3 é gerada aplicando primeiramente o Algoritmo 3.4 e em seguida o Algoritmo 3.5. Cabe ressaltar uma mudança na transformação InvMixColumns usada nesse algoritmo, a transformação original descrita no Tópico 3.2.8 opera sobre um vetor bidimensional, o estado, no Algoritmo 3.5 a transformação InvMixColumns opera sobre um vetor unidimensional.

Código fonte 3.5: Pseudocódigo para expansão da chave da decifração(equivalente) AES (NIST, 2001a)

```

for i = 0 step 1 to (Nr+1)*Nb-1
  dw[i] = w[i]
end for

for round = 1 step 1 to Nr-1
  InvMixColumns(dw[round*Nb, (round+1)*Nb-1])
end for

```

3.3 Modos de Operação

Existem cinco modos de operação para as cifras de bloco recomendados em NIST (2001b): *Electronic Codebook* (ECB), *Cipher Block Chaining* (CBC), *Cipher Feedback* (CFB), *Output Feedback* (OFB) e *Counter* (CTR). Para as implementações do algoritmo AES que fazem uso de paralelismo são mais apropriados os seguintes modos de operação, ECB e CTR para cifração e ECB, CBC, CFB e CTR para decifração. Cabe ressaltar que o modo de operação ECB não é seguro para aplicações práticas, contudo é adequado para fins de medição de desempenho de cifração/decifração.

3.3.1 Padding

Os modos de operação ECB e CBC requerem que a sua entrada seja um múltiplo do tamanho do bloco. Se o tamanho do texto a ser cifrado não é um múltiplo do tamanho do bloco é necessário completar o bloco antes da cifração (*padding*), e no momento da decifração esse *padding* deve ser removido após o final do processo.

Em Kaliski (2000) e Kaliski (1998) é proposto o seguinte método de *padding*:

1. Determinar TAM , o tamanho do texto a ser cifrado;
2. Determinar PAD , o quanto falta para TAM ser um múltiplo do tamanho do bloco (16 *bytes* no caso do AES);
3. Completar o último bloco do texto a ser cifrado com PAD *bytes* de valor PAD ;
4. Caso TAM seja um múltiplo de 16 (dezesseis), um bloco adicional contendo 16 *bytes* de valor 16 é concatenado ao texto a ser cifrado .

3.4 Table Look-up

Em Daemen e Rijmen (1999) no tópico que trata sobre aspectos de implementação do AES em processadores de 32 *bits* é sugerida a combinação dos diferentes passos de uma rodada do AES em um conjunto de tabelas. São definidas 4 tabelas, T_0 , T_1 , T_2 e T_3 (Figura 3.3), cada uma contendo 256 palavras de 4 *bytes* totalizando 4KiB de espaço total. De modo análogo ao processo de cifração, as tabelas da Figura 3.4 representam as *table look-up* para a decifração. Nas Figuras 3.3 e 3.4 a função $S[a]$ é a aplicação da transformação SubBytes, a função $iS[a]$ é a aplicação da transformação invSubBytes e o operador \bullet é a multiplicação no corpo finito $GF(2^8)$ definido em NIST (2001a, pág. 10-13).

$$\begin{aligned}
 T_0[a] &= \begin{bmatrix} S[a] \bullet 02 \\ S[a] \bullet 01 \\ S[a] \bullet 01 \\ S[a] \bullet 03 \end{bmatrix} & T_1[a] &= \begin{bmatrix} S[a] \bullet 03 \\ S[a] \bullet 02 \\ S[a] \bullet 01 \\ S[a] \bullet 01 \end{bmatrix} \\
 T_2[a] &= \begin{bmatrix} S[a] \bullet 01 \\ S[a] \bullet 03 \\ S[a] \bullet 02 \\ S[a] \bullet 01 \end{bmatrix} & T_3[a] &= \begin{bmatrix} S[a] \bullet 01 \\ S[a] \bullet 01 \\ S[a] \bullet 03 \\ S[a] \bullet 02 \end{bmatrix}
 \end{aligned}$$

Figura 3.3: AES cifração *Table Look-up* (DAEMEN; RIJMEN, 1999)

Considerando $a_{i,j}$ o estado na entrada de uma rodada, $b_{i,j}$ o estado na saída de uma rodada e k_j a chave expandida da rodada, sendo $0 \leq i, j < 4$ com i representando a linha do estado e j a coluna, e usando essas tabelas (Figura 3.3), tem-se que a transformação desta rodada pode ser expressa pela Figura 3.5.

$$\begin{aligned}
Td_0[a] &= \begin{bmatrix} iS[a] \bullet 0e \\ iS[a] \bullet 09 \\ iS[a] \bullet 0d \\ iS[a] \bullet 0b \end{bmatrix} & Td_1[a] &= \begin{bmatrix} iS[a] \bullet 0b \\ iS[a] \bullet 0e \\ iS[a] \bullet 09 \\ iS[a] \bullet 0d \end{bmatrix} \\
Td_2[a] &= \begin{bmatrix} iS[a] \bullet 0d \\ iS[a] \bullet 0b \\ iS[a] \bullet 0e \\ iS[a] \bullet 09 \end{bmatrix} & Td_3[a] &= \begin{bmatrix} iS[a] \bullet 09 \\ iS[a] \bullet 0d \\ iS[a] \bullet 0b \\ iS[a] \bullet 0e \end{bmatrix}
\end{aligned}$$

Figura 3.4: AES decifração *Table Look-up* (DAEMEN; RIJMEN, 1999)

$$\begin{bmatrix} b_{0,j} \\ b_{1,j} \\ b_{2,j} \\ b_{3,j} \end{bmatrix} = T_0[a_{0,j}] \oplus T_1[a_{1,(j-1) \bmod 4}] \oplus T_2[a_{2,(j-2) \bmod 4}] \oplus T_3[a_{3,(j-3) \bmod 4}] \oplus k_j$$

Figura 3.5: Rodada da cifração do AES usando *Table Look-up* (DAEMEN; RIJMEN, 1999)

Pode-se observar que as entradas $T_0[a]$, $T_1[a]$, $T_2[a]$ e $T_3[a]$ são versões rotacionadas uma das outras, para todos os valores de a . Consequentemente, ao custo de três rotações adicionais para cada coluna por rodada, a implementação de *table look-up* pode ser realizada com somente uma tabela. Ainda é possível realizar a geração dessas tabelas durante a execução ao invés de inseri-las no código.

Na rodada final, a transformação MixColumns não é utilizada, isso significa que deve ser utilizada a tabela SBox ao invés das tabelas T . A necessidade de uma tabela adicional pode ser eliminada pela extração da tabela SBOX a partir da tabela T com uso de mascaramento.

3.5 *Bit-Slicing*

Bit-Slicing é uma técnica proposta por Biham (1997) para o algoritmo DES². Esta técnica enxerga um processador de W bits como um computador paralelo SIMD capaz de executar W operações sobre 1 bit simultaneamente, para isso um operando deve conter W bits de W diferentes entradas. Esses operandos são montados da seguinte forma, W diferentes entradas são selecionadas e arranjadas sendo que a primeira palavra do rearranjo contém o primeiro bit de cada uma das W entradas, a segunda palavra contém o segundo bit de cada uma das W entradas, e assim por diante. Após esse rearranjo das entradas, os operandos passam por um conjunto de circuitos lógicos que representam as transformações ocorridas bit a bit.

Rebeiro e Devi (2006), Matsui e Nakajima (2007) e Kasper e Schwabe (2009) propõem o uso da técnica de *bit-slicing* para o algoritmo AES. Desta forma as transformações do AES, são descritas na forma de circuitos lógicos que operam bit a bit dos estados. Esta implementação é imune aos

²Data Encryption Standard, algoritmo antecessor do AES

ataques de *cache-timing*, diferentemente das implementações usando *table look-up* sugeridas em (DAEMEN; RIJMEN, 1999) que são suscetíveis a esses ataques (BERNSTEIN, 2005; OSVIK; TROMER, 2005).

Kasper e Schwabe (2009) apresentam a implementação estado da arte do AES em processadores *Intel Core 2*. Neste trabalho são reportados os desempenhos de uma implementação de tempo constante do AES no modo CTR na cifração de pacotes de 40, 576, 1500 e 4096 *bytes* em 3 CPUs diferentes. A Tabela 3.2 exibe o desempenho do AES no modo CTR no processo de cifração de um pacote de 4096 *bytes* com uma chave de 128 *bits*, em todos os resultados foram utilizados somente um núcleo(*core*) da CPU e estão incluídos os tempos de transformação dos dados de entrada para o formato *bit-sliced* e a transformação da saída para o formato padrão.

Tabela 3.2: Resultados de Kasper e Schwabe (2009) para cifração AES-CTR (128 bits) de pacotes de 4096 *bytes*

CPU	Frequência da CPU (MHz)	Desempenho da cifração (ciclos/ <i>byte</i>)	Desempenho da cifração (Gbit/s)
<i>Intel Core 2 Quad Q6600</i>	2404,102	9,32	2,063
<i>Intel Core 2 Quad Q9550</i>	2833	7,59	2,986
<i>Intel Core i7 920</i>	2668	6,92	3,084

3.6 AES-NI

Em 2010, a Intel lançou uma nova família de processadores, codinome *Westmere*, que inclui um conjunto de novas instruções denominadas *Intel[®] Advanced Encryption Standard (AES) New Instructions* (AES-NI). Essas instruções implementam todas as etapas do algoritmo AES em *hardware*, resultando em uma implementação do AES usando menos ciclos de relógio (*clock*) do que uma solução somente baseada em *software* (INTEL, 2010b).

O conjunto de instruções AES-NI é composto de seis instruções, quatro delas usadas para executar uma rodada da cifração ou decifração e as outras duas são usadas para geração de chaves de rodada. Segue uma descrição mais detalhada dessas novas instruções:

- AESENC: Esta instrução implementa uma rodada do processo de cifração, combinando as quatro transformações do algoritmo AES (ShiftRows, SubBytes, MixColumns e AddRoundKey) em uma instrução;
- AESENCLAST: Esta instrução implementa a última rodada do processo de cifração do algoritmo AES, combinando as transformações ShiftRows, SubBytes e AddRoundKey em uma instrução;
- AESDEC: Esta instrução implementa uma rodada do processo de decifração, combinando

as quatro transformações do algoritmo AES (InvShiftRows, InvSubBytes, InvMixColumns e AddRoundKey) em uma instrução;

- AESDECLAST: Esta instrução implementa a última rodada do processo de decifração do algoritmo AES, combinando as transformações InvShiftRows, InvSubBytes e AddRoundKey em uma instrução;
- AESKEYGENASSIST: Esta instrução implementa o processo de expansão da chave de cifração, gerando as chaves de rodada;
- AESIMC: Esta instrução é usada para converter as chaves de rodada usadas no processo de cifração para uma forma utilizável no processo de equivalente de decifração (*“Equivalent Inverse Cipher”*).

As novas instruções além de proverem desempenho, fornecem importantes benefícios de segurança. Executando em tempo igual independentemente do dado de entrada e não se utilizando de tabelas, são eliminados os principais ataques baseados em tempo e *cache* (BERNSTEIN, 2005; OSVIK; TROMER, 2005), ataques esses que assolam as implementações do AES que usam *table look-up* (INTEL, 2010b).

Em (INTEL, 2010a) são apresentados resultados de uma implementação do AES, sobre um núcleo da CPU, nos modos de operação ECB, CBC e CTR para os processos de cifração/decifração de um bloco de 1KiB usando as instruções AES-NI num processador da família *Westmere* com frequência de CPU de 2.67 GHz, conforme Tabela 3.3. Neste trabalho também é apresentado o desempenho do OpenSSL³ versão 0.9.8h, sobre o mesmo processador, para o processo de cifração do AES nos modos ECB, CBC e CTR para 128 *bits* de chave, porém sem usar as instruções AES-NI, conforme Tabela 3.4.

3.7 AES e CUDA

Já foram realizados vários esforços na implementação do algoritmo AES na plataforma CUDA. Esta seção aborda algumas dessas tentativas visando levantar os caminhos trilhados e os resultados alcançados, que servirão de guia para os capítulos seguintes. Cabe salientar que nos vários trabalhos que tratam de AES e CUDA constantemente são utilizadas as expressões **tempo de cifração** e **tempo de cifração total**, a primeira referindo-se ao tempo que a placa CUDA demora para cifrar um texto e a segunda referindo-se ao tempo de cifração do texto mais o tempo das transferências de dados entre a CPU e a GPU. Esses dois tempos são ressaltados pois, como será visto, o tempo gasto nas transferências de dados entre CPU e GPU impacta fortemente no desempenho final do processo de cifração usando as placas CUDA.

³OpenSSL é uma implementação de código aberto dos protocolos *Secure Socket Layer* (SSL v2/v3) e *Transport Layer Security* (TLS v1), fornecendo também uma biblioteca escrita na linguagem C que implementa as funções básicas de criptografia e várias funções utilitárias.

Tabela 3.3: Resultados de INTEL (2010a) para cifração/decifração AES de um bloco de 1024 *bytes*

Modo de Operação	Cifração / Decifração	Tamanho da Chave (bits)	Desempenho (ciclos/<i>byte</i>)	Desempenho (Gbit/s)
ECB	Cifração	128	1,28	16,687
ECB	Decifração	128	1,26	16,952
CBC	Cifração	128	4,15	5,146
CBC	Decifração	128	1,30	16,430
CTR	Cifração	128	1,38	15,478
CTR	Decifração	128	1,38	15,478
ECB	Cifração	192	1,53	13,960
ECB	Decifração	192	1,51	14,145
CBC	Cifração	192	4,91	4,350
CBC	Decifração	192	1,53	13,960
CTR	Cifração	192	1,61	13,267
CTR	Decifração	192	1,61	13,267
ECB	Cifração	256	1,76	12,136
ECB	Decifração	256	1,76	12,136
CBC	Cifração	256	5,65	3,780
CBC	Decifração	256	1,78	12
CTR	Cifração	256	1,88	11,361
CTR	Decifração	256	1,88	11,361

Tabela 3.4: Resultados de INTEL (2010a) para cifração AES-128 usando OpenSSL versão 0.9.8h sem AES-NI

Modo de Operação	Desempenho da cifração (ciclos/<i>byte</i>)	Desempenho da cifração (Gbit/s)
ECB	15,38	1,388
CBC	17,66	1,209
CTR	19,60	1,089

3.7.1 Manavski (2007)

Considerado o primeiro trabalho com o uso de CUDA e o AES. Faz uso de uma implementação com tabelas de *look-up* armazenadas na memória constante da placa CUDA, cada bloco contém 256 *threads* e é responsável por processar 1024 *bytes*. Os dados de entrada são armazenados inicialmente na memória global e posteriormente guardados na memória compartilhada. As Tabelas 3.5 e 3.6 apresentam os tempos e desempenhos obtidos neste trabalho.

Apesar de não ser citado no documento o modo de operação utilizado, supõem-se que seja uma implementação usando ECB dado que o objetivo do trabalho era a mensuração do máximo desempenho.

O *hardware* utilizado foi a NVIDIA 8800 GTX, com 128 *cores*, 384 *bits* de interface de memória e 1350 MHz de frequência de operação.

Tabela 3.5: Resultados de Manavski (2007)

Algoritmo	Tamanho Arquivo (MiB)	Tempo de cifração GPU (ms)	Desempenho da cifração (Gbit/s)	Tempo Total de cifração GPU (ms)	Desempenho da cifração total (Gbit/s)
AES-128	1	1,04	7,512	3,50	2,232
AES-128	4	3,80	8,224	13,00	2,404
AES-128	8	7,55	8,278	25,00	2,500
AES-256	1	1,31	5,964	3,74	2,089
AES-256	4	4,78	6,538	13,90	2,248
AES-256	8	9,39	6,656	27,34	2,286

Tabela 3.6: Resultados de Manavski (2007) com desempenho em Gbit/s

Algoritmo	Tamanho Arquivo (MiB)	Desempenho da cifração (Gbit/s)	Desempenho da cifração total (Gbit/s)
AES-128	1	8,066	2,397
AES-128	4	8,830	2,581
AES-128	8	8,889	2,684
AES-256	1	6,404	2,243
AES-256	4	7,020	2,414
AES-256	8	7,147	2,455

3.7.2 Harrison e Waldron (2008)

Apresentam a implementação do AES no modo CTR, usando *table look-up* na memória compartilhada. Cada *thread* processa um bloco AES, usa memória *page-locked* para os dados de entrada/saída. Cada bloco contém 256 *threads* e cada uma é responsável por trazer da memória global para a compartilhada a tabela de *look-up*.

São apresentados os desempenhos máximos de 15423 Mbps para o processo de cifração e 6914 Mbps para o processo de cifração total, incluindo transferências de dados entre CPU e GPU. Na Figura 3.6 são apresentados outros resultados de desempenho da cifração AES em modo CTR para vários tamanhos de arquivo.

Apesar de não ser citado no documento o tamanho da chave utilizada, supõem-se que seja uma implementação de 128 *bits* dado que o objetivo do trabalho era a mensuração do máximo desempenho. Para os desempenhos máximos citados também não são apresentados os tamanhos dos dados, supõem-se pela Figura 3.6 que sejam para valores maiores que 64 MiB.

O *hardware* utilizado foi a NVIDIA 8800 GTX, com 128 *cores*, 384 *bits* de interface de memória e 1350 MHz de frequência de operação.

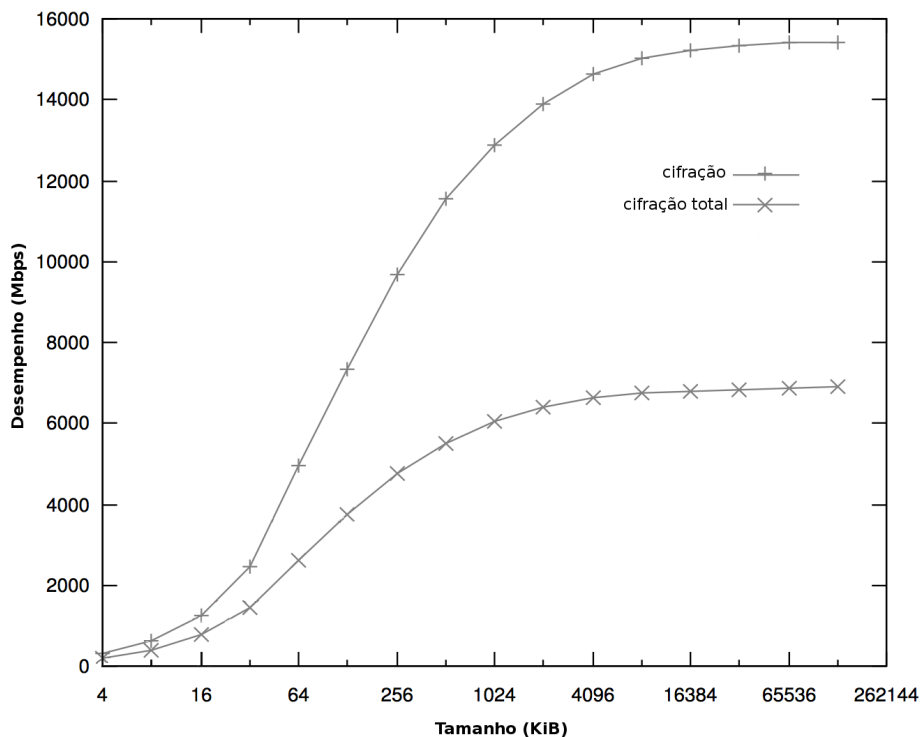


Figura 3.6: Resultados de Harrison e Waldron (2008) com desempenho em Mbit/s (adaptado)

3.7.3 Biagio et al. (2009)

Apresentam quatro implementações do AES no modo CTR, combinando duas variações de projeto do AES com duas possibilidades no local de armazenamento das tabelas de *look-up*.

As duas variações de projeto do AES são: a implementação denominada *fine-grained*, que explora o paralelismo interno de cada rodada do AES, porém necessita de uma barreira de sincronização entre as rodadas, e a implementação denominada *coarse-grained*, que ignora o paralelismo interno e foca no paralelismo provido pelo modo de operação, como ECB e CTR.

As duas possibilidades de armazenamento das tabelas de *look-up* são: na memória constante e na memória compartilhada.

Apesar de não ser citado no documento o tamanho da chave utilizada, supõem-se que seja uma implementação de 128 *bits* dado que o objetivo do trabalho era a mensuração do máximo desempenho.

Foram utilizadas duas placas gráficas para a mensuração dos resultados: NVIDIA 8800 GT com 112 *cores*, 256 *bits* de interface de memória e 1500 MHz de frequência de operação e a NVIDIA 8400 GS com 16 *cores*, 64 *bits* de interface de memória e 900 MHz frequência de operação. Somente serão exibidos os resultados da primeira placa gráfica, pois esta possui capacidade computacional análoga aos *hardwares* utilizados nos outros trabalhos aqui descritos.

Na Figura 3.7 são apresentados os resultados de desempenho da cifração AES em modo CTR para vários tamanhos de arquivo, para cada uma das implementações. Na Tabela 3.7 são apresentados os melhores resultados das quatro implementações para vários tamanhos de arquivos.

Para os desempenhos apresentados não fica explícito se foi considerado o processo de cifração ou o processo de cifração total, incluindo transferências de dados entre CPU e GPU, porém no Tópico “Trabalhos Relacionados” do referido artigo é feita uma comparação com o resultado obtido na implementação *coarse-grained* com uso de memória compartilhada com o desempenho do processo de cifração citado em Harrison e Waldron (2008), supõem-se então que os desempenhos apresentados sejam para o processo de cifração, sem transferências de dados entre CPU e GPU.

Tabela 3.7: Resultados de Biagio et al. (2009) com o melhor desempenho em Mbit/s

Tamanho do Arquivo	Desempenho da cifração (Gbit/s)
32 KiB	2,917
128 KiB	6,591
32 MiB	12,075
128 MiB	12,412

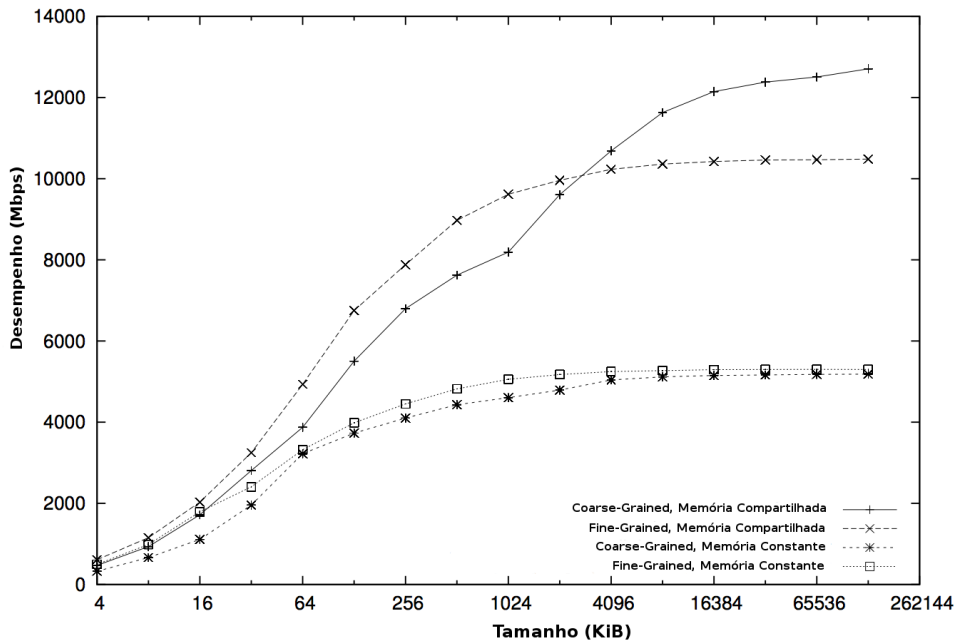


Figura 3.7: Resultados de Biagio et al. (2009) com desempenho em Mbit/s (adaptado)

3.7.4 Jang et al. (2011)

Apresenta uma implementação de um *proxy*⁴ SSL usando GPU para acelerar os processos criptográficos. Na implementação do AES neste *proxy*, foi utilizado o modo de operação CBC para cifração/decifração com chave de 128 *bits*.

Esta implementação faz uso de tabelas de *look-up* armazenadas inicialmente na memória constante e cada *thread* ao iniciar a sua execução copia a tabela para a memória compartilhada. A chave de rodada é expandida quando utilizada, ao invés de usar as chaves pré-calculadas armazenadas na memória global, causando um aumento no processamento porém reduzindo o número de acessos à memória.

Somente o desempenho do AES no modo CBC para decifração foi reportado nesta dissertação, pois este processo possui ganho com a paralelização, diferentemente do modo CBC para cifração.

São apresentados os desempenhos máximos de 33,9 Gbps para o processo de cifração e 10 Gbps para o processo de cifração total, incluindo transferências de dados entre CPU e GPU, para um tamanho de arquivo de 64 MiB (conforme citado no trabalho, 4096 *flows* de 16 KiB).

O *hardware* utilizado foi a NVIDIA GTX 580, com 512 *cores*, 384 *bits* de interface de memória e 1544 MHz de frequência de operação.

No tópico “Discussão e Trabalhos Relacionados” Jang et al. (2011), é citado o desempenho de 32,8 Gbps para o modo de operação ECB com chave de 128 *bits*, sem informar o tamanho do arquivo de entrada, supõem-se que seja para o maior tamanho usado no trabalho pois este apresentaria o

⁴*Proxy* é um servidor intermediário que atende as requisições dos clientes, podendo realizar operações como busca em *cache* de páginas *Web*, e sendo necessário encaminha a requisição ao servidor principal. (WIKIPÉDIA, 2012d)

melhor resultado neste modo de operação (64 MiB), porém esse valor de desempenho não se refere ao *hardware* usado no trabalho e sim a uma única execução sobre uma NVIDIA GTX 285, com 240 *cores*, 512 *bits* de interface de memória e 1476 MHz de frequência de operação, visando prover um resultado para comparação com as implementações anteriores.

Capítulo 4

Desenvolvimento

Neste capítulo são apresentados a metodologia usada no desenvolvimento do trabalho, os utilitários que foram criados, e as implementações para CPU e GPU com suas descrições.

4.1 Introdução

Este trabalho objetiva em primeira instância comparar os tempos de execução do processo de cifração/decifração do algoritmo AES, para chaves de 128,192 e 256 *bits*, usando uma implementação de referência para CPU e sua versão portada para uma GPU CUDA.

A versão portada para a plataforma CUDA na realidade é representada por um conjunto de implementações que variam no uso dos recursos disponíveis na GPU, como quais memórias utilizar para armazenamento dos dados de entrada do algoritmo AES, configurações de chamadas do *kernel* e métodos de transferência de dados entre CPU e GPU. A análise comparativa entre essas várias versões e a seleção da versão com melhor desempenho representa um objetivo intermediário para a consecução do objetivo principal.

Para cada uma das plataformas, CPU e GPU, foram criadas versões que exploram características específicas destas plataformas (detalhadas nos tópicos a frente), cada uma destas versões representa uma biblioteca contendo as funções de expansão de chave, cifração e decifração para cada um dos tamanhos possíveis de chave do AES (128, 192 e 256 *bits*). Um conjunto de cinco utilitários se ligam a cada uma dessas bibliotecas para fornecer as interfaces que acionarão as suas funções.

As implementações que trabalham sobre arquivos, usando mais de um bloco do AES, usam o modo de operação ECB, por ser o modo mais simples paralelizável e que apresenta o menor tempo nas operações de cifração/decifração, e fazem uso de *padding*, seguindo o definido no Tópico [3.3.1](#).

4.2 Utilitários

Foram desenvolvidos cinco utilitários para explorar as funcionalidades providas pelas várias bibliotecas disponíveis.

4.2.1 aes_key

Aplicativo que recebe como entrada uma cadeia de caracteres (*string*) que representa a chave de cifração/decifração no formato hexadecimal, e retorna a expansão desta chave, com os tempos gastos para realizar as operações (Figura 4.1, Código fonte para CPU II.1 e CUDA II.8).

```
# aes_key 000102030405060708090a0b0c0d0e0f
Encryption key

00. 00010203      01. 04050607      02. 08090A0B      03. 0C0D0E0F
04. D6AA74FD      05. D2AF72FA      06. DAA678F1      07. D6AB76FE
08. B692CF0B      09. 643DBDF1      10. BE9BC500      11. 6830B3FE
12. B6FF744E      13. D2C2C9BF      14. 6C590CBF      15. 0469BF41
16. 47F7F7BC      17. 95353E03      18. F96C32BC      19. FD058DFD
20. 3CAA3E8       21. A99F9DEB      22. 50F3AF57      23. ADF622AA
24. 5E390F7D      25. F7A69296      26. A7553DC1      27. 0AA31F6B
28. 14F9701A      29. E35FE28C      30. 440ADF4D      31. 4EA9C026
32. 47438735      33. A41C65B9      34. E016BAF4      35. AEBF7AD2
36. 549932D1      37. F0855768      38. 1093ED9C      39. BE2C974E
40. 13111D7F      41. E3944A17      42. F307A78B      43. 4D2B30C5

time(enc_key_128):      0.026587 ms

Decryption key

00. 13111D7F      01. E3944A17      02. F307A78B      03. 4D2B30C5
04. 13AA29BE      05. 9C8FAFF6      06. F770F580      07. 00F7BF03
08. 1362A463      09. 8F258648      10. 6BFF5A76      11. F7874A83
12. 8D82FC74      13. 9C47222B      14. E4DADC3E      15. 9C7810F5
16. 72E3098D      17. 11C5DE5F      18. 789DFE15      19. 78A2CCCB
20. 2EC41027      21. 6326D7D2      22. 6958204A      23. 003F32DE
24. A8A2F504      25. 4DE2C7F5      26. 0A7EF798      27. 69671294
28. C7C6E391      29. E54032F1      30. 479C306D      31. 6319E50C
32. A0DB0299      33. 2286D160      34. A2DC029C      35. 2485D561
36. 8C56DFF0      37. 825DD3F9      38. 805AD3FC      39. 8659D7FD
40. 00010203      41. 04050607      42. 08090A0B      43. 0C0D0E0F

time(dec_key_128):      0.003173 ms
```

Figura 4.1: Utilitário aes_key

4.2.2 aes_enc

Aplicativo que recebe como entrada uma cadeia de caracteres que representa a chave de cifração no formato hexadecimal, uma cadeia de caracteres que representa o bloco a ser cifrado no formato hexadecimal e retorna o bloco cifrado, com os tempos gastos para realizar as operações (Figura 4.2, Código fonte para CPU II.2 e CUDA II.9).

```
# aes_enc 00000000000000000000000000000000 00000000000000000000000000000000
time(enc_key_128):          0.004505 ms
time(enc_128):             0.005252 ms
66E94BD4EF8A2C3B884CFA59CA342B2E
```

Figura 4.2: Utilitário aes_enc

4.2.3 aes_dec

Aplicativo que recebe como entrada uma cadeia de caracteres que representa a chave de decifração no formato hexadecimal, uma cadeia de caracteres que representa o bloco a ser decifrado no formato hexadecimal e retorna o bloco decifrado, com os tempos gastos para realizar as operações (Figura 4.3, Código fonte para CPU II.3 e CUDA II.10).

```
# aes_dec 00000000000000000000000000000000 66E94BD4EF8A2C3B884CFA59CA342B2E
time(dec_key_128):         0.006781 ms
time(dec_128):            0.029226 ms
00000000000000000000000000000000
```

Figura 4.3: Utilitário aes_dec

4.2.4 aes_enc_file

Na versão para CPU, o aplicativo recebe como entrada uma cadeia de caracteres que representa o caminho do arquivo contendo a chave de cifração no formato binário, uma cadeia de caracteres que representa o caminho do arquivo de entrada a ser cifrado (*PLAINTEXT*) no formato binário e uma cadeia de caracteres que representa o caminho do arquivo de saída cifrado (*CIPHERTEXT*) no formato binário, exibe o tempo para realizar a operação (Figura 4.4, Código fonte II.4).

Na versão para CUDA, o aplicativo recebe como entrada uma cadeia de caracteres que representa o caminho do arquivo contendo a chave de cifração no formato binário, uma cadeia de caracteres que representa o caminho do arquivo de entrada a ser cifrado (*PLAINTEXT*) no formato binário, uma cadeia de caracteres que representa o caminho do arquivo de saída cifrado (*CIPHERTEXT*) no formato binário, exibe os tempos para realizar as operações (enc_cuda: tempo para

a cifração na placa CUDA, `enc_cuda_cp`: tempo da cópia entre os dispositivos, `enc_cuda_tt`: tempo total com cifração e cópia entre os dispositivos) . Esta versão se subdivide em três implementações (Figura 4.5, Código fonte II.11) que utilizam diferentes propriedades da placa CUDA:

- `aes_enc_file` : uso normal de transferências de dados entre as memórias da CPU e GPU, além dos parâmetros anteriores recebe o número de *threads* por bloco;
- `aes_enc_file_p` : uso de memória *pinned* nas transferências de dados entre as memórias da CPU e GPU, além dos parâmetros anteriores recebe o número de *threads* por bloco;
- `aes_enc_file_a` : uso de memória *pinned* nas transferências de dados entre as memórias da CPU e GPU, uso de transferências assíncronas de blocos de dados com *overlap* de execução usando *streams*, além dos parâmetros anteriores recebe o número de *threads* por bloco, o número de blocos do AES por *streams* e o número de *streams*.

```
# aes_enc_file ../test_files/key128.bin ../test_files/8MBP.bin ../test_files/8MBP_1.bin
time(enc_128):           324.937592 ms           8388608 bytes
```

Figura 4.4: Utilitário `aes_enc_file`

```
# aes_enc_file ../test_files/key128.bin ../test_files/8MBP.bin ../test_files/8MBP_1.bin 256
time(enc_cuda_128):           4.462080 ms           256 threads           8388608 bytes
time(enc_cuda_cp_128):       41.846111 ms           256 threads           8388608 bytes
time(enc_cuda_tt_128):       44.219425 ms           256 threads           8388608 bytes

# aes_enc_file_p ../test_files/key128.bin ../test_files/8MBP.bin ../test_files/8MBP_1.bin
256
time(enc_cuda_128):           4.456096 ms           256 threads           8388608 bytes
time(enc_cuda_cp_128):       7.306816 ms           256 threads           8388608 bytes
time(enc_cuda_tt_128):       9.509152 ms           256 threads           8388608 bytes

# aes_enc_file_a ../test_files/key128.bin ../test_files/8MBP.bin ../test_files/8MBP_1.bin
256 1000 3
time(enc_cuda_tt_128):           8.958368 ms           256 threads           1000 blocos
                               3 streams           8388608 bytes
```

Figura 4.5: Utilitário CUDA `aes_enc_file`

4.2.5 `aes_dec_file`

Na versão para CPU, o aplicativo recebe como entrada uma cadeia de caracteres que representa o caminho do arquivo contendo a chave de decifração no formato binário, uma cadeia de

caracteres que representa o caminho do arquivo de entrada a ser decifrado (*CIPHERTEXT*) no formato binário e uma cadeia de caracteres que representa o caminho do arquivo de saída decifrado (*PLAINTEXT*) no formato binário, exibe o tempo para realizar a operação (Figura 4.6, Código fonte II.5).

Na versão para CUDA, o aplicativo recebe como entrada uma cadeia de caracteres que representa o caminho do arquivo contendo a chave de decifração no formato binário, uma cadeia de caracteres que representa o caminho do arquivo de entrada a ser decifrado (*CIPHERTEXT*) no formato binário, uma cadeia de caracteres que representa o caminho do arquivo de saída decifrado (*PLAINTEXT*) no formato binário, exibe os tempos para realizar as operações (dec_cuda: tempo para a decifração na placa CUDA, dec_cuda_cp: tempo da cópia entre os dispositivos, dec_cuda_tt: tempo total com decifração e cópia entre os dispositivos) . Esta versão se subdivide em três implementações (Figura 4.7, Código fonte II.12) que utilizam diferentes propriedades da placa CUDA:

- aes_dec_file : uso normal de transferências de dados entre as memórias da CPU e GPU, além dos parâmetros anteriores recebe o número de *threads* por bloco;
- aes_dec_file_p : uso de memória *pinned* nas transferências de dados entre as memórias da CPU e GPU, além dos parâmetros anteriores recebe o número de *threads* por bloco;
- aes_dec_file_a : uso de memória *pinned* nas transferências de dados entre as memórias da CPU e GPU, uso de transferências assíncronas de blocos de dados com *overlap* de execução usando *streams*, além dos parâmetros anteriores recebe o número de *threads* por bloco, o número de blocos do AES por *streams* e o número de *streams*.

```
# aes_dec_file ../test_files/key128.bin ../test_files/8MBP.bin ../test_files/8MBP_1.bin
time(enc_128):                324.937592 ms                8388608 bytes
```

Figura 4.6: Utilitário aes_dec_file

4.3 Plataforma

Os testes foram rodados em duas CPUs *Intel Core i7*, sem uso de *threading* ou instruções especiais de baixo nível do processador, e nas placas gráficas NVIDIA GeForce GT 460M e GTX 580. Detalhes das plataformas de *softwares* e *hardwares* utilizadas para a implementação das versões do AES para CPU e GPU são descritas no Anexo I.

Todos os códigos em CUDA foram compilados para a arquitetura *sm_20* (as placas gráficas usadas nos testes possuíam *compute capability* maior ou igual a 2.0), para evitar o atraso da compilação *JIT*, para maiores detalhes ver NVIDIA (2011a, Pág. 25).

```

# aes_dec_file ../test_files/key128.bin ../test_files/8MBP_1.bin ../test_files/8MBP_2.bin 256
time(dec_cuda_128):          4.373856 ms          256 threads          8388608 bytes
time(dec_cuda_cp_128):      41.361088 ms          256 threads          8388608 bytes
time(dec_cuda_tt_128):      43.729218 ms          256 threads          8388608 bytes

# aes_dec_file_p ../test_files/key128.bin ../test_files/8MBP_1.bin ../test_files/8MBP_2.bin
256
time(dec_cuda_128):          4.368128 ms          256 threads          8388608 bytes
time(dec_cuda_cp_128):      7.183232 ms          256 threads          8388608 bytes
time(dec_cuda_tt_128):      9.379808 ms          256 threads          8388608 bytes

# aes_dec_file_a ../test_files/key128.bin ../test_files/8MBP_1.bin ../test_files/8MBP_2.bin
256 1000 3
time(dec_cuda_tt_128):      8.829024 ms          256 threads          1000 blocos
                               3 streams          8388608 bytes

```

Figura 4.7: Utilitário CUDA `aes_dec_file`

4.4 Implementação para CPU

Na implementação em CPU foi realizada uma adaptação da versão de Barreto (2007). O código original está implementado em C++, utiliza *table look-up* para a implementação das rodadas do AES e permite escolher uma versão com o uso de laços (*for*) ou o seu desenrolamento (*unroll*), eliminando as instruções *for*. Na versão adaptada, o código foi migrado para C, os processos de expansão da chave de rodada, cifração e decifração foram divididos em implementações específicas para cada tamanho de chave, evitando testes desnecessários e facilitando o processo de desenrolamento (eliminação dos laços). Duas versões foram desenvolvidas: uma usando laços (Código fonte II.13) e outra com todos os laços desenrolados (*unroll*) (Código fonte II.14).

Esta implementação de Barreto (2007) foi utilizada como referência por não fazer uso de instruções de baixo nível do processador.

4.5 Implementação para GPU CUDA

Nas implementações em GPU CUDA foram realizadas várias combinações dentre as funcionalidades disponíveis, visando determinar qual a melhor versão. Elas se baseiam na implementação para CPU, variando as memórias utilizadas para o armazenamento da chave de cifração/decifração e das tabelas para *look-up* e a configuração de execução no particionamento do *grid* e blocos.

Todas as configurações foram implementadas com o uso da memória para texto de entrada/saída *pageable* e *pinned* e com transferência do texto de entrada/saída entre *host/device* completa, para o uso de memória *pageable* e *pinned*, e particionada, para o uso de memória *pinned* com vários *streams*, sobrepondo cópia na memória e execução (*overlap*). Os laços (*loops*) foram todos expandidos (*unroll*), com exceção da implementação `cuda_aes_nn_global_roll`.

O processo de expansão da chave de cifração é realizado pela CPU, por não representar ganho na sua execução na GPU. As chaves de rodada são transferidas da CPU para a memória global, constante ou de textura da GPU.

4.5.1 `cuda_aes_nn_global_roll`

Esta implementação (Código fonte [II.15](#)) possui as seguintes características:

- configuração de execução: a partir do número T , *threads* por bloco, recebido na chamada da função, o processamento é particionado em um *grid* com N blocos e cada bloco contendo T *threads*, sendo cada *thread* responsável por processar um bloco do AES;
- memória para *table look-up*: usada a memória global do dispositivo;
- memória para chave de rodada: usada a memória global do dispositivo;
- laços (*loops*): mantidos os laços na expansão da chave e nos processos de cifração/decifração.

4.5.2 `cuda_aes_nn_global_unroll`

Esta implementação (Código fonte [II.16](#)) possui as seguintes características:

- configuração de execução: a partir do número T , *threads* por bloco, recebido na chamada da função, o processamento é particionado em um *grid* com N blocos e cada bloco contendo T *threads*, sendo cada *thread* responsável por processar um bloco do AES;
- memória para *table look-up*: usada a memória global do dispositivo;
- memória para chave de rodada: usada a memória global do dispositivo;
- laços (*loops*): removidos os laços na expansão da chave e nos processos de cifração/decifração.

4.5.3 `cuda_aes_1b_nt_const_const`

Esta implementação (Código fonte [II.17](#)) possui as seguintes características:

- configuração de execução: alocado um *grid* com somente um bloco, e cada bloco contendo T *threads*, sendo cada *thread* responsável por processar vários blocos do AES;
- memória para *table look-up*: usada a memória constante do dispositivo;
- memória para chave de rodada: usada a memória constante do dispositivo.

4.5.4 `cuda_aes_nb_nt_const_const`

Esta implementação (Código fonte [II.18](#)) possui as seguintes características:

- configuração de execução: a partir do número T , *threads* por bloco, recebido na chamada da função, o processamento é particionado em um *grid* com N blocos e cada bloco contendo T *threads*, sendo cada *thread* responsável por processar um bloco do AES;
- memória para *table look-up*: usada a memória constante do dispositivo;
- memória para chave de rodada: usada a memória constante do dispositivo.

4.5.5 `cuda_aes_1b_nt_const_texture`

Esta implementação (Código fonte [II.19](#)) possui as seguintes características:

- configuração de execução: alocado um *grid* com somente um bloco, e cada bloco contendo T *threads*, sendo cada *thread* responsável por processar vários blocos do AES;
- memória para *table look-up*: usada a memória constante do dispositivo;
- memória para chave de rodada: usada a memória de textura do dispositivo.

4.5.6 `cuda_aes_nb_nt_const_texture`

Esta implementação (Código fonte [II.20](#)) possui as seguintes características:

- configuração de execução: a partir do número T , *threads* por bloco, recebido na chamada da função, o processamento é particionado em um *grid* com N blocos e cada bloco contendo T *threads*, sendo cada *thread* responsável por processar um bloco do AES;
- memória para *table look-up*: usada a memória constante do dispositivo;
- memória para chave de rodada: usada a memória de textura do dispositivo.

4.5.7 `cuda_aes_1b_nt_shared_const`

Esta implementação (Código fonte [II.21](#)) possui as seguintes características:

- configuração de execução: alocado um *grid* com somente um bloco, e cada bloco contendo T *threads*, sendo cada *thread* responsável por processar vários blocos do AES;
- memória para *table look-up*: inicialmente usada a memória constante do dispositivo e posteriormente copiada para a memória compartilhada;
- memória para chave de rodada: usada a memória constante do dispositivo.

4.5.8 `cuda_aes_nb_nt_shared_const`

Esta implementação (Código fonte [II.22](#)) possui as seguintes características:

- configuração de execução: a partir do número T , *threads* por bloco, recebido na chamada da função, o processamento é particionado em um *grid* com N blocos e cada bloco contendo T *threads*, sendo cada *thread* responsável por processar um bloco do AES;
- memória para *table look-up*: inicialmente usada a memória constante do dispositivo e posteriormente copiada para a memória compartilhada;
- memória para chave de rodada: usada a memória constante do dispositivo.

4.5.9 `cuda_aes_1b_nt_shared_texture`

Esta implementação (Código fonte [II.23](#)) possui as seguintes características:

- configuração de execução: alocado um *grid* com somente um bloco, e cada bloco contendo T *threads*, sendo cada *thread* responsável por processar vários blocos do AES;
- memória para *table look-up*: inicialmente usada a memória constante do dispositivo e posteriormente copiada para a memória compartilhada;
- memória para chave de rodada: usada a memória de textura do dispositivo.

4.5.10 `cuda_aes_nb_nt_shared_texture`

Esta implementação (Código fonte [II.24](#)) possui as seguintes características:

- configuração de execução: a partir do número T , *threads* por bloco, recebido na chamada da função, o processamento é particionado em um *grid* com N blocos e cada bloco contendo T *threads*, sendo cada *thread* responsável por processar um bloco do AES;
- memória para *table look-up*: inicialmente usada a memória constante do dispositivo e posteriormente copiada para a memória compartilhada;
- memória para chave de rodada: usada a memória de textura do dispositivo.

Capítulo 5

Resultados Experimentais

Este capítulo elenca os passos realizados para a seleção da melhor implementação em GPU CUDA, exibindo os resultados intermediários e os pontos de decisão.

5.1 Introdução

Foram realizados uma série de experimentos visando determinar a implementação com maior ganho na relação tempo de cifração/decifração da CPU e da GPU. Alguns passos intermediários foram necessários, como a determinação de uma implementação com ou sem laços (*roll* ou *unroll*), escolha da configuração de chamada do *kernel*, seleção de quais memórias do dispositivo CUDA utilizar e os métodos de transferência de dados entre CPU e GPU.

5.2 Avaliação *roll* ou *unroll*

Neste experimento foram utilizadas as implementações descritas na Tabela 5.1 e os resultados estão apresentados nas Tabelas 5.2 e 5.3, para as máquinas dos Tópicos I.1 e I.2 respectivamente. Nas versões para GPU foram utilizadas várias chamadas com o valor de *threads* por bloco variando de 128 até 768, sendo que para cada tamanho de bloco foram realizadas 100 rodadas e o tempo médio foi auferido. Para cada uma das implementações o menor tempo médio por tamanho de chave está representado nas Tabelas 5.2 e 5.3. O tamanho do arquivo de entrada foi de 8MiB, usando o processo de cifração com chaves de 128, 192 e 256 *bits*.

Neste experimento pode ser observado o ganho na versão *unroll* comparado com a versão *roll*, tanto na implementação em CPU quanto para GPU. Este resultado determinou as implementações seguintes em GPU, onde todas utilizam uma implementação *unroll* do AES.

Pode ser observado, porém ainda em estágio inicial, o ganho na implementação em GPU quando comparado com a implementação em CPU. Este resultado somente está avaliando o tempo para a operação de cifração, sendo desconsiderado neste momento os tempos de cópia dos textos de entrada/saída entre CPU e GPU.

Tabela 5.1: Descrição das implementações utilizadas no experimento do Tópico 5.2

Implementação	Dispositivo	Roll / Unroll
reference (Código fonte II.13)	<i>CPU</i>	<i>roll</i>
reference_unroll (Código fonte II.14)	<i>CPU</i>	<i>unroll</i>
cuda_aes_nn_global_roll (Código fonte II.15)	<i>GPU</i>	<i>roll</i>
cuda_aes_nn_global_unroll (Código fonte II.16)	<i>GPU</i>	<i>unroll</i>

Tabela 5.2: Tempos de execução em milissegundos no experimento do Tópico 5.2 na máquina do Tópico I.1

Algoritmo	Chave (bits)	Roll (ms)	Unroll (ms)	Relação (Roll/Unroll)
<i>CPU</i>	128	320,0029	318,6677	1,0042
<i>GPU</i>	128	16,7104	16,7019	1,0005
Relação <i>CPU/GPU</i>		19,1499	19,0797	
<i>CPU</i>	192	378,6409	371,1960	1,0201
<i>GPU</i>	192	19,9016	19,8982	1,0002
Relação <i>CPU/GPU</i>		19,0257	18,6548	
<i>CPU</i>	256	434,8714	426,7436	1,0190
<i>GPU</i>	256	23,1007	23,0861	1,0006
Relação <i>CPU/GPU</i>		18,8250	18,4849	

Tabela 5.3: Tempos de execução em milissegundos no experimento do Tópico 5.2 na máquina do Tópico I.2

Algoritmo	Chave (bits)	Roll (ms)	Unroll (ms)	Relação (Roll/Unroll)
<i>CPU</i>	128	37,7775	33,5040	1,1276
<i>GPU</i>	128	1,8332	1,8272	1,0033
Relação <i>CPU/GPU</i>		20,6074	18,3363	
<i>CPU</i>	192	42,3018	41,0028	1,0317
<i>GPU</i>	192	2,1807	2,1739	1,0031
Relação <i>CPU/GPU</i>		19,3983	18,8614	
<i>CPU</i>	256	48,8614	46,0824	1,0603
<i>GPU</i>	256	2,5293	2,5221	1,0029
Relação <i>CPU/GPU</i>		19,3182	18,2714	

5.3 Avaliação 1 bloco ou N blocos

Neste experimento foram utilizadas as implementações descritas na Tabela 5.4 e os resultados estão apresentados nas Figuras 5.1 e 5.2 para a máquina do Tópico I.1 e nas Figuras 5.3 e 5.4 para a máquina do Tópico I.2.

Nas versões para GPU foram utilizadas várias chamadas com o valor de *threads* por bloco variando de 128 até 1024. Cada uma das implementações foi executada 100 vezes e o tempo médio foi auferido.

O tamanho do arquivo de entrada foi de 8MiB, usando o processo de cifração com chave de 128 *bits*.

A ideia deste experimento era verificar se o uso de 1 bloco com *threads* processando mais de um bloco do AES era mais vantajoso que N blocos com *threads* processando somente um bloco do AES, forçando que as *threads* na implementação de 1 bloco executassem mais cálculos e evitasse a troca de contexto dos blocos.

Pode ser observado nas Figuras 5.1 e 5.2 para a máquina do Tópico I.1 e nas Figuras 5.3 e 5.4 para a máquina do Tópico I.2 que as implementações de N blocos possuem tempos de cifração melhores que as suas versões de 1 bloco.

Tabela 5.4: Descrição das implementações utilizadas no experimento do Tópico 5.3

Implementação (Código Fonte)	Abreviação	Blocos	Tabelas de <i>look-up</i>	Chave de Cifração
cuda_aes_1b_nt_const_const (Código fonte II.17)	1B CONST CONST	1	Constante	Constante
cuda_aes_1b_nt_const_texture (Código fonte II.19)	1B CONST TEXTURE	1	Constante	Textura
cuda_aes_1b_nt_shared_const (Código fonte II.21)	1B SHARED CONST	1	Compartilhada	Constante
cuda_aes_1b_nt_shared_texture (Código fonte II.23)	1B SHARED TEXTURE	1	Compartilhada	Textura
cuda_aes_nb_nt_const_const (Código fonte II.18)	NB CONST CONST	N	Constante	Constante
cuda_aes_nb_nt_const_texture (Código fonte II.20)	NB CONST TEXTURE	N	Constante	Textura
cuda_aes_nb_nt_shared_const (Código fonte II.22)	NB SHARED CONST	N	Compartilhada	Constante
cuda_aes_nb_nt_shared_texture (Código fonte II.24)	NB SHARED TEXTURE	N	Compartilhada	Textura

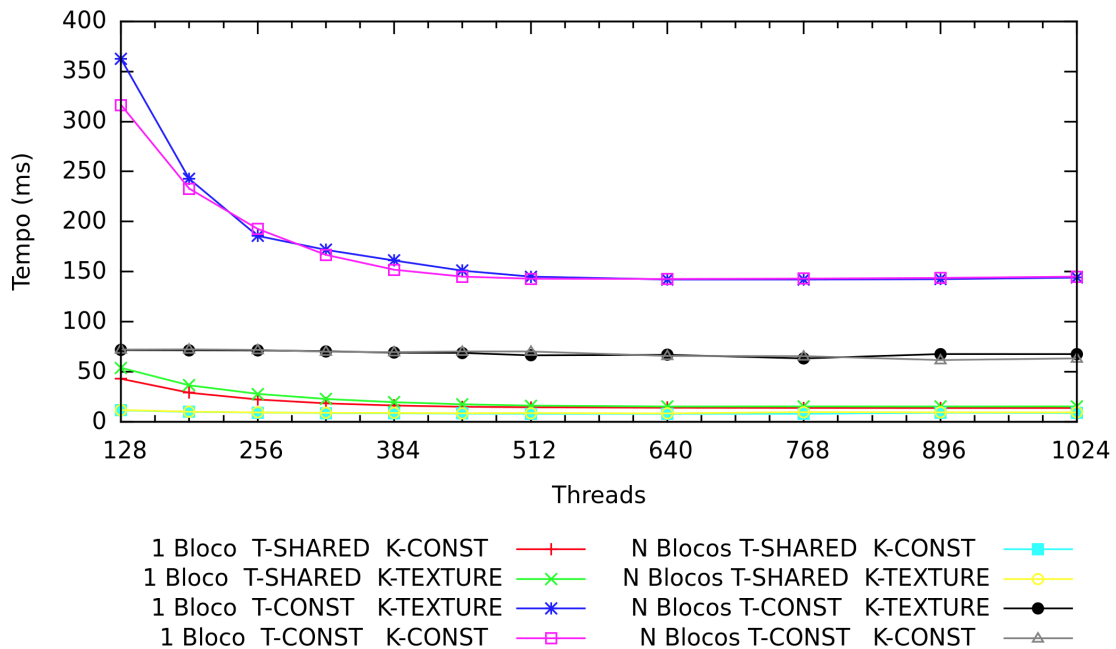


Figura 5.1: Tempos de execução em milissegundos no experimento do Tópico 5.3 para a máquina do Tópico I.1

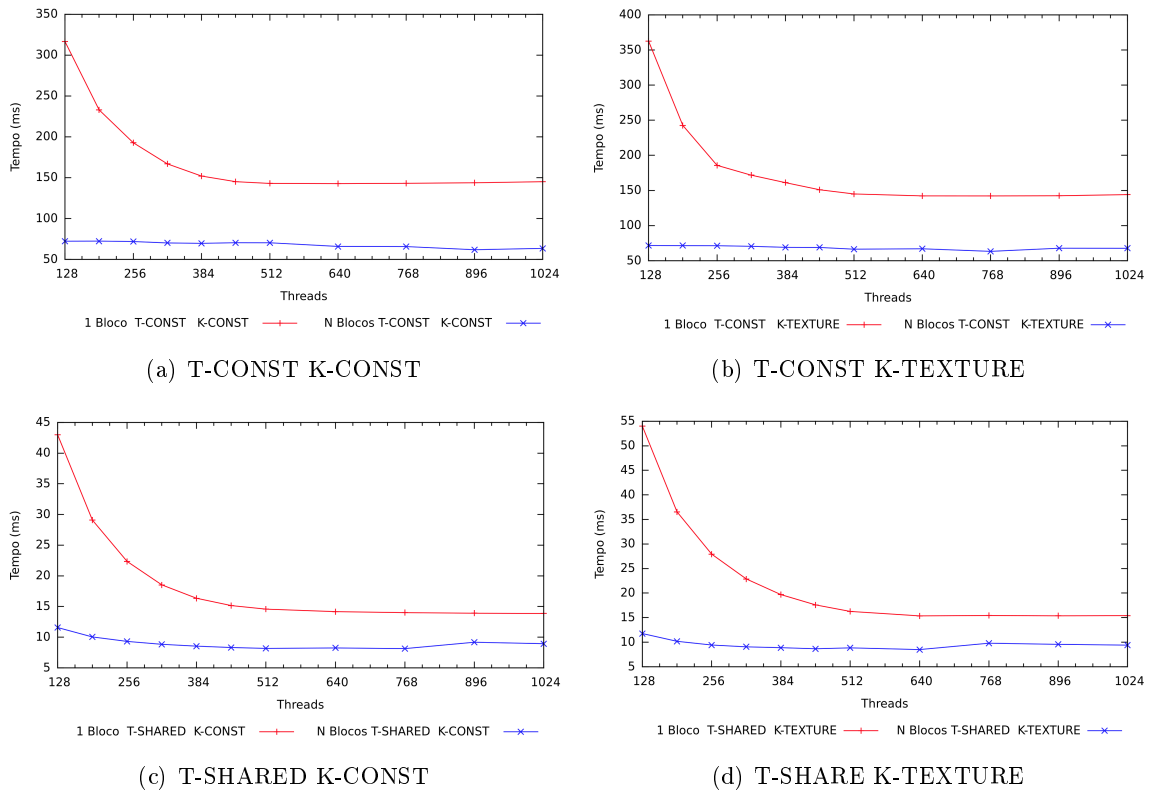


Figura 5.2: Tempos de execução em milissegundos por implementação no experimento do Tópico 5.3 para a máquina do Tópico I.1

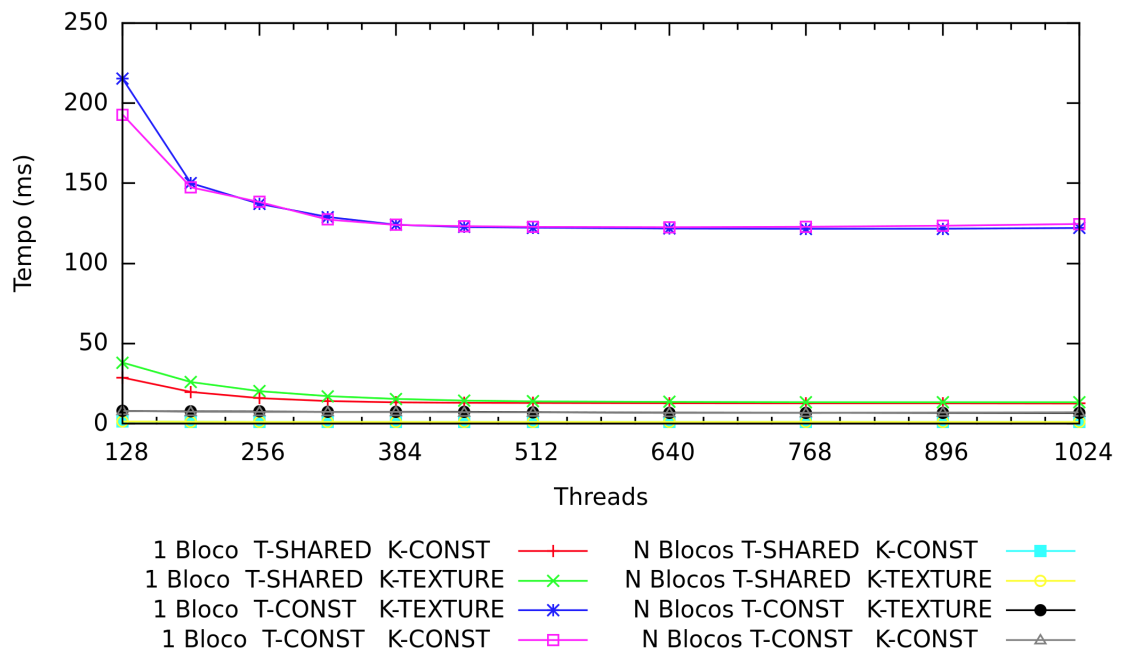


Figura 5.3: Tempos de execução em milissegundos no experimento do Tópico 5.3 para a máquina do Tópico I.2

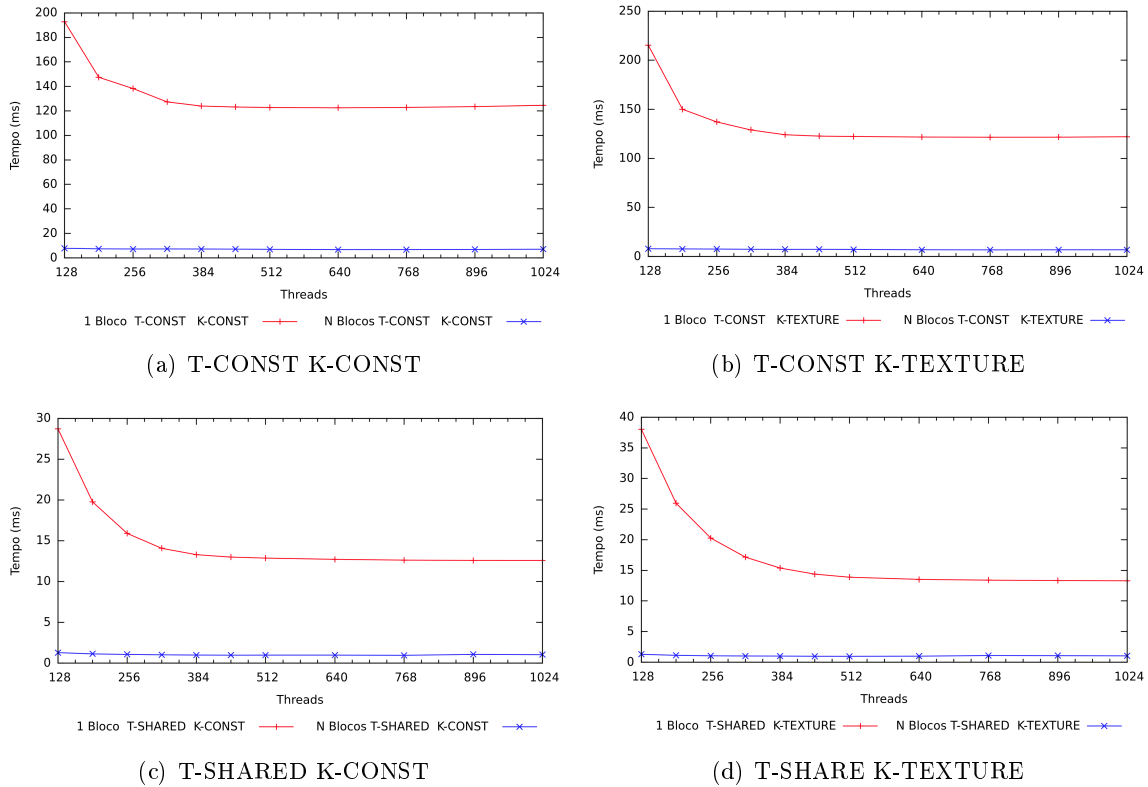


Figura 5.4: Tempos de execução em milissegundos por implementação no experimento do Tópico 5.3 para a máquina do Tópico 1.2

5.4 Avaliação das implementações de N blocos

Neste experimento foram utilizadas as implementações descritas na Tabela 5.5 e os resultados estão apresentados nas Figura 5.5 e 5.6, para as máquinas dos Tópicos 1.1 e 1.2 respectivamente.

Nas versões para GPU foram utilizadas várias chamadas com o valor de *threads* por bloco variando de 128 até 1024. Cada uma das implementações foi executada 100 vezes e o tempo médio foi auferido.

O tamanho do arquivo de entrada foi de 8MiB, usando o processo de cifração com chave de 128 *bits*.

A ideia deste experimento era verificar as várias combinações no uso das memórias da GPU, colocando as tabelas de *look-up* nas memórias constante e compartilhada e as chaves de rodada nas memórias constante e de textura.

Pode ser observado nas Figuras 5.5 e 5.6 que as implementações de N blocos que usam a memória compartilhada para armazenar as tabelas de *look-up* vão diminuindo o seu tempo de cifração a medida que se aumenta o número de *threads* por bloco, valor esse esperado pois a memória compartilhada se torna mais efetiva quando atende a um número maior de *threads*.

As implementações que usam a memória compartilhada para armazenar as tabelas de *look-up* apresentaram o melhor tempo de execução, pode ser visto ainda uma pequena melhora usando

esta implementação quando as chaves de rodada são armazenadas na memória constante, conforme Figuras 5.7 e 5.8.

Cabe destacar ainda nas Figuras 5.7 e 5.8 uma grande oscilação nos tempos quando o número *threads* por bloco está entre 448 e 1024, isso ocorre pois o *kernel* estourou o espaço de registradores (memória mais rápida) disponível causando um armazenamento na memória global (memória mais lenta) do excedente.

Tabela 5.5: Descrição das implementações utilizadas no experimento do Tópico 5.4

Implementação (Código Fonte)	Abreviação	Blocos	Tabelas de <i>look-up</i>	Chave de Cifração
<code>cuda_aes_nb_nt_const_const</code> (Código fonte II.18)	NB CONST CONST	N	Constante	Constante
<code>cuda_aes_nb_nt_const_texture</code> (Código fonte II.20)	NB CONST TEXTURE	N	Constante	Textura
<code>cuda_aes_nb_nt_shared_const</code> (Código fonte II.22)	NB SHARED CONST	N	Compartilhada	Constante
<code>cuda_aes_nb_nt_shared_texture</code> (Código fonte II.24)	NB SHARED TEXTURE	N	Compartilhada	Textura

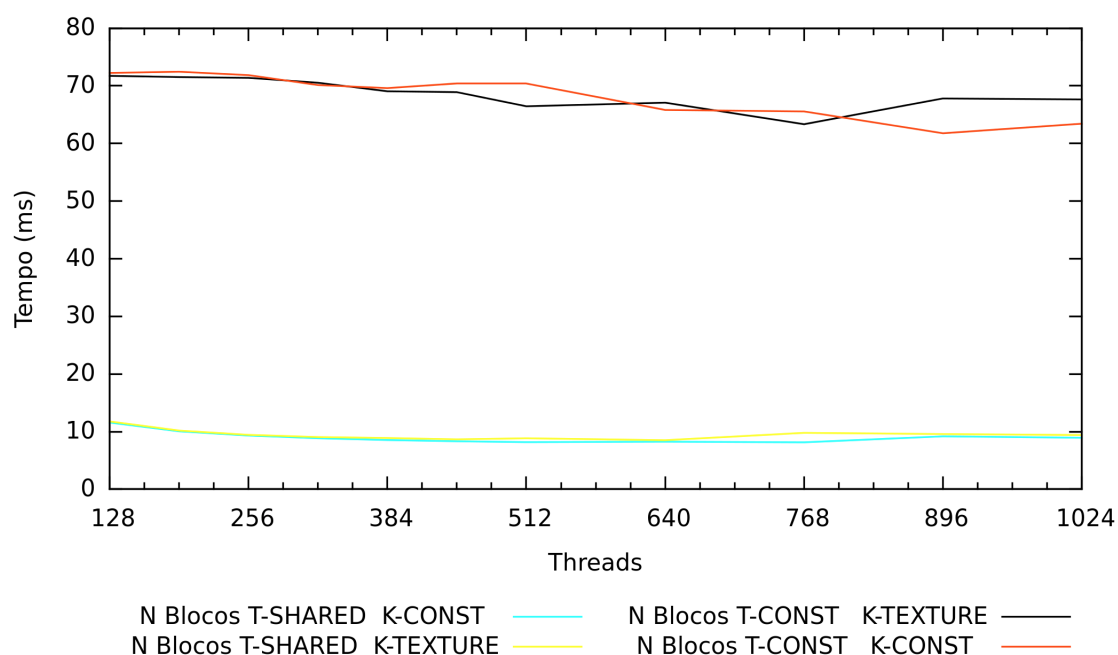


Figura 5.5: Tempos de execução em milissegundos no experimento do Tópico 5.4 para a máquina do Tópico I.1

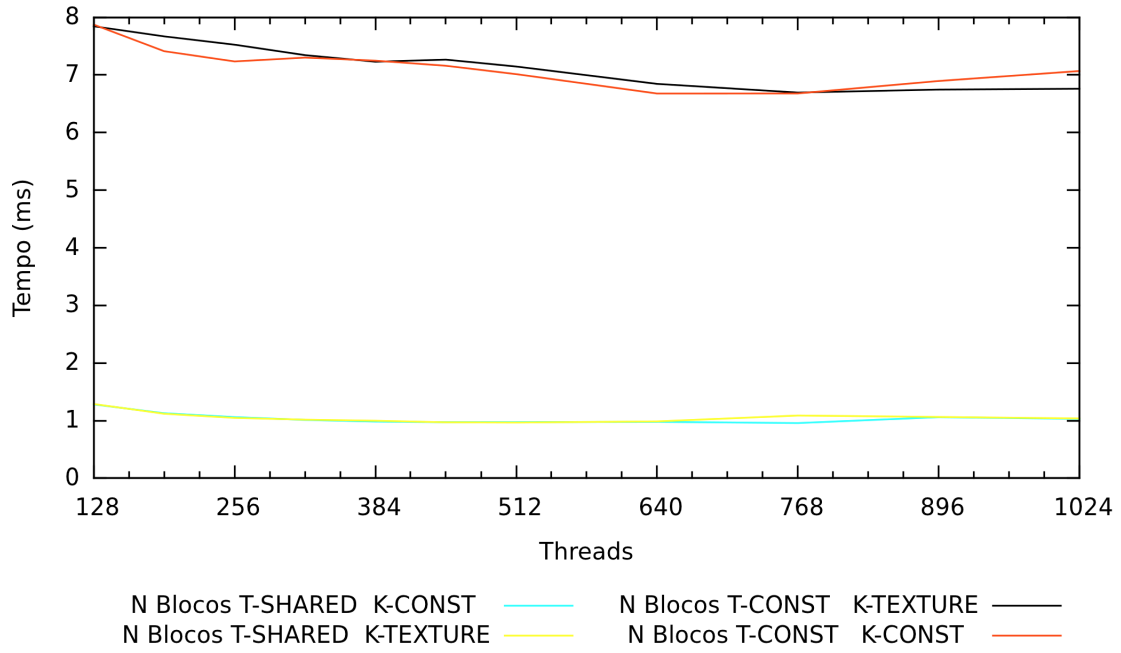


Figura 5.6: Tempos de execução em milissegundos no experimento do Tópico 5.4 para a máquina do Tópico I.2

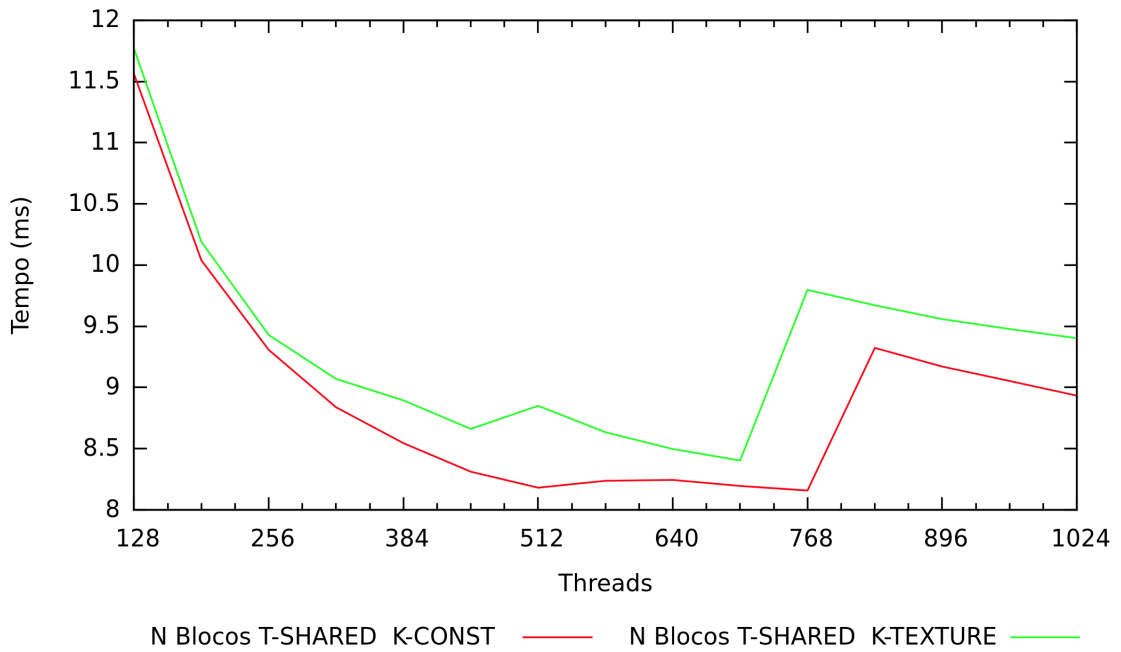


Figura 5.7: Tempos de execução em milissegundos no experimento do Tópico 5.4 para implementações com tabelas na memória compartilhada para a máquina do Tópico I.1

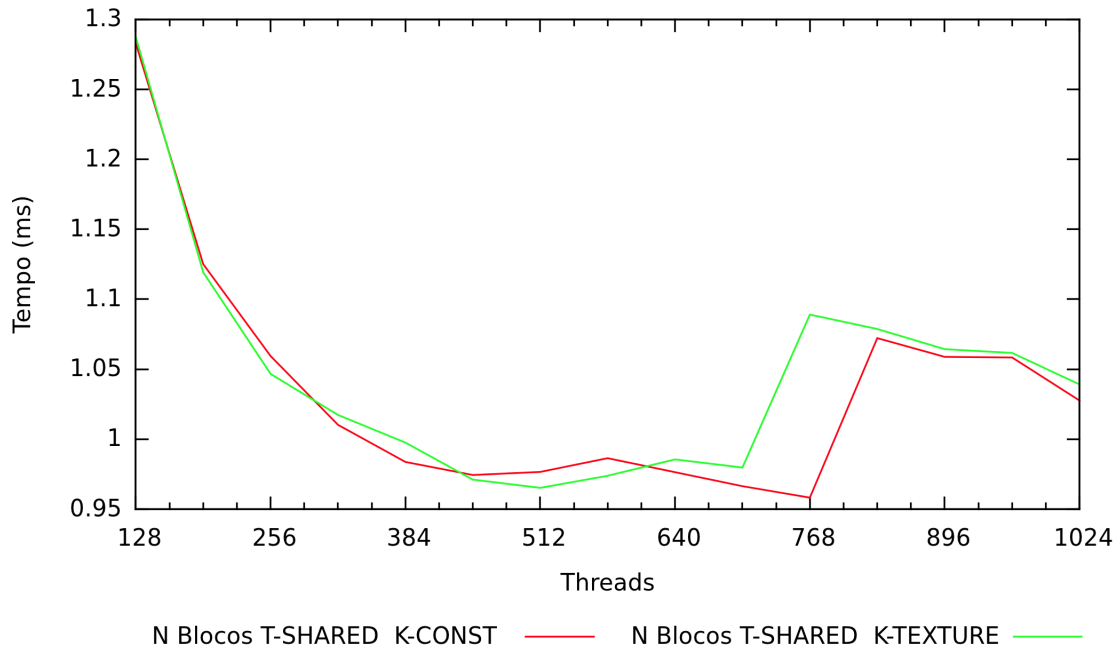


Figura 5.8: Tempos de execução em milissegundos no experimento do Tópico 5.4 para implementações com tabelas na memória compartilhada para a máquina do Tópico 1.2

5.5 Avaliação das implementações de memória *pinned*

Neste experimento foram utilizadas as implementações descritas na Tabela 5.6, nas versões *pageable* e *pinned*, e os resultados estão apresentados nas Figuras 5.9, 5.10, 5.11 e 5.12.

Nas versões para GPU foram utilizadas várias chamadas com o valor de *threads* por bloco variando de 128 até 1024. Cada uma das implementações foi executada 100 vezes e os tempos médios de cifração foram representados nas Figuras 5.9 e 5.10, para as máquinas dos Tópicos 1.1 e 1.2 respectivamente. Posteriormente, os tempos totais médios de cifração, envolvendo a operação de cifração e as transferências entre CPU e GPU, são apresentados nas Figuras 5.11 e 5.12, para as máquinas dos Tópicos 1.1 e 1.2 respectivamente.

O tamanho do arquivo de entrada foi de 8MiB, usando o processo de cifração com chave de 128 *bits*.

A ideia deste experimento é fazer uso da memória *pinned* ou *page-locked* para o texto de entrada/saída nas implementações que obtiveram os melhores tempos no experimento do Tópico 5.4, ou seja, nas implementações com N blocos e tabelas de *look-up* na memória compartilhada.

Pode ser observado na Figura 5.9, dados relativos à máquina do Tópico 1.1, que o tempo de cifração não variou entre as versões *pageable* e *pinned*. Nos dados relativos a máquina do Tópico 1.2, representados na Figura 5.10, o tempo de cifração apresentou uma pequena melhora na versão *pageable* para chaves de rodada na memória de textura e não variou entre as versões *pageable* e *pinned* para chaves de rodada na memória constante.

Com relação ao tempo total de cifração, representado nas Figuras 5.11 e 5.12, dados das

máquinas dos Tópicos I.1 e I.2 respectivamente, pode ser observado uma melhora significativa na versão *pinned* comparada com a versão *pageable*.

Destaca-se que o menor tempo de cifração ocorreu na implementação de N blocos, com tabelas de *look-up* na memória compartilhada e chaves de rodada na memória constante com 768 *threads* por bloco e o menor tempo de cifração total ocorreu na mesma implementação com o número de *threads* por bloco entre 384 e 768.

Tabela 5.6: Descrição das implementações *pageable* e *pinned* utilizadas no experimento do Tópico 5.5

Implementação (Código Fonte)	Abreviação	Blocos	Tabelas de <i>look-up</i>	Chave de Cifração
cuda_aes_nb_nt_shared_const (Código fonte II.22)	NB SHARED CONST	N	Compartilhada	Constante
cuda_aes_nb_nt_shared_texture (Código fonte II.24)	NB SHARED TEXTURE	N	Compartilhada	Textura

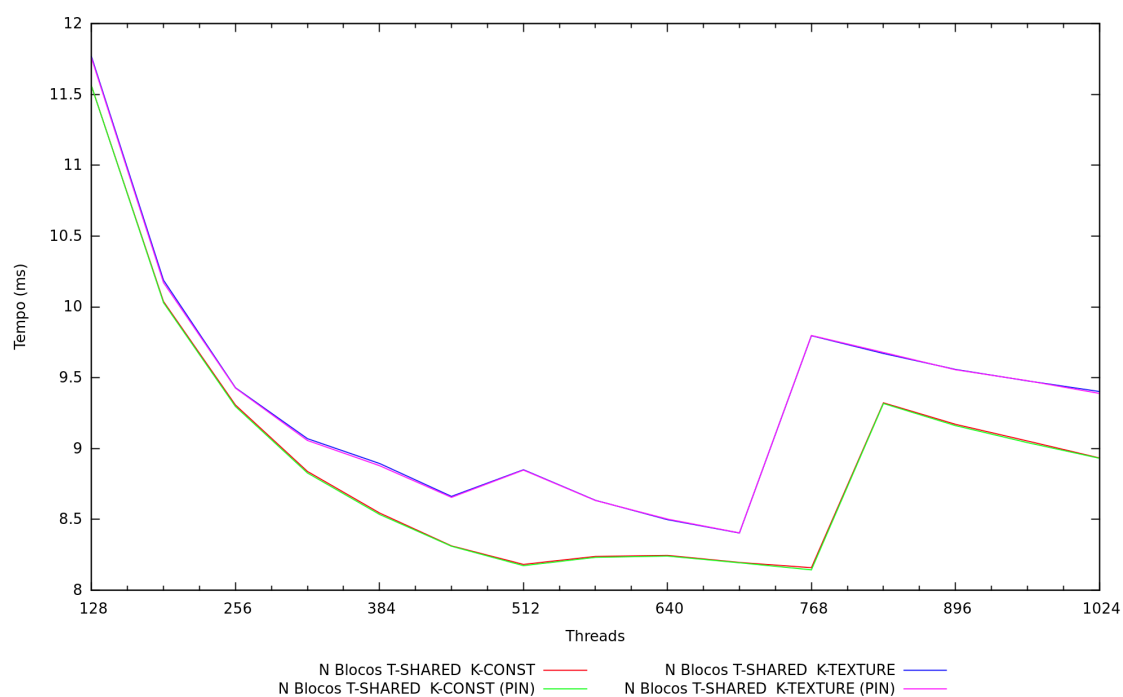


Figura 5.9: Tempos de execução em milissegundos do experimento do Tópico 5.5 para a máquina do Tópico I.1

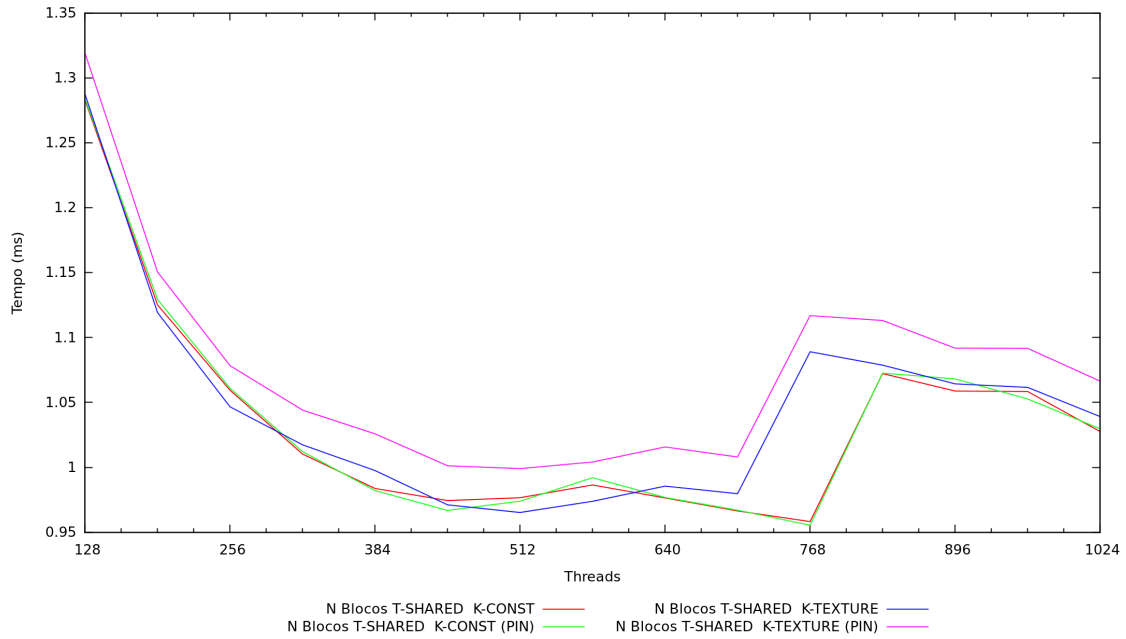


Figura 5.10: Tempos de execução em milissegundos do experimento do Tópico 5.5 para a máquina do Tópico 1.2

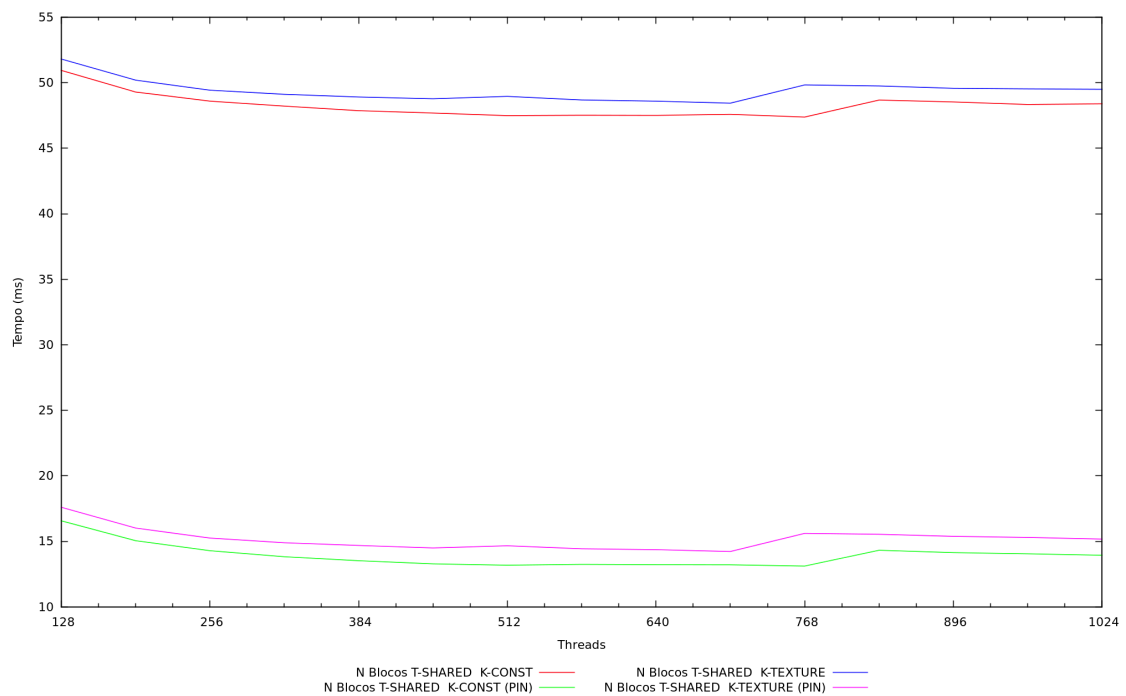


Figura 5.11: Tempos totais de execução em milissegundos do experimento do Tópico 5.5 para a máquina do Tópico 1.1

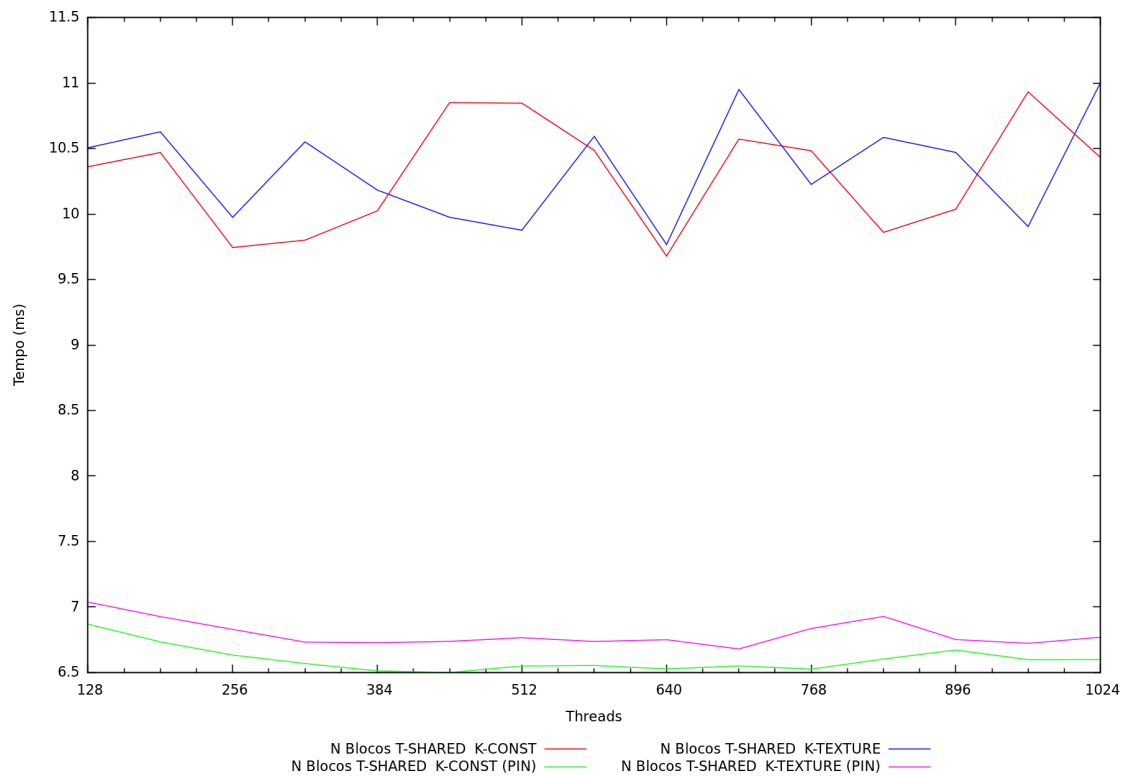


Figura 5.12: Tempos totais de execução em milissegundos do experimento do Tópico 5.5 para a máquina do Tópico I.2

5.6 Avaliação das implementações assíncronas

Neste experimento foi utilizada a implementação com N blocos, tabelas *look-up* na memória compartilhada e chave de cifração na memória constante e os resultados estão apresentados nas Figuras 5.13 e 5.14, para as máquinas dos Tópicos I.1 e I.2 respectivamente. Foram utilizadas várias chamadas com o valor de *threads* por bloco variando de 128 até 1024, tamanho de bloco enviado em cada *stream* variando de 32 até 1024 e total de *streams* variando de 2 até 4. Cada uma das implementações foi executada 10 vezes e o menor tempo médio total de cifração foi auferido.

O tamanho do arquivo de entrada foi de 8MB, usado o processo de cifração com chave de 128 *bits*.

A ideia deste experimento é fazer uso da memória *pinned* ou *page-locked* para o texto de entrada/saída, usando a melhor implementação selecionada do experimento do Tópico 5.5, porém usando transferência de dados assíncronas entre as memórias da CPU e GPU e fazendo uso de *streams*, intercalando transferência de dados e processamento na GPU.

Pode ser observado que o tempo total sofreu uma redução significativa comparado ao experimentos do Tópico 5.5. O tempo de cada operação de cifração não foi mensurado pois essa operação ocorre várias vezes para cada bloco de dados de entrada, porém espera-se que também não se altere como ocorreu no experimento do Tópico 5.5.

A melhor configuração na execução assíncrona deu-se para transferências de blocos contendo

128 blocos do AES, com 3 *streams* e 512 *threads* por bloco para a máquina do Tópico I.1 e com transferências de blocos contendo 32 blocos do AES, com 3 *streams* e 768 *threads* por bloco para a máquina do Tópico I.2, essas características dependem da placa gráfica disponível.

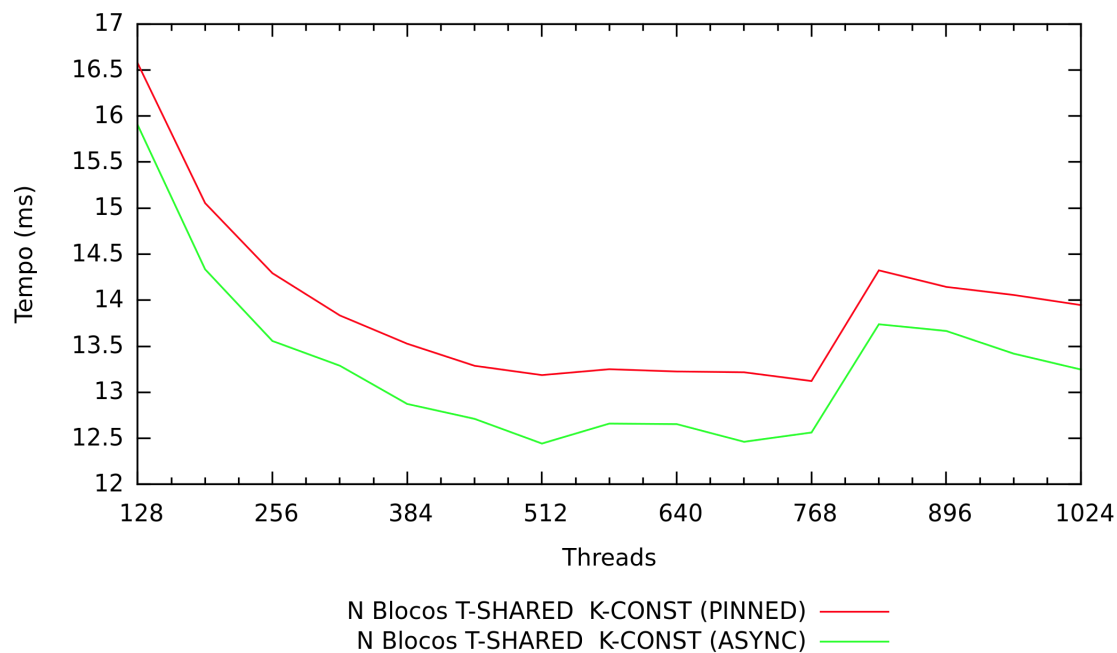


Figura 5.13: Tempos totais de execução em milissegundos do experimento do Tópico 5.6 para a máquina do Tópico I.1

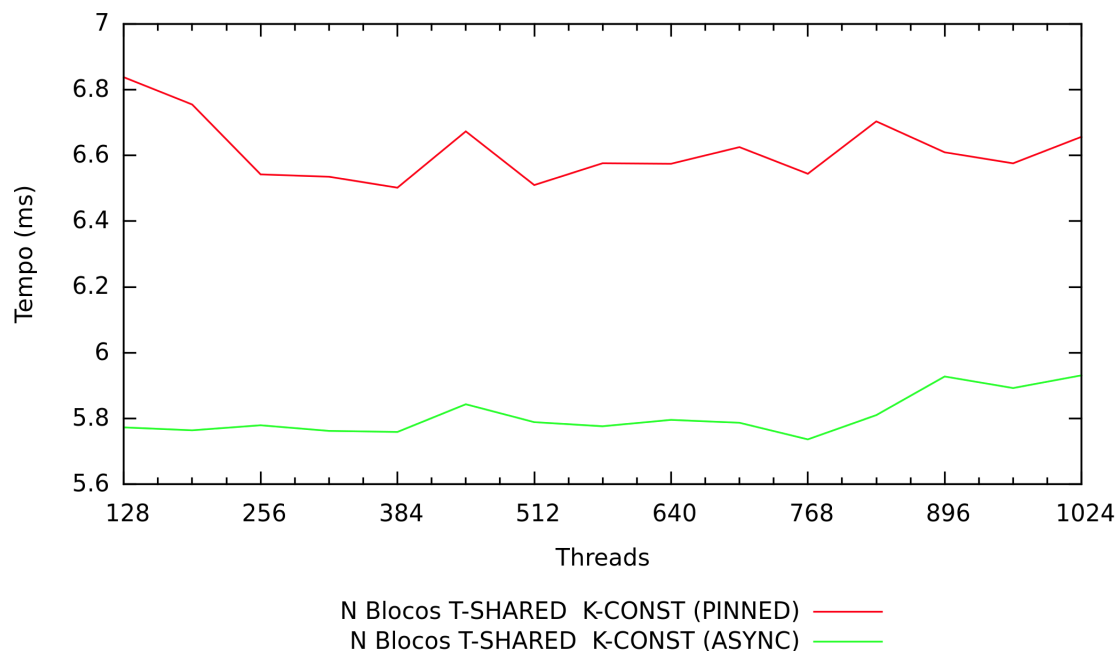


Figura 5.14: Tempos totais de execução em milissegundos do experimento do Tópico 5.6 para a máquina do Tópico I.2

5.7 Avaliação final

Na avaliação final foram determinados os tempos médios de cifração e os tempos totais médios de cifração para o AES com chaves de 128, 192 e 256 *bits*, para os tamanhos de arquivo de 1MiB, 4MiB, 8MiB, 16MiB, 64MiB, 128MiB e 256MiB, usando a melhor implementação para GPU. São apresentados também os desempenhos em Gbps para os dois tempos visando permitir comparação com outros trabalhos. Esses resultados são exibidos nas Tabelas 5.7, 5.8 e 5.9, para a máquina do Tópico I.1 e nas Tabelas 5.13, 5.14 e 5.15 para a máquina do Tópico I.2.

Cada configuração de teste foi rodada 100 vezes, usando tamanhos de blocos de 128 até 1024 *threads*, tamanho de bloco enviado em cada *stream* variando de 32 até 1024 e total de *streams* variando de 2 até 4, e selecionando o melhor tempo médio de cifração e cifração total por tamanho de arquivo e tamanho de chave do AES.

Para representar o ganho obtido na implementação em GPU, são apresentados nas Tabelas 5.10, 5.11 e 5.12 para a máquina do Tópico I.1 e nas Tabelas 5.16, 5.17 e 5.18 para a máquina do Tópico I.2 os tempos totais de cifração e o desempenho em Gbps para o AES com chaves de 128, 192 e 256 *bits*, para os tamanhos de arquivos de 1MiB, 4MiB, 8MiB, 16MiB, 64MiB, 128MiB e 256MiB, usando a melhor implementação para CPU, e a comparação entre os tempos totais de cifração da CPU e GPU ¹.

Na comparação com a versão de referência para CPU e a melhor implementação para GPU, foram obtidos ganhos de no máximo 32,7 vezes mais na GPU na máquina do Tópico I.1 e de 8,7 vezes mais na GPU na máquina do Tópico I.2.

Tabela 5.7: Resultados do experimento do Tópico 5.7 da GPU para AES 128 *bits* na máquina do Tópico I.1

Tamanho Arquivo (MiB)	Tempo de cifração (ms)	Desempenho da cifração (Gbps)	Tempo de cifração total (ms)	Desempenho cifração total (Gbps)
1	1,1411	7,3516	3,2441	2,5858
4	4,1281	8,1283	7,1144	4,7164
8	8,1135	8,2713	12,4044	5,4101
16	16,0728	8,3506	22,9325	5,8527
64	63,7551	8,4208	86,0360	6,2401
128	127,3936	8,4285	169,9271	6,3188
256	254,5561	8,4362	338,1119	6,3514

¹Valor da divisão do tempo de cifração total na CPU pelo valor do tempo de cifração total na GPU, indicando quantas vezes mais o primeiro é maior que o segundo.

Tabela 5.8: Resultados do experimento do Tópico 5.7 da GPU para AES 192 *bits* na máquina do Tópico I.1

Tamanho Arquivo (MiB)	Tempo de cifração (ms)	Desempenho da cifração (Gbps)	Tempo de cifração total (ms)	Desempenho cifração total (Gbps)
1	1,2934	6,4857	3,4136	2,4574
4	4,7512	7,0623	7,8257	4,2877
8	9,3533	7,1749	13,6902	4,9020
16	18,5526	7,2344	25,4940	5,2647
64	73,6770	7,2868	96,0417	5,5900
128	147,1834	7,2953	189,9174	5,6537
256	294,1711	7,3001	377,7917	5,6843

Tabela 5.9: Resultados do experimento do Tópico 5.7 da GPU para AES 256 *bits* na máquina do Tópico I.1

Tamanho Arquivo (MiB)	Tempo de cifração (ms)	Desempenho da cifração (Gbps)	Tempo de cifração total (ms)	Desempenho cifração total (Gbps)
1	1,4425	5,8152	3,6105	2,3234
4	5,3811	6,2356	8,4238	3,9833
8	10,5849	6,3400	14,9551	4,4873
16	21,0243	6,3839	27,8673	4,8163
64	83,5394	6,4266	105,7864	5,0750
128	166,9730	6,4306	209,6714	5,1211
256	333,7800	6,4338	416,7997	5,1523

Tabela 5.10: Resultados do experimento do Tópico 5.7 da CPU e comparação com a GPU para AES 128 *bits* na máquina do Tópico I.1

Tamanho Arquivo (MiB)	Tempo de cifração (ms)	Desempenho da cifração (Gbps)	Comparação CPU/GPU (vezes)
1	39,68066	0,2114	12,23
4	159,087021	0,2109	22,36
8	317,276794	0,2115	25,58
16	636,607361	0,2108	27,76
64	2544,4021	0,2110	29,57
128	5066,789551	0,2119	29,82
256	10134,1543	0,2119	29,97

Tabela 5.11: Resultados do experimento do Tópico 5.7 da CPU e comparação com a GPU para AES 192 *bits* na máquina do Tópico I.1

Tamanho Arquivo (MiB)	Tempo de cifração (ms)	Desempenho da cifração (Gbps)	Comparação CPU/GPU (vezes)
1	46,350266	0,1810	13,58
4	185,77211	0,1806	23,74
8	371,477783	0,1807	27,13
16	740,146301	0,1813	29,03
64	2967,556396	0,1809	30,90
128	5933,62207	0,1810	31,24
256	11863,09277	0,1810	31,40

Tabela 5.12: Resultados do experimento do Tópico 5.7 da CPU e comparação com a GPU para AES 256 *bits* na máquina do Tópico I.1

Tamanho Arquivo (MiB)	Tempo de cifração (ms)	Desempenho da cifração (Gbps)	Comparação CPU/GPU (vezes)
1	53,355797	0,1572	14,78
4	213,490753	0,1572	25,34
8	426,653473	0,1573	28,53
16	852,833496	0,1574	30,60
64	3410,360596	0,1574	32,24
128	6819,180176	0,1575	32,52
256	13629,34375	0,1576	32,70

Tabela 5.13: Resultados do experimento do Tópico 5.7 para AES 128 *bits* na máquina do Tópico I.2

Tamanho Arquivo (MiB)	Tempo de cifração (ms)	Desempenho da cifração (Gbps)	Tempo de cifração total (ms)	Desempenho cifração total (Gbps)
1	0,1443	58,1379	0,9376	8,9472
4	0,4980	67,3719	2,9639	11,3210
8	0,9508	70,5803	5,6802	11,8145
16	1,8657	71,9398	11,0442	12,1528
64	7,3372	73,1716	43,3835	12,3750
128	14,6340	73,3732	86,4958	12,4138
256	29,2372	73,4503	172,7090	12,4341

Tabela 5.14: Resultados do experimento do Tópico 5.7 para AES 192 *bits* na máquina do Tópico I.2

Tamanho Arquivo (MiB)	Tempo de cifração (ms)	Desempenho da cifração (Gbps)	Tempo de cifração total (ms)	Desempenho cifração total (Gbps)
1	0,1630	51,4714	0,9281	9,0382
4	0,5722	58,6386	2,9642	11,3198
8	1,0955	61,2575	5,6834	11,8079
16	2,1550	62,2818	11,0444	12,1525
64	8,4864	63,2623	43,3991	12,3706
128	16,9340	63,4074	86,5170	12,4108
256	33,8359	63,4676	172,7118	12,4339

Tabela 5.15: Resultados do experimento do Tópico 5.7 para AES 256 *bits* na máquina do Tópico I.2

Tamanho Arquivo (MiB)	Tempo de cifração (ms)	Desempenho da cifração (Gbps)	Tempo de cifração total (ms)	Desempenho cifração total (Gbps)
1	0,1804	46,4959	0,9381	8,9417
4	0,6433	52,1602	2,9646	11,3183
8	1,2385	54,1844	5,6769	11,8214
16	2,4396	55,0159	11,0472	12,1494
64	9,6179	55,8202	43,3996	12,3704
128	19,1981	55,9296	86,5218	12,4101
256	38,3564	55,9876	172,7584	12,4306

Tabela 5.16: Resultados do experimento do Tópico 5.7 da CPU e comparação com a GPU para AES 128 *bits* na máquina do Tópico 1.2

Tamanho Arquivo (MiB)	Tempo de cifração (ms)	Desempenho da cifração (Gbps)	Comparação CPU/GPU (vezes)
1	4,0704	2,0609	4,34
4	22,9372	1,4629	7,74
8	33,4471	2,0064	5,89
16	64,9942	2,0651	5,88
64	258,5443	2,0765	5,96
128	516,4587	2,0790	5,97
256	1032,3069	2,0803	5,98

Tabela 5.17: Resultados do experimento do Tópico 5.7 da CPU e comparação com a GPU para AES 192 *bits* na máquina do Tópico 1.2

Tamanho Arquivo (MiB)	Tempo de cifração (ms)	Desempenho da cifração (Gbps)	Comparação CPU/GPU (vezes)
1	4,7517	1,7654	5,12
4	21,4540	1,5640	7,24
8	40,5723	1,6541	7,14
16	75,9523	1,7671	6,88
64	303,0099	1,7718	6,98
128	605,3896	1,7736	7,00
256	1209,9767	1,7748	7,01

Tabela 5.18: Resultados do experimento do Tópico 5.7 da CPU e comparação com a GPU para AES 256 *bits* na máquina do Tópico 1.2

Tamanho Arquivo (MiB)	Tempo de cifração (ms)	Desempenho da cifração (Gbps)	Comparação CPU/GPU (vezes)
1	5,4788	1,5311	5,84
4	23,8296	1,4081	8,04
8	44,8700	1,4956	7,90
16	87,6158	1,5319	7,93
64	348,8948	1,5388	8,04
128	697,2134	1,5400	8,06
256	1393,8160	1,5407	8,07

5.8 Comparação com trabalhos anteriores

Na Tabela 5.19 são apresentados os melhores tempos de cifração e cifração total para o AES 128 *bits* dos vários trabalhos referenciados com implementação do AES em CUDA e dos resultados obtidos neste trabalho. Devem ser levados em conta a *hardware* utilizado em cada um dos trabalhos, sendo que os principais fatores que impactam no desempenho são: o número de *cores*, o tamanho da interface de transferência com a memória e frequência de operação dos processadores.

Tabela 5.19: Comparação com trabalhos anteriores para AES 128 *bits*

Referência	Modelo da GPU	Modo de Operação	Tamanho Arquivo (MiB)	Desempenho da cifração (Gbps)	Desempenho da cifração total (Gbps)
Manavski (2007)	8800 GTX	ECB	8	8,8890	2,6840
Harrison e Waldron (2008)	8800 GTX	CTR	128	15,4230	6,9140
Biagio et al. (2009)	8800 GT	CTR	128	12,4120	-
Jang et al. (2011)	GTX 580	CBC-DEC	64	33,9000	10,0000
Jang et al. (2011)	GTX 295	ECB	64	32,8000	-
Máquina do Tópico 1.1	GT 540M	ECB	8	8,2713	5,4101
Máquina do Tópico 1.1	GT 540M	ECB	64	8,4208	6,2401
Máquina do Tópico 1.1	GT 540M	ECB	128	8,4285	6,3188
Máquina do Tópico 1.2	GTX 580	ECB	8	70,5803	11,8145
Máquina do Tópico 1.2	GTX 580	ECB	64	73,1716	12,3750
Máquina do Tópico 1.2	GTX 580	ECB	128	73,3732	12,4138

Capítulo 6

Conclusões

Neste trabalho foram apresentadas algumas características da plataforma CUDA, em especial, aquelas de interesse para o problema descrito na introdução, portar uma implementação em CPU do algoritmo AES para uma GPU CUDA.

O produto final deste trabalho são várias implementações do algoritmo AES para cifração e decifração, para tamanhos de chaves de 128, 192 e 256 *bits*, com o modo de operação ECB, e usando o esquema de *padding* proposto em [Kaliski \(2000\)](#).

Foi apresentado o caminho seguido até a seleção do melhor algoritmo que proveu ganhos de até 32,7 vezes sobre sua implementação em CPU. Também foram exibidos desempenhos equivalentes na cifração e superiores na cifração total comparados aos resultados de [Manavski \(2007\)](#) e desempenhos equivalentes na cifração total comparados aos resultados de [Harrison e Waldron \(2008\)](#), mesmo com um *hardware* bem inferior na máquina do Tópico [I.1](#). No caso da máquina do Tópico [I.2](#) todos os desempenhos foram superiores aos trabalhos anteriores, mesmo quando comparados ao trabalho de [Jang et al. \(2011\)](#), que utilizou o mesmo *hardware* na suas medições.

Os resultados alcançados estão limitados aos *hardwares* disponíveis para este trabalho, porém a metodologia aplicada aqui pode ser estendida a novos dispositivos CUDA, a medida que estes apareçam, como é o caso da plataforma *Kepler* anunciada em Maio deste ano, onde ganhos maiores poderão acontecer. ([NVIDIA, 2012b](#))

Ganhos maiores são aguardados com o uso da tecnologia *PCI Express 3.0*¹, pois esta impactará no maior gargalo do uso das GPUs, a transferência de dados entre CPU e GPU.

Um questionamento pode ser levantado sobre as novas instruções destinadas ao AES providas nos novos processadores (AES-NI) e o porquê de implementar o mesmo em uma GPU CUDA respalda-se no fato que a migração para a GPU de cálculos como o algoritmo AES não limita-se a este somente, iniciativas de migração dos novos algoritmos propostos para o SHA-3 e até implementações de cifras assimétricas, por si só justificam o estudo e o uso desta plataforma neste e em outros trabalhos.

¹*PCI-Express (Peripheral Component Interconnect Express)* é o padrão de soquetes criada para placas de expansão utilizadas em computadores pessoais para transmissão de dados. ([WIKIPÉDIA, 2012c](#))

Como proposta de trabalho futuro fica o provimento de uma biblioteca criptográfica com algoritmos simétricos, assimétricos e funções de *hash* que contemplem o uso de processamento em dispositivos CUDA, quando estes estiverem disponíveis em um computador, ou sua versão em CPU quando não houver essa disponibilidade. Esse era o meu projeto ambicioso para este mestrado, porém por obstáculos encontrados, como a dificuldade no entendimento dos vários algoritmos em uma ambiente paralelo, a minha falta de experiência na arquitetura CUDA e seus aspectos arquiteturais e a premissa do tempo para conclusão deste trabalho, forçaram o direcionamento do escopo desta dissertação para o algoritmo AES, o que facilitou o estudo da arquitetura CUDA por já existirem outros trabalhos semelhantes e coube no tempo disponível para conclusão, contudo essa ideia ainda permanece válida e, na minha opinião, de grande interesse para a comunidade. Cito como exemplo a implementação em CUDA do *proxy* para o protocolo SSL em [Jang et al. \(2011\)](#), onde são feitas implementações dos algoritmos criptográficos usados neste protocolo na plataforma CUDA.

Trabalhos como [Bernstein et al. \(2012\)](#), também indicam um caminho para explorar mais a fundo a arquitetura CUDA, chegando ao nível de “instruções de máquina” para obter ganhos de desempenho.

E como proposta final de trabalho futuro fica a sugestão do uso de uma implementação que utilize múltiplas GPUs numa mesma máquina usando a tecnologia *Nvidia GPUDIRECT*. ([NVIDIA, 2011b](#))

REFERÊNCIAS BIBLIOGRÁFICAS

BARRETO, P. S. L. M. **The AES Block Cipher, the GCM and EAX Authenticated Encryption with Associated Data Modes of Operation, and the CMAC (Originally OMAC) Message Authentication Code, in C++ and Java.** 2007. Disponível em: <http://www.larc.usp.br/~pbarreto/AES++.zip>. Acesso em: 20 jun. 2012.

BERNSTEIN, D. J. **Cache-timing Attacks on AES.** 2005. Disponível em: <http://cr.yp.to/antiforgery/cachetiming-20050414.pdf>.

BERNSTEIN, D. J. et al. Usable Assembly Language for GPUs: A Success Story. In: **Workshop records of Special-Purpose Hardware for Attacking Cryptographic Systems – SHARCS 2012.** [s.n.], 2012. p. 169–178. Disponível em: <http://cryptojedi.org/papers/gpuasm-20120313.pdf>. Acesso em: 20 jun. 2012.

BIAGIO, A. D. et al. **Design of a Parallel AES for Graphics Hardware Using the CUDA Framework.** 2009. 1–8 p. Disponível em: <http://home.dei.polimi.it/barenghi/files/IPDPS2009.pdf>. Acesso em: 20 jun. 2012.

BIHAM, E. A Fast New DES Implementation in Software. In: SPRINGER. **Fast Software Encryption.** [S.l.], 1997. p. 260–272.

BUCK, I. et al. Brook for GPUs: Stream Computing on Graphics Hardware. In: ACM. **ACM Transactions on Graphics (TOG).** 2004. v. 23, n. 3, p. 777–786. Disponível em: <http://dx.doi.org/10.1145/1015706.1015800>. Acesso em: 20 jun. 2012.

DAEMEN, J.; RIJMEN, V. **AES proposal: Rijndael.** 1999. Disponível em: <http://www.nic.funet.fi/index/crypt/cryptography/symmetric/aes/nist/Rijndael.pdf>. Acesso em: 20 jun. 2012.

FLYNN, M. Very High-Speed Computing Systems. **Proceedings of the IEEE,** IEEE, v. 54, n. 12, p. 1901–1909, 1966. Disponível em: <http://dx.doi.org/10.1109/PROC.1966.5273>. Acesso em: 20 jun. 2012.

HARRIS, M. **Real-time Cloud Simulation and Rendering.** Tese (Doutorado) — University of North Carolina, 2003. Disponível em: <http://www.markmark.net/dissertation/harrisDissertation.pdf>. Acesso em: 20 jun. 2012.

HARRISON, O.; WALDRON, J. Practical Symmetric Key Cryptography on Modern Graphics Hardware. **USENIX Security Symposium**, p. 195–210, 2008. Disponível em: <http://www.scss.tcd.ie/publications/tech-reports/reports.08/TCD-CS-2008-20.pdf>. Acesso em: 20 jun. 2012.

INTEL. **Intel® Advanced Encryption Standard (AES) Instructions Set - Rev 3**. Janeiro 2010. Disponível em: <http://software.intel.com/file/24917>. Acesso em: 20 jun. 2012.

_____. **Intel® Advanced Encryption Standard Instructions (AES-NI)**. Outubro 2010. Disponível em: <http://software.intel.com/en-us/articles/intel-advanced-encryption-standard-instructions-aes-ni/>. Acesso em: 20 jun. 2012.

JANG, K. et al. SSLShader: Cheap SSL Acceleration with Commodity Processors. 2011. Disponível em: http://static.usenix.org/events/nsdi11/tech/full_papers/Jang.pdf. Acesso em: 20 jun. 2012.

KALISKI, B. **PKCS# 7**: Cryptographic Message Syntax Version 1.5. RFC 2315. [S.l.], 1998. Disponível em: <http://tools.ietf.org/html/rfc2315>.

_____. **PKCS# 5**: Password-Based Cryptography Specification Version 2.0. RFC 2898. [S.l.], 2000. Disponível em: <http://tools.ietf.org/html/rfc2898>.

KASPER, E.; SCHWABE, P. **Faster and Timing-Attack Resistant AES-GCM**. Junho 2009. Cryptology ePrint Archive, Report 2009/129. Disponível em: <http://eprint.iacr.org/2009/129.pdf>. Acesso em: 20 jun. 2012.

MANAVSKI, S. A. CUDA Compatible GPU as an Efficient Hardware Accelerator for AES Cryptography. **Proceedings of the IEEE International Conference on Signal Processing and Communication**, p. 65–68, 2007. Disponível em: <http://www.manavski.com/downloads/PID505889.pdf>. Acesso em: 20 jun. 2012.

MATSUI, M.; NAKAJIMA, J. **On the Power of Bitslice Implementation on Intel Core2 Processor**. 2007. Disponível em: http://dx.doi.org/10.1007/978-3-540-74735-2_9. Acesso em: 20 jun. 2012.

NIST. **FIPS 197**: Advanced Encryption Standard (AES). [S.l.], 2001. Disponível em: <http://csrc.nist.gov/publications/fips/fips197/fips-197.pdf>. Acesso em: 20 jun. 2012.

_____. **SP 800-38A**: Recommendation for Block Cipher Modes of Operation. [S.l.], 2001. Disponível em: <http://csrc.nist.gov/publications/nistpubs/800-38a/sp800-38a.pdf>. Acesso em: 20 jun. 2012.

NVIDIA. **NVIDIA CUDA C Programming Guide Version 2.0**. [S.l.], Julho 2008. Disponível em: http://moss.csc.ncsu.edu/~mueller/cluster/nvidia/2.0/Programming_Guide_2.0beta2.pdf. Acesso em: 20 jun. 2012.

_____. **The CUDA Compiler Driver NVCC**. [S.l.], 2011. Disponível em: <http://developer.download.nvidia.com/compute/DevZone/docs/html/C/doc/nvcc.pdf>. Acesso em: 20 jun. 2012.

_____. **NVIDIA GPUDIRECT**. 2011. Disponível em: <http://developer.nvidia.com/cuda/nvidia-gpudirect>. Acesso em: 20 jun. 2012.

_____. **NVIDIA's Next Generation CUDA Compute Architecture: Fermi V1.1**. [S.l.], 2011. Disponível em: http://www.nvidia.com/content/PDF/fermi_white_papers/NVIDIA_Fermi_Compute_Architecture_Whitepaper.pdf. Acesso em: 20 jun. 2012.

_____. **NVIDIA CUDA C Programming Guide Version 4.2**. [S.l.], Abril 2012. Disponível em: http://developer.download.nvidia.com/compute/DevZone/docs/html/C/doc/CUDA_C_Programming_Guide.pdf. Acesso em: 20 jun. 2012.

_____. **NVIDIA Kepler Compute Architecture**. 2012. Disponível em: <http://www.nvidia.com/object/nvidia-kepler.html>. Acesso em: 20 jun. 2012.

_____. **What is CUDA?** 2012. Disponível em: http://www.nvidia.com/object/cuda_home_new.html. Acesso em: 20 jun. 2012.

OSVIK, A. S. D. A.; TROMER, E. **Cache Attacks and Countermeasures: the Case of AES**. 2005. Disponível em: <http://eprint.iacr.org/2005/271.pdf>. Acesso em: 20 jun. 2012.

REBEIRO, D. S. C.; DEVI, A. **Bitslice Implementation of AES**. 2006. Disponível em: http://dx.doi.org/10.1007/11935070_14. Acesso em: 20 jun. 2012.

WIKIPÉDIA. **JIT**. 2012. Disponível em: <http://pt.wikipedia.org/wiki/JIT>. Acesso em: 20 jun. 2012.

_____. **OpenGL**. 2012. Disponível em: <http://pt.wikipedia.org/wiki/OpenGL>. Acesso em: 20 jun. 2012.

_____. **PCI Express**. 2012. Disponível em: http://en.wikipedia.org/wiki/PCI_Express. Acesso em: 20 jun. 2012.

_____. **Proxy Server**. 2012. Disponível em: http://en.wikipedia.org/wiki/Proxy_server. Acesso em: 20 jun. 2012.

ANEXOS

I PLATAFORMA DE TESTES

Este anexo descreve o ambiente de testes que foi utilizado para o desenvolvimento e execução dos programas descritos no Capítulo 4.

I.1 Máquina 1

I.1.1 *Software*

Segue descrição dos *softwares* utilizados:

- sistema operacional: Ubuntu 12.04 LTS "*Precise Pangolin*" 64 *bits*, disponível em <http://www.ubuntu.com/download/desktop>;
- GCC: versão 4.6.3;
- IDE: Eclipse CDT Indigo;
- CUDA *Toolkit*: versão 4.2.9, 64 *bits*, Ubuntu 11.04, disponível em http://developer.download.nvidia.com/compute/cuda/4_2/rel/toolkit/cudatoolkit_4.2.9_linux_64_ubuntu11.04.run;
- *Driver* CUDA: versão 295.41, 64 *bits*, disponível em http://developer.download.nvidia.com/compute/cuda/4_2/rel/drivers/devdriver_4.2_linux_64_295.41.run;
- CUDA SDK: versão 4.29, disponível em http://developer.download.nvidia.com/compute/cuda/4_2/rel/sdk/gpucomputingsdk_4.2.9_linux.run.

I.1.2 *Hardware*

Segue descrição dos *hardwares* utilizados:

- computador: *Notebook* LG A520-T.BE53P1(6000);
- processador: *Intel Core i7* - 2630QM (2.00GHz, *Cache* 6MB);
- memória: 6GB DDR3;
- Placa Gráfica: NVIDIA GeForce GT540M com 96 *cores*, 128 *bits* de interface de memória, 1344 MHz de frequência de operação, 2GB de memória dedicada e com tecnologia *Optimus*;

Segue descrição das capacidades da placa gráfica (Figura I.1), conforme saída do programa *getDeviceProperties* (Código Fonte II.6 e II.7)

I.2 Máquina 2

I.2.1 *Software*

Segue descrição dos *softwares* utilizados:

- sistema operacional: Ubuntu 11.04 "*Natty Narwhal*" 64 bits, disponível em <http://releases.ubuntu.com/natty/>;
- GCC: versão 4.5.2;
- CUDA *Toolkit*: versão 4.2.9, 64 bits, Ubuntu 11.04, disponível em http://developer.download.nvidia.com/compute/cuda/4_2/rel/toolkit/cudatoolkit_4.2.9_linux_64_ubuntu11.04.run;
- *Driver* CUDA: versão 295.41, 64 bits, disponível em http://developer.download.nvidia.com/compute/cuda/4_2/rel/drivers/devdriver_4.2_linux_64_295.41.run;
- CUDA SDK: versão 4.29, disponível em http://developer.download.nvidia.com/compute/cuda/4_2/rel/sdk/gpucomputingsdk_4.2.9_linux.run.

I.2.2 *Hardware*

Segue descrição dos *hardwares* utilizados:

- computador: *Desktop*;
- processador: *Intel Core i7 - 2600K* (3.40GHz, *Cache* 8MB);
- memória: 8GB DDR3;
- Placa Gráfica: NVIDIA GeForce GTX580 com 512 *cores*, 384 bits de interface de memória e 1544 MHz de frequência de operação;

Segue descrição das capacidades da placa gráfica (Figura I.2), conforme saída do programa *getDeviceProperties* (Código Fonte II.6 e II.7)

name:	GeForce GT 540M
compute capability:	2.1
clockRate:	1344000
integrated:	0
asyncEngineCount:	1
kernelExecTimeoutEnabled:	0
canMapHostMemory:	1
computeMode:	0
concurrentKernels:	1
Memory information	
totalGlobalMem:	2147155968
totalConstMem:	65536
memPitch:	2147483647
l2CacheSize:	131072
textureAlignment:	512
maxTexture1D:	65536
maxTexture2D:	(65536, 65535)
maxTexture3D:	(2048, 2048, 2048)
memoryBusWidth:	128 bits
memoryClockRate:	900000 KHz
unifiedAddressing:	1
MP information	
multiProcessorCount:	2
sharedMemPerBlock:	49152
regsPerBlock:	32768
warpSize:	32
maxThreadsPerBlock:	1024
maxThreadsDim:	(1024, 1024, 64)
maxGridSize:	(65535, 65535 ,65535)

Figura I.1: Propriedades da placa gráfica 1

name:	GeForce GTX 580
compute capability:	2.0
clockRate:	1544000
integrated:	0
asyncEngineCount:	1
kernelExecTimeoutEnabled:	0
canMapHostMemory:	1
computeMode:	0
concurrentKernels:	1
Memory information	
totalGlobalMem:	1610153984
totalConstMem:	65536
memPitch:	2147483647
l2CacheSize:	786432
textureAlignment:	512
maxTexture1D:	65536
maxTexture2D:	(65536, 65535)
maxTexture3D:	(2048, 2048, 2048)
memoryBusWidth:	384 bits
memoryClockRate:	2004000 KHz
unifiedAddressing:	1
MP information	
multiProcessorCount:	16
sharedMemPerBlock:	49152
regsPerBlock:	32768
warpSize:	32
maxThreadsPerBlock:	1024
maxThreadsDim:	(1024, 1024, 64)
maxGridSize:	(65535, 65535 ,65535)

Figura I.2: Propriedades da placa gráfica 2

II.1 UTIL

Código fonte II.1: util/aes_key.c

```

1 #include "aes.h"
2 #include "util.h"
3
4 #include <time.h>
5 #include <sys/time.h>
6 #include <unistd.h>
7
8 #include <stdint.h>
9
10 #include <math.h>
11
12 int main(int argc, char **argv)
13 {
14     struct timespec start, stop;
15     float eventTime=0;
16
17     if (argc < 2) {
18         printf("USAGE: aes_key KEY\n");
19         return 1;
20     }
21     uint *ek;
22     uint *rk;
23
24     uint nk = stringToUnintArray(argv[1], &ek);
25
26     uint nr = 0;
27
28     switch (nk) {
29     case 4:
30         nr = 10;
31         break;
32     case 6:
33         nr = 12;
34         break;
35     case 8:
36         nr = 14;
37         break;
38     default:
39         printf("Invalid AES key size. %d\n", nk);
40         return 1;
41     }
42     printf("Encryption key\n");
43     rk = (uint *) malloc(4 * (nr + 1) * sizeof(uint));
44
45     eventRecord(&start);
46     AES_EncKey(ek, rk, nk);
47     eventRecord(&stop);
48
49     printHexArray(rk, 4 * (nr + 1));
50

```

```

51 eventElapsedTime(&eventTime,&start,&stop);
52
53 fprintf(stderr,"time(enc_key_%d):\t%f ms\n",nk*4*8,eventTime);
54
55 free(rk);
56 rk = NULL;
57
58 printf("\n\nDecryption key\n");
59 rk = (uint *) malloc(4 * (nr + 1) * sizeof(uint));
60
61 eventRecord(&start);
62 AES_DecKey(ek, rk, nk);
63 eventRecord(&stop);
64
65 printHexArray(rk, 4 * (nr + 1));
66
67 eventElapsedTime(&eventTime,&start,&stop);
68
69 fprintf(stderr,"time(dec_key_%d):\t%f ms\n",nk*4*8,eventTime);
70
71 free(rk);
72 rk = NULL;
73
74 free(ek);
75 ek = NULL;
76
77 return 0;
78 }

```

Código fonte II.2: util/aes_enc.c

```

1 #include "aes.h"
2 #include "util.h"
3
4 #include <time.h>
5 #include <sys/time.h>
6 #include <unistd.h>
7
8 #include <stdint.h>
9 #include <stdio.h>
10 #include <stdlib.h>
11 #include <string.h>
12
13 int main(int argc, char **argv)
14 {
15     struct timespec start, stop;
16     float eventTime;
17
18     if (argc < 3) {
19         printf("USAGE: aes_enc KEY PLAINTEXT\n");
20         return 1;
21     }
22
23     uint *ek, *rk;
24     uint *ct, *pt;
25     uint nk = stringToUnintArray(argv[1], &ek);
26     uint nb = stringToUnintArray(argv[2], &pt);
27
28     uint nr = 0;
29

```

```

30  switch (nk) {
31  case 4:
32      nr = 10;
33      break;
34  case 6:
35      nr = 12;
36      break;
37  case 8:
38      nr = 14;
39      break;
40  default:
41      printf("Invalid AES key size. %d\n", nk);
42      return 1;
43  }
44
45  if (nb != 4) {
46      printf("Invalid AES block size.\n");
47      return 1;
48  }
49
50  rk = (uint *) malloc(4 * (nr + 1) * sizeof(uint));
51
52  eventRecord(&start);
53  AES_EncKey(ek, rk, nk);
54  eventRecord(&stop);
55
56  eventElapsedTime(&eventTime, &start, &stop);
57
58  fprintf(stderr, "time(enc_key_%d):\t%f ms\n", nk*4*8, eventTime);
59
60  ct = (uint *) malloc(4 * sizeof(uint));
61
62  eventRecord(&start);
63  AES_Enc(pt, ct, rk, nk);
64  eventRecord(&stop);
65
66  eventElapsedTime(&eventTime, &start, &stop);
67
68  fprintf(stderr, "time(enc_%d):\t\t%f ms\n", nk*4*8, eventTime);
69
70  printHexArrayLine(ct, 4);
71
72  free(rk);
73  rk = NULL;
74
75  free(pt);
76  pt = NULL;
77
78  free(ct);
79  ct = NULL;
80  return 0;
81 }

```

Código fonte II.3: util/aes_dec.c

```

1  #include "aes.h"
2  #include "util.h"
3
4  #include <time.h>
5  #include <sys/time.h>

```



```

6 #include <unistd.h>
7
8 #include <stdint.h>
9 #include <stdio.h>
10 #include <stdlib.h>
11 #include <string.h>
12
13 int main(int argc, char **argv)
14 {
15     struct timespec start, stop;
16     float eventTime;
17
18     if (argc < 3) {
19         printf("USAGE: aes_dec KEY CYPHERTEXT\n");
20         return 1;
21     }
22
23     uint *dk, *rk;
24     uint *ct, *pt;
25     uint nk = stringToUnintArray(argv[1], &dk);
26     uint nb = stringToUnintArray(argv[2], &ct);
27
28     uint nr = 0;
29
30     switch (nk) {
31     case 4:
32         nr = 10;
33         break;
34     case 6:
35         nr = 12;
36         break;
37     case 8:
38         nr = 14;
39         break;
40     default:
41         printf("Invalid AES key size. %d\n", nk);
42         return 1;
43     }
44
45     if (nb != 4) {
46         printf("Invalid AES block size.\n");
47         return 1;
48     }
49
50     rk = (uint *) malloc(4 * (nr + 1) * sizeof(uint));
51
52     eventRecord(&start);
53     AES_DecKey(dk, rk, nk);
54     eventRecord(&stop);
55
56     eventElapsedTime(&eventTime, &start, &stop);
57
58     fprintf(stderr, "time(dec_key_%d):\t%f ms\n", nk*4*8, eventTime);
59
60
61     pt = (uint *) malloc(4 * sizeof(uint));
62
63     eventRecord(&start);
64     AES_Dec(ct, pt, rk, nk);
65     eventRecord(&stop);

```

```

66
67 eventElapsedTime(&eventTime,&start,&stop);
68
69 fprintf(stderr,"time(dec_%d):\t\t%f ms\n",nk*4*8,eventTime);
70
71 printHexArrayLine(pt,4);
72
73 free(rk);
74 rk=NULL;
75
76 free(pt);
77 pt=NULL;
78
79 free(ct);
80 ct=NULL;
81 return 0;
82 }

```

Código fonte II.4: util/aes_enc_file.c

```

1 #include "aes.h"
2 #include "util.h"
3
4 #include <time.h>
5 #include <sys/time.h>
6 #include <sys/stat.h>
7 #include <unistd.h>
8
9 #include <stdint.h>
10 #include <stdio.h>
11 #include <stdlib.h>
12 #include <string.h>
13
14 #include "util.h"
15
16 int main(int argc, char **argv) {
17     uint i;
18     struct timespec start, stop;
19     float eventTime;
20
21     if (argc < 4) {
22         printf(
23             "USAGE: aes_enc_file KEY_FILE PLAINTEXT_FILE CYPHERTEXT_FILE\n");
24         return 1;
25     }
26     uint *ek, *rk;
27     uint *ct, *pt;
28
29     char* ek_file_name = argv[1];
30     char* pt_file_name = argv[2];
31     char* ct_file_name = argv[3];
32
33     FILE * ek_file;
34     FILE * pt_file;
35     FILE * ct_file;
36
37     struct stat ek_stat;
38     struct stat pt_stat;
39
40     // KEY FILE

```

```

41 ek_file = fopen(ek_file_name, "rb");
42 if (ek_file == NULL) {
43     fprintf(stderr, "KEY_FILE READ ERROR [%s]", ek_file_name);
44     return EXIT_FAILURE;
45 }
46
47 if (stat(ek_file_name, &ek_stat)) {
48     fclose(ek_file);
49     fprintf(stderr, "KEY_FILE STAT ERROR [%s]", ek_file_name);
50     return EXIT_FAILURE;
51 }
52
53 off_t ek_file_size = ek_stat.st_size;
54
55 uint nr = 0;
56 uint nk = 0;
57
58 switch (ek_file_size) {
59 case 16:
60     nk = 4;
61     nr = 10;
62     break;
63 case 24:
64     nk = 6;
65     nr = 12;
66     break;
67 case 32:
68     nk = 8;
69     nr = 14;
70     break;
71 default:
72     fprintf(stderr, "KEY_FILE Invalid AES key size [%lu bytes] [%s] \n",
73             ek_file_size, ek_file_name);
74     fclose(ek_file);
75     return EXIT_FAILURE;
76 }
77
78 if ((ek = (uint *) malloc(ek_file_size)) == NULL) {
79     fclose(ek_file);
80     fprintf(stderr, "KEY ERROR MALLOC\n");
81     return EXIT_FAILURE;
82 }
83
84 if (fread(ek, 1, ek_file_size, ek_file) < (unsigned) ek_file_size) {
85     fclose(ek_file);
86     fprintf(stderr, "KEY_FILE READING ERROR [%s] \n", ek_file_name);
87     return EXIT_FAILURE;
88 }
89
90 fclose(ek_file);
91
92 // PLAINTEXT FILE
93
94 pt_file = fopen(pt_file_name, "rb");
95 if (pt_file == NULL) {
96     fprintf(stderr, "PLAINTEXT_FILE READ ERROR [%s]", pt_file_name);
97     return EXIT_FAILURE;
98 }
99
100 if (stat(pt_file_name, &pt_stat)) {

```

```

101     fclose(pt_file);
102     fprintf(stderr, "PLAINTEXT_FILE STAT ERROR [%s]", pt_file_name);
103     return EXIT_FAILURE;
104 }
105
106 off_t pt_file_size = pt_stat.st_size;
107
108 /// determinar padding
109 uint pt_file_size_mod16 = pt_file_size % 16;
110
111 char pt_size_pad = 16;
112 if (pt_file_size_mod16 != 0)
113     pt_size_pad = 16 - pt_file_size_mod16;
114
115 uint pt_size = pt_file_size + pt_size_pad;
116
117 if ((pt = (uint *) malloc(pt_size)) == NULL) {
118     fclose(pt_file);
119     fprintf(stderr, "PLAINTEXT ERROR MALLOC\n");
120     return EXIT_FAILURE;
121 }
122
123 if (fread(pt, 1, pt_file_size, pt_file) < (unsigned) pt_file_size) {
124     fclose(pt_file);
125     fprintf(stderr, "PLAINTEXT_FILE READING ERROR [%s] \n", pt_file_name);
126     return EXIT_FAILURE;
127 }
128
129 fclose(pt_file);
130 char * ptb = (char *) pt;
131 for (i = 0; i < (unsigned) pt_size_pad; ++i)
132     ptb[pt_file_size + i] = pt_size_pad;
133
134 ct_file = fopen(ct_file_name, "wb");
135 if (ct_file == NULL) {
136     fprintf(stderr, "CYPHERTEXT_FILE WRITE ERROR [%s]", ct_file_name);
137     return EXIT_FAILURE;
138 }
139
140 // Chave de round
141 rk = (uint *) malloc(4 * (nr + 1) * sizeof(uint));
142
143 AES_EncKey(ek, rk, nk);
144
145 ct = (uint *) malloc(pt_size);
146
147 eventRecord(&start);
148 AES_Enc(pt, ct, rk, nk, pt_size);
149 eventRecord(&stop);
150
151 eventElapsedTime(&eventTime, &start, &stop);
152
153 fprintf(stderr, "time(enc_%d):\t\t%f ms\t%u bytes\n", nk*4*8, eventTime, pt_size);
154
155 if (fwrite(ct, 1, pt_size, ct_file) < pt_size) {
156     fclose(ct_file);
157     fprintf(stderr, "CYPHERTEXT_FILE WRITING ERROR [%s]", ct_file_name);
158     return EXIT_FAILURE;
159 }
160 }

```

```

161
162     fclose(ct_file);
163
164     if (ek != NULL) {
165         free(ek);
166         ek = NULL;
167     }
168
169     if (rk != NULL) {
170         free(rk);
171         rk = NULL;
172     }
173
174     if (pt != NULL) {
175         free(pt);
176         pt = NULL;
177     }
178
179     if (ct != NULL) {
180         free(ct);
181         ct = NULL;
182     }
183
184     return 0;
185 }

```

Código fonte II.5: util/aes_dec_file.c

```

1  #include "aes.h"
2  #include "util.h"
3
4  #include <time.h>
5  #include <sys/time.h>
6  #include <sys/stat.h>
7  #include <unistd.h>
8
9  #include <stdint.h>
10 #include <stdio.h>
11 #include <stdlib.h>
12 #include <string.h>
13
14 #include "util.h"
15
16 int main(int argc, char **argv) {
17     struct timespec start, stop;
18     float eventTime;
19
20     if (argc < 4) {
21         printf("USAGE: aes_dec_file KEY_FILE CYPHERTEXT_FILE PLAINTEXT_FILE\n");
22         return 1;
23     }
24     uint *ek, *rk;
25     uint *ct, *pt;
26
27     char* ek_file_name = argv[1];
28     char* ct_file_name = argv[2];
29     char* pt_file_name = argv[3];
30
31     FILE * ek_file;
32     FILE * pt_file;

```

```

33 FILE * ct_file;
34
35 struct stat ek_stat;
36 struct stat ct_stat;
37
38 // KEY FILE
39 ek_file = fopen(ek_file_name, "rb");
40 if (ek_file == NULL) {
41     fprintf(stderr, "KEY_FILE READ ERROR [%s]", ek_file_name);
42     return EXIT_FAILURE;
43 }
44
45 if (stat(ek_file_name, &ek_stat)) {
46     fclose(ek_file);
47     fprintf(stderr, "KEY_FILE STAT ERROR [%s]", ek_file_name);
48     return EXIT_FAILURE;
49 }
50
51 off_t ek_file_size = ek_stat.st_size;
52
53 uint nr = 0;
54 uint nk = 0;
55
56 switch (ek_file_size) {
57 case 16:
58     nk = 4;
59     nr = 10;
60     break;
61 case 24:
62     nk = 6;
63     nr = 12;
64     break;
65 case 32:
66     nk = 8;
67     nr = 14;
68     break;
69 default:
70     fprintf(stderr, "KEY_FILE Invalid AES key size [%lu bytes] [%s] \n",
71             ek_file_size, ek_file_name);
72     fclose(ek_file);
73     return EXIT_FAILURE;
74 }
75
76 if ((ek = (uint *) malloc(ek_file_size)) == NULL) {
77     fclose(ek_file);
78     fprintf(stderr, "KEY ERROR MALLOC\n");
79     return EXIT_FAILURE;
80 }
81
82 if (fread(ek, 1, ek_file_size, ek_file) < (unsigned) ek_file_size) {
83     fclose(ek_file);
84     fprintf(stderr, "KEY_FILE READING ERROR [%s] \n", ek_file_name);
85     return EXIT_FAILURE;
86 }
87
88 fclose(ek_file);
89
90 // CYPHERTEXT FILE
91
92 ct_file = fopen(ct_file_name, "rb");

```

```

93  if (ct_file == NULL) {
94      fprintf(stderr, "CYPHERTEXT_FILE READ ERROR [%s]", ct_file_name);
95      return EXIT_FAILURE;
96  }
97
98  if (stat(ct_file_name, &ct_stat)) {
99      fclose(ct_file);
100     fprintf(stderr, "CYPHERTEXT_FILE STAT ERROR [%s]", ct_file_name);
101     return EXIT_FAILURE;
102  }
103
104  off_t ct_file_size = ct_stat.st_size;
105
106  /// determinar padding correto
107  uint ct_file_size_mod16 = ct_file_size % 16;
108
109  if (ct_file_size_mod16 != 0) {
110      fclose(ct_file);
111      fprintf(stderr, "CYPHERTEXT_FILE SIZE PADDING ERROR [%s]",
112              ct_file_name);
113      return EXIT_FAILURE;
114  }
115
116  if ((ct = (uint *) malloc(ct_file_size)) == NULL) {
117      fclose(ct_file);
118      fprintf(stderr, "CYPHERTEXT ERROR MALLOC\n");
119      return EXIT_FAILURE;
120  }
121
122  if (fread(ct, 1, ct_file_size, ct_file) < (unsigned)ct_file_size) {
123      fclose(ct_file);
124      fprintf(stderr, "CYPHERTEXT_FILE READING ERROR [%s] \n", ct_file_name);
125      return EXIT_FAILURE;
126  }
127
128  fclose(ct_file);
129
130  /// PLAINTEXT FILE
131  pt_file = fopen(pt_file_name, "wb");
132  if (pt_file == NULL) {
133      fprintf(stderr, "PLAINTEXT_FILE WRITE ERROR [%s]", pt_file_name);
134      return EXIT_FAILURE;
135  }
136
137  /// Chave de round
138  rk = (uint *) malloc(4 * (nr + 1) * sizeof(uint));
139
140
141  AES_DecKey(ek, rk, nk);
142
143  pt = (uint *) malloc(ct_file_size);
144
145  eventRecord(&start);
146  AES_Dec(ct, pt, rk, nk, ct_file_size);
147  eventRecord(&stop);
148
149  eventElapsedTime(&eventTime, &start, &stop);
150
151  fprintf(stderr, "time(dec_%d):\t\t%f ms\t\t%lu bytes\n", nk * 4 * 8,
          eventTime, ct_file_size);

```

```

152
153 char * ptb = (char *) pt;
154 char pad = ptb[ct_file_size - 1];
155
156 if (fwrite(pt, 1, ct_file_size - pad, pt_file) < (ct_file_size - pad)) {
157     fclose(pt_file);
158     fprintf(stderr, "PLAINTEXT_FILE WRITING ERROR [%s]", pt_file_name);
159     return EXIT_FAILURE;
160 }
161
162 fclose(pt_file);
163
164 if (ek != NULL) {
165     free(ek);
166     ek = NULL;
167 }
168
169 if (rk != NULL) {
170     free(rk);
171     rk = NULL;
172 }
173
174 if (pt != NULL) {
175     free(pt);
176     pt = NULL;
177 }
178
179 if (ct != NULL) {
180     free(ct);
181     ct = NULL;
182 }
183
184 return 0;
185 }

```

II.2 CUDA_UTIL

Código fonte II.6: cuda_util/getDeviceProperties.cu

```

1 #include "cuda_util.h"
2 #include <stdio.h>
3 #include <stdlib.h>
4
5 int main(int argc, char **argv)
6 {
7     printDeviceProperties();
8     return EXIT_SUCCESS;
9 }

```

Código fonte II.7: cuda_util/cuda_util.cu

```

1 #include "cuda_util.h"
2 #include <stdio.h>
3 #include <stdlib.h>
4
5 int printDeviceProperties()
6 {

```



```

7
8  cudaDeviceProp prop;
9
10 int count = 0;
11
12 HANDLE_ERROR(cudaGetDeviceCount(&count));
13
14 if (count == 0) {
15     printf("No CUDA device founded\n");
16     return EXIT_FAILURE;
17 }
18
19 for (int i = 0; i < count; i++) {
20     cudaGetDeviceProperties(&prop, i);
21     printf("Device %d\n\n", i);
22     printf("name:                %s\n", prop.name);
23     printf("compute capability:      %d.%d\n", prop.major,
24         prop.minor);
25     printf("clockRate:                %d\n", prop.clockRate);
26     printf("integrated:                %d\n", prop.integrated);
27     printf("asyncEngineCount:         %d\n",
28         prop.asyncEngineCount);
29     printf("kernelExecTimeoutEnabled: %d\n",
30         prop.kernelExecTimeoutEnabled);
31     printf("canMapHostMemory:         %d\n",
32         prop.canMapHostMemory);
33     printf("computeMode:              %d\n", prop.computeMode);
34     printf("concurrentKernels:        %d\n",
35         prop.concurrentKernels);
36
37     printf("\nMemory information\n");
38     printf("totalGlobalMem:           %ld\n",
39         prop.totalGlobalMem);
40     printf("totalConstMem:            %ld\n", prop.totalConstMem);
41     printf("memPitch:                  %ld\n", prop.memPitch);
42     printf("l2CacheSize:               %d\n", prop.l2CacheSize);
43
44     printf("textureAlignment:         %ld\n",
45         prop.textureAlignment);
46     printf("maxTexture1D:              %d\n", prop.maxTexture1D);
47     printf("maxTexture2D:              (%d, %d)\n",
48         prop.maxTexture2D[0], prop.maxTexture2D[1]);
49     printf("maxTexture3D:              (%d, %d, %d)\n",
50         prop.maxTexture3D[0],
51         prop.maxTexture3D[1], prop.maxTexture3D[2]);
52     printf("memoryBusWidth:            %d bits\n",
53         prop.memoryBusWidth);
54     printf("memoryClockRate:           %d KHz\n",
55         prop.memoryClockRate);
56     printf("unifiedAddressing:         %d\n",
57         prop.unifiedAddressing);
58
59     printf("\nMP information\n");
60     printf("multiProcessorCount:       %d\n",
61         prop.multiProcessorCount);
62     printf("sharedMemPerBlock:         %ld\n",
63         prop.sharedMemPerBlock);
64     printf("regsPerBlock:              %d\n", prop.regsPerBlock);
65     printf("warpSize:                   %d\n", prop.warpSize);
66     printf("maxThreadsPerBlock:        %d\n",

```

```

67     prop.maxThreadsPerBlock);
68     printf("maxThreadsDim:          (%d, %d, %d)\n",
69           prop.maxThreadsDim[0], prop.maxThreadsDim[1],
70           prop.maxThreadsDim[2]);
71     printf("maxGridSize:          (%d, %d, %d)\n\n",
72           prop.maxGridSize[0], prop.maxGridSize[1],
73           prop.maxGridSize[2]);
74 }
75
76 return EXIT_SUCCESS;
77 }
78
79 void HandleError(cudaError_t err, const char *file, int line)
80 {
81     if (err != cudaSuccess) {
82         printf("%s in %s at line %d\n", cudaGetErrorString(err),
83               file, line);
84         exit(EXIT_FAILURE);
85     }
86     return;
87 }
88
89 //Create thread
90 CUTThread start_thread(CUT_THREADROUTINE func, void *data)
91 {
92     pthread_t thread;
93     pthread_create(&thread, NULL, func, data);
94     return thread;
95 }
96
97 //Wait for thread to finish
98 void end_thread(CUTThread thread)
99 {
100    pthread_join(thread, NULL);
101 }
102
103 //Destroy thread
104 void destroy_thread(CUTThread thread)
105 {
106    pthread_cancel(thread);
107 }
108
109 //Wait for multiple threads
110 void wait_for_threads(const CUTThread * threads, int num)
111 {
112     for (int i = 0; i < num; i++)
113         end_thread(threads[i]);
114 }

```

Código fonte II.8: cuda_util/aes_key.cu

```

1 #include "aes.h"
2 #include "util.h"
3
4 #include <time.h>
5 #include <sys/time.h>
6 #include <unistd.h>
7
8 #include <stdint.h>
9

```

```

10 #include <math.h>
11
12 int main(int argc, char **argv)
13 {
14     if (argc < 2) {
15         printf("USAGE: aes_key KEY\n");
16         return 1;
17     }
18     uint *ek;
19     uint *rk;
20
21     uint nk = stringToUnintArray(argv[1], &ek);
22
23     uint nr = 0;
24
25     switch (nk) {
26     case 4:
27         nr = 10;
28         break;
29     case 6:
30         nr = 12;
31         break;
32     case 8:
33         nr = 14;
34         break;
35     default:
36         printf("Invalid AES key size. %d\n", nk);
37         return 1;
38     }
39     printf("Encryption key\n");
40     rk = (uint *) malloc(4 * (nr + 1) * sizeof(uint));
41
42     AES_EncKey(ek, rk, nk);
43
44     printHexArray(rk, 4 * (nr + 1));
45
46     free(rk);
47     rk = NULL;
48
49     printf("\n\nDecryption key\n");
50     rk = (uint *) malloc(4 * (nr + 1) * sizeof(uint));
51
52     AES_DecKey(ek, rk, nk);
53
54     printHexArray(rk, 4 * (nr + 1));
55
56     free(rk);
57     rk = NULL;
58
59     free(ek);
60     ek = NULL;
61
62     return 0;
63 }

```

Código fonte II.9: cuda_util/aes_enc.cu

```

1 #include "aes.h"
2 #include "util.h"
3

```

```

4 #include <time.h>
5 #include <sys/time.h>
6 #include <unistd.h>
7
8 #include <stdint.h>
9 #include <stdio.h>
10 #include <stdlib.h>
11 #include <string.h>
12
13 int main(int argc, char **argv)
14 {
15     if (argc < 3) {
16         printf("USAGE: aes_enc KEY PLAINTEXT\n");
17         return 1;
18     }
19
20     uint *ek, *rk;
21     uint *ct, *pt;
22     uint nk = stringToUnintArray(argv[1], &ek);
23     uint nb = stringToUnintArray(argv[2], &pt);
24
25     uint nr = 0;
26
27     switch (nk) {
28     case 4:
29         nr = 10;
30         break;
31     case 6:
32         nr = 12;
33         break;
34     case 8:
35         nr = 14;
36         break;
37     default:
38         printf("Invalid AES key size. %d\n", nk);
39         return 1;
40     }
41
42     if (nb != 4) {
43         printf("Invalid AES block size.\n");
44         return 1;
45     }
46
47     rk = (uint *) malloc(4 * (nr + 1) * sizeof(uint));
48
49     AES_EncKey(ek, rk, nk);
50
51     ct = (uint *) malloc(4 * sizeof(uint));
52
53     AES_Enc(pt, ct, rk, nk);
54
55     printHexArrayLine(ct, 4);
56
57     free(rk);
58     rk = NULL;
59
60     free(pt);
61     pt = NULL;
62
63     free(ct);

```

```

64     ct = NULL;
65     return 0;
66 }

```

Código fonte II.10: cuda_util/aes_dec.cu

```

1  #include "aes.h"
2  #include "util.h"
3
4  #include <time.h>
5  #include <sys/time.h>
6  #include <unistd.h>
7
8  #include <stdint.h>
9  #include <stdio.h>
10 #include <stdlib.h>
11 #include <string.h>
12
13 int main(int argc, char **argv)
14 {
15
16     if (argc < 3) {
17         printf("USAGE: aes_dec KEY CYPHERTEXT\n");
18         return 1;
19     }
20
21     uint *dk, *rk;
22     uint *ct, *pt;
23     uint nk = stringToUnintArray(argv[1], &dk);
24     uint nb = stringToUnintArray(argv[2], &ct);
25
26     uint nr = 0;
27
28     switch (nk) {
29     case 4:
30         nr = 10;
31         break;
32     case 6:
33         nr = 12;
34         break;
35     case 8:
36         nr = 14;
37         break;
38     default:
39         printf("Invalid AES key size. %d\n", nk);
40         return 1;
41     }
42
43     if (nb != 4) {
44         printf("Invalid AES block size.\n");
45         return 1;
46     }
47
48     rk = (uint *) malloc(4 * (nr + 1) * sizeof(uint));
49
50     AES_DecKey(dk, rk, nk);
51
52     pt = (uint *) malloc(4 * sizeof(uint));
53
54     AES_Dec(ct, pt, rk, nk);

```

```

55
56     printHexArrayLine(pt, 4);
57
58     free(rk);
59     rk = NULL;
60
61     free(pt);
62     pt = NULL;
63
64     free(ct);
65     ct = NULL;
66     return 0;
67 }

```

Código fonte II.11: cuda_util/aes_enc_file.cu

```

1  #include "aes.h"
2  #include "util.h"
3
4  #include <time.h>
5  #include <sys/time.h>
6  #include <sys/stat.h>
7  #include <unistd.h>
8
9  #include <stdint.h>
10 #include <stdio.h>
11 #include <stdlib.h>
12 #include <string.h>
13
14 #include <cuda.h>
15 #include <cuda_runtime.h>
16 #include <device_launch_parameters.h>
17
18 #include "cuda_util.h"
19 #include "util.h"
20
21 int main(int argc, char **argv) {
22     uint i;
23     cudaDeviceProp prop;
24     HANDLE_ERROR( cudaGetDeviceProperties( &prop, 0));
25 #ifdef ASYNC
26     if (argc < 5) {
27         printf(
28             "USAGE: aes_enc_file KEY_FILE PLAINTEXT_FILE CYPHERTEXT_FILE THREADS_PER_BLOCK
29             BLOCKS STREAMS\n");
30         return 1;
31     }
32     uint BLOCOS = atoi(argv[5]);
33     uint STREAMS = atoi(argv[6]);
34
35     if (!prop.deviceOverlap) {
36         printf("Overlap nao disponivel. Nao e possivel rodar ASYNC\n");
37         return EXIT_FAILURE;
38     }
39 #else
40     if (argc < 3) {
41         printf(
42             "USAGE: aes_enc_file KEY_FILE PLAINTEXT_FILE CYPHERTEXT_FILE THREADS_PER_BLOCK\n");
43         return 1;
44     }

```

```

44 #endif
45
46 #ifndef ZEROCOPY
47     if (prop.canMapHostMemory != 1) {
48         printf("Memoria mapeada nao disponivel. Nao e possivel rodar ZEROCOPY\n");
49         return EXIT_FAILURE;
50     }
51     HANDLE_ERROR( cudaSetDeviceFlags( cudaDeviceMapHost ) );
52 #endif
53
54     uint *ek, *rk;
55     uint *ct, *pt;
56
57     char* ek_file_name = argv [1];
58     char* pt_file_name = argv [2];
59     char* ct_file_name = argv [3];
60     uint threads_per_block = atoi(argv [4]);
61
62     // fprintf(stderr, "KEY_FILE:           %s\n", ek_file_name);
63     // fprintf(stderr, "PLAINTEXT_FILE:       %s\n", pt_file_name);
64     // fprintf(stderr, "CYPHERTEXT_FILE:     %s\n", ct_file_name);
65     // fprintf(stderr, "THREADS_PER_BLOCK:   %d\n\n", threads_per_block);
66
67     FILE * ek_file;
68     FILE * pt_file;
69     FILE * ct_file;
70
71     struct stat ek_stat;
72     struct stat pt_stat;
73
74     // KEY FILE
75     ek_file = fopen(ek_file_name, "rb");
76     if (ek_file == NULL) {
77         fprintf(stderr, "KEY_FILE READ ERROR [%s]", ek_file_name);
78         return EXIT_FAILURE;
79     }
80
81     if (stat(ek_file_name, &ek_stat)) {
82         fclose(ek_file);
83         fprintf(stderr, "KEY_FILE STAT ERROR [%s]", ek_file_name);
84         return EXIT_FAILURE;
85     }
86
87     off_t ek_file_size = ek_stat.st_size;
88
89     uint nr = 0;
90     uint nk = 0;
91
92     switch (ek_file_size) {
93     case 16:
94         nk = 4;
95         nr = 10;
96         break;
97     case 24:
98         nk = 6;
99         nr = 12;
100        break;
101     case 32:
102         nk = 8;
103         nr = 14;

```

```

104     break;
105 default:
106     fprintf(stderr, "KEY_FILE Invalid AES key size [%lu bytes] [%s] \n",
107         ek_file_size, ek_file_name);
108     fclose(ek_file);
109     return EXIT_FAILURE;
110 }
111
112 if ((ek = (uint *) malloc(ek_file_size)) == NULL) {
113     fclose(ek_file);
114     fprintf(stderr, "KEY ERROR MALLOC\n");
115     return EXIT_FAILURE;
116 }
117
118 if (fread(ek, 1, ek_file_size, ek_file) < (unsigned) ek_file_size) {
119     fclose(ek_file);
120     fprintf(stderr, "KEY_FILE READING ERROR [%s] \n", ek_file_name);
121     return EXIT_FAILURE;
122 }
123
124 fclose(ek_file);
125
126 // PLAINTEXT FILE
127
128 pt_file = fopen(pt_file_name, "rb");
129 if (pt_file == NULL) {
130     fprintf(stderr, "PLAINTEXT_FILE READ ERROR [%s]", pt_file_name);
131     return EXIT_FAILURE;
132 }
133
134 if (stat(pt_file_name, &pt_stat)) {
135     fclose(pt_file);
136     fprintf(stderr, "PLAINTEXT_FILE STAT ERROR [%s]", pt_file_name);
137     return EXIT_FAILURE;
138 }
139
140 off_t pt_file_size = pt_stat.st_size;
141
142 /// determinar padding
143 uint pt_file_size_mod16 = pt_file_size % 16;
144
145 unsigned char pt_size_pad = 16;
146 if (pt_file_size_mod16 != 0)
147     pt_size_pad = 16 - pt_file_size_mod16;
148
149 uint pt_size = pt_file_size + pt_size_pad;
150 #ifdef ZEROCOPY
151     HANDLE_ERROR(cudaHostAlloc((void **)&pt,
152         pt_size, cudaHostAllocWriteCombined | cudaHostAllocMapped));
153 #elif PINNED
154     HANDLE_ERROR(cudaHostAlloc((void **)&pt, pt_size, cudaHostAllocDefault));
155 #else
156     if ((pt = (uint *) malloc(pt_size)) == NULL) {
157         fclose(pt_file);
158         fprintf(stderr, "PLAINTEXT ERROR MALLOC\n");
159         return EXIT_FAILURE;
160     }
161 #endif
162
163 if (fread(pt, 1, pt_file_size, pt_file) < (unsigned) pt_file_size) {

```



```

163     fclose(pt_file);
164     fprintf(stderr, "PLAINTEXT_FILE READING ERROR [%s] \n", pt_file_name);
165     return EXIT_FAILURE;
166 }
167
168     fclose(pt_file);
169     char * ptb = (char *) pt;
170     for (i = 0; i < pt_size_pad; ++i)
171         ptb[pt_file_size + i] = pt_size_pad;
172
173     ct_file = fopen(ct_file_name, "wb");
174     if (ct_file == NULL) {
175         fprintf(stderr, "CYPHERTEXT_FILE WRITE ERROR [%s]", ct_file_name);
176         return EXIT_FAILURE;
177     }
178
179     // Chave de round
180     #if defined PINNED || defined ZEROCOPY
181         HANDLE_ERROR(cudaHostAlloc((void **)&rk, 4 * (nr + 1) *
182             sizeof(uint), cudaHostAllocDefault));
183     #else
184         rk = (uint *) malloc(4 * (nr + 1) * sizeof(uint));
185     #endif
186
187     AES_EncKey(ek, rk, nk);
188
189     #ifndef ZEROCOPY
190         HANDLE_ERROR(cudaHostAlloc((void **)&ct, pt_size, cudaHostAllocMapped));
191     #elif PINNED
192         HANDLE_ERROR(cudaHostAlloc((void **)&ct, pt_size, cudaHostAllocDefault));
193     #else
194         ct = (uint *) malloc(pt_size);
195     #endif
196
197     #ifndef ZEROCOPY
198         AES_Enc_ZeroCopy(pt, ct, rk, nk, pt_size, threads_per_block);
199     #elif ASYNC
200         AES_Enc_Async(pt, ct, rk, nk, pt_size, threads_per_block, BLOCOS, STREAMS);
201     #else
202         AES_Enc(pt, ct, rk, nk, pt_size, threads_per_block);
203     #endif
204
205     if (fwrite(ct, 1, pt_size, ct_file) < pt_size) {
206         fclose(ct_file);
207         fprintf(stderr, "CYPHERTEXT_FILE WRITING ERROR [%s]", ct_file_name);
208         return EXIT_FAILURE;
209     }
210
211     fclose(ct_file);
212
213     if (ek != NULL) {
214         free(ek);
215         ek = NULL;
216     }
217
218     #if defined PINNED || defined ZEROCOPY
219     if (rk != NULL) {
220         HANDLE_ERROR(cudaFreeHost(rk));
221         rk = NULL;

```

```

222     }
223
224     if (pt != NULL) {
225         HANDLE_ERROR(cudaFreeHost(pt));
226         pt = NULL;
227     }
228
229     if (ct != NULL) {
230         HANDLE_ERROR(cudaFreeHost(ct));
231         ct = NULL;
232     }
233
234 #else
235     if (rk != NULL) {
236         free(rk);
237         rk = NULL;
238     }
239
240     if (pt != NULL) {
241         free(pt);
242         pt = NULL;
243     }
244
245     if (ct != NULL) {
246         free(ct);
247         ct = NULL;
248     }
249 #endif
250
251     return 0;
252 }

```

Código fonte II.12: cuda_util/aes_dec_file.cu

```

1  #include "aes.h"
2  #include "util.h"
3
4  #include <time.h>
5  #include <sys/time.h>
6  #include <sys/stat.h>
7  #include <unistd.h>
8
9  #include <stdint.h>
10 #include <stdio.h>
11 #include <stdlib.h>
12 #include <string.h>
13
14 #include <cuda.h>
15 #include <cuda_runtime.h>
16 #include <device_launch_parameters.h>
17
18 #include "cuda_util.h"
19 #include "util.h"
20
21 int main(int argc, char **argv) {
22
23 #ifdef ASYNC
24     if (argc < 5) {
25         printf(

```

```

26     "USAGE: aes_dec_file KEY_FILE PLAINTEXT_FILE CYPHERTEXT_FILE THREADS_PER_BLOCK
      BLOCKS STREAMS\n");
27     return 1;
28 }
29 uint BLOCOS = atoi(argv[5]);
30 uint STREAMS = atoi(argv[6]);
31 #else
32 if (argc < 3) {
33     printf(
34         "USAGE: aes_dec_file KEY_FILE CYPHERTEXT_FILE PLAINTEXT_FILE THREADS_PER_BLOCK\n");
35     return 1;
36 }
37 #endif
38
39 uint *ek, *rk;
40 uint *ct, *pt;
41
42 char* ek_file_name = argv[1];
43 char* ct_file_name = argv[2];
44 char* pt_file_name = argv[3];
45 uint threads_per_block = atoi(argv[4]);
46
47 FILE * ek_file;
48 FILE * pt_file;
49 FILE * ct_file;
50
51 struct stat ek_stat;
52 struct stat ct_stat;
53
54 // KEY FILE
55 ek_file = fopen(ek_file_name, "rb");
56 if (ek_file == NULL) {
57     fprintf(stderr, "KEY_FILE READ ERROR [%s]", ek_file_name);
58     return EXIT_FAILURE;
59 }
60
61 if (stat(ek_file_name, &ek_stat)) {
62     fclose(ek_file);
63     fprintf(stderr, "KEY_FILE STAT ERROR [%s]", ek_file_name);
64     return EXIT_FAILURE;
65 }
66
67 off_t ek_file_size = ek_stat.st_size;
68
69 uint nr = 0;
70 uint nk = 0;
71
72 switch (ek_file_size) {
73 case 16:
74     nk = 4;
75     nr = 10;
76     break;
77 case 24:
78     nk = 6;
79     nr = 12;
80     break;
81 case 32:
82     nk = 8;
83     nr = 14;
84     break;

```

```

85  default:
86      fprintf(stderr, "KEY_FILE Invalid AES key size [%lu bytes] [%s] \n",
87          ek_file_size, ek_file_name);
88      fclose(ek_file);
89      return EXIT_FAILURE;
90  }
91
92  if ((ek = (uint *) malloc(ek_file_size)) == NULL) {
93      fclose(ek_file);
94      fprintf(stderr, "KEY ERROR MALLOC\n");
95      return EXIT_FAILURE;
96  }
97
98  if (fread(ek, 1, ek_file_size, ek_file) < (unsigned) ek_file_size) {
99      fclose(ek_file);
100     fprintf(stderr, "KEY_FILE READING ERROR [%s] \n", ek_file_name);
101     return EXIT_FAILURE;
102 }
103
104 fclose(ek_file);
105
106 // CYPHERTEXT FILE
107
108 ct_file = fopen(ct_file_name, "rb");
109 if (ct_file == NULL) {
110     fprintf(stderr, "CYPHERTEXT_FILE READ ERROR [%s]", ct_file_name);
111     return EXIT_FAILURE;
112 }
113
114 if (stat(ct_file_name, &ct_stat)) {
115     fclose(ct_file);
116     fprintf(stderr, "CYPHERTEXT_FILE STAT ERROR [%s]", ct_file_name);
117     return EXIT_FAILURE;
118 }
119
120 off_t ct_file_size = ct_stat.st_size;
121
122 /// determinar padding correcto
123 uint ct_file_size_mod16 = ct_file_size % 16;
124
125 if (ct_file_size_mod16 != 0) {
126     fclose(ct_file);
127     fprintf(stderr, "CYPHERTEXT_FILE SIZE PADDING ERROR [%s]",
128         ct_file_name);
129     return EXIT_FAILURE;
130 }
131
132 #ifndef PINNED
133     HANDLE_ERROR(cudaHostAlloc((void **)&ct, ct_file_size, cudaHostAllocDefault));
134 #else
135     if ((ct = (uint *) malloc(ct_file_size)) == NULL) {
136         fclose(ct_file);
137         fprintf(stderr, "CYPHERTEXT ERROR MALLOC\n");
138         return EXIT_FAILURE;
139     }
140 #endif
141
142 if (fread(ct, 1, ct_file_size, ct_file) < (unsigned) ct_file_size) {
143     fclose(ct_file);
144     fprintf(stderr, "CYPHERTEXT_FILE READING ERROR [%s] \n", ct_file_name);

```

```

145     return EXIT_FAILURE;
146 }
147
148 fclose(ct_file);
149
150 /// PLAINTEXT FILE
151 pt_file = fopen(pt_file_name, "wb");
152 if (pt_file == NULL) {
153     fprintf(stderr, "PLAINTEXT_FILE WRITE ERROR [%s]", pt_file_name);
154     return EXIT_FAILURE;
155 }
156
157 // Chave de round
158 #ifndef PINNED
159     HANDLE_ERROR(cudaHostAlloc((void **)&rk, 4 * (nr + 1) *
160         sizeof(uint), cudaHostAllocDefault));
161 #else
162     rk = (uint *) malloc(4 * (nr + 1) * sizeof(uint));
163 #endif
164
165     AES_DecKey(ek, rk, nk);
166
167 #ifndef PINNED
168     HANDLE_ERROR(cudaHostAlloc((void **)&pt, ct_file_size, cudaHostAllocDefault));
169 #else
170     pt = (uint *) malloc(ct_file_size);
171 #endif
172
173 #ifndef ASYNC
174     AES_Dec(ct, pt, rk, nk, ct_file_size, threads_per_block, BLOCOS, STREAMS);
175 #else
176     AES_Dec(ct, pt, rk, nk, ct_file_size, threads_per_block);
177 #endif
178
179
180 char * ptb = (char *) pt;
181 char pad = ptb[ct_file_size - 1];
182
183 if (fwrite(pt, 1, ct_file_size - pad, pt_file) < (ct_file_size - pad)) {
184     fclose(pt_file);
185     fprintf(stderr, "PLAINTEXT_FILE WRITING ERROR [%s]", pt_file_name);
186     return EXIT_FAILURE;
187 }
188
189 fclose(pt_file);
190
191 if (ek != NULL) {
192     free(ek);
193     ek = NULL;
194 }
195
196 #ifndef PINNED
197 if (rk != NULL) {
198     HANDLE_ERROR(cudaFreeHost(rk));
199     rk = NULL;
200 }
201
202 if (pt != NULL) {
203     HANDLE_ERROR(cudaFreeHost(pt));

```

```

204     pt = NULL;
205 }
206
207 if (ct != NULL) {
208     HANDLE_ERROR(cudaFreeHost(ct));
209     ct = NULL;
210 }
211
212 #else
213 if (rk != NULL) {
214     free(rk);
215     rk = NULL;
216 }
217
218 if (pt != NULL) {
219     free(pt);
220     pt = NULL;
221 }
222
223 if (ct != NULL) {
224     free(ct);
225     ct = NULL;
226 }
227 #endif
228
229 return 0;
230 }

```

II.3 REFERENCE

Código fonte II.13: reference/aes.c

```

1 void AES_EncKey128(const uint * ck, uint * rk)
2 {
3     uint i = 0;
4     uint temp;
5
6     rk[0] = ck[0];
7     rk[1] = ck[1];
8     rk[2] = ck[2];
9     rk[3] = ck[3];
10
11     for (;;) {
12         temp = rk[3];
13         rk[4] = rk[0] ^
14             (Te4[(temp >> 16) & 0xff] & 0xff000000) ^
15             (Te4[(temp >> 8) & 0xff] & 0x00ff0000) ^
16             (Te4[(temp) & 0xff] & 0x0000ff00) ^
17             (Te4[(temp >> 24)] & 0x000000ff) ^ rcon[i];
18         rk[5] = rk[1] ^ rk[4];
19         rk[6] = rk[2] ^ rk[5];
20         rk[7] = rk[3] ^ rk[6];
21         if (++i == 10)
22             return;
23         rk += 4;
24     }
25

```

```

26 }
27 void AES_Enc128(uint * pt, uint * ct, uint * rek)
28 {
29     uint s0, s1, s2, s3, t0, t1, t2, t3;
30
31     s0 = pt[0] ^ rek[0];
32     s1 = pt[1] ^ rek[1];
33     s2 = pt[2] ^ rek[2];
34     s3 = pt[3] ^ rek[3];
35     uint r = 5;
36     for (;;) {
37         t0 = Te0[(s0 >> 24)] ^
38             Tel[(s1 >> 16) & 0xff] ^
39             Te2[(s2 >> 8) & 0xff] ^ Te3[(s3) & 0xff] ^ rek[4];
40         t1 = Te0[(s1 >> 24)] ^
41             Tel[(s2 >> 16) & 0xff] ^
42             Te2[(s3 >> 8) & 0xff] ^ Te3[(s0) & 0xff] ^ rek[5];
43         t2 = Te0[(s2 >> 24)] ^
44             Tel[(s3 >> 16) & 0xff] ^
45             Te2[(s0 >> 8) & 0xff] ^ Te3[(s1) & 0xff] ^ rek[6];
46         t3 = Te0[(s3 >> 24)] ^
47             Tel[(s0 >> 16) & 0xff] ^
48             Te2[(s1 >> 8) & 0xff] ^ Te3[(s2) & 0xff] ^ rek[7];
49         rek += 8;
50         if (--r == 0) {
51             break;
52         }
53         s0 = Te0[(t0 >> 24)] ^
54             Tel[(t1 >> 16) & 0xff] ^
55             Te2[(t2 >> 8) & 0xff] ^ Te3[(t3) & 0xff] ^ rek[0];
56         s1 = Te0[(t1 >> 24)] ^
57             Tel[(t2 >> 16) & 0xff] ^
58             Te2[(t3 >> 8) & 0xff] ^ Te3[(t0) & 0xff] ^ rek[1];
59         s2 = Te0[(t2 >> 24)] ^
60             Tel[(t3 >> 16) & 0xff] ^
61             Te2[(t0 >> 8) & 0xff] ^ Te3[(t1) & 0xff] ^ rek[2];
62         s3 = Te0[(t3 >> 24)] ^
63             Tel[(t0 >> 16) & 0xff] ^
64             Te2[(t1 >> 8) & 0xff] ^ Te3[(t2) & 0xff] ^ rek[3];
65     }
66
67     ct[0] =
68         (Te4[(t0 >> 24)] & 0xff000000) ^
69         (Te4[(t1 >> 16) & 0xff] & 0x00ff0000) ^
70         (Te4[(t2 >> 8) & 0xff] & 0x0000ff00) ^
71         (Te4[(t3) & 0xff] & 0x000000ff) ^ rek[0];
72     ct[1] =
73         (Te4[(t1 >> 24)] & 0xff000000) ^
74         (Te4[(t2 >> 16) & 0xff] & 0x00ff0000) ^
75         (Te4[(t3 >> 8) & 0xff] & 0x0000ff00) ^
76         (Te4[(t0) & 0xff] & 0x000000ff) ^ rek[1];
77     ct[2] =
78         (Te4[(t2 >> 24)] & 0xff000000) ^
79         (Te4[(t3 >> 16) & 0xff] & 0x00ff0000) ^
80         (Te4[(t0 >> 8) & 0xff] & 0x0000ff00) ^
81         (Te4[(t1) & 0xff] & 0x000000ff) ^ rek[2];
82     ct[3] =
83         (Te4[(t3 >> 24)] & 0xff000000) ^
84         (Te4[(t0 >> 16) & 0xff] & 0x00ff0000) ^
85         (Te4[(t1 >> 8) & 0xff] & 0x0000ff00) ^

```

```

86     (Te4[(t2) & 0xff] & 0x000000ff) ^ rek[3];
87
88     return;
89 }
90 void AES_EncKey(const uint * ck, uint * rk, uint nk)
91 {
92     switch (nk) {
93     case 4:
94         AES_EncKey128(ck, rk);
95         break;
96     case 6:
97         AES_EncKey192(ck, rk);
98         break;
99     case 8:
100        AES_EncKey256(ck, rk);
101        break;
102    default:
103        return;
104    }
105 }
106 void AES_Enc(uint * pt, uint * ct, uint * rk, uint nk, uint pt_size)
107 {
108     uint i;
109     switch (nk) {
110     case 4:
111         for (i=0; i<pt_size/16; i++) AES_Enc128(pt+4*i, ct+4*i, rk);
112         break;
113     case 6:
114         for (i=0; i<pt_size/16; i++) AES_Enc192(pt+4*i, ct+4*i, rk);
115         break;
116     case 8:
117         for (i=0; i<pt_size/16; i++) AES_Enc256(pt+4*i, ct+4*i, rk);
118         break;
119     default:
120         return;
121     }
122 }

```

II.4 REFERENCE_UNROLL

Código fonte II.14: reference_unroll/aes.c

```

1 void AES_EncKey128(const uint * ck, uint * rk)
2 {
3
4     rk[0] = ck[0];
5     rk[1] = ck[1];
6     rk[2] = ck[2];
7     rk[3] = ck[3];
8
9     rk[4] = rk[0] ^
10    (Te4[(rk[3] >> 16) & 0xff] & 0xff000000) ^
11    (Te4[(rk[3] >> 8) & 0xff] & 0x00ff0000) ^
12    (Te4[(rk[3]) & 0xff] & 0x0000ff00) ^
13    (Te4[(rk[3] >> 24) & 0x000000ff] ^ rcon[0];
14
15    rk[5] = rk[1] ^ rk[4];

```



```

16 rk[6] = rk[2] ^ rk[5];
17 rk[7] = rk[3] ^ rk[6];
18 rk[8] = rk[4] ^
19     (Te4[(rk[7] >> 16) & 0xff] & 0xff000000) ^
20     (Te4[(rk[7] >> 8) & 0xff] & 0x00ff0000) ^
21     (Te4[(rk[7]) & 0xff] & 0x0000ff00) ^
22     (Te4[(rk[7] >> 24)] & 0x000000ff) ^ rcon[1];
23
24 rk[9] = rk[5] ^ rk[8];
25 rk[10] = rk[6] ^ rk[9];
26 rk[11] = rk[7] ^ rk[10];
27 rk[12] = rk[8] ^
28     (Te4[(rk[11] >> 16) & 0xff] & 0xff000000) ^
29     (Te4[(rk[11] >> 8) & 0xff] & 0x00ff0000) ^
30     (Te4[(rk[11]) & 0xff] & 0x0000ff00) ^
31     (Te4[(rk[11] >> 24)] & 0x000000ff) ^ rcon[2];
32
33 rk[13] = rk[9] ^ rk[12];
34 rk[14] = rk[10] ^ rk[13];
35 rk[15] = rk[11] ^ rk[14];
36 rk[16] = rk[12] ^
37     (Te4[(rk[15] >> 16) & 0xff] & 0xff000000) ^
38     (Te4[(rk[15] >> 8) & 0xff] & 0x00ff0000) ^
39     (Te4[(rk[15]) & 0xff] & 0x0000ff00) ^
40     (Te4[(rk[15] >> 24)] & 0x000000ff) ^ rcon[3];
41
42 rk[17] = rk[13] ^ rk[16];
43 rk[18] = rk[14] ^ rk[17];
44 rk[19] = rk[15] ^ rk[18];
45 rk[20] = rk[16] ^
46     (Te4[(rk[19] >> 16) & 0xff] & 0xff000000) ^
47     (Te4[(rk[19] >> 8) & 0xff] & 0x00ff0000) ^
48     (Te4[(rk[19]) & 0xff] & 0x0000ff00) ^
49     (Te4[(rk[19] >> 24)] & 0x000000ff) ^ rcon[4];
50
51 rk[21] = rk[17] ^ rk[20];
52 rk[22] = rk[18] ^ rk[21];
53 rk[23] = rk[19] ^ rk[22];
54 rk[24] = rk[20] ^
55     (Te4[(rk[23] >> 16) & 0xff] & 0xff000000) ^
56     (Te4[(rk[23] >> 8) & 0xff] & 0x00ff0000) ^
57     (Te4[(rk[23]) & 0xff] & 0x0000ff00) ^
58     (Te4[(rk[23] >> 24)] & 0x000000ff) ^ rcon[5];
59
60 rk[25] = rk[21] ^ rk[24];
61 rk[26] = rk[22] ^ rk[25];
62 rk[27] = rk[23] ^ rk[26];
63 rk[28] = rk[24] ^
64     (Te4[(rk[27] >> 16) & 0xff] & 0xff000000) ^
65     (Te4[(rk[27] >> 8) & 0xff] & 0x00ff0000) ^
66     (Te4[(rk[27]) & 0xff] & 0x0000ff00) ^
67     (Te4[(rk[27] >> 24)] & 0x000000ff) ^ rcon[6];
68
69 rk[29] = rk[25] ^ rk[28];
70 rk[30] = rk[26] ^ rk[29];
71 rk[31] = rk[27] ^ rk[30];
72 rk[32] = rk[28] ^
73     (Te4[(rk[31] >> 16) & 0xff] & 0xff000000) ^
74     (Te4[(rk[31] >> 8) & 0xff] & 0x00ff0000) ^
75     (Te4[(rk[31]) & 0xff] & 0x0000ff00) ^

```

```

76     (Te4[(rk[31] >> 24)] & 0x000000ff) ^ rcon[7];
77
78     rk[33] = rk[29] ^ rk[32];
79     rk[34] = rk[30] ^ rk[33];
80     rk[35] = rk[31] ^ rk[34];
81     rk[36] = rk[32] ^
82         (Te4[(rk[35] >> 16) & 0xff] & 0xff000000) ^
83         (Te4[(rk[35] >> 8) & 0xff] & 0x00ff0000) ^
84         (Te4[(rk[35]) & 0xff] & 0x0000ff00) ^
85         (Te4[(rk[35] >> 24)] & 0x000000ff) ^ rcon[8];
86
87     rk[37] = rk[33] ^ rk[36];
88     rk[38] = rk[34] ^ rk[37];
89     rk[39] = rk[35] ^ rk[38];
90     rk[40] = rk[36] ^
91         (Te4[(rk[39] >> 16) & 0xff] & 0xff000000) ^
92         (Te4[(rk[39] >> 8) & 0xff] & 0x00ff0000) ^
93         (Te4[(rk[39]) & 0xff] & 0x0000ff00) ^
94         (Te4[(rk[39] >> 24)] & 0x000000ff) ^ rcon[9];
95
96     rk[41] = rk[37] ^ rk[40];
97     rk[42] = rk[38] ^ rk[41];
98     rk[43] = rk[39] ^ rk[42];
99
100    return;
101 }
102 void AES_Enc128(uint * pt, uint * ct, uint * rek)
103 {
104     uint s0, s1, s2, s3, t0, t1, t2, t3;
105
106     s0 = pt[0] ^ rek[0];
107     s1 = pt[1] ^ rek[1];
108     s2 = pt[2] ^ rek[2];
109     s3 = pt[3] ^ rek[3];
110
111     /* round 1: */
112     t0 = Te0[s0 >> 24] ^ Te1[(s1 >> 16) & 0xff] ^ Te2[(s2 >> 8) & 0xff] ^
113         Te3[s3 & 0xff] ^ rek[4];
114     t1 = Te0[s1 >> 24] ^ Te1[(s2 >> 16) & 0xff] ^ Te2[(s3 >> 8) & 0xff] ^
115         Te3[s0 & 0xff] ^ rek[5];
116     t2 = Te0[s2 >> 24] ^ Te1[(s3 >> 16) & 0xff] ^ Te2[(s0 >> 8) & 0xff] ^
117         Te3[s1 & 0xff] ^ rek[6];
118     t3 = Te0[s3 >> 24] ^ Te1[(s0 >> 16) & 0xff] ^ Te2[(s1 >> 8) & 0xff] ^
119         Te3[s2 & 0xff] ^ rek[7];
120
121     /* round 2: */
122     s0 = Te0[t0 >> 24] ^ Te1[(t1 >> 16) & 0xff] ^ Te2[(t2 >> 8) & 0xff] ^
123         Te3[t3 & 0xff] ^ rek[8];
124     s1 = Te0[t1 >> 24] ^ Te1[(t2 >> 16) & 0xff] ^ Te2[(t3 >> 8) & 0xff] ^
125         Te3[t0 & 0xff] ^ rek[9];
126     s2 = Te0[t2 >> 24] ^ Te1[(t3 >> 16) & 0xff] ^ Te2[(t0 >> 8) & 0xff] ^
127         Te3[t1 & 0xff] ^ rek[10];
128     s3 = Te0[t3 >> 24] ^ Te1[(t0 >> 16) & 0xff] ^ Te2[(t1 >> 8) & 0xff] ^
129         Te3[t2 & 0xff] ^ rek[11];
130
131     /* round 3: */
132     t0 = Te0[s0 >> 24] ^ Te1[(s1 >> 16) & 0xff] ^ Te2[(s2 >> 8) & 0xff] ^
133         Te3[s3 & 0xff] ^ rek[12];
134     t1 = Te0[s1 >> 24] ^ Te1[(s2 >> 16) & 0xff] ^ Te2[(s3 >> 8) & 0xff] ^
135         Te3[s0 & 0xff] ^ rek[13];

```

```

136 t2 = Te0[s2 >> 24] ^ Tel[(s3 >> 16) & 0xff] ^ Te2[(s0 >> 8) & 0xff] ^
137     Te3[s1 & 0xff] ^ rek[14];
138 t3 = Te0[s3 >> 24] ^ Tel[(s0 >> 16) & 0xff] ^ Te2[(s1 >> 8) & 0xff] ^
139     Te3[s2 & 0xff] ^ rek[15];
140
141 /* round 4: */
142 s0 = Te0[t0 >> 24] ^ Tel[(t1 >> 16) & 0xff] ^ Te2[(t2 >> 8) & 0xff] ^
143     Te3[t3 & 0xff] ^ rek[16];
144 s1 = Te0[t1 >> 24] ^ Tel[(t2 >> 16) & 0xff] ^ Te2[(t3 >> 8) & 0xff] ^
145     Te3[t0 & 0xff] ^ rek[17];
146 s2 = Te0[t2 >> 24] ^ Tel[(t3 >> 16) & 0xff] ^ Te2[(t0 >> 8) & 0xff] ^
147     Te3[t1 & 0xff] ^ rek[18];
148 s3 = Te0[t3 >> 24] ^ Tel[(t0 >> 16) & 0xff] ^ Te2[(t1 >> 8) & 0xff] ^
149     Te3[t2 & 0xff] ^ rek[19];
150
151 /* round 5: */
152 t0 = Te0[s0 >> 24] ^ Tel[(s1 >> 16) & 0xff] ^ Te2[(s2 >> 8) & 0xff] ^
153     Te3[s3 & 0xff] ^ rek[20];
154 t1 = Te0[s1 >> 24] ^ Tel[(s2 >> 16) & 0xff] ^ Te2[(s3 >> 8) & 0xff] ^
155     Te3[s0 & 0xff] ^ rek[21];
156 t2 = Te0[s2 >> 24] ^ Tel[(s3 >> 16) & 0xff] ^ Te2[(s0 >> 8) & 0xff] ^
157     Te3[s1 & 0xff] ^ rek[22];
158 t3 = Te0[s3 >> 24] ^ Tel[(s0 >> 16) & 0xff] ^ Te2[(s1 >> 8) & 0xff] ^
159     Te3[s2 & 0xff] ^ rek[23];
160
161 /* round 6: */
162 s0 = Te0[t0 >> 24] ^ Tel[(t1 >> 16) & 0xff] ^ Te2[(t2 >> 8) & 0xff] ^
163     Te3[t3 & 0xff] ^ rek[24];
164 s1 = Te0[t1 >> 24] ^ Tel[(t2 >> 16) & 0xff] ^ Te2[(t3 >> 8) & 0xff] ^
165     Te3[t0 & 0xff] ^ rek[25];
166 s2 = Te0[t2 >> 24] ^ Tel[(t3 >> 16) & 0xff] ^ Te2[(t0 >> 8) & 0xff] ^
167     Te3[t1 & 0xff] ^ rek[26];
168 s3 = Te0[t3 >> 24] ^ Tel[(t0 >> 16) & 0xff] ^ Te2[(t1 >> 8) & 0xff] ^
169     Te3[t2 & 0xff] ^ rek[27];
170
171 /* round 7: */
172 t0 = Te0[s0 >> 24] ^ Tel[(s1 >> 16) & 0xff] ^ Te2[(s2 >> 8) & 0xff] ^
173     Te3[s3 & 0xff] ^ rek[28];
174 t1 = Te0[s1 >> 24] ^ Tel[(s2 >> 16) & 0xff] ^ Te2[(s3 >> 8) & 0xff] ^
175     Te3[s0 & 0xff] ^ rek[29];
176 t2 = Te0[s2 >> 24] ^ Tel[(s3 >> 16) & 0xff] ^ Te2[(s0 >> 8) & 0xff] ^
177     Te3[s1 & 0xff] ^ rek[30];
178 t3 = Te0[s3 >> 24] ^ Tel[(s0 >> 16) & 0xff] ^ Te2[(s1 >> 8) & 0xff] ^
179     Te3[s2 & 0xff] ^ rek[31];
180
181 /* round 8: */
182 s0 = Te0[t0 >> 24] ^ Tel[(t1 >> 16) & 0xff] ^ Te2[(t2 >> 8) & 0xff] ^
183     Te3[t3 & 0xff] ^ rek[32];
184 s1 = Te0[t1 >> 24] ^ Tel[(t2 >> 16) & 0xff] ^ Te2[(t3 >> 8) & 0xff] ^
185     Te3[t0 & 0xff] ^ rek[33];
186 s2 = Te0[t2 >> 24] ^ Tel[(t3 >> 16) & 0xff] ^ Te2[(t0 >> 8) & 0xff] ^
187     Te3[t1 & 0xff] ^ rek[34];
188 s3 = Te0[t3 >> 24] ^ Tel[(t0 >> 16) & 0xff] ^ Te2[(t1 >> 8) & 0xff] ^
189     Te3[t2 & 0xff] ^ rek[35];
190
191 /* round 9: */
192 t0 = Te0[s0 >> 24] ^ Tel[(s1 >> 16) & 0xff] ^ Te2[(s2 >> 8) & 0xff] ^
193     Te3[s3 & 0xff] ^ rek[36];
194 t1 = Te0[s1 >> 24] ^ Tel[(s2 >> 16) & 0xff] ^ Te2[(s3 >> 8) & 0xff] ^
195     Te3[s0 & 0xff] ^ rek[37];

```

```

196 t2 = Te0[s2 >> 24] ^ Te1[(s3 >> 16) & 0xff] ^ Te2[(s0 >> 8) & 0xff] ^
197     Te3[s1 & 0xff] ^ rek[38];
198 t3 = Te0[s3 >> 24] ^ Te1[(s0 >> 16) & 0xff] ^ Te2[(s1 >> 8) & 0xff] ^
199     Te3[s2 & 0xff] ^ rek[39];
200
201 ct[0] =
202     (Te4[(t0 >> 24)] & 0xff000000) ^
203     (Te4[(t1 >> 16) & 0xff] & 0x00ff0000) ^
204     (Te4[(t2 >> 8) & 0xff] & 0x0000ff00) ^
205     (Te4[(t3) & 0xff] & 0x000000ff) ^ rek[40];
206 ct[1] =
207     (Te4[(t1 >> 24)] & 0xff000000) ^
208     (Te4[(t2 >> 16) & 0xff] & 0x00ff0000) ^
209     (Te4[(t3 >> 8) & 0xff] & 0x0000ff00) ^
210     (Te4[(t0) & 0xff] & 0x000000ff) ^ rek[41];
211 ct[2] =
212     (Te4[(t2 >> 24)] & 0xff000000) ^
213     (Te4[(t3 >> 16) & 0xff] & 0x00ff0000) ^
214     (Te4[(t0 >> 8) & 0xff] & 0x0000ff00) ^
215     (Te4[(t1) & 0xff] & 0x000000ff) ^ rek[42];
216 ct[3] =
217     (Te4[(t3 >> 24)] & 0xff000000) ^
218     (Te4[(t0 >> 16) & 0xff] & 0x00ff0000) ^
219     (Te4[(t1 >> 8) & 0xff] & 0x0000ff00) ^
220     (Te4[(t2) & 0xff] & 0x000000ff) ^ rek[43];
221
222 return;
223 }

```

II.5 cuda_aes_nn_global_roll

Código fonte II.15: cuda_aes_nn_global_roll/aes.cu

```

1  __global__ void AES_Enc128(uint * pt, uint * ct, uint * rek, uint N) {
2
3      uint tid = blockIdx.y * gridDim.x * blockDim.x + blockIdx.x * blockDim.x
4          + threadIdx.x;
5
6      if (tid > (N - 1))
7          return;
8
9      uint s0, s1, s2, s3, t0, t1, t2, t3;
10     s0 = pt[4 * tid] ^ rek[0];
11     s1 = pt[4 * tid + 1] ^ rek[1];
12     s2 = pt[4 * tid + 2] ^ rek[2];
13     s3 = pt[4 * tid + 3] ^ rek[3];
14
15     uint r = 5;
16     for (;) {
17         t0 = d_Te0[(s0 >> 24)] ^ d_Te1[(s1 >> 16) & 0xff]
18             ^ d_Te2[(s2 >> 8) & 0xff] ^ d_Te3[(s3) & 0xff] ^ rek[4];
19         t1 = d_Te0[(s1 >> 24)] ^ d_Te1[(s2 >> 16) & 0xff]
20             ^ d_Te2[(s3 >> 8) & 0xff] ^ d_Te3[(s0) & 0xff] ^ rek[5];
21         t2 = d_Te0[(s2 >> 24)] ^ d_Te1[(s3 >> 16) & 0xff]
22             ^ d_Te2[(s0 >> 8) & 0xff] ^ d_Te3[(s1) & 0xff] ^ rek[6];
23         t3 = d_Te0[(s3 >> 24)] ^ d_Te1[(s0 >> 16) & 0xff]
24             ^ d_Te2[(s1 >> 8) & 0xff] ^ d_Te3[(s2) & 0xff] ^ rek[7];

```

```

25     rek += 8;
26     if (--r == 0) {
27         break;
28     }
29     s0 = d_Te0[(t0 >> 24)] ^ d_Te1[(t1 >> 16) & 0xff]
30         ^ d_Te2[(t2 >> 8) & 0xff] ^ d_Te3[(t3) & 0xff] ^ rek[0];
31     s1 = d_Te0[(t1 >> 24)] ^ d_Te1[(t2 >> 16) & 0xff]
32         ^ d_Te2[(t3 >> 8) & 0xff] ^ d_Te3[(t0) & 0xff] ^ rek[1];
33     s2 = d_Te0[(t2 >> 24)] ^ d_Te1[(t3 >> 16) & 0xff]
34         ^ d_Te2[(t0 >> 8) & 0xff] ^ d_Te3[(t1) & 0xff] ^ rek[2];
35     s3 = d_Te0[(t3 >> 24)] ^ d_Te1[(t0 >> 16) & 0xff]
36         ^ d_Te2[(t1 >> 8) & 0xff] ^ d_Te3[(t2) & 0xff] ^ rek[3];
37 }
38
39 ct[4 * tid] = (d_Te4[(t0 >> 24)] & 0xff000000)
40     ^ (d_Te4[(t1 >> 16) & 0xff] & 0x00ff0000)
41     ^ (d_Te4[(t2 >> 8) & 0xff] & 0x0000ff00)
42     ^ (d_Te4[(t3) & 0xff] & 0x000000ff) ^ rek[0];
43 ct[4 * tid + 1] = (d_Te4[(t1 >> 24)] & 0xff000000)
44     ^ (d_Te4[(t2 >> 16) & 0xff] & 0x00ff0000)
45     ^ (d_Te4[(t3 >> 8) & 0xff] & 0x0000ff00)
46     ^ (d_Te4[(t0) & 0xff] & 0x000000ff) ^ rek[1];
47 ct[4 * tid + 2] = (d_Te4[(t2 >> 24)] & 0xff000000)
48     ^ (d_Te4[(t3 >> 16) & 0xff] & 0x00ff0000)
49     ^ (d_Te4[(t0 >> 8) & 0xff] & 0x0000ff00)
50     ^ (d_Te4[(t1) & 0xff] & 0x000000ff) ^ rek[2];
51 ct[4 * tid + 3] = (d_Te4[(t3 >> 24)] & 0xff000000)
52     ^ (d_Te4[(t0 >> 16) & 0xff] & 0x00ff0000)
53     ^ (d_Te4[(t1 >> 8) & 0xff] & 0x0000ff00)
54     ^ (d_Te4[(t2) & 0xff] & 0x000000ff) ^ rek[3];
55
56 return;
57 }
58
59 void AES_Enc(uint * pt, uint * ct, uint * rk, uint nk, uint pt_size,
60             uint threads_per_block) {
61 #ifdef TEMPO
62     cudaEvent_t tstart, tstop;
63     HANDLE_ERROR(cudaEventCreate(&tstart));
64     HANDLE_ERROR(cudaEventCreate(&tstop));
65
66     cudaEvent_t cstart, cstop;
67     HANDLE_ERROR(cudaEventCreate(&cstart));
68     HANDLE_ERROR(cudaEventCreate(&cstop));
69
70     cudaEvent_t start, stop;
71     HANDLE_ERROR(cudaEventCreate(&start));
72     HANDLE_ERROR(cudaEventCreate(&stop));
73
74     float elapsedTime;
75 #endif
76
77     uint *d_pt, *d_ct, *d_rk;
78
79     uint N = pt_size / 16;
80     uint nr = NR(nk);
81     uint nkx = 4 * (nr + 1);
82     uint nkxb = nkx * sizeof(uint);
83
84     cudaDeviceProp prop;

```

```

85 HANDLE_ERROR( cudaGetDeviceProperties( &prop,0));
86
87 if (threads_per_block > prop.maxThreadsPerBlock)
88     threads_per_block = prop.maxThreadsPerBlock;
89
90 uint blocks = (uint) N / threads_per_block;
91
92 if (N % threads_per_block != 0)
93     blocks++;
94 uint blocks1 = blocks;
95 uint blocks2 = 1;
96
97 // Blocks transformado em bidimensional se ultrapassar maximo
98 uint maxgridsize = prop.maxGridSize[0];
99 if (blocks > maxgridsize) {
100     uint max = (uint) sqrt(blocks);
101     blocks1 = blocks;
102     blocks2 = 1;
103     uint i = 0;
104     // procura divisores de blocks
105     while (primo[i] <= max) {
106         if (blocks1 % primo[i] == 0) {
107             blocks1 = blocks1 / primo[i];
108             blocks2 = blocks2 * primo[i];
109             if (blocks1 > maxgridsize)
110                 continue;
111             break;
112         }
113         i++;
114     }
115     //se nao encontrar divisores tentar minimizar blocks1 e blocks2
116     if ((blocks1 > maxgridsize) || (blocks2 > maxgridsize)) {
117         blocks1 = max;
118         blocks2 = max;
119         while (blocks1 * blocks2 * threads_per_block < N)
120             blocks2++;
121     }
122 }
123 dim3 BLOCKS(blocks1, blocks2, 1);
124
125 #ifndef TEMPO
126 HANDLE_ERROR(cudaEventRecord(tstart, 0));
127 #endif
128 HANDLE_ERROR(cudaMalloc((void **)&d_pt, pt_size));
129 HANDLE_ERROR(cudaMalloc((void **)&d_ct, pt_size));
130 HANDLE_ERROR(cudaMalloc((void **)&d_rk, nkxb));
131
132 #ifndef TEMPO
133 HANDLE_ERROR(cudaEventRecord(cstart, 0));
134 #endif
135 HANDLE_ERROR(cudaMemcpy(d_pt, pt, pt_size, cudaMemcpyHostToDevice));
136 HANDLE_ERROR(cudaMemcpy(d_rk, rk, nkxb, cudaMemcpyHostToDevice));
137
138 #ifndef TEMPO
139 HANDLE_ERROR(cudaEventRecord(start, 0));
140 #endif
141 switch (nk) {
142 case 4:
143     AES_Enc128 <<< BLOCKS, threads_per_block >>> (d_pt, d_ct, d_rk,N);
144     break;

```

```

145     case 6:
146         AES_Enc192 <<< BLOCKS, threads_per_block >>> (d_pt, d_ct, d_rk,N);
147         break;
148     case 8:
149         AES_Enc256 <<< BLOCKS, threads_per_block >>> (d_pt, d_ct, d_rk,N);
150         break;
151     default:
152         return;
153     }
154 #ifdef TEMPO
155     HANDLE_ERROR(cudaEventRecord(stop, 0));
156 #endif
157
158     HANDLE_ERROR(cudaMemcpy(ct, d_ct, pt_size, cudaMemcpyDeviceToHost));
159
160 #ifdef TEMPO
161     HANDLE_ERROR(cudaEventRecord(cstop, 0));
162 #endif
163
164     HANDLE_ERROR(cudaFree(d_pt));
165     HANDLE_ERROR(cudaFree(d_ct));
166     HANDLE_ERROR(cudaFree(d_rk));
167
168 #ifdef TEMPO
169     HANDLE_ERROR(cudaEventRecord(tstop, 0));
170     HANDLE_ERROR(cudaEventSynchronize(tstop));
171
172     HANDLE_ERROR(cudaEventElapsedTime(&elapsedTime, start, stop));
173     fprintf(stderr, "time(enc_cuda_%d):\t\t%12.6f ms\t%4d threads\t%u bytes\n",
174             (4 * nk * 8), elapsedTime, threads_per_block, pt_size);
175
176     HANDLE_ERROR(cudaEventElapsedTime(&elapsedTime, cstart, cstop));
177     fprintf(stderr, "time(enc_cuda_cp_%d):\t\t%12.6f ms\t%4d threads\t%u bytes\n",
178             (4 * nk * 8), elapsedTime, threads_per_block, pt_size);
179
180     HANDLE_ERROR(cudaEventElapsedTime(&elapsedTime, tstart, tstop));
181     fprintf(stderr, "time(enc_cuda_tt_%d):\t\t%12.6f ms\t%4d threads\t%u bytes\n",
182             (4 * nk * 8), elapsedTime, threads_per_block, pt_size);
183
184     HANDLE_ERROR(cudaEventDestroy(start));
185     HANDLE_ERROR(cudaEventDestroy(stop));
186
187     HANDLE_ERROR(cudaEventDestroy(cstart));
188     HANDLE_ERROR(cudaEventDestroy(cstop));
189
190     HANDLE_ERROR(cudaEventDestroy(tstart));
191     HANDLE_ERROR(cudaEventDestroy(tstop));
192 #endif
193 }
194
195 void AES_Enc_Async(uint * pt, uint * ct, uint * rk, uint nk, uint pt_size,
196                  uint threads_per_block, uint BLOCOS, uint STREAMS) {
197 #ifdef TEMPO
198     cudaEvent_t tstart, tstop;
199     HANDLE_ERROR(cudaEventCreate(&tstart));
200     HANDLE_ERROR(cudaEventCreate(&tstop));
201
202     float elapsedTime;
203 #endif
204

```

```

205  uint nb = 4;
206  uint nbb = nb * sizeof(uint);
207
208  uint N = pt_size / nbb;
209  uint nr = NR(nk);
210  uint nkx = 4 * (nr + 1);
211  uint nkxb = nkx * sizeof(uint);
212
213  cudaDeviceProp prop;
214  HANDLE_ERROR( cudaGetDeviceProperties( &prop, 0 ));
215
216  if (!prop.deviceOverlap) {
217      printf("Overlap nao disponivel. Nao e possivel rodar ASYNC\n");
218      return;
219  }
220
221  uint NN;
222  NN = BLOCOS * threads_per_block;
223
224  uint NS[STREAMS];
225  cudaStream_t stream[STREAMS];
226
227  int M = N;
228  uint *d_pt, *d_ct, *d_rk;
229
230  int i, j;
231  #ifdef TEMPO
232      HANDLE_ERROR(cudaEventRecord(tstart, 0));
233  #endif
234  // criar streams
235  for (i = 0; i < STREAMS; i++) {
236      HANDLE_ERROR( cudaStreamCreate( &stream[i] ));
237  }
238
239  HANDLE_ERROR(cudaMalloc((void **)&d_pt, pt_size));
240  HANDLE_ERROR(cudaMalloc((void **)&d_ct, pt_size));
241  HANDLE_ERROR(cudaMalloc((void **)&d_rk, nkxb));
242  HANDLE_ERROR(cudaMemcpy(d_rk, rk, nkxb, cudaMemcpyHostToDevice));
243
244  i = 0;
245  while (M > 0) {
246      // determinar N para cada stream
247      for (j = 0; j < STREAMS; j++) {
248          if ((M / NN) >= 1) {
249              NS[j] = NN;
250          } else {
251              NS[j] = M % NN;
252          }
253          M -= NS[j];
254      }
255      // copiar async host to device para cada stream
256      for (j = 0; j < STREAMS; j++) {
257          if (NS[j] > 0) {
258              HANDLE_ERROR(
259                  cudaMemcpyAsync(d_pt+(i+j)*NN*nb, pt+(i+j)*NN*nb, NS[j]*nbb,
260                      cudaMemcpyHostToDevice, stream[j]));
261          }
262      }
263      // iniciar processamento para cada stream

```



```

264     switch (nk) {
265     case 4:
266         for (j = 0; j < STREAMS; j++) {
267             if (NS[j] > 0) {
268 AES_Enc128         <<< BLOCOS, threads_per_block, 0 , stream[j] >>> (d_pt+(i+j)*NN*nb,
                d_ct+(i+j)*NN*nb, d_rk, NS[j]);
269             }
270         }
271         break;
272     case 6:
273         for (j=0;j<STREAMS;j++) {
274             if (NS[j] > 0) {
275                 AES_Enc192<<< BLOCOS, threads_per_block, 0 , stream[j] >>> (d_pt+(i+j)*NN*nb,
                d_ct+(i+j)*NN*nb, d_rk, NS[j]);
276             }
277         }
278         break;
279     case 8:
280         for (j=0;j<STREAMS;j++) {
281             if (NS[j] > 0) {
282                 AES_Enc256<<< BLOCOS, threads_per_block, 0 , stream[j] >>> (d_pt+(i+j)*NN*nb,
                d_ct+(i+j)*NN*nb, d_rk, NS[j]);
283             }
284         }
285         break;
286     default:
287         return;
288     }
289     // copiar async device to host para cada stream
290     for (j = 0; j < STREAMS; j++) {
291         if (NS[j] > 0) {
292             HANDLE_ERROR(
293                 cudaMemcpyAsync(ct+(i+j)*NN*nb, d_ct+(i+j)*NN*nb, NS[j]*nbb,
                cudaMemcpyDeviceToHost, stream[j]));
294         }
295     }
296
297     i += STREAMS;
298 }
299
300 // sincronizar streams
301 for (j = 0; j < STREAMS; j++) {
302     HANDLE_ERROR( cudaStreamSynchronize( stream[j]));
303 }
304
305 HANDLE_ERROR(cudaFree(d_pt));
306 HANDLE_ERROR(cudaFree(d_ct));
307 HANDLE_ERROR(cudaFree(d_rk));
308
309 #ifndef TEMPO
310 HANDLE_ERROR(cudaEventRecord(tstop, 0));
311 HANDLE_ERROR(cudaEventSynchronize(tstop));
312
313 HANDLE_ERROR(cudaEventElapsedTime(&elapsedTime, tstart, tstop));
314 fprintf(stderr, "time(enc_cuda_tt_%d):\t%12.6f ms\t%4d threads\t%4d blocos\t%3d
                streams\t%u bytes\n",
315             (4 * nk * 8), elapsedTime, threads_per_block, BLOCOS, STREAMS, pt_size);
316
317 HANDLE_ERROR(cudaEventDestroy(tstart));
318 HANDLE_ERROR(cudaEventDestroy(tstop));

```

```

319 #endif
320 }

```

II.6 cuda_aes_nn_global_unroll

Código fonte II.16: cuda_aes_nn_global_unroll/aes.cu

```

1  __global__ void AES_Enc128(uint * pt, uint * ct, uint * d_rk, uint N) {
2
3      uint tid = blockIdx.y * gridDim.x * blockDim.x + blockIdx.x * blockDim.x
4          + threadIdx.x;
5
6      if (tid > (N - 1))
7          return;
8
9      uint s0, s1, s2, s3, t0, t1, t2, t3;
10
11     s0 = pt[4 * tid] ^ d_rk[0];
12     s1 = pt[4 * tid + 1] ^ d_rk[1];
13     s2 = pt[4 * tid + 2] ^ d_rk[2];
14     s3 = pt[4 * tid + 3] ^ d_rk[3];
15
16     /* round 1: */
17     t0 = d_Te0[s0 >> 24] ^ d_Te1[(s1 >> 16) & 0xff] ^ d_Te2[(s2 >> 8) & 0xff]
18         ^ d_Te3[s3 & 0xff] ^ d_rk[4];
19     t1 = d_Te0[s1 >> 24] ^ d_Te1[(s2 >> 16) & 0xff] ^ d_Te2[(s3 >> 8) & 0xff]
20         ^ d_Te3[s0 & 0xff] ^ d_rk[5];
21     t2 = d_Te0[s2 >> 24] ^ d_Te1[(s3 >> 16) & 0xff] ^ d_Te2[(s0 >> 8) & 0xff]
22         ^ d_Te3[s1 & 0xff] ^ d_rk[6];
23     t3 = d_Te0[s3 >> 24] ^ d_Te1[(s0 >> 16) & 0xff] ^ d_Te2[(s1 >> 8) & 0xff]
24         ^ d_Te3[s2 & 0xff] ^ d_rk[7];
25
26     /* round 2: */
27     s0 = d_Te0[t0 >> 24] ^ d_Te1[(t1 >> 16) & 0xff] ^ d_Te2[(t2 >> 8) & 0xff]
28         ^ d_Te3[t3 & 0xff] ^ d_rk[8];
29     s1 = d_Te0[t1 >> 24] ^ d_Te1[(t2 >> 16) & 0xff] ^ d_Te2[(t3 >> 8) & 0xff]
30         ^ d_Te3[t0 & 0xff] ^ d_rk[9];
31     s2 = d_Te0[t2 >> 24] ^ d_Te1[(t3 >> 16) & 0xff] ^ d_Te2[(t0 >> 8) & 0xff]
32         ^ d_Te3[t1 & 0xff] ^ d_rk[10];
33     s3 = d_Te0[t3 >> 24] ^ d_Te1[(t0 >> 16) & 0xff] ^ d_Te2[(t1 >> 8) & 0xff]
34         ^ d_Te3[t2 & 0xff] ^ d_rk[11];
35
36     /* round 3: */
37     t0 = d_Te0[s0 >> 24] ^ d_Te1[(s1 >> 16) & 0xff] ^ d_Te2[(s2 >> 8) & 0xff]
38         ^ d_Te3[s3 & 0xff] ^ d_rk[12];
39     t1 = d_Te0[s1 >> 24] ^ d_Te1[(s2 >> 16) & 0xff] ^ d_Te2[(s3 >> 8) & 0xff]
40         ^ d_Te3[s0 & 0xff] ^ d_rk[13];
41     t2 = d_Te0[s2 >> 24] ^ d_Te1[(s3 >> 16) & 0xff] ^ d_Te2[(s0 >> 8) & 0xff]
42         ^ d_Te3[s1 & 0xff] ^ d_rk[14];
43     t3 = d_Te0[s3 >> 24] ^ d_Te1[(s0 >> 16) & 0xff] ^ d_Te2[(s1 >> 8) & 0xff]
44         ^ d_Te3[s2 & 0xff] ^ d_rk[15];
45
46     /* round 4: */
47     s0 = d_Te0[t0 >> 24] ^ d_Te1[(t1 >> 16) & 0xff] ^ d_Te2[(t2 >> 8) & 0xff]
48         ^ d_Te3[t3 & 0xff] ^ d_rk[16];
49     s1 = d_Te0[t1 >> 24] ^ d_Te1[(t2 >> 16) & 0xff] ^ d_Te2[(t3 >> 8) & 0xff]
50         ^ d_Te3[t0 & 0xff] ^ d_rk[17];

```

```

51 s2 = d_Te0[t2 >> 24] ^ d_Te1[(t3 >> 16) & 0xff] ^ d_Te2[(t0 >> 8) & 0xff]
52   ^ d_Te3[t1 & 0xff] ^ d_rk[18];
53 s3 = d_Te0[t3 >> 24] ^ d_Te1[(t0 >> 16) & 0xff] ^ d_Te2[(t1 >> 8) & 0xff]
54   ^ d_Te3[t2 & 0xff] ^ d_rk[19];
55
56 /* round 5: */
57 t0 = d_Te0[s0 >> 24] ^ d_Te1[(s1 >> 16) & 0xff] ^ d_Te2[(s2 >> 8) & 0xff]
58   ^ d_Te3[s3 & 0xff] ^ d_rk[20];
59 t1 = d_Te0[s1 >> 24] ^ d_Te1[(s2 >> 16) & 0xff] ^ d_Te2[(s3 >> 8) & 0xff]
60   ^ d_Te3[s0 & 0xff] ^ d_rk[21];
61 t2 = d_Te0[s2 >> 24] ^ d_Te1[(s3 >> 16) & 0xff] ^ d_Te2[(s0 >> 8) & 0xff]
62   ^ d_Te3[s1 & 0xff] ^ d_rk[22];
63 t3 = d_Te0[s3 >> 24] ^ d_Te1[(s0 >> 16) & 0xff] ^ d_Te2[(s1 >> 8) & 0xff]
64   ^ d_Te3[s2 & 0xff] ^ d_rk[23];
65
66 /* round 6: */
67 s0 = d_Te0[t0 >> 24] ^ d_Te1[(t1 >> 16) & 0xff] ^ d_Te2[(t2 >> 8) & 0xff]
68   ^ d_Te3[t3 & 0xff] ^ d_rk[24];
69 s1 = d_Te0[t1 >> 24] ^ d_Te1[(t2 >> 16) & 0xff] ^ d_Te2[(t3 >> 8) & 0xff]
70   ^ d_Te3[t0 & 0xff] ^ d_rk[25];
71 s2 = d_Te0[t2 >> 24] ^ d_Te1[(t3 >> 16) & 0xff] ^ d_Te2[(t0 >> 8) & 0xff]
72   ^ d_Te3[t1 & 0xff] ^ d_rk[26];
73 s3 = d_Te0[t3 >> 24] ^ d_Te1[(t0 >> 16) & 0xff] ^ d_Te2[(t1 >> 8) & 0xff]
74   ^ d_Te3[t2 & 0xff] ^ d_rk[27];
75
76 /* round 7: */
77 t0 = d_Te0[s0 >> 24] ^ d_Te1[(s1 >> 16) & 0xff] ^ d_Te2[(s2 >> 8) & 0xff]
78   ^ d_Te3[s3 & 0xff] ^ d_rk[28];
79 t1 = d_Te0[s1 >> 24] ^ d_Te1[(s2 >> 16) & 0xff] ^ d_Te2[(s3 >> 8) & 0xff]
80   ^ d_Te3[s0 & 0xff] ^ d_rk[29];
81 t2 = d_Te0[s2 >> 24] ^ d_Te1[(s3 >> 16) & 0xff] ^ d_Te2[(s0 >> 8) & 0xff]
82   ^ d_Te3[s1 & 0xff] ^ d_rk[30];
83 t3 = d_Te0[s3 >> 24] ^ d_Te1[(s0 >> 16) & 0xff] ^ d_Te2[(s1 >> 8) & 0xff]
84   ^ d_Te3[s2 & 0xff] ^ d_rk[31];
85
86 /* round 8: */
87 s0 = d_Te0[t0 >> 24] ^ d_Te1[(t1 >> 16) & 0xff] ^ d_Te2[(t2 >> 8) & 0xff]
88   ^ d_Te3[t3 & 0xff] ^ d_rk[32];
89 s1 = d_Te0[t1 >> 24] ^ d_Te1[(t2 >> 16) & 0xff] ^ d_Te2[(t3 >> 8) & 0xff]
90   ^ d_Te3[t0 & 0xff] ^ d_rk[33];
91 s2 = d_Te0[t2 >> 24] ^ d_Te1[(t3 >> 16) & 0xff] ^ d_Te2[(t0 >> 8) & 0xff]
92   ^ d_Te3[t1 & 0xff] ^ d_rk[34];
93 s3 = d_Te0[t3 >> 24] ^ d_Te1[(t0 >> 16) & 0xff] ^ d_Te2[(t1 >> 8) & 0xff]
94   ^ d_Te3[t2 & 0xff] ^ d_rk[35];
95
96 /* round 9: */
97 t0 = d_Te0[s0 >> 24] ^ d_Te1[(s1 >> 16) & 0xff] ^ d_Te2[(s2 >> 8) & 0xff]
98   ^ d_Te3[s3 & 0xff] ^ d_rk[36];
99 t1 = d_Te0[s1 >> 24] ^ d_Te1[(s2 >> 16) & 0xff] ^ d_Te2[(s3 >> 8) & 0xff]
100   ^ d_Te3[s0 & 0xff] ^ d_rk[37];
101 t2 = d_Te0[s2 >> 24] ^ d_Te1[(s3 >> 16) & 0xff] ^ d_Te2[(s0 >> 8) & 0xff]
102   ^ d_Te3[s1 & 0xff] ^ d_rk[38];
103 t3 = d_Te0[s3 >> 24] ^ d_Te1[(s0 >> 16) & 0xff] ^ d_Te2[(s1 >> 8) & 0xff]
104   ^ d_Te3[s2 & 0xff] ^ d_rk[39];
105
106 ct[4 * tid] = (d_Te4[(t0 >> 24) & 0xff000000]
107   ^ (d_Te4[(t1 >> 16) & 0xff] & 0x00ff0000)
108   ^ (d_Te4[(t2 >> 8) & 0xff] & 0x0000ff00)
109   ^ (d_Te4[(t3) & 0xff] & 0x000000ff) ^ d_rk[40];
110 ct[4 * tid + 1] = (d_Te4[(t1 >> 24) & 0xff000000]

```

```

111     ^ (d_Te4[(t2 >> 16) & 0xff] & 0x00ff0000)
112     ^ (d_Te4[(t3 >> 8) & 0xff] & 0x0000ff00)
113     ^ (d_Te4[(t0) & 0xff] & 0x000000ff) ^ d_rk[41];
114 ct[4 * tid + 2] = (d_Te4[(t2 >> 24)] & 0xff000000)
115     ^ (d_Te4[(t3 >> 16) & 0xff] & 0x00ff0000)
116     ^ (d_Te4[(t0 >> 8) & 0xff] & 0x0000ff00)
117     ^ (d_Te4[(t1) & 0xff] & 0x000000ff) ^ d_rk[42];
118 ct[4 * tid + 3] = (d_Te4[(t3 >> 24)] & 0xff000000)
119     ^ (d_Te4[(t0 >> 16) & 0xff] & 0x00ff0000)
120     ^ (d_Te4[(t1 >> 8) & 0xff] & 0x0000ff00)
121     ^ (d_Te4[(t2) & 0xff] & 0x000000ff) ^ d_rk[43];
122
123 return;
124 }

```

II.7 cuda_aes_1b_nt_const_const

Código fonte II.17: cuda_aes_1b_nt_const_const/aes.cu

```

1  __constant__ __device__ uint d_rk[60];
2  __global__ void AES_Enc128(uint * pt, uint * ct, uint N) {
3
4      uint tid = blockIdx.x * blockDim.x + threadIdx.x;
5
6      uint s0, s1, s2, s3, t0, t1, t2, t3;
7
8      while (tid < N) {
9
10         s0 = pt[4 * tid] ^ d_rk[0];
11         s1 = pt[4 * tid + 1] ^ d_rk[1];
12         s2 = pt[4 * tid + 2] ^ d_rk[2];
13         s3 = pt[4 * tid + 3] ^ d_rk[3];
14
15         /* round 1: */
16         t0 = d_Te0[s0 >> 24] ^ d_Te1[(s1 >> 16) & 0xff]
17             ^ d_Te2[(s2 >> 8) & 0xff] ^ d_Te3[s3 & 0xff]
18             ^ d_rk[4];
19         t1 = d_Te0[s1 >> 24] ^ d_Te1[(s2 >> 16) & 0xff]
20             ^ d_Te2[(s3 >> 8) & 0xff] ^ d_Te3[s0 & 0xff]
21             ^ d_rk[5];
22         t2 = d_Te0[s2 >> 24] ^ d_Te1[(s3 >> 16) & 0xff]
23             ^ d_Te2[(s0 >> 8) & 0xff] ^ d_Te3[s1 & 0xff]
24             ^ d_rk[6];
25         t3 = d_Te0[s3 >> 24] ^ d_Te1[(s0 >> 16) & 0xff]
26             ^ d_Te2[(s1 >> 8) & 0xff] ^ d_Te3[s2 & 0xff]
27             ^ d_rk[7];
28
29         /* round 2: */
30         s0 = d_Te0[t0 >> 24] ^ d_Te1[(t1 >> 16) & 0xff]
31             ^ d_Te2[(t2 >> 8) & 0xff] ^ d_Te3[t3 & 0xff]
32             ^ d_rk[8];
33         s1 = d_Te0[t1 >> 24] ^ d_Te1[(t2 >> 16) & 0xff]
34             ^ d_Te2[(t3 >> 8) & 0xff] ^ d_Te3[t0 & 0xff]
35             ^ d_rk[9];
36         s2 = d_Te0[t2 >> 24] ^ d_Te1[(t3 >> 16) & 0xff]
37             ^ d_Te2[(t0 >> 8) & 0xff] ^ d_Te3[t1 & 0xff]
38             ^ d_rk[10];

```

```

39 s3 = d_Te0[t3 >> 24] ^ d_Tel[(t0 >> 16) & 0xff]
40     ^ d_Te2[(t1 >> 8) & 0xff] ^ d_Te3[t2 & 0xff]
41     ^ d_rk[11];
42
43 /* round 3: */
44 t0 = d_Te0[s0 >> 24] ^ d_Tel[(s1 >> 16) & 0xff]
45     ^ d_Te2[(s2 >> 8) & 0xff] ^ d_Te3[s3 & 0xff]
46     ^ d_rk[12];
47 t1 = d_Te0[s1 >> 24] ^ d_Tel[(s2 >> 16) & 0xff]
48     ^ d_Te2[(s3 >> 8) & 0xff] ^ d_Te3[s0 & 0xff]
49     ^ d_rk[13];
50 t2 = d_Te0[s2 >> 24] ^ d_Tel[(s3 >> 16) & 0xff]
51     ^ d_Te2[(s0 >> 8) & 0xff] ^ d_Te3[s1 & 0xff]
52     ^ d_rk[14];
53 t3 = d_Te0[s3 >> 24] ^ d_Tel[(s0 >> 16) & 0xff]
54     ^ d_Te2[(s1 >> 8) & 0xff] ^ d_Te3[s2 & 0xff]
55     ^ d_rk[15];
56
57 /* round 4: */
58 s0 = d_Te0[t0 >> 24] ^ d_Tel[(t1 >> 16) & 0xff]
59     ^ d_Te2[(t2 >> 8) & 0xff] ^ d_Te3[t3 & 0xff]
60     ^ d_rk[16];
61 s1 = d_Te0[t1 >> 24] ^ d_Tel[(t2 >> 16) & 0xff]
62     ^ d_Te2[(t3 >> 8) & 0xff] ^ d_Te3[t0 & 0xff]
63     ^ d_rk[17];
64 s2 = d_Te0[t2 >> 24] ^ d_Tel[(t3 >> 16) & 0xff]
65     ^ d_Te2[(t0 >> 8) & 0xff] ^ d_Te3[t1 & 0xff]
66     ^ d_rk[18];
67 s3 = d_Te0[t3 >> 24] ^ d_Tel[(t0 >> 16) & 0xff]
68     ^ d_Te2[(t1 >> 8) & 0xff] ^ d_Te3[t2 & 0xff]
69     ^ d_rk[19];
70
71 /* round 5: */
72 t0 = d_Te0[s0 >> 24] ^ d_Tel[(s1 >> 16) & 0xff]
73     ^ d_Te2[(s2 >> 8) & 0xff] ^ d_Te3[s3 & 0xff]
74     ^ d_rk[20];
75 t1 = d_Te0[s1 >> 24] ^ d_Tel[(s2 >> 16) & 0xff]
76     ^ d_Te2[(s3 >> 8) & 0xff] ^ d_Te3[s0 & 0xff]
77     ^ d_rk[21];
78 t2 = d_Te0[s2 >> 24] ^ d_Tel[(s3 >> 16) & 0xff]
79     ^ d_Te2[(s0 >> 8) & 0xff] ^ d_Te3[s1 & 0xff]
80     ^ d_rk[22];
81 t3 = d_Te0[s3 >> 24] ^ d_Tel[(s0 >> 16) & 0xff]
82     ^ d_Te2[(s1 >> 8) & 0xff] ^ d_Te3[s2 & 0xff]
83     ^ d_rk[23];
84
85 /* round 6: */
86 s0 = d_Te0[t0 >> 24] ^ d_Tel[(t1 >> 16) & 0xff]
87     ^ d_Te2[(t2 >> 8) & 0xff] ^ d_Te3[t3 & 0xff]
88     ^ d_rk[24];
89 s1 = d_Te0[t1 >> 24] ^ d_Tel[(t2 >> 16) & 0xff]
90     ^ d_Te2[(t3 >> 8) & 0xff] ^ d_Te3[t0 & 0xff]
91     ^ d_rk[25];
92 s2 = d_Te0[t2 >> 24] ^ d_Tel[(t3 >> 16) & 0xff]
93     ^ d_Te2[(t0 >> 8) & 0xff] ^ d_Te3[t1 & 0xff]
94     ^ d_rk[26];
95 s3 = d_Te0[t3 >> 24] ^ d_Tel[(t0 >> 16) & 0xff]
96     ^ d_Te2[(t1 >> 8) & 0xff] ^ d_Te3[t2 & 0xff]
97     ^ d_rk[27];
98

```

```

99  /* round 7: */
100 t0 = d_Te0[s0 >> 24] ^ d_Te1[(s1 >> 16) & 0xff]
101     ^ d_Te2[(s2 >> 8) & 0xff] ^ d_Te3[s3 & 0xff]
102     ^ d_rk[28];
103 t1 = d_Te0[s1 >> 24] ^ d_Te1[(s2 >> 16) & 0xff]
104     ^ d_Te2[(s3 >> 8) & 0xff] ^ d_Te3[s0 & 0xff]
105     ^ d_rk[29];
106 t2 = d_Te0[s2 >> 24] ^ d_Te1[(s3 >> 16) & 0xff]
107     ^ d_Te2[(s0 >> 8) & 0xff] ^ d_Te3[s1 & 0xff]
108     ^ d_rk[30];
109 t3 = d_Te0[s3 >> 24] ^ d_Te1[(s0 >> 16) & 0xff]
110     ^ d_Te2[(s1 >> 8) & 0xff] ^ d_Te3[s2 & 0xff]
111     ^ d_rk[31];
112
113  /* round 8: */
114 s0 = d_Te0[t0 >> 24] ^ d_Te1[(t1 >> 16) & 0xff]
115     ^ d_Te2[(t2 >> 8) & 0xff] ^ d_Te3[t3 & 0xff]
116     ^ d_rk[32];
117 s1 = d_Te0[t1 >> 24] ^ d_Te1[(t2 >> 16) & 0xff]
118     ^ d_Te2[(t3 >> 8) & 0xff] ^ d_Te3[t0 & 0xff]
119     ^ d_rk[33];
120 s2 = d_Te0[t2 >> 24] ^ d_Te1[(t3 >> 16) & 0xff]
121     ^ d_Te2[(t0 >> 8) & 0xff] ^ d_Te3[t1 & 0xff]
122     ^ d_rk[34];
123 s3 = d_Te0[t3 >> 24] ^ d_Te1[(t0 >> 16) & 0xff]
124     ^ d_Te2[(t1 >> 8) & 0xff] ^ d_Te3[t2 & 0xff]
125     ^ d_rk[35];
126
127  /* round 9: */
128 t0 = d_Te0[s0 >> 24] ^ d_Te1[(s1 >> 16) & 0xff]
129     ^ d_Te2[(s2 >> 8) & 0xff] ^ d_Te3[s3 & 0xff]
130     ^ d_rk[36];
131 t1 = d_Te0[s1 >> 24] ^ d_Te1[(s2 >> 16) & 0xff]
132     ^ d_Te2[(s3 >> 8) & 0xff] ^ d_Te3[s0 & 0xff]
133     ^ d_rk[37];
134 t2 = d_Te0[s2 >> 24] ^ d_Te1[(s3 >> 16) & 0xff]
135     ^ d_Te2[(s0 >> 8) & 0xff] ^ d_Te3[s1 & 0xff]
136     ^ d_rk[38];
137 t3 = d_Te0[s3 >> 24] ^ d_Te1[(s0 >> 16) & 0xff]
138     ^ d_Te2[(s1 >> 8) & 0xff] ^ d_Te3[s2 & 0xff]
139     ^ d_rk[39];
140
141 ct[4 * tid] = (d_Te4[(t0 >> 24)] & 0xff000000)
142     ^ (d_Te4[(t1 >> 16) & 0xff] & 0x00ff0000)
143     ^ (d_Te4[(t2 >> 8) & 0xff] & 0x0000ff00)
144     ^ (d_Te4[(t3) & 0xff] & 0x000000ff) ^ d_rk[40];
145 ct[4 * tid + 1] = (d_Te4[(t1 >> 24)] & 0xff000000)
146     ^ (d_Te4[(t2 >> 16) & 0xff] & 0x00ff0000)
147     ^ (d_Te4[(t3 >> 8) & 0xff] & 0x0000ff00)
148     ^ (d_Te4[(t0) & 0xff] & 0x000000ff) ^ d_rk[41];
149 ct[4 * tid + 2] = (d_Te4[(t2 >> 24)] & 0xff000000)
150     ^ (d_Te4[(t3 >> 16) & 0xff] & 0x00ff0000)
151     ^ (d_Te4[(t0 >> 8) & 0xff] & 0x0000ff00)
152     ^ (d_Te4[(t1) & 0xff] & 0x000000ff) ^ d_rk[42];
153 ct[4 * tid + 3] = (d_Te4[(t3 >> 24)] & 0xff000000)
154     ^ (d_Te4[(t0 >> 16) & 0xff] & 0x00ff0000)
155     ^ (d_Te4[(t1 >> 8) & 0xff] & 0x0000ff00)
156     ^ (d_Te4[(t2) & 0xff] & 0x000000ff) ^ d_rk[43];
157 tid += blockDim.x;
158 }

```

```

159     return;
160 }
161 void AES_Enc(uint * pt, uint * ct, uint * rk, uint nk, uint pt_size,
162             uint threads_per_block) {
163 #ifdef TEMPO
164     cudaEvent t_tstart, t_stop;
165     HANDLE_ERROR(cudaEventCreate(&t_tstart));
166     HANDLE_ERROR(cudaEventCreate(&t_stop));
167
168     cudaEvent_t cstart, cstop;
169     HANDLE_ERROR(cudaEventCreate(&cstart));
170     HANDLE_ERROR(cudaEventCreate(&cstop));
171
172     cudaEvent_t start, stop;
173     HANDLE_ERROR(cudaEventCreate(&start));
174     HANDLE_ERROR(cudaEventCreate(&stop));
175
176     float elapsedTime;
177 #endif
178
179     uint *d_pt, *d_ct;
180
181     uint N = pt_size / 16;
182     uint nr = NR(nk);
183     uint nkx = 4 * (nr + 1);
184     uint nkxb = nkx * sizeof(uint);
185
186 #ifdef TEMPO
187     HANDLE_ERROR(cudaEventRecord(t_tstart, 0));
188 #endif
189
190     HANDLE_ERROR(cudaMalloc((void **)&d_pt, pt_size));
191     HANDLE_ERROR(cudaMalloc((void **)&d_ct, pt_size));
192
193 #ifdef TEMPO
194     HANDLE_ERROR(cudaEventRecord(cstart, 0));
195 #endif
196
197     HANDLE_ERROR(cudaMemcpy(d_pt, pt, pt_size, cudaMemcpyHostToDevice));
198     HANDLE_ERROR(cudaMemcpyToSymbol(d_rk, rk, nkxb));
199
200 #ifdef TEMPO
201     HANDLE_ERROR(cudaEventRecord(start, 0));
202 #endif
203 #endif
204     switch (nk) {
205     case 4:
206         AES_Enc128 <<< 1, threads_per_block >>> (d_pt, d_ct, N);
207         break;
208     case 6:
209         AES_Enc192 <<< 1, threads_per_block >>> (d_pt, d_ct, N);
210         break;
211     case 8:
212         AES_Enc256 <<< 1, threads_per_block >>> (d_pt, d_ct, N);
213         break;
214     default:
215         return;
216     }
217 #ifdef TEMPO
218     HANDLE_ERROR(cudaEventRecord(stop, 0));
219 #endif
220 #endif

```

```

219 HANDLE_ERROR(cudaMemcpy(ct, d_ct, pt_size, cudaMemcpyDeviceToHost));
220
221
222 #ifdef TEMPO
223 HANDLE_ERROR(cudaEventRecord(cstop, 0));
224 #endif
225
226 HANDLE_ERROR(cudaFree(d_pt));
227 HANDLE_ERROR(cudaFree(d_ct));
228
229 #ifdef TEMPO
230 HANDLE_ERROR(cudaEventRecord(tstop, 0));
231 HANDLE_ERROR(cudaEventSynchronize(tstop));
232
233 HANDLE_ERROR(cudaEventElapsedTime(&elapsedTime, start, stop));
234 fprintf(stderr, "time(enc_cuda_%d):\t\t%12.6f ms\t%d threads\t%u bytes\n",
235         (4 * nk * 8), elapsedTime, threads_per_block, pt_size);
236
237 HANDLE_ERROR(cudaEventElapsedTime(&elapsedTime, cstart, cstop));
238 fprintf(stderr, "time(enc_cuda_cp_%d):\t\t%12.6f ms\t%d threads\t%u bytes\n",
239         (4 * nk * 8), elapsedTime, threads_per_block, pt_size);
240
241 HANDLE_ERROR(cudaEventElapsedTime(&elapsedTime, tstart, tstop));
242 fprintf(stderr, "time(enc_cuda_tt_%d):\t\t%12.6f ms\t%d threads\t%u bytes\n",
243         (4 * nk * 8), elapsedTime, threads_per_block, pt_size);
244
245 HANDLE_ERROR(cudaEventDestroy(start));
246 HANDLE_ERROR(cudaEventDestroy(stop));
247
248 HANDLE_ERROR(cudaEventDestroy(cstart));
249 HANDLE_ERROR(cudaEventDestroy(cstop));
250
251 HANDLE_ERROR(cudaEventDestroy(tstart));
252 HANDLE_ERROR(cudaEventDestroy(tstop));
253 #endif
254 }

```

II.8 cuda_aes_nb_nt_const_const

Código fonte II.18: cuda_aes_nb_nt_const_const/aes.cu

```

1  __constant__ __device__ uint d_rk[60];
2  void AES_Enc(uint * pt, uint * ct, uint * rk, uint nk, uint pt_size,
3             uint threads_per_block) {
4  #ifdef TEMPO
5     cudaEvent_t tstart, tstop;
6     HANDLE_ERROR(cudaEventCreate(&tstart));
7     HANDLE_ERROR(cudaEventCreate(&tstop));
8
9     cudaEvent_t cstart, cstop;
10    HANDLE_ERROR(cudaEventCreate(&cstart));
11    HANDLE_ERROR(cudaEventCreate(&cstop));
12
13    cudaEvent_t start, stop;
14    HANDLE_ERROR(cudaEventCreate(&start));
15    HANDLE_ERROR(cudaEventCreate(&stop));
16

```



```

17     float elapsedTime;
18 #endif
19     uint *d_pt, *d_ct;
20
21     uint N = pt_size / 16;
22     uint nr = NR(nk);
23     uint nkx = 4 * (nr + 1);
24     uint nkxb = nkx * sizeof(uint);
25
26     cudaDeviceProp prop;
27     HANDLE_ERROR( cudaGetDeviceProperties( &prop,0));
28
29     if (threads_per_block > prop.maxThreadsPerBlock)
30         threads_per_block = prop.maxThreadsPerBlock;
31
32     uint blocks = (uint) N / threads_per_block;
33
34     if (N % threads_per_block != 0)
35         blocks++;
36     uint blocks1 = blocks;
37     uint blocks2 = 1;
38
39     // Blocks transformado em bidimensional se ultrapassar maximo
40     uint maxgridsize = prop.maxGridSize[0];
41     if (blocks > maxgridsize) {
42         uint max = (uint) sqrt(blocks);
43         blocks1 = blocks;
44         blocks2 = 1;
45         uint i = 0;
46         // procura divisores de blocks
47         while (primo[i] <= max) {
48             if (blocks1 % primo[i] == 0) {
49                 blocks1 = blocks1 / primo[i];
50                 blocks2 = blocks2 * primo[i];
51                 if (blocks1 > maxgridsize)
52                     continue;
53                 break;
54             }
55             i++;
56         }
57         //se nao encontrar divisores tentar minimizar blocks1 e blocks2
58         if ((blocks1 > maxgridsize) || (blocks2 > maxgridsize)) {
59             blocks1 = max;
60             blocks2 = max;
61             while (blocks1 * blocks2 * threads_per_block < N)
62                 blocks2++;
63         }
64     }
65     dim3 BLOCKS(blocks1, blocks2, 1);
66
67 #ifndef TEMPO
68     HANDLE_ERROR(cudaEventRecord(tstart, 0));
69 #endif
70     HANDLE_ERROR(cudaMalloc((void **)&d_pt, pt_size));
71     HANDLE_ERROR(cudaMalloc((void **)&d_ct, pt_size));
72 #ifndef TEMPO
73     HANDLE_ERROR(cudaEventRecord(cstart, 0));
74 #endif
75     HANDLE_ERROR(cudaMemcpy(d_pt, pt, pt_size, cudaMemcpyHostToDevice));
76     HANDLE_ERROR(cudaMemcpyToSymbol(d_rk, rk, nkxb));

```

```

77
78 #ifdef TEMPO
79     HANDLE_ERROR(cudaEventRecord(start, 0));
80 #endif
81     switch (nk) {
82     case 4:
83         AES_Enc128 <<< BLOCKS, threads_per_block >>> (d_pt, d_ct, N);
84         break;
85     case 6:
86         AES_Enc192 <<< BLOCKS, threads_per_block >>> (d_pt, d_ct, N);
87         break;
88     case 8:
89         AES_Enc256 <<< BLOCKS, threads_per_block >>> (d_pt, d_ct, N);
90         break;
91     default:
92         return;
93     }
94 #ifdef TEMPO
95     HANDLE_ERROR(cudaEventRecord(stop, 0));
96 #endif
97
98     HANDLE_ERROR(cudaMemcpy(ct, d_ct, pt_size, cudaMemcpyDeviceToHost));
99 #ifdef TEMPO
100    HANDLE_ERROR(cudaEventRecord(cstop, 0));
101 #endif
102
103    HANDLE_ERROR(cudaFree(d_pt));
104    HANDLE_ERROR(cudaFree(d_ct));
105
106 #ifdef TEMPO
107    HANDLE_ERROR(cudaEventRecord(tstop, 0));
108    HANDLE_ERROR(cudaEventSynchronize(tstop));
109
110    HANDLE_ERROR(cudaEventElapsedTime(&elapsedTime, start, stop));
111    fprintf(stderr, "time(enc_cuda_%d):\t\t%12.6f ms\t%4d threads\t%u bytes\n",
112            (4 * nk * 8), elapsedTime, threads_per_block, pt_size);
113
114    HANDLE_ERROR(cudaEventElapsedTime(&elapsedTime, cstart, cstop));
115    fprintf(stderr, "time(enc_cuda_cp_%d):\t\t%12.6f ms\t%4d threads\t%u bytes\n",
116            (4 * nk * 8), elapsedTime, threads_per_block, pt_size);
117
118    HANDLE_ERROR(cudaEventElapsedTime(&elapsedTime, tstart, tstop));
119    fprintf(stderr, "time(enc_cuda_tt_%d):\t\t%12.6f ms\t%4d threads\t%u bytes\n",
120            (4 * nk * 8), elapsedTime, threads_per_block, pt_size);
121
122    HANDLE_ERROR(cudaEventDestroy(start));
123    HANDLE_ERROR(cudaEventDestroy(stop));
124
125    HANDLE_ERROR(cudaEventDestroy(cstart));
126    HANDLE_ERROR(cudaEventDestroy(cstop));
127
128    HANDLE_ERROR(cudaEventDestroy(tstart));
129    HANDLE_ERROR(cudaEventDestroy(tstop));
130 #endif
131 }
132 __global__ void AES_Enc128(uint * pt, uint * ct, uint N) {
133
134    uint tid = blockIdx.y * gridDim.x * blockDim.x + blockIdx.x * blockDim.x
135            + threadIdx.x;
136

```

```

137  if (tid > (N - 1))
138      return;
139
140  uint s0, s1, s2, s3, t0, t1, t2, t3;
141
142  s0 = pt[4 * tid] ^ d_rk[0];
143  s1 = pt[4 * tid + 1] ^ d_rk[1];
144  s2 = pt[4 * tid + 2] ^ d_rk[2];
145  s3 = pt[4 * tid + 3] ^ d_rk[3];
146
147  /* round 1: */
148  t0 = d_Te0[s0 >> 24] ^ d_Te1[(s1 >> 16) & 0xff] ^ d_Te2[(s2 >> 8) & 0xff]
149      ^ d_Te3[s3 & 0xff] ^ d_rk[4];
150  t1 = d_Te0[s1 >> 24] ^ d_Te1[(s2 >> 16) & 0xff] ^ d_Te2[(s3 >> 8) & 0xff]
151      ^ d_Te3[s0 & 0xff] ^ d_rk[5];
152  t2 = d_Te0[s2 >> 24] ^ d_Te1[(s3 >> 16) & 0xff] ^ d_Te2[(s0 >> 8) & 0xff]
153      ^ d_Te3[s1 & 0xff] ^ d_rk[6];
154  t3 = d_Te0[s3 >> 24] ^ d_Te1[(s0 >> 16) & 0xff] ^ d_Te2[(s1 >> 8) & 0xff]
155      ^ d_Te3[s2 & 0xff] ^ d_rk[7];
156
157  /* round 2: */
158  s0 = d_Te0[t0 >> 24] ^ d_Te1[(t1 >> 16) & 0xff] ^ d_Te2[(t2 >> 8) & 0xff]
159      ^ d_Te3[t3 & 0xff] ^ d_rk[8];
160  s1 = d_Te0[t1 >> 24] ^ d_Te1[(t2 >> 16) & 0xff] ^ d_Te2[(t3 >> 8) & 0xff]
161      ^ d_Te3[t0 & 0xff] ^ d_rk[9];
162  s2 = d_Te0[t2 >> 24] ^ d_Te1[(t3 >> 16) & 0xff] ^ d_Te2[(t0 >> 8) & 0xff]
163      ^ d_Te3[t1 & 0xff] ^ d_rk[10];
164  s3 = d_Te0[t3 >> 24] ^ d_Te1[(t0 >> 16) & 0xff] ^ d_Te2[(t1 >> 8) & 0xff]
165      ^ d_Te3[t2 & 0xff] ^ d_rk[11];
166
167  /* round 3: */
168  t0 = d_Te0[s0 >> 24] ^ d_Te1[(s1 >> 16) & 0xff] ^ d_Te2[(s2 >> 8) & 0xff]
169      ^ d_Te3[s3 & 0xff] ^ d_rk[12];
170  t1 = d_Te0[s1 >> 24] ^ d_Te1[(s2 >> 16) & 0xff] ^ d_Te2[(s3 >> 8) & 0xff]
171      ^ d_Te3[s0 & 0xff] ^ d_rk[13];
172  t2 = d_Te0[s2 >> 24] ^ d_Te1[(s3 >> 16) & 0xff] ^ d_Te2[(s0 >> 8) & 0xff]
173      ^ d_Te3[s1 & 0xff] ^ d_rk[14];
174  t3 = d_Te0[s3 >> 24] ^ d_Te1[(s0 >> 16) & 0xff] ^ d_Te2[(s1 >> 8) & 0xff]
175      ^ d_Te3[s2 & 0xff] ^ d_rk[15];
176
177  /* round 4: */
178  s0 = d_Te0[t0 >> 24] ^ d_Te1[(t1 >> 16) & 0xff] ^ d_Te2[(t2 >> 8) & 0xff]
179      ^ d_Te3[t3 & 0xff] ^ d_rk[16];
180  s1 = d_Te0[t1 >> 24] ^ d_Te1[(t2 >> 16) & 0xff] ^ d_Te2[(t3 >> 8) & 0xff]
181      ^ d_Te3[t0 & 0xff] ^ d_rk[17];
182  s2 = d_Te0[t2 >> 24] ^ d_Te1[(t3 >> 16) & 0xff] ^ d_Te2[(t0 >> 8) & 0xff]
183      ^ d_Te3[t1 & 0xff] ^ d_rk[18];
184  s3 = d_Te0[t3 >> 24] ^ d_Te1[(t0 >> 16) & 0xff] ^ d_Te2[(t1 >> 8) & 0xff]
185      ^ d_Te3[t2 & 0xff] ^ d_rk[19];
186
187  /* round 5: */
188  t0 = d_Te0[s0 >> 24] ^ d_Te1[(s1 >> 16) & 0xff] ^ d_Te2[(s2 >> 8) & 0xff]
189      ^ d_Te3[s3 & 0xff] ^ d_rk[20];
190  t1 = d_Te0[s1 >> 24] ^ d_Te1[(s2 >> 16) & 0xff] ^ d_Te2[(s3 >> 8) & 0xff]
191      ^ d_Te3[s0 & 0xff] ^ d_rk[21];
192  t2 = d_Te0[s2 >> 24] ^ d_Te1[(s3 >> 16) & 0xff] ^ d_Te2[(s0 >> 8) & 0xff]
193      ^ d_Te3[s1 & 0xff] ^ d_rk[22];
194  t3 = d_Te0[s3 >> 24] ^ d_Te1[(s0 >> 16) & 0xff] ^ d_Te2[(s1 >> 8) & 0xff]
195      ^ d_Te3[s2 & 0xff] ^ d_rk[23];
196

```

```

197  /* round 6: */
198  s0 = d_Te0[t0 >> 24] ^ d_Te1[(t1 >> 16) & 0xff] ^ d_Te2[(t2 >> 8) & 0xff]
199      ^ d_Te3[t3 & 0xff] ^ d_rk[24];
200  s1 = d_Te0[t1 >> 24] ^ d_Te1[(t2 >> 16) & 0xff] ^ d_Te2[(t3 >> 8) & 0xff]
201      ^ d_Te3[t0 & 0xff] ^ d_rk[25];
202  s2 = d_Te0[t2 >> 24] ^ d_Te1[(t3 >> 16) & 0xff] ^ d_Te2[(t0 >> 8) & 0xff]
203      ^ d_Te3[t1 & 0xff] ^ d_rk[26];
204  s3 = d_Te0[t3 >> 24] ^ d_Te1[(t0 >> 16) & 0xff] ^ d_Te2[(t1 >> 8) & 0xff]
205      ^ d_Te3[t2 & 0xff] ^ d_rk[27];
206
207  /* round 7: */
208  t0 = d_Te0[s0 >> 24] ^ d_Te1[(s1 >> 16) & 0xff] ^ d_Te2[(s2 >> 8) & 0xff]
209      ^ d_Te3[s3 & 0xff] ^ d_rk[28];
210  t1 = d_Te0[s1 >> 24] ^ d_Te1[(s2 >> 16) & 0xff] ^ d_Te2[(s3 >> 8) & 0xff]
211      ^ d_Te3[s0 & 0xff] ^ d_rk[29];
212  t2 = d_Te0[s2 >> 24] ^ d_Te1[(s3 >> 16) & 0xff] ^ d_Te2[(s0 >> 8) & 0xff]
213      ^ d_Te3[s1 & 0xff] ^ d_rk[30];
214  t3 = d_Te0[s3 >> 24] ^ d_Te1[(s0 >> 16) & 0xff] ^ d_Te2[(s1 >> 8) & 0xff]
215      ^ d_Te3[s2 & 0xff] ^ d_rk[31];
216
217  /* round 8: */
218  s0 = d_Te0[t0 >> 24] ^ d_Te1[(t1 >> 16) & 0xff] ^ d_Te2[(t2 >> 8) & 0xff]
219      ^ d_Te3[t3 & 0xff] ^ d_rk[32];
220  s1 = d_Te0[t1 >> 24] ^ d_Te1[(t2 >> 16) & 0xff] ^ d_Te2[(t3 >> 8) & 0xff]
221      ^ d_Te3[t0 & 0xff] ^ d_rk[33];
222  s2 = d_Te0[t2 >> 24] ^ d_Te1[(t3 >> 16) & 0xff] ^ d_Te2[(t0 >> 8) & 0xff]
223      ^ d_Te3[t1 & 0xff] ^ d_rk[34];
224  s3 = d_Te0[t3 >> 24] ^ d_Te1[(t0 >> 16) & 0xff] ^ d_Te2[(t1 >> 8) & 0xff]
225      ^ d_Te3[t2 & 0xff] ^ d_rk[35];
226
227  /* round 9: */
228  t0 = d_Te0[s0 >> 24] ^ d_Te1[(s1 >> 16) & 0xff] ^ d_Te2[(s2 >> 8) & 0xff]
229      ^ d_Te3[s3 & 0xff] ^ d_rk[36];
230  t1 = d_Te0[s1 >> 24] ^ d_Te1[(s2 >> 16) & 0xff] ^ d_Te2[(s3 >> 8) & 0xff]
231      ^ d_Te3[s0 & 0xff] ^ d_rk[37];
232  t2 = d_Te0[s2 >> 24] ^ d_Te1[(s3 >> 16) & 0xff] ^ d_Te2[(s0 >> 8) & 0xff]
233      ^ d_Te3[s1 & 0xff] ^ d_rk[38];
234  t3 = d_Te0[s3 >> 24] ^ d_Te1[(s0 >> 16) & 0xff] ^ d_Te2[(s1 >> 8) & 0xff]
235      ^ d_Te3[s2 & 0xff] ^ d_rk[39];
236
237  ct[4 * tid] = (d_Te4[(t0 >> 24)] & 0xff000000)
238      ^ (d_Te4[(t1 >> 16) & 0xff] & 0x00ff0000)
239      ^ (d_Te4[(t2 >> 8) & 0xff] & 0x0000ff00)
240      ^ (d_Te4[(t3) & 0xff] & 0x000000ff) ^ d_rk[40];
241  ct[4 * tid + 1] = (d_Te4[(t1 >> 24)] & 0xff000000)
242      ^ (d_Te4[(t2 >> 16) & 0xff] & 0x00ff0000)
243      ^ (d_Te4[(t3 >> 8) & 0xff] & 0x0000ff00)
244      ^ (d_Te4[(t0) & 0xff] & 0x000000ff) ^ d_rk[41];
245  ct[4 * tid + 2] = (d_Te4[(t2 >> 24)] & 0xff000000)
246      ^ (d_Te4[(t3 >> 16) & 0xff] & 0x00ff0000)
247      ^ (d_Te4[(t0 >> 8) & 0xff] & 0x0000ff00)
248      ^ (d_Te4[(t1) & 0xff] & 0x000000ff) ^ d_rk[42];
249  ct[4 * tid + 3] = (d_Te4[(t3 >> 24)] & 0xff000000)
250      ^ (d_Te4[(t0 >> 16) & 0xff] & 0x00ff0000)
251      ^ (d_Te4[(t1 >> 8) & 0xff] & 0x0000ff00)
252      ^ (d_Te4[(t2) & 0xff] & 0x000000ff) ^ d_rk[43];
253
254  return;
255 }

```

II.9 cuda_aes_1b_nt_const_texture

Código fonte II.19: cuda_aes_1b_nt_const_texture/aes.cu

```
1 texture<unsigned, 1, cudaReadModeElementType> rk_tex;
2 __global__ void AES_Enc128(uint * pt, uint * ct, uint N) {
3
4     uint tid = blockIdx.x * blockDim.x + threadIdx.x;
5
6     uint s0, s1, s2, s3, t0, t1, t2, t3;
7
8     while (tid < N) {
9
10        s0 = pt[4 * tid] ^ tex1Dfetch(rk_tex, 0);
11        s1 = pt[4 * tid + 1] ^ tex1Dfetch(rk_tex, 1);
12        s2 = pt[4 * tid + 2] ^ tex1Dfetch(rk_tex, 2);
13        s3 = pt[4 * tid + 3] ^ tex1Dfetch(rk_tex, 3);
14
15        /* round 1: */
16        t0 = d_Te0[s0 >> 24] ^ d_Te1[(s1 >> 16) & 0xff]
17            ^ d_Te2[(s2 >> 8) & 0xff] ^ d_Te3[s3 & 0xff]
18            ^ tex1Dfetch(rk_tex, 4);
19        t1 = d_Te0[s1 >> 24] ^ d_Te1[(s2 >> 16) & 0xff]
20            ^ d_Te2[(s3 >> 8) & 0xff] ^ d_Te3[s0 & 0xff]
21            ^ tex1Dfetch(rk_tex, 5);
22        t2 = d_Te0[s2 >> 24] ^ d_Te1[(s3 >> 16) & 0xff]
23            ^ d_Te2[(s0 >> 8) & 0xff] ^ d_Te3[s1 & 0xff]
24            ^ tex1Dfetch(rk_tex, 6);
25        t3 = d_Te0[s3 >> 24] ^ d_Te1[(s0 >> 16) & 0xff]
26            ^ d_Te2[(s1 >> 8) & 0xff] ^ d_Te3[s2 & 0xff]
27            ^ tex1Dfetch(rk_tex, 7);
28
29        /* round 2: */
30        s0 = d_Te0[t0 >> 24] ^ d_Te1[(t1 >> 16) & 0xff]
31            ^ d_Te2[(t2 >> 8) & 0xff] ^ d_Te3[t3 & 0xff]
32            ^ tex1Dfetch(rk_tex, 8);
33        s1 = d_Te0[t1 >> 24] ^ d_Te1[(t2 >> 16) & 0xff]
34            ^ d_Te2[(t3 >> 8) & 0xff] ^ d_Te3[t0 & 0xff]
35            ^ tex1Dfetch(rk_tex, 9);
36        s2 = d_Te0[t2 >> 24] ^ d_Te1[(t3 >> 16) & 0xff]
37            ^ d_Te2[(t0 >> 8) & 0xff] ^ d_Te3[t1 & 0xff]
38            ^ tex1Dfetch(rk_tex, 10);
39        s3 = d_Te0[t3 >> 24] ^ d_Te1[(t0 >> 16) & 0xff]
40            ^ d_Te2[(t1 >> 8) & 0xff] ^ d_Te3[t2 & 0xff]
41            ^ tex1Dfetch(rk_tex, 11);
42
43        /* round 3: */
44        t0 = d_Te0[s0 >> 24] ^ d_Te1[(s1 >> 16) & 0xff]
45            ^ d_Te2[(s2 >> 8) & 0xff] ^ d_Te3[s3 & 0xff]
46            ^ tex1Dfetch(rk_tex, 12);
47        t1 = d_Te0[s1 >> 24] ^ d_Te1[(s2 >> 16) & 0xff]
48            ^ d_Te2[(s3 >> 8) & 0xff] ^ d_Te3[s0 & 0xff]
49            ^ tex1Dfetch(rk_tex, 13);
50        t2 = d_Te0[s2 >> 24] ^ d_Te1[(s3 >> 16) & 0xff]
51            ^ d_Te2[(s0 >> 8) & 0xff] ^ d_Te3[s1 & 0xff]
52            ^ tex1Dfetch(rk_tex, 14);
53        t3 = d_Te0[s3 >> 24] ^ d_Te1[(s0 >> 16) & 0xff]
54            ^ d_Te2[(s1 >> 8) & 0xff] ^ d_Te3[s2 & 0xff]
55            ^ tex1Dfetch(rk_tex, 15);
56    }
```

```

57  /* round 4: */
58  s0 = d_Te0[t0 >> 24] ^ d_Tel[(t1 >> 16) & 0xff]
59      ^ d_Te2[(t2 >> 8) & 0xff] ^ d_Te3[t3 & 0xff]
60      ^ tex1Dfetch(rk_tex, 16);
61  s1 = d_Te0[t1 >> 24] ^ d_Tel[(t2 >> 16) & 0xff]
62      ^ d_Te2[(t3 >> 8) & 0xff] ^ d_Te3[t0 & 0xff]
63      ^ tex1Dfetch(rk_tex, 17);
64  s2 = d_Te0[t2 >> 24] ^ d_Tel[(t3 >> 16) & 0xff]
65      ^ d_Te2[(t0 >> 8) & 0xff] ^ d_Te3[t1 & 0xff]
66      ^ tex1Dfetch(rk_tex, 18);
67  s3 = d_Te0[t3 >> 24] ^ d_Tel[(t0 >> 16) & 0xff]
68      ^ d_Te2[(t1 >> 8) & 0xff] ^ d_Te3[t2 & 0xff]
69      ^ tex1Dfetch(rk_tex, 19);
70
71  /* round 5: */
72  t0 = d_Te0[s0 >> 24] ^ d_Tel[(s1 >> 16) & 0xff]
73      ^ d_Te2[(s2 >> 8) & 0xff] ^ d_Te3[s3 & 0xff]
74      ^ tex1Dfetch(rk_tex, 20);
75  t1 = d_Te0[s1 >> 24] ^ d_Tel[(s2 >> 16) & 0xff]
76      ^ d_Te2[(s3 >> 8) & 0xff] ^ d_Te3[s0 & 0xff]
77      ^ tex1Dfetch(rk_tex, 21);
78  t2 = d_Te0[s2 >> 24] ^ d_Tel[(s3 >> 16) & 0xff]
79      ^ d_Te2[(s0 >> 8) & 0xff] ^ d_Te3[s1 & 0xff]
80      ^ tex1Dfetch(rk_tex, 22);
81  t3 = d_Te0[s3 >> 24] ^ d_Tel[(s0 >> 16) & 0xff]
82      ^ d_Te2[(s1 >> 8) & 0xff] ^ d_Te3[s2 & 0xff]
83      ^ tex1Dfetch(rk_tex, 23);
84
85  /* round 6: */
86  s0 = d_Te0[t0 >> 24] ^ d_Tel[(t1 >> 16) & 0xff]
87      ^ d_Te2[(t2 >> 8) & 0xff] ^ d_Te3[t3 & 0xff]
88      ^ tex1Dfetch(rk_tex, 24);
89  s1 = d_Te0[t1 >> 24] ^ d_Tel[(t2 >> 16) & 0xff]
90      ^ d_Te2[(t3 >> 8) & 0xff] ^ d_Te3[t0 & 0xff]
91      ^ tex1Dfetch(rk_tex, 25);
92  s2 = d_Te0[t2 >> 24] ^ d_Tel[(t3 >> 16) & 0xff]
93      ^ d_Te2[(t0 >> 8) & 0xff] ^ d_Te3[t1 & 0xff]
94      ^ tex1Dfetch(rk_tex, 26);
95  s3 = d_Te0[t3 >> 24] ^ d_Tel[(t0 >> 16) & 0xff]
96      ^ d_Te2[(t1 >> 8) & 0xff] ^ d_Te3[t2 & 0xff]
97      ^ tex1Dfetch(rk_tex, 27);
98
99  /* round 7: */
100 t0 = d_Te0[s0 >> 24] ^ d_Tel[(s1 >> 16) & 0xff]
101     ^ d_Te2[(s2 >> 8) & 0xff] ^ d_Te3[s3 & 0xff]
102     ^ tex1Dfetch(rk_tex, 28);
103 t1 = d_Te0[s1 >> 24] ^ d_Tel[(s2 >> 16) & 0xff]
104     ^ d_Te2[(s3 >> 8) & 0xff] ^ d_Te3[s0 & 0xff]
105     ^ tex1Dfetch(rk_tex, 29);
106 t2 = d_Te0[s2 >> 24] ^ d_Tel[(s3 >> 16) & 0xff]
107     ^ d_Te2[(s0 >> 8) & 0xff] ^ d_Te3[s1 & 0xff]
108     ^ tex1Dfetch(rk_tex, 30);
109 t3 = d_Te0[s3 >> 24] ^ d_Tel[(s0 >> 16) & 0xff]
110     ^ d_Te2[(s1 >> 8) & 0xff] ^ d_Te3[s2 & 0xff]
111     ^ tex1Dfetch(rk_tex, 31);
112
113  /* round 8: */
114  s0 = d_Te0[t0 >> 24] ^ d_Tel[(t1 >> 16) & 0xff]
115     ^ d_Te2[(t2 >> 8) & 0xff] ^ d_Te3[t3 & 0xff]
116     ^ tex1Dfetch(rk_tex, 32);

```

```

117     s1 = d_Te0[t1 >> 24] ^ d_Te1[(t2 >> 16) & 0xff]
118         ^ d_Te2[(t3 >> 8) & 0xff] ^ d_Te3[t0 & 0xff]
119         ^ tex1Dfetch(rk_tex, 33);
120     s2 = d_Te0[t2 >> 24] ^ d_Te1[(t3 >> 16) & 0xff]
121         ^ d_Te2[(t0 >> 8) & 0xff] ^ d_Te3[t1 & 0xff]
122         ^ tex1Dfetch(rk_tex, 34);
123     s3 = d_Te0[t3 >> 24] ^ d_Te1[(t0 >> 16) & 0xff]
124         ^ d_Te2[(t1 >> 8) & 0xff] ^ d_Te3[t2 & 0xff]
125         ^ tex1Dfetch(rk_tex, 35);
126
127     /* round 9: */
128     t0 = d_Te0[s0 >> 24] ^ d_Te1[(s1 >> 16) & 0xff]
129         ^ d_Te2[(s2 >> 8) & 0xff] ^ d_Te3[s3 & 0xff]
130         ^ tex1Dfetch(rk_tex, 36);
131     t1 = d_Te0[s1 >> 24] ^ d_Te1[(s2 >> 16) & 0xff]
132         ^ d_Te2[(s3 >> 8) & 0xff] ^ d_Te3[s0 & 0xff]
133         ^ tex1Dfetch(rk_tex, 37);
134     t2 = d_Te0[s2 >> 24] ^ d_Te1[(s3 >> 16) & 0xff]
135         ^ d_Te2[(s0 >> 8) & 0xff] ^ d_Te3[s1 & 0xff]
136         ^ tex1Dfetch(rk_tex, 38);
137     t3 = d_Te0[s3 >> 24] ^ d_Te1[(s0 >> 16) & 0xff]
138         ^ d_Te2[(s1 >> 8) & 0xff] ^ d_Te3[s2 & 0xff]
139         ^ tex1Dfetch(rk_tex, 39);
140
141     ct[4 * tid] = (d_Te4[(t0 >> 24)] & 0xff000000)
142         ^ (d_Te4[(t1 >> 16) & 0xff] & 0x00ff0000)
143         ^ (d_Te4[(t2 >> 8) & 0xff] & 0x0000ff00)
144         ^ (d_Te4[(t3) & 0xff] & 0x000000ff) ^ tex1Dfetch(rk_tex, 40);
145     ct[4 * tid + 1] = (d_Te4[(t1 >> 24)] & 0xff000000)
146         ^ (d_Te4[(t2 >> 16) & 0xff] & 0x00ff0000)
147         ^ (d_Te4[(t3 >> 8) & 0xff] & 0x0000ff00)
148         ^ (d_Te4[(t0) & 0xff] & 0x000000ff) ^ tex1Dfetch(rk_tex, 41);
149     ct[4 * tid + 2] = (d_Te4[(t2 >> 24)] & 0xff000000)
150         ^ (d_Te4[(t3 >> 16) & 0xff] & 0x00ff0000)
151         ^ (d_Te4[(t0 >> 8) & 0xff] & 0x0000ff00)
152         ^ (d_Te4[(t1) & 0xff] & 0x000000ff) ^ tex1Dfetch(rk_tex, 42);
153     ct[4 * tid + 3] = (d_Te4[(t3 >> 24)] & 0xff000000)
154         ^ (d_Te4[(t0 >> 16) & 0xff] & 0x00ff0000)
155         ^ (d_Te4[(t1 >> 8) & 0xff] & 0x0000ff00)
156         ^ (d_Te4[(t2) & 0xff] & 0x000000ff) ^ tex1Dfetch(rk_tex, 43);
157     tid += blockDim.x;
158 }
159 return;
160 }
161 void AES_Enc(uint * pt, uint * ct, uint * rk, uint nk, uint pt_size,
162             uint threads_per_block) {
163 #ifdef TEMPO
164     cudaEvent_t tstart, tstop;
165     HANDLE_ERROR(cudaEventCreate(&tstart));
166     HANDLE_ERROR(cudaEventCreate(&tstop));
167
168     cudaEvent_t cstart, cstop;
169     HANDLE_ERROR(cudaEventCreate(&cstart));
170     HANDLE_ERROR(cudaEventCreate(&cstop));
171
172     cudaEvent_t start, stop;
173     HANDLE_ERROR(cudaEventCreate(&start));
174     HANDLE_ERROR(cudaEventCreate(&stop));
175
176     float elapsedTime;

```

```

177 #endif
178
179     uint *d_pt, *d_ct, *d_rk;
180
181     uint N = pt_size / 16;
182     uint nr = NR(nk);
183     uint nkx = 4 * (nr + 1);
184     uint nkxb = nkx * sizeof(uint);
185
186 #ifdef TEMPO
187     HANDLE_ERROR(cudaEventRecord(tstart, 0));
188 #endif
189
190     HANDLE_ERROR(cudaMalloc((void **)&d_pt, pt_size));
191     HANDLE_ERROR(cudaMalloc((void **)&d_ct, pt_size));
192     HANDLE_ERROR(cudaMalloc((void **)&d_rk, nkxb));
193
194 #ifdef TEMPO
195     HANDLE_ERROR(cudaEventRecord(cstart, 0));
196 #endif
197
198     HANDLE_ERROR(cudaMemcpy(d_rk, rk, nkxb, cudaMemcpyHostToDevice));
199     HANDLE_ERROR(cudaMemcpy(d_pt, pt, pt_size, cudaMemcpyHostToDevice));
200     HANDLE_ERROR(cudaBindTexture(NULL, rk_tex, d_rk, nkxb));
201
202 #ifdef TEMPO
203     HANDLE_ERROR(cudaEventRecord(start, 0));
204 #endif
205     switch (nk) {
206     case 4:
207         AES_Enc128 <<< 1, threads_per_block >>> (d_pt, d_ct, N);
208         break;
209     case 6:
210         AES_Enc192 <<< 1, threads_per_block >>> (d_pt, d_ct, N);
211         break;
212     case 8:
213         AES_Enc256 <<< 1, threads_per_block >>> (d_pt, d_ct, N);
214         break;
215     default:
216         return;
217     }
218 #ifdef TEMPO
219     HANDLE_ERROR(cudaEventRecord(stop, 0));
220 #endif
221
222     HANDLE_ERROR(cudaMemcpy(ct, d_ct, pt_size, cudaMemcpyDeviceToHost));
223
224 #ifdef TEMPO
225     HANDLE_ERROR(cudaEventRecord(cstop, 0));
226 #endif
227
228     HANDLE_ERROR(cudaUnbindTexture(rk_tex));
229     HANDLE_ERROR(cudaFree(d_rk));
230
231     HANDLE_ERROR(cudaFree(d_pt));
232     HANDLE_ERROR(cudaFree(d_ct));
233
234
235 #ifdef TEMPO
236     HANDLE_ERROR(cudaEventRecord(tstop, 0));

```



```

237 HANDLE_ERROR(cudaEventSynchronize(tstop));
238
239 HANDLE_ERROR(cudaEventElapsedTime(&elapsedTime, start, stop));
240 fprintf(stderr, "time(enc_cuda_%d):\t\t%12.6f ms\t%d threads\t%u bytes\n",
241         (4 * nk * 8), elapsedTime, threads_per_block, pt_size);
242
243 HANDLE_ERROR(cudaEventElapsedTime(&elapsedTime, cstart, cstop));
244 fprintf(stderr, "time(enc_cuda_cp_%d):\t\t%12.6f ms\t%d threads\t%u bytes\n",
245         (4 * nk * 8), elapsedTime, threads_per_block, pt_size);
246
247 HANDLE_ERROR(cudaEventElapsedTime(&elapsedTime, tstart, tstop));
248 fprintf(stderr, "time(enc_cuda_tt_%d):\t\t%12.6f ms\t%d threads\t%u bytes\n",
249         (4 * nk * 8), elapsedTime, threads_per_block, pt_size);
250
251 HANDLE_ERROR(cudaEventDestroy(start));
252 HANDLE_ERROR(cudaEventDestroy(stop));
253
254 HANDLE_ERROR(cudaEventDestroy(cstart));
255 HANDLE_ERROR(cudaEventDestroy(cstop));
256
257 HANDLE_ERROR(cudaEventDestroy(tstart));
258 HANDLE_ERROR(cudaEventDestroy(tstop));
259 #endif
260 }

```

II.10 cuda_aes_nb_nt_const_texture

Código fonte II.20: `cuda_aes_nb_nt_const_texture/aes.cu`

```

1 texture<unsigned, 1, cudaReadModeElementType> rk_tex;
2 __global__ void AES_Enc128(uint * pt, uint * ct, uint N) {
3
4     uint tid = blockIdx.y * gridDim.x * blockDim.x + blockIdx.x * blockDim.x
5         + threadIdx.x;
6
7     if (tid > (N - 1))
8         return;
9
10    uint s0, s1, s2, s3, t0, t1, t2, t3;
11
12    s0 = pt[4 * tid] ^ tex1Dfetch(rk_tex, 0);
13    s1 = pt[4 * tid + 1] ^ tex1Dfetch(rk_tex, 1);
14    s2 = pt[4 * tid + 2] ^ tex1Dfetch(rk_tex, 2);
15    s3 = pt[4 * tid + 3] ^ tex1Dfetch(rk_tex, 3);
16
17    /* round 1: */
18    t0 = d_Te0[s0 >> 24] ^ d_Te1[(s1 >> 16) & 0xff] ^ d_Te2[(s2 >> 8) & 0xff]
19        ^ d_Te3[s3 & 0xff] ^ tex1Dfetch(rk_tex, 4);
20    t1 = d_Te0[s1 >> 24] ^ d_Te1[(s2 >> 16) & 0xff] ^ d_Te2[(s3 >> 8) & 0xff]
21        ^ d_Te3[s0 & 0xff] ^ tex1Dfetch(rk_tex, 5);
22    t2 = d_Te0[s2 >> 24] ^ d_Te1[(s3 >> 16) & 0xff] ^ d_Te2[(s0 >> 8) & 0xff]
23        ^ d_Te3[s1 & 0xff] ^ tex1Dfetch(rk_tex, 6);
24    t3 = d_Te0[s3 >> 24] ^ d_Te1[(s0 >> 16) & 0xff] ^ d_Te2[(s1 >> 8) & 0xff]
25        ^ d_Te3[s2 & 0xff] ^ tex1Dfetch(rk_tex, 7);
26
27    /* round 2: */
28    s0 = d_Te0[t0 >> 24] ^ d_Te1[(t1 >> 16) & 0xff] ^ d_Te2[(t2 >> 8) & 0xff]

```

```

29     ^ d_Te3[t3 & 0xff] ^ tex1Dfetch(rk_tex, 8);
30 s1 = d_Te0[t1 >> 24] ^ d_Te1[(t2 >> 16) & 0xff] ^ d_Te2[(t3 >> 8) & 0xff]
31     ^ d_Te3[t0 & 0xff] ^ tex1Dfetch(rk_tex, 9);
32 s2 = d_Te0[t2 >> 24] ^ d_Te1[(t3 >> 16) & 0xff] ^ d_Te2[(t0 >> 8) & 0xff]
33     ^ d_Te3[t1 & 0xff] ^ tex1Dfetch(rk_tex, 10);
34 s3 = d_Te0[t3 >> 24] ^ d_Te1[(t0 >> 16) & 0xff] ^ d_Te2[(t1 >> 8) & 0xff]
35     ^ d_Te3[t2 & 0xff] ^ tex1Dfetch(rk_tex, 11);
36
37 /* round 3: */
38 t0 = d_Te0[s0 >> 24] ^ d_Te1[(s1 >> 16) & 0xff] ^ d_Te2[(s2 >> 8) & 0xff]
39     ^ d_Te3[s3 & 0xff] ^ tex1Dfetch(rk_tex, 12);
40 t1 = d_Te0[s1 >> 24] ^ d_Te1[(s2 >> 16) & 0xff] ^ d_Te2[(s3 >> 8) & 0xff]
41     ^ d_Te3[s0 & 0xff] ^ tex1Dfetch(rk_tex, 13);
42 t2 = d_Te0[s2 >> 24] ^ d_Te1[(s3 >> 16) & 0xff] ^ d_Te2[(s0 >> 8) & 0xff]
43     ^ d_Te3[s1 & 0xff] ^ tex1Dfetch(rk_tex, 14);
44 t3 = d_Te0[s3 >> 24] ^ d_Te1[(s0 >> 16) & 0xff] ^ d_Te2[(s1 >> 8) & 0xff]
45     ^ d_Te3[s2 & 0xff] ^ tex1Dfetch(rk_tex, 15);
46
47 /* round 4: */
48 s0 = d_Te0[t0 >> 24] ^ d_Te1[(t1 >> 16) & 0xff] ^ d_Te2[(t2 >> 8) & 0xff]
49     ^ d_Te3[t3 & 0xff] ^ tex1Dfetch(rk_tex, 16);
50 s1 = d_Te0[t1 >> 24] ^ d_Te1[(t2 >> 16) & 0xff] ^ d_Te2[(t3 >> 8) & 0xff]
51     ^ d_Te3[t0 & 0xff] ^ tex1Dfetch(rk_tex, 17);
52 s2 = d_Te0[t2 >> 24] ^ d_Te1[(t3 >> 16) & 0xff] ^ d_Te2[(t0 >> 8) & 0xff]
53     ^ d_Te3[t1 & 0xff] ^ tex1Dfetch(rk_tex, 18);
54 s3 = d_Te0[t3 >> 24] ^ d_Te1[(t0 >> 16) & 0xff] ^ d_Te2[(t1 >> 8) & 0xff]
55     ^ d_Te3[t2 & 0xff] ^ tex1Dfetch(rk_tex, 19);
56
57 /* round 5: */
58 t0 = d_Te0[s0 >> 24] ^ d_Te1[(s1 >> 16) & 0xff] ^ d_Te2[(s2 >> 8) & 0xff]
59     ^ d_Te3[s3 & 0xff] ^ tex1Dfetch(rk_tex, 20);
60 t1 = d_Te0[s1 >> 24] ^ d_Te1[(s2 >> 16) & 0xff] ^ d_Te2[(s3 >> 8) & 0xff]
61     ^ d_Te3[s0 & 0xff] ^ tex1Dfetch(rk_tex, 21);
62 t2 = d_Te0[s2 >> 24] ^ d_Te1[(s3 >> 16) & 0xff] ^ d_Te2[(s0 >> 8) & 0xff]
63     ^ d_Te3[s1 & 0xff] ^ tex1Dfetch(rk_tex, 22);
64 t3 = d_Te0[s3 >> 24] ^ d_Te1[(s0 >> 16) & 0xff] ^ d_Te2[(s1 >> 8) & 0xff]
65     ^ d_Te3[s2 & 0xff] ^ tex1Dfetch(rk_tex, 23);
66
67 /* round 6: */
68 s0 = d_Te0[t0 >> 24] ^ d_Te1[(t1 >> 16) & 0xff] ^ d_Te2[(t2 >> 8) & 0xff]
69     ^ d_Te3[t3 & 0xff] ^ tex1Dfetch(rk_tex, 24);
70 s1 = d_Te0[t1 >> 24] ^ d_Te1[(t2 >> 16) & 0xff] ^ d_Te2[(t3 >> 8) & 0xff]
71     ^ d_Te3[t0 & 0xff] ^ tex1Dfetch(rk_tex, 25);
72 s2 = d_Te0[t2 >> 24] ^ d_Te1[(t3 >> 16) & 0xff] ^ d_Te2[(t0 >> 8) & 0xff]
73     ^ d_Te3[t1 & 0xff] ^ tex1Dfetch(rk_tex, 26);
74 s3 = d_Te0[t3 >> 24] ^ d_Te1[(t0 >> 16) & 0xff] ^ d_Te2[(t1 >> 8) & 0xff]
75     ^ d_Te3[t2 & 0xff] ^ tex1Dfetch(rk_tex, 27);
76
77 /* round 7: */
78 t0 = d_Te0[s0 >> 24] ^ d_Te1[(s1 >> 16) & 0xff] ^ d_Te2[(s2 >> 8) & 0xff]
79     ^ d_Te3[s3 & 0xff] ^ tex1Dfetch(rk_tex, 28);
80 t1 = d_Te0[s1 >> 24] ^ d_Te1[(s2 >> 16) & 0xff] ^ d_Te2[(s3 >> 8) & 0xff]
81     ^ d_Te3[s0 & 0xff] ^ tex1Dfetch(rk_tex, 29);
82 t2 = d_Te0[s2 >> 24] ^ d_Te1[(s3 >> 16) & 0xff] ^ d_Te2[(s0 >> 8) & 0xff]
83     ^ d_Te3[s1 & 0xff] ^ tex1Dfetch(rk_tex, 30);
84 t3 = d_Te0[s3 >> 24] ^ d_Te1[(s0 >> 16) & 0xff] ^ d_Te2[(s1 >> 8) & 0xff]
85     ^ d_Te3[s2 & 0xff] ^ tex1Dfetch(rk_tex, 31);
86
87 /* round 8: */
88 s0 = d_Te0[t0 >> 24] ^ d_Te1[(t1 >> 16) & 0xff] ^ d_Te2[(t2 >> 8) & 0xff]

```

```

89     ^ d_Te3[t3 & 0xff] ^ tex1Dfetch(rk_tex, 32);
90 s1 = d_Te0[t1 >> 24] ^ d_Te1[(t2 >> 16) & 0xff] ^ d_Te2[(t3 >> 8) & 0xff]
91     ^ d_Te3[t0 & 0xff] ^ tex1Dfetch(rk_tex, 33);
92 s2 = d_Te0[t2 >> 24] ^ d_Te1[(t3 >> 16) & 0xff] ^ d_Te2[(t0 >> 8) & 0xff]
93     ^ d_Te3[t1 & 0xff] ^ tex1Dfetch(rk_tex, 34);
94 s3 = d_Te0[t3 >> 24] ^ d_Te1[(t0 >> 16) & 0xff] ^ d_Te2[(t1 >> 8) & 0xff]
95     ^ d_Te3[t2 & 0xff] ^ tex1Dfetch(rk_tex, 35);
96
97 /* round 9: */
98 t0 = d_Te0[s0 >> 24] ^ d_Te1[(s1 >> 16) & 0xff] ^ d_Te2[(s2 >> 8) & 0xff]
99     ^ d_Te3[s3 & 0xff] ^ tex1Dfetch(rk_tex, 36);
100 t1 = d_Te0[s1 >> 24] ^ d_Te1[(s2 >> 16) & 0xff] ^ d_Te2[(s3 >> 8) & 0xff]
101     ^ d_Te3[s0 & 0xff] ^ tex1Dfetch(rk_tex, 37);
102 t2 = d_Te0[s2 >> 24] ^ d_Te1[(s3 >> 16) & 0xff] ^ d_Te2[(s0 >> 8) & 0xff]
103     ^ d_Te3[s1 & 0xff] ^ tex1Dfetch(rk_tex, 38);
104 t3 = d_Te0[s3 >> 24] ^ d_Te1[(s0 >> 16) & 0xff] ^ d_Te2[(s1 >> 8) & 0xff]
105     ^ d_Te3[s2 & 0xff] ^ tex1Dfetch(rk_tex, 39);
106
107 ct[4 * tid] = (d_Te4[(t0 >> 24)] & 0xff000000)
108     ^ (d_Te4[(t1 >> 16) & 0xff] & 0x00ff0000)
109     ^ (d_Te4[(t2 >> 8) & 0xff] & 0x0000ff00)
110     ^ (d_Te4[(t3) & 0xff] & 0x000000ff) ^ tex1Dfetch(rk_tex, 40);
111 ct[4 * tid + 1] = (d_Te4[(t1 >> 24)] & 0xff000000)
112     ^ (d_Te4[(t2 >> 16) & 0xff] & 0x00ff0000)
113     ^ (d_Te4[(t3 >> 8) & 0xff] & 0x0000ff00)
114     ^ (d_Te4[(t0) & 0xff] & 0x000000ff) ^ tex1Dfetch(rk_tex, 41);
115 ct[4 * tid + 2] = (d_Te4[(t2 >> 24)] & 0xff000000)
116     ^ (d_Te4[(t3 >> 16) & 0xff] & 0x00ff0000)
117     ^ (d_Te4[(t0 >> 8) & 0xff] & 0x0000ff00)
118     ^ (d_Te4[(t1) & 0xff] & 0x000000ff) ^ tex1Dfetch(rk_tex, 42);
119 ct[4 * tid + 3] = (d_Te4[(t3 >> 24)] & 0xff000000)
120     ^ (d_Te4[(t0 >> 16) & 0xff] & 0x00ff0000)
121     ^ (d_Te4[(t1 >> 8) & 0xff] & 0x0000ff00)
122     ^ (d_Te4[(t2) & 0xff] & 0x000000ff) ^ tex1Dfetch(rk_tex, 43);
123
124 return;
125 }
126 void AES_Enc(uint * pt, uint * ct, uint * rk, uint nk, uint pt_size,
127             uint threads_per_block) {
128 #ifdef TEMPO
129     cudaEvent_t tstart, tstop;
130     HANDLE_ERROR(cudaEventCreate(&tstart));
131     HANDLE_ERROR(cudaEventCreate(&tstop));
132
133     cudaEvent_t cstart, cstop;
134     HANDLE_ERROR(cudaEventCreate(&cstart));
135     HANDLE_ERROR(cudaEventCreate(&cstop));
136
137     cudaEvent_t start, stop;
138     HANDLE_ERROR(cudaEventCreate(&start));
139     HANDLE_ERROR(cudaEventCreate(&stop));
140
141     float elapsedTime;
142 #endif
143
144     uint *d_pt, *d_ct, *d_rk;
145
146     uint N = pt_size / 16;
147     uint nr = NR(nk);
148     uint nkx = 4 * (nr + 1);

```

```

149  uint nkxb = nkx * sizeof(uint);
150
151  cudaDeviceProp prop;
152  HANDLE_ERROR( cudaGetDeviceProperties( &prop,0));
153
154  if (threads_per_block > prop.maxThreadsPerBlock)
155      threads_per_block = prop.maxThreadsPerBlock;
156
157  uint blocks = (uint) N / threads_per_block;
158
159  if (N % threads_per_block != 0)
160      blocks++;
161  uint blocks1 = blocks;
162  uint blocks2 = 1;
163
164  // Blocks transformado em bidimensional se ultrapassar maximo
165  uint maxgridsize=prop.maxGridSize[0];
166  if (blocks > maxgridsize) {
167      uint max = (uint) sqrt(blocks);
168      blocks1 = blocks;
169      blocks2 = 1;
170      uint i = 0;
171      // procura divisores de blocks
172      while (primo[i] <= max) {
173          if (blocks1 % primo[i] == 0) {
174              blocks1 = blocks1 / primo[i];
175              blocks2 = blocks2*primo[i];
176              if (blocks1 > maxgridsize) continue;
177              break;
178          }
179          i++;
180      }
181      //se nao encontrar divisores tentar minimizar blocks1 e blocks2
182      if ((blocks1 > maxgridsize)|| (blocks2 > maxgridsize)) {
183          blocks1 = max;
184          blocks2 = max;
185          while (blocks1 * blocks2 * threads_per_block < N)
186              blocks2++;
187      }
188  }
189  dim3 BLOCKS(blocks1, blocks2, 1);
190
191  #ifndef TEMPO
192      HANDLE_ERROR(cudaEventRecord(tstart, 0));
193  #endif
194
195  HANDLE_ERROR(cudaMalloc((void **)&d_pt, pt_size));
196  HANDLE_ERROR(cudaMalloc((void **)&d_ct, pt_size));
197  HANDLE_ERROR(cudaMalloc((void **)&d_rk, nkxb));
198
199  #ifndef TEMPO
200      HANDLE_ERROR(cudaEventRecord(cstart, 0));
201  #endif
202
203  HANDLE_ERROR(cudaMemcpy(d_rk, rk, nkxb, cudaMemcpyHostToDevice));
204  HANDLE_ERROR(cudaMemcpy(d_pt, pt, pt_size, cudaMemcpyHostToDevice));
205  HANDLE_ERROR(cudaBindTexture(NULL, rk_tex, d_rk, nkxb));
206
207  #ifndef TEMPO
208      HANDLE_ERROR(cudaEventRecord(start, 0));

```

```

209 #endif
210     switch (nk) {
211     case 4:
212         AES_Enc128 <<< BLOCKS, threads_per_block >>> (d_pt, d_ct, N);
213         break;
214     case 6:
215         AES_Enc192 <<< BLOCKS, threads_per_block >>> (d_pt, d_ct, N);
216         break;
217     case 8:
218         AES_Enc256 <<< BLOCKS, threads_per_block >>> (d_pt, d_ct, N);
219         break;
220     default:
221         return;
222     }
223 #ifndef TEMPO
224     HANDLE_ERROR(cudaEventRecord(stop, 0));
225 #endif
226
227     HANDLE_ERROR(cudaMemcpy(ct, d_ct, pt_size, cudaMemcpyDeviceToHost));
228
229 #ifndef TEMPO
230     HANDLE_ERROR(cudaEventRecord(cstop, 0));
231 #endif
232
233     HANDLE_ERROR(cudaUnbindTexture(rk_tex));
234     HANDLE_ERROR(cudaFree(d_pt));
235     HANDLE_ERROR(cudaFree(d_ct));
236     HANDLE_ERROR(cudaFree(d_rk));
237
238 #ifndef TEMPO
239     HANDLE_ERROR(cudaEventRecord(tstop, 0));
240     HANDLE_ERROR(cudaEventSynchronize(tstop));
241
242     HANDLE_ERROR(cudaEventElapsedTime(&elapsedTime, start, stop));
243     fprintf(stderr, "time(enc_cuda_%d):\t\t%12.6f ms\t%4d threads\t%u bytes\n",
244             (4 * nk * 8), elapsedTime, threads_per_block, pt_size);
245
246     HANDLE_ERROR(cudaEventElapsedTime(&elapsedTime, cstart, cstop));
247     fprintf(stderr, "time(enc_cuda_cp_%d):\t\t%12.6f ms\t%4d threads\t%u bytes\n",
248             (4 * nk * 8), elapsedTime, threads_per_block, pt_size);
249
250     HANDLE_ERROR(cudaEventElapsedTime(&elapsedTime, tstart, tstop));
251     fprintf(stderr, "time(enc_cuda_tt_%d):\t\t%12.6f ms\t%4d threads\t%u bytes\n",
252             (4 * nk * 8), elapsedTime, threads_per_block, pt_size);
253
254     HANDLE_ERROR(cudaEventDestroy(start));
255     HANDLE_ERROR(cudaEventDestroy(stop));
256
257     HANDLE_ERROR(cudaEventDestroy(cstart));
258     HANDLE_ERROR(cudaEventDestroy(cstop));
259
260     HANDLE_ERROR(cudaEventDestroy(tstart));
261     HANDLE_ERROR(cudaEventDestroy(tstop));
262 #endif
263 }

```

II.11 cuda_aes_1b_nt_shared_const

Código fonte II.21: cuda_aes_1b_nt_shared_const/aes.cu

```
1  __constant__ __device__ uint d_rk[60];
2  __global__ void AES_Enc128(uint * pt, uint * ct, uint N) {
3  uint tid = blockIdx.x * blockDim.x + threadIdx.x;
4  uint tx = threadIdx.x;
5
6  __shared__ uint s_Te0[256 + 1];
7  __shared__ uint s_Te1[256 + 1];
8  __shared__ uint s_Te2[256 + 1];
9  __shared__ uint s_Te3[256 + 1];
10 __shared__ uint s_Te4[256 + 1];
11
12 for (int i = tx; i < 64; i += blockDim.x) {
13     s_Te0[4 * i] = d_Te0[4 * i];
14     s_Te0[4 * i + 1] = d_Te0[4 * i + 1];
15     s_Te0[4 * i + 2] = d_Te0[4 * i + 2];
16     s_Te0[4 * i + 3] = d_Te0[4 * i + 3];
17
18     s_Te1[4 * i] = d_Te1[4 * i];
19     s_Te1[4 * i + 1] = d_Te1[4 * i + 1];
20     s_Te1[4 * i + 2] = d_Te1[4 * i + 2];
21     s_Te1[4 * i + 3] = d_Te1[4 * i + 3];
22
23     s_Te2[4 * i] = d_Te2[4 * i];
24     s_Te2[4 * i + 1] = d_Te2[4 * i + 1];
25     s_Te2[4 * i + 2] = d_Te2[4 * i + 2];
26     s_Te2[4 * i + 3] = d_Te2[4 * i + 3];
27
28     s_Te3[4 * i] = d_Te3[4 * i];
29     s_Te3[4 * i + 1] = d_Te3[4 * i + 1];
30     s_Te3[4 * i + 2] = d_Te3[4 * i + 2];
31     s_Te3[4 * i + 3] = d_Te3[4 * i + 3];
32
33     s_Te4[4 * i] = d_Te4[4 * i];
34     s_Te4[4 * i + 1] = d_Te4[4 * i + 1];
35     s_Te4[4 * i + 2] = d_Te4[4 * i + 2];
36     s_Te4[4 * i + 3] = d_Te4[4 * i + 3];
37 }
38
39 __syncthreads();
40
41 uint s0, s1, s2, s3, t0, t1, t2, t3;
42
43 while (tid < N) {
44
45     s0 = pt[4 * tid] ^ d_rk[0];
46     s1 = pt[4 * tid + 1] ^ d_rk[1];
47     s2 = pt[4 * tid + 2] ^ d_rk[2];
48     s3 = pt[4 * tid + 3] ^ d_rk[3];
49
50     /* round 1: */
51     t0 = s_Te0[s0 >> 24] ^ s_Te1[(s1 >> 16) & 0xff]
52         ^ s_Te2[(s2 >> 8) & 0xff] ^ s_Te3[s3 & 0xff]
53         ^ d_rk[4];
54     t1 = s_Te0[s1 >> 24] ^ s_Te1[(s2 >> 16) & 0xff]
55         ^ s_Te2[(s3 >> 8) & 0xff] ^ s_Te3[s0 & 0xff]
56         ^ d_rk[5];
```

```

57 t2 = s_Te0[s2 >> 24] ^ s_Te1[(s3 >> 16) & 0xff]
58     ^ s_Te2[(s0 >> 8) & 0xff] ^ s_Te3[s1 & 0xff]
59     ^ d_rk[6];
60 t3 = s_Te0[s3 >> 24] ^ s_Te1[(s0 >> 16) & 0xff]
61     ^ s_Te2[(s1 >> 8) & 0xff] ^ s_Te3[s2 & 0xff]
62     ^ d_rk[7];
63
64 /* round 2: */
65 s0 = s_Te0[t0 >> 24] ^ s_Te1[(t1 >> 16) & 0xff]
66     ^ s_Te2[(t2 >> 8) & 0xff] ^ s_Te3[t3 & 0xff]
67     ^ d_rk[8];
68 s1 = s_Te0[t1 >> 24] ^ s_Te1[(t2 >> 16) & 0xff]
69     ^ s_Te2[(t3 >> 8) & 0xff] ^ s_Te3[t0 & 0xff]
70     ^ d_rk[9];
71 s2 = s_Te0[t2 >> 24] ^ s_Te1[(t3 >> 16) & 0xff]
72     ^ s_Te2[(t0 >> 8) & 0xff] ^ s_Te3[t1 & 0xff]
73     ^ d_rk[10];
74 s3 = s_Te0[t3 >> 24] ^ s_Te1[(t0 >> 16) & 0xff]
75     ^ s_Te2[(t1 >> 8) & 0xff] ^ s_Te3[t2 & 0xff]
76     ^ d_rk[11];
77
78 /* round 3: */
79 t0 = s_Te0[s0 >> 24] ^ s_Te1[(s1 >> 16) & 0xff]
80     ^ s_Te2[(s2 >> 8) & 0xff] ^ s_Te3[s3 & 0xff]
81     ^ d_rk[12];
82 t1 = s_Te0[s1 >> 24] ^ s_Te1[(s2 >> 16) & 0xff]
83     ^ s_Te2[(s3 >> 8) & 0xff] ^ s_Te3[s0 & 0xff]
84     ^ d_rk[13];
85 t2 = s_Te0[s2 >> 24] ^ s_Te1[(s3 >> 16) & 0xff]
86     ^ s_Te2[(s0 >> 8) & 0xff] ^ s_Te3[s1 & 0xff]
87     ^ d_rk[14];
88 t3 = s_Te0[s3 >> 24] ^ s_Te1[(s0 >> 16) & 0xff]
89     ^ s_Te2[(s1 >> 8) & 0xff] ^ s_Te3[s2 & 0xff]
90     ^ d_rk[15];
91
92 /* round 4: */
93 s0 = s_Te0[t0 >> 24] ^ s_Te1[(t1 >> 16) & 0xff]
94     ^ s_Te2[(t2 >> 8) & 0xff] ^ s_Te3[t3 & 0xff]
95     ^ d_rk[16];
96 s1 = s_Te0[t1 >> 24] ^ s_Te1[(t2 >> 16) & 0xff]
97     ^ s_Te2[(t3 >> 8) & 0xff] ^ s_Te3[t0 & 0xff]
98     ^ d_rk[17];
99 s2 = s_Te0[t2 >> 24] ^ s_Te1[(t3 >> 16) & 0xff]
100     ^ s_Te2[(t0 >> 8) & 0xff] ^ s_Te3[t1 & 0xff]
101     ^ d_rk[18];
102 s3 = s_Te0[t3 >> 24] ^ s_Te1[(t0 >> 16) & 0xff]
103     ^ s_Te2[(t1 >> 8) & 0xff] ^ s_Te3[t2 & 0xff]
104     ^ d_rk[19];
105
106 /* round 5: */
107 t0 = s_Te0[s0 >> 24] ^ s_Te1[(s1 >> 16) & 0xff]
108     ^ s_Te2[(s2 >> 8) & 0xff] ^ s_Te3[s3 & 0xff]
109     ^ d_rk[20];
110 t1 = s_Te0[s1 >> 24] ^ s_Te1[(s2 >> 16) & 0xff]
111     ^ s_Te2[(s3 >> 8) & 0xff] ^ s_Te3[s0 & 0xff]
112     ^ d_rk[21];
113 t2 = s_Te0[s2 >> 24] ^ s_Te1[(s3 >> 16) & 0xff]
114     ^ s_Te2[(s0 >> 8) & 0xff] ^ s_Te3[s1 & 0xff]
115     ^ d_rk[22];
116 t3 = s_Te0[s3 >> 24] ^ s_Te1[(s0 >> 16) & 0xff]

```

```

117     ^ s_Te2[(s1 >> 8) & 0xff] ^ s_Te3[s2 & 0xff]
118     ^ d_rk[23];
119
120     /* round 6: */
121     s0 = s_Te0[t0 >> 24] ^ s_Te1[(t1 >> 16) & 0xff]
122         ^ s_Te2[(t2 >> 8) & 0xff] ^ s_Te3[t3 & 0xff]
123         ^ d_rk[24];
124     s1 = s_Te0[t1 >> 24] ^ s_Te1[(t2 >> 16) & 0xff]
125         ^ s_Te2[(t3 >> 8) & 0xff] ^ s_Te3[t0 & 0xff]
126         ^ d_rk[25];
127     s2 = s_Te0[t2 >> 24] ^ s_Te1[(t3 >> 16) & 0xff]
128         ^ s_Te2[(t0 >> 8) & 0xff] ^ s_Te3[t1 & 0xff]
129         ^ d_rk[26];
130     s3 = s_Te0[t3 >> 24] ^ s_Te1[(t0 >> 16) & 0xff]
131         ^ s_Te2[(t1 >> 8) & 0xff] ^ s_Te3[t2 & 0xff]
132         ^ d_rk[27];
133
134     /* round 7: */
135     t0 = s_Te0[s0 >> 24] ^ s_Te1[(s1 >> 16) & 0xff]
136         ^ s_Te2[(s2 >> 8) & 0xff] ^ s_Te3[s3 & 0xff]
137         ^ d_rk[28];
138     t1 = s_Te0[s1 >> 24] ^ s_Te1[(s2 >> 16) & 0xff]
139         ^ s_Te2[(s3 >> 8) & 0xff] ^ s_Te3[s0 & 0xff]
140         ^ d_rk[29];
141     t2 = s_Te0[s2 >> 24] ^ s_Te1[(s3 >> 16) & 0xff]
142         ^ s_Te2[(s0 >> 8) & 0xff] ^ s_Te3[s1 & 0xff]
143         ^ d_rk[30];
144     t3 = s_Te0[s3 >> 24] ^ s_Te1[(s0 >> 16) & 0xff]
145         ^ s_Te2[(s1 >> 8) & 0xff] ^ s_Te3[s2 & 0xff]
146         ^ d_rk[31];
147
148     /* round 8: */
149     s0 = s_Te0[t0 >> 24] ^ s_Te1[(t1 >> 16) & 0xff]
150         ^ s_Te2[(t2 >> 8) & 0xff] ^ s_Te3[t3 & 0xff]
151         ^ d_rk[32];
152     s1 = s_Te0[t1 >> 24] ^ s_Te1[(t2 >> 16) & 0xff]
153         ^ s_Te2[(t3 >> 8) & 0xff] ^ s_Te3[t0 & 0xff]
154         ^ d_rk[33];
155     s2 = s_Te0[t2 >> 24] ^ s_Te1[(t3 >> 16) & 0xff]
156         ^ s_Te2[(t0 >> 8) & 0xff] ^ s_Te3[t1 & 0xff]
157         ^ d_rk[34];
158     s3 = s_Te0[t3 >> 24] ^ s_Te1[(t0 >> 16) & 0xff]
159         ^ s_Te2[(t1 >> 8) & 0xff] ^ s_Te3[t2 & 0xff]
160         ^ d_rk[35];
161
162     /* round 9: */
163     t0 = s_Te0[s0 >> 24] ^ s_Te1[(s1 >> 16) & 0xff]
164         ^ s_Te2[(s2 >> 8) & 0xff] ^ s_Te3[s3 & 0xff]
165         ^ d_rk[36];
166     t1 = s_Te0[s1 >> 24] ^ s_Te1[(s2 >> 16) & 0xff]
167         ^ s_Te2[(s3 >> 8) & 0xff] ^ s_Te3[s0 & 0xff]
168         ^ d_rk[37];
169     t2 = s_Te0[s2 >> 24] ^ s_Te1[(s3 >> 16) & 0xff]
170         ^ s_Te2[(s0 >> 8) & 0xff] ^ s_Te3[s1 & 0xff]
171         ^ d_rk[38];
172     t3 = s_Te0[s3 >> 24] ^ s_Te1[(s0 >> 16) & 0xff]
173         ^ s_Te2[(s1 >> 8) & 0xff] ^ s_Te3[s2 & 0xff]
174         ^ d_rk[39];
175
176     ct[4 * tid] = (s_Te4[(t0 >> 24)] & 0xff000000)

```



```

177     ^ (s_Te4[(t1 >> 16) & 0xff] & 0x00ff0000)
178     ^ (s_Te4[(t2 >> 8) & 0xff] & 0x0000ff00)
179     ^ (s_Te4[(t3) & 0xff] & 0x000000ff) ^ d_rk[40];
180 ct[4 * tid + 1] = (s_Te4[(t1 >> 24)] & 0xff000000)
181     ^ (s_Te4[(t2 >> 16) & 0xff] & 0x00ff0000)
182     ^ (s_Te4[(t3 >> 8) & 0xff] & 0x0000ff00)
183     ^ (s_Te4[(t0) & 0xff] & 0x000000ff) ^ d_rk[41];
184 ct[4 * tid + 2] = (s_Te4[(t2 >> 24)] & 0xff000000)
185     ^ (s_Te4[(t3 >> 16) & 0xff] & 0x00ff0000)
186     ^ (s_Te4[(t0 >> 8) & 0xff] & 0x0000ff00)
187     ^ (s_Te4[(t1) & 0xff] & 0x000000ff) ^ d_rk[42];
188 ct[4 * tid + 3] = (s_Te4[(t3 >> 24)] & 0xff000000)
189     ^ (s_Te4[(t0 >> 16) & 0xff] & 0x00ff0000)
190     ^ (s_Te4[(t1 >> 8) & 0xff] & 0x0000ff00)
191     ^ (s_Te4[(t2) & 0xff] & 0x000000ff) ^ d_rk[43];
192 tid += blockDim.x;
193 }
194 return;
195 }
196 void AES_Enc(uint * pt, uint * ct, uint * rk, uint nk, uint pt_size,
197             uint threads_per_block) {
198 #ifdef TEMPO
199     cudaEvent_t tstart, tstop;
200     HANDLE_ERROR(cudaEventCreate(&tstart));
201     HANDLE_ERROR(cudaEventCreate(&tstop));
202
203     cudaEvent_t cstart, cstop;
204     HANDLE_ERROR(cudaEventCreate(&cstart));
205     HANDLE_ERROR(cudaEventCreate(&cstop));
206
207     cudaEvent_t start, stop;
208     HANDLE_ERROR(cudaEventCreate(&start));
209     HANDLE_ERROR(cudaEventCreate(&stop));
210
211     float elapsedTime;
212 #endif
213
214     uint *d_pt, *d_ct;
215
216     uint N = pt_size / 16;
217     uint nr = NR(nk);
218     uint nkx = 4 * (nr + 1);
219     uint nkxb = nkx * sizeof(uint);
220
221 #ifdef TEMPO
222     HANDLE_ERROR(cudaEventRecord(tstart, 0));
223 #endif
224
225     HANDLE_ERROR(cudaMalloc((void **)&d_pt, pt_size));
226     HANDLE_ERROR(cudaMalloc((void **)&d_ct, pt_size));
227
228 #ifdef TEMPO
229     HANDLE_ERROR(cudaEventRecord(cstart, 0));
230 #endif
231
232     HANDLE_ERROR(cudaMemcpy(d_pt, pt, pt_size, cudaMemcpyHostToDevice));
233     HANDLE_ERROR(cudaMemcpyToSymbol(d_rk, rk, nkxb));
234
235 #ifdef TEMPO
236     HANDLE_ERROR(cudaEventRecord(start, 0));

```

```

237 #endif
238     switch (nk) {
239     case 4:
240         AES_Enc128 <<< 1, threads_per_block >>> (d_pt, d_ct,N);
241         break;
242     case 6:
243         AES_Enc192 <<< 1, threads_per_block >>> (d_pt, d_ct,N);
244         break;
245     case 8:
246         AES_Enc256 <<< 1, threads_per_block >>> (d_pt, d_ct,N);
247         break;
248     default:
249         return;
250     }
251 #ifndef TEMPO
252     HANDLE_ERROR(cudaEventRecord(stop, 0));
253 #endif
254
255     HANDLE_ERROR(cudaMemcpy(ct, d_ct, pt_size, cudaMemcpyDeviceToHost));
256
257 #ifndef TEMPO
258     HANDLE_ERROR(cudaEventRecord(cstop, 0));
259 #endif
260
261     HANDLE_ERROR(cudaFree(d_pt));
262     HANDLE_ERROR(cudaFree(d_ct));
263
264 #ifndef TEMPO
265     HANDLE_ERROR(cudaEventRecord(tstop, 0));
266     HANDLE_ERROR(cudaEventSynchronize(tstop));
267
268     HANDLE_ERROR(cudaEventElapsedTime(&elapsedTime, start, stop));
269     fprintf(stderr, "time(enc_cuda_%d):\t\t%12.6f ms\t%d threads\t%u bytes\n",
270             (4 * nk * 8), elapsedTime, threads_per_block, pt_size);
271
272     HANDLE_ERROR(cudaEventElapsedTime(&elapsedTime, cstart, cstop));
273     fprintf(stderr, "time(enc_cuda_cp_%d):\t\t%12.6f ms\t%d threads\t%u bytes\n",
274             (4 * nk * 8), elapsedTime, threads_per_block, pt_size);
275
276     HANDLE_ERROR(cudaEventElapsedTime(&elapsedTime, tstart, tstop));
277     fprintf(stderr, "time(enc_cuda_tt_%d):\t\t%12.6f ms\t%d threads\t%u bytes\n",
278             (4 * nk * 8), elapsedTime, threads_per_block, pt_size);
279
280     HANDLE_ERROR(cudaEventDestroy(start));
281     HANDLE_ERROR(cudaEventDestroy(stop));
282
283     HANDLE_ERROR(cudaEventDestroy(cstart));
284     HANDLE_ERROR(cudaEventDestroy(cstop));
285
286     HANDLE_ERROR(cudaEventDestroy(tstart));
287     HANDLE_ERROR(cudaEventDestroy(tstop));
288 #endif
289 }

```

II.12 cuda_aes_nb_nt_shared_const

```

1  __constant__ __device__ uint d_rk[60];
2  __global__ void AES_Enc128(uint * pt, uint * ct, uint N) {
3      uint tid = blockIdx.y * gridDim.x * blockDim.x + blockIdx.x * blockDim.x
4          + threadIdx.x;
5      uint tx = threadIdx.x;
6
7      __shared__ uint s_Te0[256 + 1];
8      __shared__ uint s_Te1[256 + 1];
9      __shared__ uint s_Te2[256 + 1];
10     __shared__ uint s_Te3[256 + 1];
11     __shared__ uint s_Te4[256 + 1];
12
13     for (int i = tx; i < 64; i += blockDim.x) {
14         s_Te0[4 * i] = d_Te0[4 * i];
15         s_Te0[4 * i + 1] = d_Te0[4 * i + 1];
16         s_Te0[4 * i + 2] = d_Te0[4 * i + 2];
17         s_Te0[4 * i + 3] = d_Te0[4 * i + 3];
18
19         s_Te1[4 * i] = d_Te1[4 * i];
20         s_Te1[4 * i + 1] = d_Te1[4 * i + 1];
21         s_Te1[4 * i + 2] = d_Te1[4 * i + 2];
22         s_Te1[4 * i + 3] = d_Te1[4 * i + 3];
23
24         s_Te2[4 * i] = d_Te2[4 * i];
25         s_Te2[4 * i + 1] = d_Te2[4 * i + 1];
26         s_Te2[4 * i + 2] = d_Te2[4 * i + 2];
27         s_Te2[4 * i + 3] = d_Te2[4 * i + 3];
28
29         s_Te3[4 * i] = d_Te3[4 * i];
30         s_Te3[4 * i + 1] = d_Te3[4 * i + 1];
31         s_Te3[4 * i + 2] = d_Te3[4 * i + 2];
32         s_Te3[4 * i + 3] = d_Te3[4 * i + 3];
33
34         s_Te4[4 * i] = d_Te4[4 * i];
35         s_Te4[4 * i + 1] = d_Te4[4 * i + 1];
36         s_Te4[4 * i + 2] = d_Te4[4 * i + 2];
37         s_Te4[4 * i + 3] = d_Te4[4 * i + 3];
38     }
39     __syncthreads();
40
41     uint s0, s1, s2, s3, t0, t1, t2, t3;
42
43     if (tid < N) {
44
45         s0 = pt[4 * tid] ^ d_rk[0];
46         s1 = pt[4 * tid + 1] ^ d_rk[1];
47         s2 = pt[4 * tid + 2] ^ d_rk[2];
48         s3 = pt[4 * tid + 3] ^ d_rk[3];
49
50         /* round 1: */
51         t0 = s_Te0[s0 >> 24] ^ s_Te1[(s1 >> 16) & 0xff]
52             ^ s_Te2[(s2 >> 8) & 0xff] ^ s_Te3[s3 & 0xff]
53             ^ d_rk[4];
54         t1 = s_Te0[s1 >> 24] ^ s_Te1[(s2 >> 16) & 0xff]
55             ^ s_Te2[(s3 >> 8) & 0xff] ^ s_Te3[s0 & 0xff]
56             ^ d_rk[5];
57         t2 = s_Te0[s2 >> 24] ^ s_Te1[(s3 >> 16) & 0xff]
58             ^ s_Te2[(s0 >> 8) & 0xff] ^ s_Te3[s1 & 0xff]
59             ^ d_rk[6];

```

```

60 t3 = s_Te0[s3 >> 24] ^ s_Te1[(s0 >> 16) & 0xff]
61     ^ s_Te2[(s1 >> 8) & 0xff] ^ s_Te3[s2 & 0xff]
62     ^ d_rk[7];
63
64 /* round 2: */
65 s0 = s_Te0[t0 >> 24] ^ s_Te1[(t1 >> 16) & 0xff]
66     ^ s_Te2[(t2 >> 8) & 0xff] ^ s_Te3[t3 & 0xff]
67     ^ d_rk[8];
68 s1 = s_Te0[t1 >> 24] ^ s_Te1[(t2 >> 16) & 0xff]
69     ^ s_Te2[(t3 >> 8) & 0xff] ^ s_Te3[t0 & 0xff]
70     ^ d_rk[9];
71 s2 = s_Te0[t2 >> 24] ^ s_Te1[(t3 >> 16) & 0xff]
72     ^ s_Te2[(t0 >> 8) & 0xff] ^ s_Te3[t1 & 0xff]
73     ^ d_rk[10];
74 s3 = s_Te0[t3 >> 24] ^ s_Te1[(t0 >> 16) & 0xff]
75     ^ s_Te2[(t1 >> 8) & 0xff] ^ s_Te3[t2 & 0xff]
76     ^ d_rk[11];
77
78 /* round 3: */
79 t0 = s_Te0[s0 >> 24] ^ s_Te1[(s1 >> 16) & 0xff]
80     ^ s_Te2[(s2 >> 8) & 0xff] ^ s_Te3[s3 & 0xff]
81     ^ d_rk[12];
82 t1 = s_Te0[s1 >> 24] ^ s_Te1[(s2 >> 16) & 0xff]
83     ^ s_Te2[(s3 >> 8) & 0xff] ^ s_Te3[s0 & 0xff]
84     ^ d_rk[13];
85 t2 = s_Te0[s2 >> 24] ^ s_Te1[(s3 >> 16) & 0xff]
86     ^ s_Te2[(s0 >> 8) & 0xff] ^ s_Te3[s1 & 0xff]
87     ^ d_rk[14];
88 t3 = s_Te0[s3 >> 24] ^ s_Te1[(s0 >> 16) & 0xff]
89     ^ s_Te2[(s1 >> 8) & 0xff] ^ s_Te3[s2 & 0xff]
90     ^ d_rk[15];
91
92 /* round 4: */
93 s0 = s_Te0[t0 >> 24] ^ s_Te1[(t1 >> 16) & 0xff]
94     ^ s_Te2[(t2 >> 8) & 0xff] ^ s_Te3[t3 & 0xff]
95     ^ d_rk[16];
96 s1 = s_Te0[t1 >> 24] ^ s_Te1[(t2 >> 16) & 0xff]
97     ^ s_Te2[(t3 >> 8) & 0xff] ^ s_Te3[t0 & 0xff]
98     ^ d_rk[17];
99 s2 = s_Te0[t2 >> 24] ^ s_Te1[(t3 >> 16) & 0xff]
100     ^ s_Te2[(t0 >> 8) & 0xff] ^ s_Te3[t1 & 0xff]
101     ^ d_rk[18];
102 s3 = s_Te0[t3 >> 24] ^ s_Te1[(t0 >> 16) & 0xff]
103     ^ s_Te2[(t1 >> 8) & 0xff] ^ s_Te3[t2 & 0xff]
104     ^ d_rk[19];
105
106 /* round 5: */
107 t0 = s_Te0[s0 >> 24] ^ s_Te1[(s1 >> 16) & 0xff]
108     ^ s_Te2[(s2 >> 8) & 0xff] ^ s_Te3[s3 & 0xff]
109     ^ d_rk[20];
110 t1 = s_Te0[s1 >> 24] ^ s_Te1[(s2 >> 16) & 0xff]
111     ^ s_Te2[(s3 >> 8) & 0xff] ^ s_Te3[s0 & 0xff]
112     ^ d_rk[21];
113 t2 = s_Te0[s2 >> 24] ^ s_Te1[(s3 >> 16) & 0xff]
114     ^ s_Te2[(s0 >> 8) & 0xff] ^ s_Te3[s1 & 0xff]
115     ^ d_rk[22];
116 t3 = s_Te0[s3 >> 24] ^ s_Te1[(s0 >> 16) & 0xff]
117     ^ s_Te2[(s1 >> 8) & 0xff] ^ s_Te3[s2 & 0xff]
118     ^ d_rk[23];
119

```

```

120  /* round 6: */
121  s0 = s_Te0[t0 >> 24] ^ s_Te1[(t1 >> 16) & 0xff]
122      ^ s_Te2[(t2 >> 8) & 0xff] ^ s_Te3[t3 & 0xff]
123      ^ d_rk[24];
124  s1 = s_Te0[t1 >> 24] ^ s_Te1[(t2 >> 16) & 0xff]
125      ^ s_Te2[(t3 >> 8) & 0xff] ^ s_Te3[t0 & 0xff]
126      ^ d_rk[25];
127  s2 = s_Te0[t2 >> 24] ^ s_Te1[(t3 >> 16) & 0xff]
128      ^ s_Te2[(t0 >> 8) & 0xff] ^ s_Te3[t1 & 0xff]
129      ^ d_rk[26];
130  s3 = s_Te0[t3 >> 24] ^ s_Te1[(t0 >> 16) & 0xff]
131      ^ s_Te2[(t1 >> 8) & 0xff] ^ s_Te3[t2 & 0xff]
132      ^ d_rk[27];
133
134  /* round 7: */
135  t0 = s_Te0[s0 >> 24] ^ s_Te1[(s1 >> 16) & 0xff]
136      ^ s_Te2[(s2 >> 8) & 0xff] ^ s_Te3[s3 & 0xff]
137      ^ d_rk[28];
138  t1 = s_Te0[s1 >> 24] ^ s_Te1[(s2 >> 16) & 0xff]
139      ^ s_Te2[(s3 >> 8) & 0xff] ^ s_Te3[s0 & 0xff]
140      ^ d_rk[29];
141  t2 = s_Te0[s2 >> 24] ^ s_Te1[(s3 >> 16) & 0xff]
142      ^ s_Te2[(s0 >> 8) & 0xff] ^ s_Te3[s1 & 0xff]
143      ^ d_rk[30];
144  t3 = s_Te0[s3 >> 24] ^ s_Te1[(s0 >> 16) & 0xff]
145      ^ s_Te2[(s1 >> 8) & 0xff] ^ s_Te3[s2 & 0xff]
146      ^ d_rk[31];
147
148  /* round 8: */
149  s0 = s_Te0[t0 >> 24] ^ s_Te1[(t1 >> 16) & 0xff]
150      ^ s_Te2[(t2 >> 8) & 0xff] ^ s_Te3[t3 & 0xff]
151      ^ d_rk[32];
152  s1 = s_Te0[t1 >> 24] ^ s_Te1[(t2 >> 16) & 0xff]
153      ^ s_Te2[(t3 >> 8) & 0xff] ^ s_Te3[t0 & 0xff]
154      ^ d_rk[33];
155  s2 = s_Te0[t2 >> 24] ^ s_Te1[(t3 >> 16) & 0xff]
156      ^ s_Te2[(t0 >> 8) & 0xff] ^ s_Te3[t1 & 0xff]
157      ^ d_rk[34];
158  s3 = s_Te0[t3 >> 24] ^ s_Te1[(t0 >> 16) & 0xff]
159      ^ s_Te2[(t1 >> 8) & 0xff] ^ s_Te3[t2 & 0xff]
160      ^ d_rk[35];
161
162  /* round 9: */
163  t0 = s_Te0[s0 >> 24] ^ s_Te1[(s1 >> 16) & 0xff]
164      ^ s_Te2[(s2 >> 8) & 0xff] ^ s_Te3[s3 & 0xff]
165      ^ d_rk[36];
166  t1 = s_Te0[s1 >> 24] ^ s_Te1[(s2 >> 16) & 0xff]
167      ^ s_Te2[(s3 >> 8) & 0xff] ^ s_Te3[s0 & 0xff]
168      ^ d_rk[37];
169  t2 = s_Te0[s2 >> 24] ^ s_Te1[(s3 >> 16) & 0xff]
170      ^ s_Te2[(s0 >> 8) & 0xff] ^ s_Te3[s1 & 0xff]
171      ^ d_rk[38];
172  t3 = s_Te0[s3 >> 24] ^ s_Te1[(s0 >> 16) & 0xff]
173      ^ s_Te2[(s1 >> 8) & 0xff] ^ s_Te3[s2 & 0xff]
174      ^ d_rk[39];
175
176  ct[4 * tid] = (s_Te4[(t0 >> 24)] & 0xff000000)
177      ^ (s_Te4[(t1 >> 16) & 0xff] & 0x00ff0000)
178      ^ (s_Te4[(t2 >> 8) & 0xff] & 0x0000ff00)
179      ^ (s_Te4[(t3) & 0xff] & 0x000000ff) ^ d_rk[40];

```

```

180     ct[4 * tid + 1] = (s_Te4[(t1 >> 24)] & 0xff000000)
181     ^ (s_Te4[(t2 >> 16)] & 0xff] & 0x00ff0000)
182     ^ (s_Te4[(t3 >> 8)] & 0xff] & 0x0000ff00)
183     ^ (s_Te4[(t0) & 0xff] & 0x000000ff) ^ d_rk[41];
184     ct[4 * tid + 2] = (s_Te4[(t2 >> 24)] & 0xff000000)
185     ^ (s_Te4[(t3 >> 16)] & 0xff] & 0x00ff0000)
186     ^ (s_Te4[(t0 >> 8)] & 0xff] & 0x0000ff00)
187     ^ (s_Te4[(t1) & 0xff] & 0x000000ff) ^ d_rk[42];
188     ct[4 * tid + 3] = (s_Te4[(t3 >> 24)] & 0xff000000)
189     ^ (s_Te4[(t0 >> 16)] & 0xff] & 0x00ff0000)
190     ^ (s_Te4[(t1 >> 8)] & 0xff] & 0x0000ff00)
191     ^ (s_Te4[(t2) & 0xff] & 0x000000ff) ^ d_rk[43];
192 }
193 return;
194 }
195 void AES_Enc(uint * pt, uint * ct, uint * rk, uint nk, uint pt_size,
196             uint threads_per_block) {
197 #ifdef TEMPO
198     cudaEvent_t tstart, tstop;
199     HANDLE_ERROR(cudaEventCreate(&tstart));
200     HANDLE_ERROR(cudaEventCreate(&tstop));
201
202     cudaEvent_t cstart, cstop;
203     HANDLE_ERROR(cudaEventCreate(&cstart));
204     HANDLE_ERROR(cudaEventCreate(&cstop));
205
206     cudaEvent_t start, stop;
207     HANDLE_ERROR(cudaEventCreate(&start));
208     HANDLE_ERROR(cudaEventCreate(&stop));
209
210     float elapsedTime;
211 #endif
212
213     uint *d_pt, *d_ct;
214
215     uint N = pt_size / 16;
216     uint nr = NR(nk);
217     uint nkx = 4 * (nr + 1);
218     uint nkxb = nkx * sizeof(uint);
219
220     cudaDeviceProp prop;
221     HANDLE_ERROR(cudaGetDeviceProperties(&prop, 0));
222
223     if (threads_per_block > prop.maxThreadsPerBlock)
224         threads_per_block = prop.maxThreadsPerBlock;
225
226     uint blocks = (uint) N / threads_per_block;
227
228     if (N % threads_per_block != 0)
229         blocks++;
230     uint blocks1 = blocks;
231     uint blocks2 = 1;
232
233     // Blocks transformado em bidimensional se ultrapassar maximo
234     uint maxgridsize=prop.maxGridSize[0];
235     if (blocks > maxgridsize) {
236         uint max = (uint) sqrt(blocks);
237         blocks1 = blocks;
238         blocks2 = 1;
239         uint i = 0;

```

```

240 // procura divisores de blocks
241 while (primo[i] <= max) {
242     if (blocks1 % primo[i] == 0) {
243         blocks1 = blocks1 / primo[i];
244         blocks2 = blocks2*primo[i];
245         if (blocks1 > maxgridsize) continue;
246         break;
247     }
248     i++;
249 }
250 //se nao encontrar divisores tentar minimizar blocks1 e blocks2
251 if ((blocks1 > maxgridsize)|| (blocks2 > maxgridsize)) {
252     blocks1 = max;
253     blocks2 = max;
254     while (blocks1 * blocks2 * threads_per_block < N)
255         blocks2++;
256 }
257 }
258 dim3 BLOCKS(blocks1 , blocks2 , 1);
259
260
261 #ifndef TEMPO
262     HANDLE_ERROR(cudaEventRecord(tstart , 0));
263 #endif
264
265 HANDLE_ERROR(cudaMalloc((void **)&d_pt , pt_size));
266 HANDLE_ERROR(cudaMalloc((void **)&d_ct , pt_size));
267
268 #ifndef TEMPO
269     HANDLE_ERROR(cudaEventRecord(cstart , 0));
270 #endif
271 HANDLE_ERROR(cudaMemcpy(d_pt , pt , pt_size , cudaMemcpyHostToDevice));
272 HANDLE_ERROR(cudaMemcpyToSymbol(d_rk , rk , nkxb));
273 #ifndef TEMPO
274     HANDLE_ERROR(cudaEventRecord(start , 0));
275 #endif
276 switch (nk) {
277     case 4:
278         AES_Enc128 <<< BLOCKS, threads_per_block >>> (d_pt , d_ct ,N);
279         break;
280     case 6:
281         AES_Enc192 <<< BLOCKS, threads_per_block >>> (d_pt , d_ct ,N);
282         break;
283     case 8:
284         AES_Enc256 <<< BLOCKS, threads_per_block >>> (d_pt , d_ct ,N);
285         break;
286     default:
287         return;
288 }
289 HANDLE_ERROR(cudaGetLastError());
290 #ifndef TEMPO
291     HANDLE_ERROR(cudaEventRecord(stop , 0));
292 #endif
293
294 HANDLE_ERROR(cudaMemcpy(ct , d_ct , pt_size , cudaMemcpyDeviceToHost));
295
296 #ifndef TEMPO
297     HANDLE_ERROR(cudaEventRecord(cstop , 0));
298 #endif
299

```

```

300 HANDLE_ERROR(cudaFree(d_pt));
301 HANDLE_ERROR(cudaFree(d_ct));
302
303 #ifdef TEMPO
304 HANDLE_ERROR(cudaEventRecord(tstop, 0));
305
306 HANDLE_ERROR(cudaEventSynchronize(tstop));
307
308 HANDLE_ERROR(cudaEventElapsedTime(&elapsedTime, start, stop));
309 fprintf(stderr, "time(enc_cuda_%d):\t\t%12.6f ms\t%4d threads\t%u bytes\n",
310         (4 * nk * 8), elapsedTime, threads_per_block, pt_size);
311
312 HANDLE_ERROR(cudaEventElapsedTime(&elapsedTime, cstart, cstop));
313 fprintf(stderr, "time(enc_cuda_cp_%d):\t\t%12.6f ms\t%4d threads\t%u bytes\n",
314         (4 * nk * 8), elapsedTime, threads_per_block, pt_size);
315
316 HANDLE_ERROR(cudaEventElapsedTime(&elapsedTime, tstart, tstop));
317 fprintf(stderr, "time(enc_cuda_tt_%d):\t\t%12.6f ms\t%4d threads\t%u bytes\n",
318         (4 * nk * 8), elapsedTime, threads_per_block, pt_size);
319
320 HANDLE_ERROR(cudaEventDestroy(start));
321 HANDLE_ERROR(cudaEventDestroy(stop));
322
323 HANDLE_ERROR(cudaEventDestroy(cstart));
324 HANDLE_ERROR(cudaEventDestroy(cstop));
325
326 HANDLE_ERROR(cudaEventDestroy(tstart));
327 HANDLE_ERROR(cudaEventDestroy(tstop));
328 #endif
329 }

```

II.13 cuda_aes_1b_nt_shared_texture

Código fonte II.23: cuda_aes_1b_nt_shared_texture/aes.cu

```

1 texture<unsigned, 1, cudaReadModeElementType> rk_tex;
2 __global__ void AES_Enc128(uint * pt, uint * ct, uint N) {
3     uint tid = blockIdx.x * blockDim.x + threadIdx.x;
4     uint tx = threadIdx.x;
5
6     __shared__ uint s_Te0[256 + 1];
7     __shared__ uint s_Te1[256 + 1];
8     __shared__ uint s_Te2[256 + 1];
9     __shared__ uint s_Te3[256 + 1];
10    __shared__ uint s_Te4[256 + 1];
11
12    for (int i = tx; i < 64; i += blockDim.x) {
13        s_Te0[4 * i] = d_Te0[4 * i];
14        s_Te0[4 * i + 1] = d_Te0[4 * i + 1];
15        s_Te0[4 * i + 2] = d_Te0[4 * i + 2];
16        s_Te0[4 * i + 3] = d_Te0[4 * i + 3];
17
18        s_Te1[4 * i] = d_Te1[4 * i];
19        s_Te1[4 * i + 1] = d_Te1[4 * i + 1];
20        s_Te1[4 * i + 2] = d_Te1[4 * i + 2];
21        s_Te1[4 * i + 3] = d_Te1[4 * i + 3];
22

```



```

23     s_Te2[4 * i] = d_Te2[4 * i];
24     s_Te2[4 * i + 1] = d_Te2[4 * i + 1];
25     s_Te2[4 * i + 2] = d_Te2[4 * i + 2];
26     s_Te2[4 * i + 3] = d_Te2[4 * i + 3];
27
28     s_Te3[4 * i] = d_Te3[4 * i];
29     s_Te3[4 * i + 1] = d_Te3[4 * i + 1];
30     s_Te3[4 * i + 2] = d_Te3[4 * i + 2];
31     s_Te3[4 * i + 3] = d_Te3[4 * i + 3];
32
33     s_Te4[4 * i] = d_Te4[4 * i];
34     s_Te4[4 * i + 1] = d_Te4[4 * i + 1];
35     s_Te4[4 * i + 2] = d_Te4[4 * i + 2];
36     s_Te4[4 * i + 3] = d_Te4[4 * i + 3];
37 }
38
39 __syncthreads();
40
41 uint s0, s1, s2, s3, t0, t1, t2, t3;
42
43 while (tid < N) {
44
45     s0 = pt[4 * tid] ^ tex1Dfetch(rk_tex, 0);
46     s1 = pt[4 * tid + 1] ^ tex1Dfetch(rk_tex, 1);
47     s2 = pt[4 * tid + 2] ^ tex1Dfetch(rk_tex, 2);
48     s3 = pt[4 * tid + 3] ^ tex1Dfetch(rk_tex, 3);
49
50     /* round 1: */
51     t0 = s_Te0[s0 >> 24] ^ s_Te1[(s1 >> 16) & 0xff]
52         ^ s_Te2[(s2 >> 8) & 0xff] ^ s_Te3[s3 & 0xff]
53         ^ tex1Dfetch(rk_tex, 4);
54     t1 = s_Te0[s1 >> 24] ^ s_Te1[(s2 >> 16) & 0xff]
55         ^ s_Te2[(s3 >> 8) & 0xff] ^ s_Te3[s0 & 0xff]
56         ^ tex1Dfetch(rk_tex, 5);
57     t2 = s_Te0[s2 >> 24] ^ s_Te1[(s3 >> 16) & 0xff]
58         ^ s_Te2[(s0 >> 8) & 0xff] ^ s_Te3[s1 & 0xff]
59         ^ tex1Dfetch(rk_tex, 6);
60     t3 = s_Te0[s3 >> 24] ^ s_Te1[(s0 >> 16) & 0xff]
61         ^ s_Te2[(s1 >> 8) & 0xff] ^ s_Te3[s2 & 0xff]
62         ^ tex1Dfetch(rk_tex, 7);
63
64     /* round 2: */
65     s0 = s_Te0[t0 >> 24] ^ s_Te1[(t1 >> 16) & 0xff]
66         ^ s_Te2[(t2 >> 8) & 0xff] ^ s_Te3[t3 & 0xff]
67         ^ tex1Dfetch(rk_tex, 8);
68     s1 = s_Te0[t1 >> 24] ^ s_Te1[(t2 >> 16) & 0xff]
69         ^ s_Te2[(t3 >> 8) & 0xff] ^ s_Te3[t0 & 0xff]
70         ^ tex1Dfetch(rk_tex, 9);
71     s2 = s_Te0[t2 >> 24] ^ s_Te1[(t3 >> 16) & 0xff]
72         ^ s_Te2[(t0 >> 8) & 0xff] ^ s_Te3[t1 & 0xff]
73         ^ tex1Dfetch(rk_tex, 10);
74     s3 = s_Te0[t3 >> 24] ^ s_Te1[(t0 >> 16) & 0xff]
75         ^ s_Te2[(t1 >> 8) & 0xff] ^ s_Te3[t2 & 0xff]
76         ^ tex1Dfetch(rk_tex, 11);
77
78     /* round 3: */
79     t0 = s_Te0[s0 >> 24] ^ s_Te1[(s1 >> 16) & 0xff]
80         ^ s_Te2[(s2 >> 8) & 0xff] ^ s_Te3[s3 & 0xff]
81         ^ tex1Dfetch(rk_tex, 12);
82     t1 = s_Te0[s1 >> 24] ^ s_Te1[(s2 >> 16) & 0xff]

```

```

83     ^ s_Te2[(s3 >> 8) & 0xff] ^ s_Te3[s0 & 0xff]
84     ^ tex1Dfetch(rk_tex, 13);
85 t2 = s_Te0[s2 >> 24] ^ s_Te1[(s3 >> 16) & 0xff]
86     ^ s_Te2[(s0 >> 8) & 0xff] ^ s_Te3[s1 & 0xff]
87     ^ tex1Dfetch(rk_tex, 14);
88 t3 = s_Te0[s3 >> 24] ^ s_Te1[(s0 >> 16) & 0xff]
89     ^ s_Te2[(s1 >> 8) & 0xff] ^ s_Te3[s2 & 0xff]
90     ^ tex1Dfetch(rk_tex, 15);
91
92 /* round 4: */
93 s0 = s_Te0[t0 >> 24] ^ s_Te1[(t1 >> 16) & 0xff]
94     ^ s_Te2[(t2 >> 8) & 0xff] ^ s_Te3[t3 & 0xff]
95     ^ tex1Dfetch(rk_tex, 16);
96 s1 = s_Te0[t1 >> 24] ^ s_Te1[(t2 >> 16) & 0xff]
97     ^ s_Te2[(t3 >> 8) & 0xff] ^ s_Te3[t0 & 0xff]
98     ^ tex1Dfetch(rk_tex, 17);
99 s2 = s_Te0[t2 >> 24] ^ s_Te1[(t3 >> 16) & 0xff]
100    ^ s_Te2[(t0 >> 8) & 0xff] ^ s_Te3[t1 & 0xff]
101    ^ tex1Dfetch(rk_tex, 18);
102 s3 = s_Te0[t3 >> 24] ^ s_Te1[(t0 >> 16) & 0xff]
103    ^ s_Te2[(t1 >> 8) & 0xff] ^ s_Te3[t2 & 0xff]
104    ^ tex1Dfetch(rk_tex, 19);
105
106 /* round 5: */
107 t0 = s_Te0[s0 >> 24] ^ s_Te1[(s1 >> 16) & 0xff]
108     ^ s_Te2[(s2 >> 8) & 0xff] ^ s_Te3[s3 & 0xff]
109     ^ tex1Dfetch(rk_tex, 20);
110 t1 = s_Te0[s1 >> 24] ^ s_Te1[(s2 >> 16) & 0xff]
111     ^ s_Te2[(s3 >> 8) & 0xff] ^ s_Te3[s0 & 0xff]
112     ^ tex1Dfetch(rk_tex, 21);
113 t2 = s_Te0[s2 >> 24] ^ s_Te1[(s3 >> 16) & 0xff]
114     ^ s_Te2[(s0 >> 8) & 0xff] ^ s_Te3[s1 & 0xff]
115     ^ tex1Dfetch(rk_tex, 22);
116 t3 = s_Te0[s3 >> 24] ^ s_Te1[(s0 >> 16) & 0xff]
117     ^ s_Te2[(s1 >> 8) & 0xff] ^ s_Te3[s2 & 0xff]
118     ^ tex1Dfetch(rk_tex, 23);
119
120 /* round 6: */
121 s0 = s_Te0[t0 >> 24] ^ s_Te1[(t1 >> 16) & 0xff]
122     ^ s_Te2[(t2 >> 8) & 0xff] ^ s_Te3[t3 & 0xff]
123     ^ tex1Dfetch(rk_tex, 24);
124 s1 = s_Te0[t1 >> 24] ^ s_Te1[(t2 >> 16) & 0xff]
125     ^ s_Te2[(t3 >> 8) & 0xff] ^ s_Te3[t0 & 0xff]
126     ^ tex1Dfetch(rk_tex, 25);
127 s2 = s_Te0[t2 >> 24] ^ s_Te1[(t3 >> 16) & 0xff]
128     ^ s_Te2[(t0 >> 8) & 0xff] ^ s_Te3[t1 & 0xff]
129     ^ tex1Dfetch(rk_tex, 26);
130 s3 = s_Te0[t3 >> 24] ^ s_Te1[(t0 >> 16) & 0xff]
131     ^ s_Te2[(t1 >> 8) & 0xff] ^ s_Te3[t2 & 0xff]
132     ^ tex1Dfetch(rk_tex, 27);
133
134 /* round 7: */
135 t0 = s_Te0[s0 >> 24] ^ s_Te1[(s1 >> 16) & 0xff]
136     ^ s_Te2[(s2 >> 8) & 0xff] ^ s_Te3[s3 & 0xff]
137     ^ tex1Dfetch(rk_tex, 28);
138 t1 = s_Te0[s1 >> 24] ^ s_Te1[(s2 >> 16) & 0xff]
139     ^ s_Te2[(s3 >> 8) & 0xff] ^ s_Te3[s0 & 0xff]
140     ^ tex1Dfetch(rk_tex, 29);
141 t2 = s_Te0[s2 >> 24] ^ s_Te1[(s3 >> 16) & 0xff]
142     ^ s_Te2[(s0 >> 8) & 0xff] ^ s_Te3[s1 & 0xff]

```

```

143     ^ tex1Dfetch(rk_tex, 30);
144 t3 = s_Te0[s3 >> 24] ^ s_Te1[(s0 >> 16) & 0xff]
145     ^ s_Te2[(s1 >> 8) & 0xff] ^ s_Te3[s2 & 0xff]
146     ^ tex1Dfetch(rk_tex, 31);
147
148 /* round 8: */
149 s0 = s_Te0[t0 >> 24] ^ s_Te1[(t1 >> 16) & 0xff]
150     ^ s_Te2[(t2 >> 8) & 0xff] ^ s_Te3[t3 & 0xff]
151     ^ tex1Dfetch(rk_tex, 32);
152 s1 = s_Te0[t1 >> 24] ^ s_Te1[(t2 >> 16) & 0xff]
153     ^ s_Te2[(t3 >> 8) & 0xff] ^ s_Te3[t0 & 0xff]
154     ^ tex1Dfetch(rk_tex, 33);
155 s2 = s_Te0[t2 >> 24] ^ s_Te1[(t3 >> 16) & 0xff]
156     ^ s_Te2[(t0 >> 8) & 0xff] ^ s_Te3[t1 & 0xff]
157     ^ tex1Dfetch(rk_tex, 34);
158 s3 = s_Te0[t3 >> 24] ^ s_Te1[(t0 >> 16) & 0xff]
159     ^ s_Te2[(t1 >> 8) & 0xff] ^ s_Te3[t2 & 0xff]
160     ^ tex1Dfetch(rk_tex, 35);
161
162 /* round 9: */
163 t0 = s_Te0[s0 >> 24] ^ s_Te1[(s1 >> 16) & 0xff]
164     ^ s_Te2[(s2 >> 8) & 0xff] ^ s_Te3[s3 & 0xff]
165     ^ tex1Dfetch(rk_tex, 36);
166 t1 = s_Te0[s1 >> 24] ^ s_Te1[(s2 >> 16) & 0xff]
167     ^ s_Te2[(s3 >> 8) & 0xff] ^ s_Te3[s0 & 0xff]
168     ^ tex1Dfetch(rk_tex, 37);
169 t2 = s_Te0[s2 >> 24] ^ s_Te1[(s3 >> 16) & 0xff]
170     ^ s_Te2[(s0 >> 8) & 0xff] ^ s_Te3[s1 & 0xff]
171     ^ tex1Dfetch(rk_tex, 38);
172 t3 = s_Te0[s3 >> 24] ^ s_Te1[(s0 >> 16) & 0xff]
173     ^ s_Te2[(s1 >> 8) & 0xff] ^ s_Te3[s2 & 0xff]
174     ^ tex1Dfetch(rk_tex, 39);
175
176 ct[4 * tid] = (s_Te4[(t0 >> 24)] & 0xff000000)
177     ^ (s_Te4[(t1 >> 16) & 0xff] & 0x00ff0000)
178     ^ (s_Te4[(t2 >> 8) & 0xff] & 0x0000ff00)
179     ^ (s_Te4[(t3) & 0xff] & 0x000000ff) ^ tex1Dfetch(rk_tex, 40);
180 ct[4 * tid + 1] = (s_Te4[(t1 >> 24)] & 0xff000000)
181     ^ (s_Te4[(t2 >> 16) & 0xff] & 0x00ff0000)
182     ^ (s_Te4[(t3 >> 8) & 0xff] & 0x0000ff00)
183     ^ (s_Te4[(t0) & 0xff] & 0x000000ff) ^ tex1Dfetch(rk_tex, 41);
184 ct[4 * tid + 2] = (s_Te4[(t2 >> 24)] & 0xff000000)
185     ^ (s_Te4[(t3 >> 16) & 0xff] & 0x00ff0000)
186     ^ (s_Te4[(t0 >> 8) & 0xff] & 0x0000ff00)
187     ^ (s_Te4[(t1) & 0xff] & 0x000000ff) ^ tex1Dfetch(rk_tex, 42);
188 ct[4 * tid + 3] = (s_Te4[(t3 >> 24)] & 0xff000000)
189     ^ (s_Te4[(t0 >> 16) & 0xff] & 0x00ff0000)
190     ^ (s_Te4[(t1 >> 8) & 0xff] & 0x0000ff00)
191     ^ (s_Te4[(t2) & 0xff] & 0x000000ff) ^ tex1Dfetch(rk_tex, 43);
192 tid += blockDim.x;
193 }
194 return;
195 }
196 void AES_Enc(uint * pt, uint * ct, uint * rk, uint nk, uint pt_size,
197             uint threads_per_block) {
198 #ifdef TEMPO
199     cudaEvent_t tstart, tstop;
200     HANDLE_ERROR(cudaEventCreate(&tstart));
201     HANDLE_ERROR(cudaEventCreate(&tstop));
202

```

```

203   cudaEvent_t cstart , cstop;
204   HANDLE_ERROR(cudaEventCreate(&cstart));
205   HANDLE_ERROR(cudaEventCreate(&cstop));
206
207   cudaEvent_t start , stop;
208   HANDLE_ERROR(cudaEventCreate(&start));
209   HANDLE_ERROR(cudaEventCreate(&stop));
210
211   float elapsedTime;
212 #endif
213
214   uint *d_pt , *d_ct , *d_rk;
215
216   uint N = pt_size / 16;
217   uint nr = NR(nk);
218   uint nkx = 4 * (nr + 1);
219   uint nkxb = nkx * sizeof(uint);
220
221 #ifdef TEMPO
222   HANDLE_ERROR(cudaEventRecord(tstart , 0));
223 #endif
224
225   HANDLE_ERROR(cudaMalloc((void **)&d_pt , pt_size));
226   HANDLE_ERROR(cudaMalloc((void **)&d_ct , pt_size));
227   HANDLE_ERROR(cudaMalloc((void **)&d_rk , nkxb));
228
229 #ifdef TEMPO
230   HANDLE_ERROR(cudaEventRecord(cstart , 0));
231 #endif
232
233   HANDLE_ERROR(cudaMemcpy(d_rk , rk , nkxb , cudaMemcpyHostToDevice));
234   HANDLE_ERROR(cudaMemcpy(d_pt , pt , pt_size , cudaMemcpyHostToDevice));
235   HANDLE_ERROR(cudaBindTexture(NULL , rk_tex , d_rk , nkxb));
236
237 #ifdef TEMPO
238   HANDLE_ERROR(cudaEventRecord(start , 0));
239 #endif
240   switch (nk) {
241   case 4:
242     AES_Enc128 <<< 1 , threads_per_block >>> (d_pt , d_ct , N);
243     break;
244   case 6:
245     AES_Enc192 <<< 1 , threads_per_block >>> (d_pt , d_ct , N);
246     break;
247   case 8:
248     AES_Enc256 <<< 1 , threads_per_block >>> (d_pt , d_ct , N);
249     break;
250   default:
251     return;
252   }
253 #ifdef TEMPO
254   HANDLE_ERROR(cudaEventRecord(stop , 0));
255 #endif
256
257   HANDLE_ERROR(cudaMemcpy(ct , d_ct , pt_size , cudaMemcpyDeviceToHost));
258 #ifdef TEMPO
259   HANDLE_ERROR(cudaEventRecord(cstop , 0));
260 #endif
261   HANDLE_ERROR(cudaUnbindTexture(rk_tex));
262   HANDLE_ERROR(cudaFree(d_pt));

```

```

263 HANDLE_ERROR(cudaFree(d_ct));
264 HANDLE_ERROR(cudaFree(d_rk));
265
266 #ifdef TEMPO
267 HANDLE_ERROR(cudaEventRecord(tstop, 0));
268 HANDLE_ERROR(cudaEventSynchronize(tstop));
269
270 HANDLE_ERROR(cudaEventElapsedTime(&elapsedTime, start, stop));
271 fprintf(stderr, "time(enc_cuda_%d):\t\t%12.6f ms\t%d threads\t%u bytes\n",
272         (4 * nk * 8), elapsedTime, threads_per_block, pt_size);
273
274 HANDLE_ERROR(cudaEventElapsedTime(&elapsedTime, cstart, cstop));
275 fprintf(stderr, "time(enc_cuda_cp_%d):\t\t%12.6f ms\t%d threads\t%u bytes\n",
276         (4 * nk * 8), elapsedTime, threads_per_block, pt_size);
277
278 HANDLE_ERROR(cudaEventElapsedTime(&elapsedTime, tstart, tstop));
279 fprintf(stderr, "time(enc_cuda_tt_%d):\t\t%12.6f ms\t%d threads\t%u bytes\n",
280         (4 * nk * 8), elapsedTime, threads_per_block, pt_size);
281
282 HANDLE_ERROR(cudaEventDestroy(start));
283 HANDLE_ERROR(cudaEventDestroy(stop));
284
285 HANDLE_ERROR(cudaEventDestroy(cstart));
286 HANDLE_ERROR(cudaEventDestroy(cstop));
287
288 HANDLE_ERROR(cudaEventDestroy(tstart));
289 HANDLE_ERROR(cudaEventDestroy(tstop));
290 #endif
291 }

```

II.14 cuda_aes_nb_nt_shared_texture

Código fonte II.24: cuda_aes_nb_nt_shared_texture/aes.cu

```

1 texture<unsigned, 1, cudaReadModeElementType> rk_tex;
2 __global__ void AES_Enc128(uint * pt, uint * ct, uint N) {
3     uint tid = blockIdx.y * gridDim.x * blockDim.x + blockIdx.x * blockDim.x
4         + threadIdx.x;
5     uint tx = threadIdx.x;
6
7     __shared__ uint s_Te0[256 + 1];
8     __shared__ uint s_Te1[256 + 1];
9     __shared__ uint s_Te2[256 + 1];
10    __shared__ uint s_Te3[256 + 1];
11    __shared__ uint s_Te4[256 + 1];
12
13    for (int i = tx; i < 64; i += blockDim.x) {
14        s_Te0[4 * i] = d_Te0[4 * i];
15        s_Te0[4 * i + 1] = d_Te0[4 * i + 1];
16        s_Te0[4 * i + 2] = d_Te0[4 * i + 2];
17        s_Te0[4 * i + 3] = d_Te0[4 * i + 3];
18
19        s_Te1[4 * i] = d_Te1[4 * i];
20        s_Te1[4 * i + 1] = d_Te1[4 * i + 1];
21        s_Te1[4 * i + 2] = d_Te1[4 * i + 2];
22        s_Te1[4 * i + 3] = d_Te1[4 * i + 3];
23

```

```

24     s_Te2[4 * i] = d_Te2[4 * i];
25     s_Te2[4 * i + 1] = d_Te2[4 * i + 1];
26     s_Te2[4 * i + 2] = d_Te2[4 * i + 2];
27     s_Te2[4 * i + 3] = d_Te2[4 * i + 3];
28
29     s_Te3[4 * i] = d_Te3[4 * i];
30     s_Te3[4 * i + 1] = d_Te3[4 * i + 1];
31     s_Te3[4 * i + 2] = d_Te3[4 * i + 2];
32     s_Te3[4 * i + 3] = d_Te3[4 * i + 3];
33
34     s_Te4[4 * i] = d_Te4[4 * i];
35     s_Te4[4 * i + 1] = d_Te4[4 * i + 1];
36     s_Te4[4 * i + 2] = d_Te4[4 * i + 2];
37     s_Te4[4 * i + 3] = d_Te4[4 * i + 3];
38 }
39 __syncthreads();
40
41 uint s0, s1, s2, s3, t0, t1, t2, t3;
42
43 if (tid < N) {
44
45     s0 = pt[4 * tid] ^ tex1Dfetch(rk_tex, 0);
46     s1 = pt[4 * tid + 1] ^ tex1Dfetch(rk_tex, 1);
47     s2 = pt[4 * tid + 2] ^ tex1Dfetch(rk_tex, 2);
48     s3 = pt[4 * tid + 3] ^ tex1Dfetch(rk_tex, 3);
49
50     /* round 1: */
51     t0 = s_Te0[s0 >> 24] ^ s_Te1[(s1 >> 16) & 0xff]
52         ^ s_Te2[(s2 >> 8) & 0xff] ^ s_Te3[s3 & 0xff]
53         ^ tex1Dfetch(rk_tex, 4);
54     t1 = s_Te0[s1 >> 24] ^ s_Te1[(s2 >> 16) & 0xff]
55         ^ s_Te2[(s3 >> 8) & 0xff] ^ s_Te3[s0 & 0xff]
56         ^ tex1Dfetch(rk_tex, 5);
57     t2 = s_Te0[s2 >> 24] ^ s_Te1[(s3 >> 16) & 0xff]
58         ^ s_Te2[(s0 >> 8) & 0xff] ^ s_Te3[s1 & 0xff]
59         ^ tex1Dfetch(rk_tex, 6);
60     t3 = s_Te0[s3 >> 24] ^ s_Te1[(s0 >> 16) & 0xff]
61         ^ s_Te2[(s1 >> 8) & 0xff] ^ s_Te3[s2 & 0xff]
62         ^ tex1Dfetch(rk_tex, 7);
63
64     /* round 2: */
65     s0 = s_Te0[t0 >> 24] ^ s_Te1[(t1 >> 16) & 0xff]
66         ^ s_Te2[(t2 >> 8) & 0xff] ^ s_Te3[t3 & 0xff]
67         ^ tex1Dfetch(rk_tex, 8);
68     s1 = s_Te0[t1 >> 24] ^ s_Te1[(t2 >> 16) & 0xff]
69         ^ s_Te2[(t3 >> 8) & 0xff] ^ s_Te3[t0 & 0xff]
70         ^ tex1Dfetch(rk_tex, 9);
71     s2 = s_Te0[t2 >> 24] ^ s_Te1[(t3 >> 16) & 0xff]
72         ^ s_Te2[(t0 >> 8) & 0xff] ^ s_Te3[t1 & 0xff]
73         ^ tex1Dfetch(rk_tex, 10);
74     s3 = s_Te0[t3 >> 24] ^ s_Te1[(t0 >> 16) & 0xff]
75         ^ s_Te2[(t1 >> 8) & 0xff] ^ s_Te3[t2 & 0xff]
76         ^ tex1Dfetch(rk_tex, 11);
77
78     /* round 3: */
79     t0 = s_Te0[s0 >> 24] ^ s_Te1[(s1 >> 16) & 0xff]
80         ^ s_Te2[(s2 >> 8) & 0xff] ^ s_Te3[s3 & 0xff]
81         ^ tex1Dfetch(rk_tex, 12);
82     t1 = s_Te0[s1 >> 24] ^ s_Te1[(s2 >> 16) & 0xff]
83         ^ s_Te2[(s3 >> 8) & 0xff] ^ s_Te3[s0 & 0xff]

```

```

84     ^ tex1Dfetch(rk_tex, 13);
85     t2 = s_Te0[s2 >> 24] ^ s_Te1[(s3 >> 16) & 0xff]
86     ^ s_Te2[(s0 >> 8) & 0xff] ^ s_Te3[s1 & 0xff]
87     ^ tex1Dfetch(rk_tex, 14);
88     t3 = s_Te0[s3 >> 24] ^ s_Te1[(s0 >> 16) & 0xff]
89     ^ s_Te2[(s1 >> 8) & 0xff] ^ s_Te3[s2 & 0xff]
90     ^ tex1Dfetch(rk_tex, 15);
91
92     /* round 4: */
93     s0 = s_Te0[t0 >> 24] ^ s_Te1[(t1 >> 16) & 0xff]
94     ^ s_Te2[(t2 >> 8) & 0xff] ^ s_Te3[t3 & 0xff]
95     ^ tex1Dfetch(rk_tex, 16);
96     s1 = s_Te0[t1 >> 24] ^ s_Te1[(t2 >> 16) & 0xff]
97     ^ s_Te2[(t3 >> 8) & 0xff] ^ s_Te3[t0 & 0xff]
98     ^ tex1Dfetch(rk_tex, 17);
99     s2 = s_Te0[t2 >> 24] ^ s_Te1[(t3 >> 16) & 0xff]
100    ^ s_Te2[(t0 >> 8) & 0xff] ^ s_Te3[t1 & 0xff]
101    ^ tex1Dfetch(rk_tex, 18);
102    s3 = s_Te0[t3 >> 24] ^ s_Te1[(t0 >> 16) & 0xff]
103    ^ s_Te2[(t1 >> 8) & 0xff] ^ s_Te3[t2 & 0xff]
104    ^ tex1Dfetch(rk_tex, 19);
105
106    /* round 5: */
107    t0 = s_Te0[s0 >> 24] ^ s_Te1[(s1 >> 16) & 0xff]
108    ^ s_Te2[(s2 >> 8) & 0xff] ^ s_Te3[s3 & 0xff]
109    ^ tex1Dfetch(rk_tex, 20);
110    t1 = s_Te0[s1 >> 24] ^ s_Te1[(s2 >> 16) & 0xff]
111    ^ s_Te2[(s3 >> 8) & 0xff] ^ s_Te3[s0 & 0xff]
112    ^ tex1Dfetch(rk_tex, 21);
113    t2 = s_Te0[s2 >> 24] ^ s_Te1[(s3 >> 16) & 0xff]
114    ^ s_Te2[(s0 >> 8) & 0xff] ^ s_Te3[s1 & 0xff]
115    ^ tex1Dfetch(rk_tex, 22);
116    t3 = s_Te0[s3 >> 24] ^ s_Te1[(s0 >> 16) & 0xff]
117    ^ s_Te2[(s1 >> 8) & 0xff] ^ s_Te3[s2 & 0xff]
118    ^ tex1Dfetch(rk_tex, 23);
119
120    /* round 6: */
121    s0 = s_Te0[t0 >> 24] ^ s_Te1[(t1 >> 16) & 0xff]
122    ^ s_Te2[(t2 >> 8) & 0xff] ^ s_Te3[t3 & 0xff]
123    ^ tex1Dfetch(rk_tex, 24);
124    s1 = s_Te0[t1 >> 24] ^ s_Te1[(t2 >> 16) & 0xff]
125    ^ s_Te2[(t3 >> 8) & 0xff] ^ s_Te3[t0 & 0xff]
126    ^ tex1Dfetch(rk_tex, 25);
127    s2 = s_Te0[t2 >> 24] ^ s_Te1[(t3 >> 16) & 0xff]
128    ^ s_Te2[(t0 >> 8) & 0xff] ^ s_Te3[t1 & 0xff]
129    ^ tex1Dfetch(rk_tex, 26);
130    s3 = s_Te0[t3 >> 24] ^ s_Te1[(t0 >> 16) & 0xff]
131    ^ s_Te2[(t1 >> 8) & 0xff] ^ s_Te3[t2 & 0xff]
132    ^ tex1Dfetch(rk_tex, 27);
133
134    /* round 7: */
135    t0 = s_Te0[s0 >> 24] ^ s_Te1[(s1 >> 16) & 0xff]
136    ^ s_Te2[(s2 >> 8) & 0xff] ^ s_Te3[s3 & 0xff]
137    ^ tex1Dfetch(rk_tex, 28);
138    t1 = s_Te0[s1 >> 24] ^ s_Te1[(s2 >> 16) & 0xff]
139    ^ s_Te2[(s3 >> 8) & 0xff] ^ s_Te3[s0 & 0xff]
140    ^ tex1Dfetch(rk_tex, 29);
141    t2 = s_Te0[s2 >> 24] ^ s_Te1[(s3 >> 16) & 0xff]
142    ^ s_Te2[(s0 >> 8) & 0xff] ^ s_Te3[s1 & 0xff]
143    ^ tex1Dfetch(rk_tex, 30);

```

```

144     t3 = s_Te0[s3 >> 24] ^ s_Te1[(s0 >> 16) & 0xff]
145         ^ s_Te2[(s1 >> 8) & 0xff] ^ s_Te3[s2 & 0xff]
146         ^ tex1Dfetch(rk_tex, 31);
147
148     /* round 8: */
149     s0 = s_Te0[t0 >> 24] ^ s_Te1[(t1 >> 16) & 0xff]
150         ^ s_Te2[(t2 >> 8) & 0xff] ^ s_Te3[t3 & 0xff]
151         ^ tex1Dfetch(rk_tex, 32);
152     s1 = s_Te0[t1 >> 24] ^ s_Te1[(t2 >> 16) & 0xff]
153         ^ s_Te2[(t3 >> 8) & 0xff] ^ s_Te3[t0 & 0xff]
154         ^ tex1Dfetch(rk_tex, 33);
155     s2 = s_Te0[t2 >> 24] ^ s_Te1[(t3 >> 16) & 0xff]
156         ^ s_Te2[(t0 >> 8) & 0xff] ^ s_Te3[t1 & 0xff]
157         ^ tex1Dfetch(rk_tex, 34);
158     s3 = s_Te0[t3 >> 24] ^ s_Te1[(t0 >> 16) & 0xff]
159         ^ s_Te2[(t1 >> 8) & 0xff] ^ s_Te3[t2 & 0xff]
160         ^ tex1Dfetch(rk_tex, 35);
161
162     /* round 9: */
163     t0 = s_Te0[s0 >> 24] ^ s_Te1[(s1 >> 16) & 0xff]
164         ^ s_Te2[(s2 >> 8) & 0xff] ^ s_Te3[s3 & 0xff]
165         ^ tex1Dfetch(rk_tex, 36);
166     t1 = s_Te0[s1 >> 24] ^ s_Te1[(s2 >> 16) & 0xff]
167         ^ s_Te2[(s3 >> 8) & 0xff] ^ s_Te3[s0 & 0xff]
168         ^ tex1Dfetch(rk_tex, 37);
169     t2 = s_Te0[s2 >> 24] ^ s_Te1[(s3 >> 16) & 0xff]
170         ^ s_Te2[(s0 >> 8) & 0xff] ^ s_Te3[s1 & 0xff]
171         ^ tex1Dfetch(rk_tex, 38);
172     t3 = s_Te0[s3 >> 24] ^ s_Te1[(s0 >> 16) & 0xff]
173         ^ s_Te2[(s1 >> 8) & 0xff] ^ s_Te3[s2 & 0xff]
174         ^ tex1Dfetch(rk_tex, 39);
175
176     ct[4 * tid] = (s_Te4[(t0 >> 24)] & 0xff000000)
177         ^ (s_Te4[(t1 >> 16)] & 0xff) & 0x00ff0000)
178         ^ (s_Te4[(t2 >> 8)] & 0xff) & 0x0000ff00)
179         ^ (s_Te4[(t3) & 0xff] & 0x000000ff) ^ tex1Dfetch(rk_tex, 40);
180     ct[4 * tid + 1] = (s_Te4[(t1 >> 24)] & 0xff000000)
181         ^ (s_Te4[(t2 >> 16)] & 0xff) & 0x00ff0000)
182         ^ (s_Te4[(t3 >> 8)] & 0xff) & 0x0000ff00)
183         ^ (s_Te4[(t0) & 0xff] & 0x000000ff) ^ tex1Dfetch(rk_tex, 41);
184     ct[4 * tid + 2] = (s_Te4[(t2 >> 24)] & 0xff000000)
185         ^ (s_Te4[(t3 >> 16)] & 0xff) & 0x00ff0000)
186         ^ (s_Te4[(t0 >> 8)] & 0xff) & 0x0000ff00)
187         ^ (s_Te4[(t1) & 0xff] & 0x000000ff) ^ tex1Dfetch(rk_tex, 42);
188     ct[4 * tid + 3] = (s_Te4[(t3 >> 24)] & 0xff000000)
189         ^ (s_Te4[(t0 >> 16)] & 0xff) & 0x00ff0000)
190         ^ (s_Te4[(t1 >> 8)] & 0xff) & 0x0000ff00)
191         ^ (s_Te4[(t2) & 0xff] & 0x000000ff) ^ tex1Dfetch(rk_tex, 43);
192 }
193 return;
194 }
195 void AES_Enc(uint * pt, uint * ct, uint * rk, uint nk, uint pt_size,
196             uint threads_per_block) {
197 #ifdef TEMPO
198     cudaEvent_t tstart, tstop;
199     HANDLE_ERROR(cudaEventCreate(&tstart));
200     HANDLE_ERROR(cudaEventCreate(&tstop));
201
202     cudaEvent_t cstart, cstop;
203     HANDLE_ERROR(cudaEventCreate(&cstart));

```



```

204 HANDLE_ERROR(cudaEventCreate(&cstop));
205
206 cudaEvent_t start, stop;
207 HANDLE_ERROR(cudaEventCreate(&start));
208 HANDLE_ERROR(cudaEventCreate(&stop));
209
210 float elapsedTime;
211 #endif
212
213 uint *d_pt, *d_ct, *d_rk;
214
215 uint N = pt_size / 16;
216 uint nr = NR(nk);
217 uint nkx = 4 * (nr + 1);
218 uint nkxb = nkx * sizeof(uint);
219
220 cudaDeviceProp prop;
221 HANDLE_ERROR(cudaGetDeviceProperties(&prop, 0));
222
223 if (threads_per_block > prop.maxThreadsPerBlock)
224     threads_per_block = prop.maxThreadsPerBlock;
225
226 uint blocks = (uint) N / threads_per_block;
227
228 if (N % threads_per_block != 0)
229     blocks++;
230 uint blocks1 = blocks;
231 uint blocks2 = 1;
232
233 // Blocks transformado em bidimensional se ultrapassar maximo
234 uint maxgridsize=prop.maxGridSize[0];
235 if (blocks > maxgridsize) {
236     uint max = (uint) sqrt(blocks);
237     blocks1 = blocks;
238     blocks2 = 1;
239     uint i = 0;
240     // procura divisores de blocks
241     while (primo[i] <= max) {
242         if (blocks1 % primo[i] == 0) {
243             blocks1 = blocks1 / primo[i];
244             blocks2 = blocks2*primo[i];
245             if (blocks1 > maxgridsize) continue;
246             break;
247         }
248         i++;
249     }
250     //se nao encontrar divisores tentar minimizar blocks1 e blocks2
251     if ((blocks1 > maxgridsize)|| (blocks2 > maxgridsize)) {
252         blocks1 = max;
253         blocks2 = max;
254         while (blocks1 * blocks2 * threads_per_block < N)
255             blocks2++;
256     }
257 }
258 dim3 BLOCKS(blocks1, blocks2, 1);
259
260 #ifdef TEMPO
261 HANDLE_ERROR(cudaEventRecord(tstart, 0));
262 #endif
263

```

```

264 HANDLE_ERROR(cudaMalloc((void **)&d_pt, pt_size));
265 HANDLE_ERROR(cudaMalloc((void **)&d_ct, pt_size));
266 HANDLE_ERROR(cudaMalloc((void **)&d_rk, nkxb));
267
268 #ifndef TEMPO
269 HANDLE_ERROR(cudaEventRecord(cstart, 0));
270 #endif
271 HANDLE_ERROR(cudaMemcpy(d_rk, rk, nkxb, cudaMemcpyHostToDevice));
272 HANDLE_ERROR(cudaMemcpy(d_pt, pt, pt_size, cudaMemcpyHostToDevice));
273 HANDLE_ERROR(cudaBindTexture(NULL, rk_tex, d_rk, nkxb));
274
275 #ifndef TEMPO
276 HANDLE_ERROR(cudaEventRecord(start, 0));
277 #endif
278 switch (nk) {
279 case 4:
280     AES_Enc128 <<< BLOCKS, threads_per_block >>> (d_pt, d_ct, N);
281     break;
282 case 6:
283     AES_Enc192 <<< BLOCKS, threads_per_block >>> (d_pt, d_ct, N);
284     break;
285 case 8:
286     AES_Enc256 <<< BLOCKS, threads_per_block >>> (d_pt, d_ct, N);
287     break;
288 default:
289     return;
290 }
291 #ifndef TEMPO
292 HANDLE_ERROR(cudaEventRecord(stop, 0));
293 #endif
294
295 HANDLE_ERROR(cudaMemcpy(ct, d_ct, pt_size, cudaMemcpyDeviceToHost));
296
297 #ifndef TEMPO
298 HANDLE_ERROR(cudaEventRecord(cstop, 0));
299 #endif
300
301 HANDLE_ERROR(cudaUnbindTexture(rk_tex));
302 HANDLE_ERROR(cudaFree(d_pt));
303 HANDLE_ERROR(cudaFree(d_ct));
304 HANDLE_ERROR(cudaFree(d_rk));
305
306 #ifndef TEMPO
307 HANDLE_ERROR(cudaEventRecord(tstop, 0));
308
309 HANDLE_ERROR(cudaEventSynchronize(tstop));
310
311 HANDLE_ERROR(cudaEventElapsedTime(&elapsedTime, start, stop));
312 fprintf(stderr, "time(enc_cuda_%d):\t\t%12.6f ms\t%4d threads\t%u bytes\n",
313         (4 * nk * 8), elapsedTime, threads_per_block, pt_size);
314
315 HANDLE_ERROR(cudaEventElapsedTime(&elapsedTime, cstart, cstop));
316 fprintf(stderr, "time(enc_cuda_cp_%d):\t\t%12.6f ms\t%4d threads\t%u bytes\n",
317         (4 * nk * 8), elapsedTime, threads_per_block, pt_size);
318
319 HANDLE_ERROR(cudaEventElapsedTime(&elapsedTime, tstart, tstop));
320 fprintf(stderr, "time(enc_cuda_tt_%d):\t\t%12.6f ms\t%4d threads\t%u bytes\n",
321         (4 * nk * 8), elapsedTime, threads_per_block, pt_size);
322
323 HANDLE_ERROR(cudaEventDestroy(start));

```

```
324 | HANDLE_ERROR(cudaEventDestroy(stop));
325 |
326 | HANDLE_ERROR(cudaEventDestroy(cstart));
327 | HANDLE_ERROR(cudaEventDestroy(cstop));
328 |
329 | HANDLE_ERROR(cudaEventDestroy(tstart));
330 | HANDLE_ERROR(cudaEventDestroy(tstop));
331 | #endif
332 | }
```